

ნ. ა. მუხომიძე

ლვინის გრანველობის
გეგმობლობიური
მონყობილობა

ბეგნიკა ღა შრომა
თბილისი
1950

ღვინის მრეწველთა ბექნეტობიური მთწუთბილთბა

ტობი I

ბექნეტობიური მთწუთბილთბა პირველადი მელწინეთბინსათვის

ნაწილი პირველი

სატრანსკობტო სოწუალთბანი

თავი პირველი

ზოგადი ცნებანი

§ 1. განზომილებანი

საზომი ერთეულების სისტემები. ტექნიკური გაანგარიშების დროს ჩვენ საქმე გვაქვს სიდიდეებთან, რომლებიც გარკვეული ერთეულებით არიან განზომილი. ყველა განზომილება, რომლებსაც კი ჩვენ შევხვდებით, შეიძლება სამი მთავარი და ძირითადი ერთეულიდან გამოვიყვანოთ.

იმისდა მიხედვით, თუ რომელ სამ სიდიდეს მივიჩნევთ მთავარ და ძირითად სიდიდედ, ჩვენ საზომი ერთეულების ორ სისტემას მივიღებთ:

1) **ფიზიკურს**, რომელშიაც ძირითად ერთეულებად მიღებულია: სიგრძე—სანტიმეტრობით—(სმ), მასა—გრამობით (გ) და დრო—წამობით (წმ) და

2) **ტექნიკურს**, რომელშიაც ძირითად ერთეულებად მიღებულია: სიგრძე—მეტრობით (მ), ძალა—კილოგრამობით (კგ) და დრო—წამობით (წმ).

ტექნიკური გაანგარიშების დროს იხმარება სიდიდეები, რომლებიც ტექნიკური ერთეულებით არიან განზომილი, ხოლო ყოველგვარი მონაცემები სხვადასხვა ნიუთონების შესახებ, რაც საჭიროა ამ გაანგარიშებისათვის, მოყვანილია ცნობარებში—ფიზიკურ ერთეულებში.

საჭიროა ვიცოდეთ ერთი სისტემის ერთეულების მეორე სისტემის ერთეულებად გადაყვანა.

ამ გადაყვანის ძირითადი ფორმულები შემდეგნაირად განისაზღვრება:

მასა და ძალა. ნიუტონის კანონის თანახმად ძალა უდრის მასისა და აჩქარების ნამრავლს:

$$P = m \cdot a. \quad (1)$$

ფიზიკურ სისტემაში მასა ძირითადი ერთეულია, ამიტომ ძალა წარმოებული ერთეული გამოდის; თუ მასა $m=1$ გ. და აჩქარება $a=1 \frac{\text{სმ}}{\text{წმ}^2}$, მაშინ

ძალა $P=1$ გ. $1 \frac{\text{სმ}}{\text{წმ}^2} = 1 \frac{\text{გ} \cdot \text{სმ}}{\text{წმ}^2}$. ამ ძალას ეწოდება დინი.

ტექნიკურ სისტემაში კი ძირითად ერთეულად მიღებულია ძალა, ამიტომ მასა წარმოებული გამოდის; ნიუტონის კანონის განტოლებიდან (1) გამოდინარეობს:

$$m = \frac{P}{a}. \quad (1a)$$



თუ ძალა $P=1$ კგ და აჩქარება $w=1 \frac{მ}{წმ^2}$, მაშინ მასა $m = \frac{1 \text{ კგ}}{1 \frac{მ}{წმ^2}}$

$= 1 \frac{\text{კგ} \cdot \text{წმ}^2}{მ}$. ამ ერთეულს ცალკე სახელი არა აქვს და შემოკლებით აღინიშნება მ. ტ. ე. (იკითხება: მასის ტექნიკური ერთეული)

$$1 \text{ კგ} = 981000 \text{ დინს} = 9,81 \cdot 10^5 \text{ დინს.} \quad (2)$$

მუშაობა და ენერგია. მუშაობა არის ძალისა და მანძილის ნამრავლი:

$$A = P \cdot l \quad (3)$$

ფიზიკურ სისტემაში მუშაობისა და ენერგიის ერთეული იქნება: თუ განტოლებაში (3) მივიღებთ, რომ ძალა $P=1$ დინს და მანძილი $l=1$ სმ, მაშინ მუშაობა $A=1$ დინი $\cdot 1$ სმ $= 1$ ერგს; 10^7 ერგს $= 1$ ჯოულს.

ტექნიკურ სისტემაში კი: თუ ძალა $P=1$ კგ და მანძილი $l=1$ მ, მუშაობა $A=1$ კგ \cdot მ (ცალკე სახელი არ აქვს).

$$1 \text{ კგ} \cdot \text{მ} = 9,81 \cdot 10^5 \text{ დინი} \cdot 100 \text{ სმ} = 9,81 \cdot 10^7 \text{ დინ} \cdot \text{სმ} = 9,81 \cdot 10^7 \text{ ერგს} = 9,81 \text{ ჯოულს} \quad (4)$$

სიმძლავრე. სიმძლავრე არის მუშაობა დროის ერთეულში:

$$N = \frac{A}{\tau} \quad (5)$$

ფიზიკურ სისტემაში სიმძლავრის ერთეული იქნება: თუ მუშაობა $A=1$ ჯოულს და დრო $\tau=1$ წმ, მაშინ სიმძლავრე

$$N = \frac{1 \text{ ჯოული}}{1 \text{ წმ}} = 1 \text{ ვატს}; 10^3 \text{ ვატი} = 1 \text{ კილოვატს.}$$

ტექნიკურ სისტემაში კი, თუ მუშაობა $A=1$ კგ \cdot მ და დრო $\tau=1$ წმ, მაშინ სიმძლავრე $N=1 \frac{\text{კგ} \cdot \text{მ}}{\text{წმ}}$ (ცალკე სახელი არა აქვს)

$$1 \frac{\text{კგ} \cdot \text{მ}}{\text{წმ}} = 9,81 \frac{\text{ჯოული}}{\text{წმ}} = 9,81 \text{ ვატს.} \quad (6)$$

ტექნიკურ სისტემაში სიმძლავრის ერთეულად პირობითად მიღებულია ე. წ. ცხენის ძალა (შემოკლებით აღინიშნება: ც. ძ.), რომელიც უდრის $75 \frac{\text{კგ} \cdot \text{მ}}{\text{წმ}}$;

$$1 \text{ ც. ძ.} = 75 \frac{\text{კგ} \cdot \text{მ}}{\text{წმ}} = 75 \cdot 9,81 \text{ ვატს} = 736 \text{ ვატს} = 0,736 \text{ კვ}, \quad (7)$$

$$\text{შებრუნებით } 1 \text{ კვ} = \frac{1 \text{ ც. ძ.}}{0,736} = 1,36 \text{ ც. ძ.} \quad (7a)$$



ხვედრითი ანუ კუთრი წონა. ნივთიერების წონას მოცულობის ერთეულში ხვედრითი ანუ კუთრი წონა ეწოდება (აღნიშნება γ).

თუ აღვნიშნავთ:

G —ნივთიერების წონას
 V — „ მოცულობას,

მაშინ ხვედრითი წონა იქნება:

$$\gamma = \frac{G}{V}. \quad (8)$$

ფიზიკურ სისტემაში ხვედრითი წონის განზომილება იქნება: თუ

$$G=1 \text{ დინს} = 1 \frac{\text{გ} \cdot \text{სმ}}{\text{წმ}^2} \text{ და } V=1 \text{ სმ}^3, \gamma=1 \frac{\text{დინი}}{\text{სმ}^3} = 1 \frac{\text{გ}}{\text{სმ}^3 \cdot \text{წმ}^2}.$$

ტექნიკურ სისტემაში კი: თუ $G=1$ კგ და $V=1$ მ³

$$\gamma=1 \frac{\text{კგ}}{\text{მ}^3}$$

ამ სიდიდეს აგრეთვე მოცულობითი წონა ეწოდება.

ხვედრითი ანუ კუთრი მოცულობა. ხვედრითი ანუ კუთრი მოცულობა არის ნივთიერების წონის ერთეულის მოცულობა (აღნიშნება v) ე. ი.

$$v = \frac{V}{G}; \quad (9)$$

ცხადია, რომ

$$\gamma = \frac{1}{v} \quad (9a)$$

$$\text{და } v = \frac{1}{\gamma} \quad (9b)$$

ფიზიკურ სისტემაში ხვედრითი მოცულობის განზომილება იქნება:

$$v=1 \frac{\text{სმ}^3}{\text{დინი}} = 1 \frac{\text{სმ}^3 \cdot \text{წმ}^2}{\text{გ}}$$

ტექნიკურ სისტემაში კი:

$$v = \frac{V}{G} = 1 \frac{\text{მ}^3}{\text{კგ}}$$

სიმკვრივე. სიმკვრივე არის მასა, მოთავსებული მოცულობის ერთეულში:

$$\rho = \frac{m}{V} \quad (10)$$

ფიზიკურ სისტემაში სიმკვრივის განზომილება იქნება: თუ მასა $m=1$ მოცულობა $V=1$ სმ³, სიმკვრივე

$$\rho = 1 \frac{\text{გ}}{\text{სმ}^3}$$

ტექნიკურ სისტემაში კი, ვინაიდან მასა უდრის წონას გაყოფილს სიმძიმის ძალის აჩქარებაზე ($m = \frac{G}{g}$), ხოლო ხვედრითი წონა უდრის წონას გაყოფილს მოცულობაზე ($\gamma = \frac{G}{V}$), ამიტომ სიმკვრივე

$$\rho = \frac{m}{V} = \frac{G}{g \cdot V} = \frac{\gamma}{g} \quad (11)$$

ამ ერთეულის განზომილება გამოდის: $\frac{\text{კგ} \cdot \text{წმ}^2}{\text{მ}^3}$.

სიბლანტე. სითხეების ან გაზების მოძრაობის დროს შესამჩნევი მნიშვნელობა აქვს მათ სიბლანტეს. სიბლანტე არის შიგა ხახუნის ის ძალა სითხის ან გაზის ნაწილაკებს შორის, რომელიც ეწინააღმდეგება ნაწილაკების ერთმანეთისაგან დაშორებას. ნიუტონის კანონის თანახმად, ეს ძალა პირდაპირ პროპორციულია სითხის ფენების გადაადგილების ფარდობითი სიჩქარისა და ამ ფენების ურთიერთშეხების ზედაპირის სიდიდისა, დამოკიდებულია სითხის თვისებებზე და არ არის დამოკიდებული წნევაზე:

$$\tau = \mu \cdot f \cdot \frac{d\omega}{dn} \quad (12)$$

სადაც:

τ — არის შიგა ხახუნის ძალა,

f — ორი ფენის ურთიერთშეხების ზედაპირი,

ω — სითხის ან გაზის მოძრაობის სიჩქარე,

n — მანძილი მოძრავი სითხის ან გაზის ფენებს შორის,

$\frac{d\omega}{dn}$ — სიჩქარის ნამატის წარმოებული, რომელიც მოდის ორ ფენას

შორის არსებული მანძილის ერთეულზე (მას ეწოდება „სიჩქარის გრადიენტი“ ნორმალის მიმართულებით),

μ — პროპორციულობის კოეფიციენტი, რომელიც სითხის ან გაზის თვისებებზეა დამოკიდებული (მას ეწოდება სიბლანტის კოეფიციენტი ან პირდაპირ სიბლანტე). ნიუტონის კანონის განტოლებიდან (12) გამომდინარეობს:

$$\mu = \frac{\tau}{f} \cdot \frac{dn}{d\omega} \quad (12a)$$

ამ ფორმულიდან შეგვიძლია მივიღოთ სიბლანტის ერთეული.

ფიზიკურ სისტემაში სიბლანტის ერთეული იქნება: თუ

$$t=1 \text{ დინს}; f=1 \text{ სმ}^2; n=1 \text{ სმ}; \omega=1 \frac{\text{სმ}}{\sqrt{\text{მ}}}$$

$$\mu = \frac{1 \text{ დინი} \cdot 1 \text{ სმ}}{1 \text{ სმ}^2 \cdot 1 \frac{\text{სმ}}{\sqrt{\text{მ}}}} = 1 \frac{\text{დინი} \cdot \sqrt{\text{მ}}}{\text{სმ}^2}$$

ამ ერთეულს ეწოდება პუაზი (აღინიშნება: პ); პუაზის ერთ მეასედს ეწოდება სანტიპუაზი (აღინიშნება: სპ).

ტექნიკურ სისტემაში კი სიბლანტის განზომილება იქნება: თუ

$$t=1 \text{ კგ}; f=1 \text{ მ}^2; n=1 \text{ მ}; \omega=1 \frac{\text{მ}}{\sqrt{\text{წმ}}}$$

$$\mu = \frac{1 \text{ კგ} \cdot 1 \text{ მ}}{1 \text{ მ}^2 \cdot 1 \frac{\text{მ}}{\sqrt{\text{წმ}}}} = 1 \frac{\text{კგ} \cdot \sqrt{\text{წმ}}}{\text{მ}^2}$$

ამ ერთეულს ცალკე სახელი არა აქვს

$$1 \frac{\text{კგ} \cdot \sqrt{\text{წმ}}}{\text{მ}^2} = \frac{9,81 \cdot 10^5 \text{ დინი} \cdot \sqrt{\text{წმ}}}{10^4 \text{ სმ}^2} = 98,1 \frac{\text{დინი} \cdot \sqrt{\text{წმ}}}{\text{სმ}^2} = 98,1 \text{ პუაზს} \quad (13)$$

წნევა. წნევას სითხის ან გაზის ზედაპირის ერთეულზე ხვედრითი წნევა ეწოდება. თუ ძალა P მოქმედებს F ზედაპირზე, მაშინ ხვედრითი წნევა იქნება:

$$p = \frac{P}{F} \quad (14)$$

ხვედრითი წნევა განიზომება ატმოსფეროთი (ატ), ვერცხლისწყლის სვეტის სიმაღლით (ვ·წ·სვ·მ; ვ·წ·სვ·მმ) წყლის, სვეტის სიმაღლით (წ·სვ·მ; წ·სვ·მმ), ატმოსფერო არის ფიზიკური და ტექნიკური.

ფიზიკური ატმოსფერო უდრის ბუნებრივი ჰაერის წნევას ზღვის დონეზე 0°-ის დროს, ის შეესაბამება წნევას ვერცხლისწყლის სვეტისას სიმაღლით 760 მმ ანუ წყლის სვეტისას სიმაღლით

$$760 \cdot 13,6 = 10336 \text{ მმ} = 10,336 \text{ მ},$$

რაც იძლევა წნევას ზედაპირის ერთეულზე

$$p = h \cdot \gamma = 10,336 \text{ მ} \cdot 1000 \frac{\text{კგ}}{\text{მ}^3} = 10336 \frac{\text{კგ}}{\text{მ}^2}$$

ტექნიკურ ატმოსფეროდ კი მიღებულია წნევა ზედაპირის ერთეულზე:

$$p = 1 \frac{\text{კგ}}{\text{სმ}^2} = 10000 \frac{\text{კგ}}{\text{მ}^2}$$

რაც შეესაბამება წნევას ვერცხლისწყლის სვეტისას სიმაღლით:

$$h_{\text{ვ.ნ.სვ}} = \frac{p}{\gamma_{\text{ვ.ნ.}}}} = \frac{1 \frac{\text{კგ}}{\text{სმ}^2}}{13,6 \frac{\text{გ}}{\text{სმ}^3}} = \frac{1000 \frac{\text{გ}}{\text{სმ}^2}}{13,6 \frac{\text{გ}}{\text{სმ}^3}} = 73,56 \text{ სმ} = 735,6 \text{ მმ},$$

ან წნევას წყლის სვეტისას სიმაღლით:

$$h_{\text{ნ.სვ}} = \frac{p}{\gamma_{\text{ნ}}} = \frac{1 \frac{\text{კგ}}{\text{სმ}^2}}{1 \frac{\text{გ}}{\text{სმ}^3}} = \frac{1000 \frac{\text{გ}}{\text{სმ}^2}}{1 \frac{\text{გ}}{\text{სმ}^3}} = 1000 \text{ სმ} = 10 \text{ მ}.$$

§ 2. გადასაზიდ მასალათა ზოგადი დახასიათება

სატრანსპორტო საშუალებათა შერჩევისა და გაანგარიშების დროს აუცილებლად საჭიროა კარგად ვიცოდეთ გადასაზიდ მასალათა ფიზიკურ-ქიმიური თვისებები.

არის შემთხვევები, როდესაც გადასაზიდი მასალა ქიმიურად მძლავრად მოქმედებს სატრანსპორტო საშუალების ნაწილებზე და აზიანებს მათ (მაგალითად, მეთაყვის გადაქაჩვის დროს). მაშინ სატრანსპორტო საშუალების ნაწილები ისეთი მასალისაგან უნდა დამზადდეს, რომელიც ამ ქიმიურ მოქმედებას უძლებს. არის შემთხვევები, როდესაც, პირიქით, საშიშა სატრანსპორტო საშუალების ნაწილების ქიმიური ზემოქმედება გადასაზიდ მასალაზე, რის შედეგადაც შეიძლება ამ უკანასკნელის ხარისხი დაეცეს (მაგალითად: ღვინო-მასალების ჩვეულებრივ მილსადენებში გადაქაჩვის დროს); მაშინ უნდა მივიღოთ საგანგებო ზომები იმისათვის, რომ სატრანსპორტო საშუალების ის ნაწილები, რომლებიც გადასაზიდ მასალას უშუალოდ ეხებიან, სპეციალური მასალისაგან დავამზადოთ (მაგ., უჟანგავი ფოლადისაგან) ან ჩვეულებრივი მასალის ზედაპირი სპეციალური დამცველი ფენებით დავფაროთ (მაგ., მოვერცხლოვ, მოკალევა, ბაკელიტის ლაქით დაფარვა და ა. შ.).

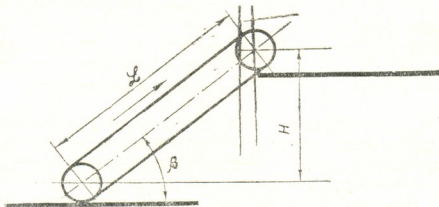
რაც შეეხება გადასაზიდი მასალების ფიზიკურ თვისებებს, მათ გადამწყვეტი მნიშვნელობა აქვს უფრო ფხვიერი მასალებისათვის.

ფხვიერი მასალის ერთ-ერთი ძირითადი ფიზიკური მაჩვენებელი არის ე. წ. დაყრილი წონა — $\gamma_e \left(\frac{\text{კგ}}{\text{ლ}}; \frac{\text{კგ}}{\text{მ}^3}; \frac{\text{ტ}}{\text{მ}^3} \right)$. ესაა ფხვიერი მასალის წონა (კგ, ტ) მოცულობის ერთეულში (ლ, მ³), როდესაც მასალა თავისუფლად არის დაყრილი. ცხადია, რომ ეს წონა ერთსა და იმავე მასალისთვისაც კი არ არის მუდმივი და დამოკიდებულია ცალკე ნაწილაკების ერთგვაროვნობაზე და მათ სიდიდეზე.

დაყრილი წონა ზოგიერთი მასალისათვის მოყვანილია 1-ელ ცხრილში.

მასალის დასახელება	დაყრილი წონა $\frac{გ}{ლ}$	მასალის დასახელება	დაყრილი წონა $\frac{გ}{ლ}$
ხორბალი	0,7 ÷ 0,83	ქვიშა	1,4 ÷ 1,9
ქერი	0,65 ÷ 0,75	ხრეში	1,5 ÷ 1,9
აღლი	0,53	ღორღი მშრალი	1,8
შვრია	0,4 ÷ 0,5	ღორღი სველი	2,0
სიმინდი	0,7 ÷ 0,75	მიწა მშრალი	1,2
ლობიო	0,7 ÷ 0,8	მიწა ტენიანი	1,7
მუხუდო	0,8	თიხა	1,8 ÷ 2,0
სელის თესლი	0,65 ÷ 0,75	თიხა მშრალი, ბელტად	1,0
ბამბის თესლი	0,4	ცემენტი	1,3 ÷ 1,6
ყურძნის წიპწა	0,7 ÷ 0,8	ბარიტი	2,9
პურის ფქვილი	0,5 ÷ 0,64	თაბაშირი დაფქვილი	1,3 ÷ 1,6
დაფქვილი მარილი მშრალი	1,0 ÷ 1,3	სოდა	0,67
დაფქვილი მარილი ტენიანი	1,2 ÷ 2,2	გოგირდი	2,0
ანტრაციტი	0,8 ÷ 0,95	ცარცი	2,5
წვრილი ქვანახშირი	0,75 ÷ 1,0	აგური	1,4 ÷ 1,55
კოქსი	0,36 ÷ 0,47	ყინული	0,88 ÷ 0,92
ბის ნახშირი	0,13 ÷ 0,25	თოვლი მშრალი	0,12
ნაცარი მშრალი	0,4 ÷ 0,6	თოვლი სველი	0,45 ÷ 0,79
ნაცარი ტენიანი	0,7	ბურბუშელა და ნახერხი	0,2 ÷ 0,3
სილა მშრალი	1,4 ÷ 1,65	კაბა და კლერცი აჩენილი	0,6
სილა ტენიანი	1,9 ÷ 2,05	კაბა და კლერცი დატკეპნილი	0,8

მეორე ფიზიკური მაჩვენებელი ფხვიერი მასალისა არის სრიალის ხახუნის კოეფიციენტი (f_2) გადასაზიდ მასალასა და იმ მასალას შორის, რომლი-



ნახ. 1. ტრანსპორტიორის დაბრის კუთხე.

საგანაც დამზადებულია სატრანსპორტო საშუალებების სამუშაო ორგანო. როგორც ცნობილია მექანიკიდან, ხახუნის კოეფიციენტს ერთსა და იმავე მასალისთვისაც ორი სიდიდე აქვს: ხახუნის კოეფიციენტი მოძრაობის



დროს— f_{13} და ხახუნის კოეფიციენტი უძრავობის დროს— f_{12} . ხახუნის კოეფიციენტების მნიშვნელობა ზოგიერთი ფხვიერი მასალისათვის მოყვანილია მე-2 ცხრილში.

ხახუნის კოეფიციენტების ცოდნა აუცილებელია, რადგანაც მათ სიდიდეს გადაწყვეტი მნიშვნელობა აქვს ფხვიერი მასალის დახრილ მდგომარეობაში გადაზიდვის დროს.

მაგალითად (ნახ. 1), თუ დახრილი ლენტისანი ტრანსპორტიორი ფხვიერ მასალას ზემოთ ეზიდება, ტრანსპორტიორის სიგრძე L ერთსა და იმავე სიმაღლისათვის H დამოკიდებულია ტრანსპორტიორის ჰორიზონტთან დახრის β კუთხეზე:

$$L = \frac{H}{\sin \beta} \quad (15)$$

ფხვიერი და ნატენოვანი მასალების ხახუნის კოეფიციენტები ცხრილი 2

მასალის დასახელება	ხახუნის კოეფიციენტები					
	რკინაზე		ზეზე		ბეტონზე	
	f_{12}	f_{13}	f_{12}	f_{13}	f_{12}	f_{13}
ხორბალი	0,36	0,38	0,36	0,58	0,45	0,71
ქერი	0,37	0,58	0,325	0,7	0,45	0,75
შვრია	0, 4	0,58	0,37	0,78	0,45	0,8
სიმინდი	0,36	0,58	0,3	0,58	0,42	0,6
ლობო	0,37	—	0,32	—	0,44	—
მუხუდო	0,26	—	0,27	—	0,3	—
სვლის თესლი	0,34	—	0,31	—	0,42	—
ანტრაციტი	0,29	0,84	0,47	0,84	0,51	0,9
წვრილი ქვანახშირი	0,32	0,84	0,47	0,84	0,5	0,9
კოქსი	0,47	1,0	0,82	1,0	0,84	1,0
ნაცარი მშრალი	0,47	0,84	0,84	1,0	0,84	1,0
მიწა, სილა, ქვიშა	0,58	1,0	—	—	—	—
შაქარი სველი	1, 0	2,14	—	—	—	—
პატო	1,74	2,16	—	—	—	—

როგორც ამ ფორმულიდან გამომდინარეობს, რაც უფრო დიდია კუთხე β , მით უფრო მოკლე გამოვა ტრანსპორტიორი და, მაშასადამე, მით უფრო იაფიც დაჯდება. კუთხე β -ს არჩევის დროს საჭიროა ანგარიში გავუწიოთ გადასაზიდი მასალის ლენტის მასალაზე ხახუნის კოეფიციენტს f_{12} . როგორც ცნობილია, $f_{12} = \tan \rho_a$, სადაც ρ_a არის ხახუნის კუთხე მოძრაობის დროს. ტრანსპორტიორის ნორმალური მუშაობისათვის საჭიროა, რომ ტრანსპორტიორის დახრის კუთხე ნაკლები იყოს ხახუნის კუთხეზე:

$$\beta = \rho_a - (5^\circ \div 10^\circ),$$



წინააღმდეგ შემთხვევაში გადასახიდი მასალა ლენტის ზედაპირზე უკან ჩამოვარდება, ხოლო როდესაც ფხვიერი მასალა სიმძიმის ძალის მეოხებით თვითღონებით ზემოდან ქვემოთ მოძრაობს ლარებში ან მილებში (ნახ. 2), მაშინ, პირიქით, ლარის ან მილის დახრის კუთხე δ ხახუნის კუთხეზე φ მეტი უნდა იყოს:

$$\delta = \varphi + (5^\circ + 10^\circ),$$

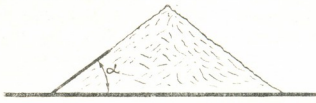
წინააღმდეგ შემთხვევაში ფხვიერი მასალა ლარსა და მილში გაიჭედება.



ნახ. 2. ლარის დახრის კუთხე.

მესამე ფიზიკური მაჩვენებელი ფხვიერი მასალისა არის ე. წ. ბუნებრივი ფერდობის კუთხე. ეს არის ის კუთხე (α), რომელსაც ჰქმნის ფხვიერი მასალის ზევის გვერდი ჰორიზონტთან, როდესაც ფხვიერი მასალა თავისუფლად დაყრილია ჰორიზონტალურ სიბრტყეზე (ნახ. 3).

ამ კუთხის სიდიდე დამოკიდებულია იმ შიგა ხახუნზე, რომელიც არსებობს ფხვიერი მასალის ნაწილაკებს შორის. როგორც ზემოთ აღვნიშნეთ, ხახუნის კოეფიციენტს ორი მნიშვნელობა აქვს. ამის შესაბამისად ბუნებრივი ფერდობის კუთხესაც ორი მნიშვნელობა აქვს: ბუნებრივი ფერდობის კუთხე მოძრაობის დროს— α_0 და ბუნებრივი ფერდობის კუთხე უძრაობის დროს— α_1 .



ნახ. 3. ფხვიერი მასალის ბუნებრივი ფერდობის კუთხე.

ბუნებრივი ფერდობის კუთხეების მნიშვნელობა ზოგიერთი ფხვიერი მასალისათვის მოყვანილია მე-3 ცხრილში.

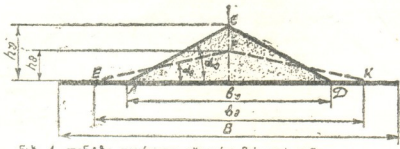
ფხვიერი და ნატეხვანი მასალების ბუნებრივი ფერდობის კუთხეები ცხრილი 3

მასალის დასახელება	ბუნებრივი ფერდობის კუთხეები	
	მოძრაობის დროს α_0	უძრაობის დროს α_1
ბორბალი	25	35
ჭერი	27	35
შერია	28	35
სიმინდი	28	35
ლობიო	31	—
მუხუნდო	25	—
სელის თესლი	25	—
ანტრაციტი	27	45
წვრილი ქვანახშირი	30	45
კოქსი	35	50
ნაკარი მშრალი	40	50
მიწა, სილა, ქვიშა	30	45
შაქარი სველი	50	70



ფხვიერი მასალის ბუნებრივი ფერდობის კუთხის ცოდნა აუცილებელია რადგანაც ეს კუთხე გვაძლევს საშუალებას გავინაგარიშოთ კვეთი იმ მასალისა, რომელიც, ვთქვათ, სატრანსპორტო ლენტზე გადაიზიდება, და გავიგოთ ლენტისანი ტრანსპორტიორის მწარმოებლობა.

თუ ლენტი უძრავად არის, მასზე დაყრილი მასალა (ნახ. 4) მოგვეცემს



ნახ. 4. ლენტზე დაყრილი ფხვიერი მასალის განივი კვეთი.

კვეთს ACD , რომელშიაც ფუძესთან მდებარე კუთხეები ტოლი იქნებიან α_1 , ფუძე— b_2 და სიმაღლე h_1 . როგორც კი ლენტი ამოძრავდება, ცხადია, დაყრილი მასალა ლენტზე უფრო ფართოდ გაიშლება და სიმაღლე კი დაიწვეს, ე. ი. მოძრაობის დროს მასალის კვეთი იქნება EFK , რომელშიაც ფუძესთან მდებარე კუთხეები ტოლი იქნებიან α_2 , ფუძე— b_2 და სიმაღლე კი— h_2 . მაშასადამე, ლენტისანი ტრანსპორტიორის მწარმოებლობის გაანგარიშებისათვის უნდა მივიღოთ მასალის კვეთი EFK და ლენტზე უნდა ვიქონიოთ სივანის მარაგი იმ ვარაუდით, რომ მოძრაობის პროცესში გადასაზიდი მასალა ლენტისანი არ გადმოიყაროს.

§ 3. სატრანსპორტო საშუალებათა დანიშნულება და კლასიფიკაცია

სატრანსპორტო საშუალებათა დანიშნულება. სატრანსპორტო საშუალებათა ძირითადი დანიშნულებაა წარმოებაში ნედლეულისა და ნაშენების გადაადგილება მათი დამუშავების პროცესში. ეს ოპერაცია საერთოდ მძიმე და შრომატევადია, ამავდროს ძვირიც: ის საგრძნობლად აღიდეგს მზაპროდუქციის თვითღირებულებას. ამიტომ სატრანსპორტო ოპერაციების მექანიზაცია ყველა დარგის წარმოებისათვის ფრიალ საჭირო ამოცანას წარმოადგენს.

ჩვენს სოციალისტურ მრეწველობაში სატრანსპორტო ოპერაციების მექანიზაციის განსაკუთრებით დიდი მნიშვნელობა ენიჭება. კაპიტალისტურ მეურნეობაში სატრანსპორტო ოპერაციების მექანიზაცია სრულიადაც არაა შემოღებული მშრომელი ადამიანის შრომის პირობების გაუმჯობესებისათვის, ის ნაკარნახევია, საერთოდ, კაპიტალისტური მეურნეობისათვის დამახასიათებელი მისწრაფებით: მზა პროდუქციის თვითღირებულების შემცირებით კაპიტალისტის მოგების გასაზიდებლად.

ჩვენი სოციალისტური მრეწველობა სატრანსპორტო ოპერაციების მექანიზაციის საშუალებით არა მარტო ამცირებს მზაპროდუქციის თვითღირებულებას და ამით ქმნის პირობებს ჩვენს ქვეყანაში ნაწარმთა სიუხვისათვის,

არამედ სწვევტს სოციალისტური საზოგადოების ერთ-ერთ ძირითად ამოცანას — გაათავისუფლოს ადამიანი მძიმე ფიზიკური შრომისაგან.

ჩვენი სოციალისტური მრეწველობა, რომელიც ძირითადად შექმნილია სტალინური ხუთწლეულების განმავლობაში, მაღალი ტექნიკითა აღჭურვილი. ჩვენი მრეწველობის წამყვანი დარგები იმდენად მექანიზებულია, რომ ტვირთების აწვე-დაწვევაში და გადატან-გადმოტანაში ფიზიკური შრომის გამოყენება მინიმუმამდეა დაყვანილი.

ასეთ სავსებით მექანიზებულ წარმოებებში სატრანსპორტო საშუალებანი ორგანულად არიან შექსოვილი თვით ტექნოლოგიურ მანქანებთან და მათთან ერთად ერთ განუყოფელ აგრეგატს წარმოადგენენ.

ასეთი მდგომარეობა ჩვენ გვაქვს, მაგალითად, მანქანათმშენებელ მრეწველობაში, სადაც განუწყვეტლად მოძრავი კონვეიერების საშუალებით გამოსაშვები მანქანა მთელი თავისი დამუშავების პროცესში მოძრაობს და კონვეიერის ბოლოს მზა სახით გამოდის.

კვების მრეწველობაშიც მოგვეპოვება ასეთი დიდად მექანიზებული წარმოებები, როგორც არის, მაგალითად, საკონსერვო წარმოება, სადაც მიღებულია ე. წ. „ხაზები“. ხაზი წარმოადგენს ერთ რიგში ჩამწყობებულ ტექნოლოგიურ და სატრანსპორტო მანქანებს. ნედლეული მთელი თავისი დამუშავების პროცესში ერთი მიმართულებით მოძრაობს და ხაზის ბოლოში მზა პროდუქციის სახით გამოდის.

ის დიდი, ისტორიული მნიშვნელობის, მიღწევები, რაც ჩვენს საბჭოთა მრეწველობას აქვს შრომის ნაყოფიერების ზრდაში, შრომის ახალი სოციალისტური ფორმების დანერგვასა და სტახანოვური მოძრაობის ფართოდ გაშლაში, თავის მნიშვნელოვან ნაწილში შრომატევად სამუშაოთა მექანიზაციას უნდა მიეწეროს.

ამიტომ ტექნოლოგი, როგორც წარმოების ხელმძღვანელი-სპეციალისტი, აუცილებლად კარგად უნდა იცნობდეს არსებულ სატრანსპორტო საშუალებებს. მას უნდა შეეძლოს სატრანსპორტო საშუალების შერჩევა და მისი წესიერად და ნაყოფიერად გამოყენება თავის წარმოებაში.

სატრანსპორტო საშუალებათა კლასიფიკაცია. სატრანსპორტო საშუალებანი იმისდა მიხედვით, თუ რა სახის მასალის გადაზიდვა ხდება, შეგვიძლია სამ ძირითად კლასად დავყოთ: ა) მაგარი მასალების გადასაზიდი საშუალებანი, ბ) თხევადი მასალების გადასაზიდი საშუალებანი და გ) გაზობრივი მასალების გადასაზიდი საშუალებანი.

თითოეული ამ კლასისაგან კიდევ მოითხოვს დამატებით კლასიფიკაციას სხვადასხვა ნიშანთვისების მიხედვით.

სატრანსპორტო საშუალებანი მაგარი მასალების გადაზიდვისათვის განიყოფიან ოთხ ძირითად ჯგუფად იმისდა მიხედვით, თუ როგორი ხასიათი აქვს იმ სამუშაო ორგანოს მოძრაობას, რომელიც უშუალოდ იტაცებს და გადაადგილებს ტვირთს. ამ ნიშანთვისების მიხედვით ჩვენ შემიძღვ ოთხ ჯგუფს მივიღებთ:

1) პირველ ჯგუფს შეადგენენ ის სატრანსპორტო საშუალებანი, რომლებიც ტვირთს ეზიდებიან სპეციალურად გაყვანილ გზებსა და ლიანდაგებზე.



ასეთებია: ა) ფართო და ვიწროლიანდაგიანი რკინიგზები, რომლებსაც ვიძლია ვუწოდოთ საერთო სახელი „მიწისზედა რელსიანი გზები“, ბ) ყოველგვარი ურიკები და საზიდები, რომლებიც ტვირთს ეზიდებიან სპეციალურად გაყვანილ ურელსო გზებზე. მათ შეგვიძლია ვუწოდოთ „მიწისზედა ურელსო გზები“ და გ) ისეთი სატრანსპორტო საშუალებანი, რომლებშიაც ტვირთი მოთავსებულია ურიკებში, ურიკები კი მოძრაობენ ჩამოკიდებულ რელსზე ან ბაგირზე. მათ ჩვენ შეგვიძლია ვუწოდოთ „კიდული რელსიანი გზები“ ან „კიდული ბაგირიანი გზები“. პირველი ჯგუფის სატრანსპორტო საშუალებებს, მიუხედავად კონსტრუქციული სხვადასხვაობისა, ერთი რამ აქვთ საერთო: სამუშაო ორგანოების (ურიკების, ვაგონების და სხვ.) მოძრაობის გზას შეიძლება ჰქონდეს მრავალი გადაკვეთა და განშტოება.

2) მეორე ჯგუფს შეადგენენ ისეთი სატრანსპორტო საშუალებანი, რომლებსაც ერთი სამუშაო ორგანო აქვთ. ეს სამუშაო ორგანო ჩამოკიდებულია ამწვე მანქანაზე (ჯალამბარზე), რომელიც შეიძლება სტაციონარულად (უძრავად) იყოს დაყენებული და შეიძლება იდგეს მოძრავ სადგარზე. ამ ჯგუფს მიეკუთვნება, გერტიკალური და დახრილი ამწეები, სკრებერები და სხვა ამის მსგავსი საშუალებანი. ამ შემთხვევაში ტვირთი გადაიზიდება ნაწილ-ნაწილად სამუშაო ორგანოს ტრევალობის შესაბამისად.

3) მესამე ჯგუფს შეადგენენ ისეთი სატრანსპორტო საშუალებანი, რომლებშიაც მთელი რიგი სამუშაო ორგანოები შეერთებულია უსასრულო გამწვე ორგანოს საშუალებით. ამ ჯგუფს შეგვიძლია ვუწოდოთ „გამწვე ორგანოიანი სატრანსპორტო საშუალებანი“. ამ ჯგუფს ეკუთვნიან ყოველგვარი ტრანსპორტიორები, ელევატორები და კონვეიერები. სამუშაო ორგანოები ამ შემთხვევაში მოძრაობენ შეკრული წრიული გზით, რომლის ფორმა და ზომა ცვლელი რჩება.

4) მეოთხე ჯგუფს შეადგენენ ისეთი სატრანსპორტო საშუალებანი, რომლებსაც გამწვე ორგანო სრულიად არ გააჩნიათ. სამუშაო ორგანო კი, მოწყობილია ისეთნაირად, რომ ტვირთის გადაზიდვის დროს სამუშაო ორგანოს არ სჭირდება უკან დაბრუნება ახალი ტვირთის მისაღებად. ამ სატრანსპორტო საშუალებებს შეიძლება ვუწოდოთ „გამწვე ორგანოს მოკლებული სატრანსპორტო საშუალებანი“. ამ ჯგუფს მიეკუთვნებიან: 1) საგრავეტაციო და თვითმდენი სატრანსპორტო საშუალებანი, რომლებშიაც ტვირთის გადაადგილება ხდება საკუთარი წონის მეოხებით, 2) ხრახნიანი ტრანსპორტიორები და კონვეიერები, 3) ჰიდრავლიკური ტრანსპორტი, 4) პნევმატიკური ტრანსპორტი და სხვა.

სატრანსპორტო საშუალებანი თხევადი მასალების გადაზიდვისათვის.
 სითხეების გადაზიდვა წარმოებაში, როგორც წესი, ხდება დახურულ მილსადენებში, მილსადენებში სითხის გადაადგილებისათვის საჭიროა, რომ მილსადენის საწყის და ბოლო პუნქტებს შორის არსებობდეს წნევათა სხვაობა. ზოგჯერ ეს წნევათა სხვაობა თავისთავად არსებობს. ასეა მაშინ, როდესაც მილსადენის საწყისი პუნქტი ბოლო პუნქტზე უფრო მაღლა მდებარეობს. ამ შემთხვევაში სითხე გადაადგილდება მილსადენში ბუნებრივი დინებით (თვითდინებით), ხოლო, როდესაც მილსადენის ბოლო პუნქტი საწყის პუნქტზე უფრო მაღლა მდებარეობს, მაშინ სითხის გადაადგილებისათვის საჭირო წნევათა

სხვაობას ჰქმნიან სპეციალური დანადგარები, რომლებსაც ტუმბო ეწოდება. თავისი მოქმედების პრინციპის მიხედვით ტუმბოები სამ ძირითად ჯგუფად განიყოფებიან:

1) ტუმბოები, რომელთა სამუშაო კამერაში მოძრაობს დღეში ან თვალში. ესენი ერთი მხრიდან შეიწოვენ სითხეს სამუშაო კამერაში, მეორე მხრიდან კი დაჰიზნებენ სითხეს კამერიდან საჰიზნ მილსადენში. ამ ჯგუფს ეკუთვნიან პრაქტიკაში ყველაზე უფრო გავრცელებული დგუშიანი, ცენტრიდანული და საროტაციო ტუმბოები.

2) ტუმბოები, რომლებშიაც სითხის აწევა ხდება ჰაერის ან ორთქლის წნევის საშუალებით. ამ ჯგუფს მიეკუთვნებიან სიფონი, მონტეიუ და ერლიფტი.

3) ტუმბოები, რომლებშიაც სითხის როგორც შეწოვა, ისე დაჰიზნა ხდება წყლის ან ორთქლის მოძრავი ჰაერის ენერჯის მეოხებით. ასეთებია ჰავლური ტუმბოები: ორთქლჰავლური და წყალჰავლური.

სატრანსპორტო საშუალებანი გაზობრივი მასალების გადაზიდვისათვის. გაზობრივი მასალების გადაზიდვა აუცილებლად დახშული მილსადენების საშუალებით წარმოებს. გაზის გადაადგილებისათვის საჭირო წნევის შესაქმნელად გაზი ან უნდა შევკუმშოთ ან გავაუხშოთ. ამისათვის არსებობს სპეციალური მანქანები. ამ მანქანების ძირითად მაჩვენებელს შეადგენს, ე. წ. შეკუმშვის ხარისხი: $\frac{P_2}{P_1}$, რომელიც წარმოადგენს მანქანიდან გამოძვალვი გაზის წნევის (P_2) შეფარდებას მანქანაში შემავალი გაზის წნევასთან (P_1). ამ შეკუმშვის ხარისხის სიდიდის მიხედვით ეს მანქანები შემდეგ სამ ჯგუფად განიყოფიან:

1) თუ $\frac{P_2}{P_1} = 3 \div 1000$, მაშინ მანქანას კომპრესორი ეწოდება. წნევა, რომელსაც კომპრესორი ავითარებს 1000 ატ. აღწევს. თუ კომპრესორს გაუხშობაზე ვაძუშავეთ, მას ვაკუუმ-ტუმბო ეწოდება. გაუხშობა, რომელსაც ვაკუუმ-ტუმბო ავითარებს, აღწევს 0,02 ატა (ვაკუუმს 98%-მდე):

2) თუ $\frac{P_2}{P_1} = 1,06 \div 4,0$, მაშინ მანქანას ჰაერსაბერი ეწოდება. წნევა, რომელსაც ჰაერსაბერი ჰქმნის მერყეობს 600 მმ. წყ. სვ. $\div 3$ ატა და გაუხშობა კი 600 მმ. წყ. სვ. $\div 0,3$ ატა ვაკუუმში (70%):

3) თუ $\frac{P_2}{P_1} = 1,0 \div 1,1$, მაშინ მანქანას ვენტილატორი ეწოდება. ვენტილატორისაგან შექმნილი წნევა ან გაუხშობა არ აღემატება 0,1 ატა = 1000 მმ. წყ. სვ.

თუ ჰაერსაბერი ან ვენტილატორი გაუხშობაზე მუშაობს, ორივეს ექსპაუსტერი ეწოდება. მოქმედების პრინციპის მიხედვით გაზის მანქანები შემდეგ ოთხ ჯგუფად იყოფა:

1) გაზის დგუშიანი ტუმბოები და კომპრესორები, რომლებშიაც დგუში უკუქცევად-სწორხაზოვნად მოძრაობს და გაზი იკუმშება სამუშაო კამერის მოცულობის შემცირების გამო.

2) გაზის ცენტრიდანული ტუმბოები და კომპრესორები, რომლებშიაც ბრუნავს სამუშაო თვალი და გაზის შეკუმშვა ხდება ცენტრიდანული ძალის საშუალებით.



3) გაზის საროტაციო ტუმბოები და კომპრესორები, რომლებსაც აქვთ მბრუნავი დღეში და გაზის შეკუმშვა ხდება აგრეთვე სამუშაო კამერის ციკლის შექმნის შემდეგ.

4) გაზის ჰევიანი ტუმბოები და კომპრესორები, რომლებშიც გაზი კონუსური ნაცმიდან გამოიღინება და გაზის შეკუმშვა ხდება მისი დინების სიჩქარის შეცვლის გამო.

§ 4. შ ა ზ ა ლ ი თ ე ბ ი

მაგალითი 1. სხეულზე მოქმედებს ძალა: $P = 12\,000\,000$ დინი. გამოვსახოთ ეს ძალა კგ-ბით.

ამოხსნა: ფორმულის (2) თანახმად: $1\text{ კგ} = 9,81 \cdot 10^8$ დინი, ამიტომ ძალა

$$P = \frac{12\,000\,000}{9,81 \cdot 10^8} = \frac{120 \cdot 10^5}{9,81 \cdot 10^8} = \frac{120}{9,81} = 12,2 \text{ კგ.}$$

მაგალითი 2. რას უდრის წყლის სიმკვრივე, თუ წყლის ტემპერატურაა 20°C ?

ამოხსნა: ფორმულის (11) თანახმად სიმკვრივე: $\rho = \frac{\gamma}{g}$; ჩვენს შემ-

თხვევაში $\rho_{\text{წ}}^{20^\circ} = \frac{\gamma_{\text{წ}}^{20^\circ}}{g}$

$$\gamma_{\text{წ}}^{20^\circ} = 998,62 \frac{\text{კგ}}{\text{მ}^3}; \quad g = 9,81 \frac{\text{მ}}{\text{წმ}^2}$$

მაშასადამე,

$$\rho_{\text{წ}}^{20^\circ} = \frac{998,62}{9,81} = 102 \frac{\text{კგ} \cdot \text{წმ}^2}{\text{მ}^3}$$

მაგალითი 3. რას უდრის ღვინის ტკბილის სიმკვრივე, თუ ტკბილის ტემპერატურა უდრის 20°C და შაქრიანობა შეადგენს 20% ?

ამოხსნა: წინა მაგალითის ანალოგიურად:

$$\rho_{\text{ღ}}^{20^\circ|20\%} = \frac{\gamma_{\text{ღ}}^{20^\circ|20\%}}{g}; \quad \gamma_{\text{ღ}}^{20^\circ|20\%} = 1080 \frac{\text{კგ}}{\text{მ}^3}; \quad g = 9,81 \frac{\text{მ}}{\text{წმ}^2}$$

და მაშასადამე,

$$\rho_{\text{ღ}}^{20^\circ|20\%} = \frac{1080}{9,81} \approx 110 \frac{\text{კგ} \cdot \text{წმ}^2}{\text{მ}^3}$$

მაგალითი 4. წყლის სიბლანტე 20°C -ის დროს უდრის $1,1$ სპ. გამოვსახოთ ეს სიბლანტე ტექნიკური ერთეულებით.

ამოხსნა: ფორმულის (13) თანახმად სიბლანტის ტექნიკური ერთეული შეიცავს $98,1$ პ. ამიტომ წყლის სიბლანტე, ტექნიკური ერთეულებით გამოსახული, ტოლი იქნება:

$$\mu_{\text{წ}}^{20^\circ} = \frac{1,1}{100 \cdot 98,1} = 0,000112 \frac{\text{კგ} \cdot \text{წმ}}{\text{მ}^2} = 11,2 \cdot 10^{-5} \frac{\text{კგ} \cdot \text{წმ}}{\text{მ}^2}$$

მაგალითი 5. ტკბილის სიბლანტე ($t=20^{\circ}\text{C}$; შაქრიანობა 20%/) უდრის
2 სპ. გამოვსახოთ სიბლანტე ტექნიკური ერთეულებით.
ამოხსნა: წინა მაგალითის ანალოგიურად:

$$\mu_{\text{ბ}}^{20^{\circ}\text{C}} = \frac{2}{100 \cdot 98,1} = 0,000204 \frac{\text{კგ} \cdot \text{წმ}}{\text{გ}^2} = 20,4 \cdot 10^{-5} \frac{\text{კგ} \cdot \text{წმ}}{\text{გ}^2}.$$

მაგალითი 6. ძრავის სიმძლავრე უდრის 80 ც. დ. გამოვსახოთ ეს სიმ-
ძლავრე კილოვატობით.

ამოხსნა: ფორმულის (7a) თანახმად:

$$1 \text{ კვ} = 1,36 \text{ ც. დ.}; \text{ მაშასადამე: } N_{\text{კვ}} = \frac{N \text{ ც. დ.}}{1,36} = \frac{80}{1,36} \cong 58,8 \text{ კვ}.$$

მაგალითი 7. ელექტროგენერატორის სიმძლავრე უდრის 150 კვ. გამოვ-
სახოთ ეს სიმძლავრე ცხენის ძალებით.

ამოხსნა: ფორმულის (7) თანახმად:

$$1 \text{ ც. დ.} = 0,736 \text{ კვ}; \text{ მაშასადამე: } N \text{ ც. დ.} = \frac{N_{\text{კვ}}}{0,736} = \frac{150}{0,736} \cong 204 \text{ ც. დ.}$$

მაგალითი 8. ვერცხლისწყლიანი ბარომეტრი გვიჩვენებს წნევას 600
მმ. ვ. წ. სვ. გამოვსახოთ ეს წნევა წყლის სვეტის სიმაღლით.

ამოხსნა: ხვედრითი წნევა $p = h_{\text{ვ. წ.}} \cdot \gamma_{\text{ვ. წ.}} = h_{\text{წ. წ.}}$.

$$\text{აქედან: } h_{\text{წ. წ.}} = h_{\text{ვ. წ.}} \cdot \frac{\gamma_{\text{ვ. წ.}}}{\gamma_{\text{წ. წ.}}} = 0,6 \frac{13600}{1000} \cong 8,18 \text{ მ. წ. სვ.}$$

თავი მეორე

წილრავლიანი ცნობები ჰიდრავლიკიდან

§ 5. ჰიდრავლიკის საზანი

ჰიდრავლიკა ეწოდება მეცნიერებას, რომელიც შეისწავლის სითხეების წონასწორობისა და მოძრაობის კანონებს. ჰიდრავლიკის იმ ნაწილს, რომელიც შეისწავლის სითხეების წონასწორობის კანონებს ჰიდროსტატიკა ეწოდება, იმ ნაწილს კი, რომელიც შეისწავლის სითხეების მოძრაობის კანონებს—ჰიდროდინამიკა.

ჰიდრავლიკა სითხედ იხილავს ყველა იმ ნივთიერებას, რომლებიც თითქმის სრულიად არ ეწინააღმდეგება ცალკე ნაწილაკების ერთმანეთისაგან განშორებას და ფორმის შეცვლას.

სითხე ორნაირია: წვეთოვანი სითხე და გაზობრივი სითხე ანუ გაზი. განსხვავება მათ შორის იმაში მდგომარეობს, რომ წვეთოვანი სითხე თითქმის სრულიად არ იკუმშება და მოცულობითი გაფართოება ძალიან მცირე აქვს. გაზობრივი სითხე კი, პირიქით, ძალიან იკუმშება და აქვს შედარებით დიდი კოეფიციენტი მოცულობითი გაფართოებისა. იმ სიჩქარეების გამოყენებისას, რაც წარმოების პირობებში იხმარება, ჰიდრავლიკის კანონები გამოდგება როგორც წვეთოვანი სითხეებისათვის, ისე გაზებისათვის.

§ 6. ჰიდროსტატიკა

ჰიდროსტატიკური წნევა. ძალას, რომელიც მოდის წონასწორობაში მყოფი სითხის რომელიმე ელემენტის ზედაპირის ერთეულზე, საშუალო ჰიდროსტატიკური წნევა ანუ პირდაპირ ჰიდროსტატიკური წნევა ეწოდება. თუ აღვნიშნავთ:

P —(კგ)—მთელ მოქმედ ძალას;

F —(მ², სმ²)—ზედაპირის ფართობს.

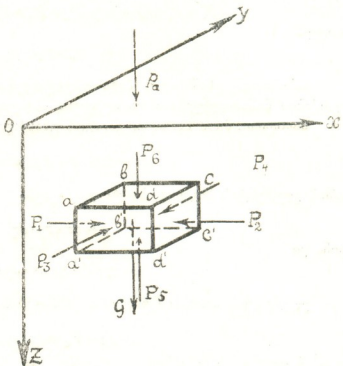
ჰიდროსტატიკური წნევა ტოლი იქნება:

$$p = \frac{P}{F} \left(\frac{კგ}{მ^2} \right) \text{ ან } \left(\frac{კგ}{სმ^2} \right) \quad (16)$$

ჰიდროსტატიკური წნევა მოცემულ წერტილში μ ტოლი იქნება:

$$p = \lim \frac{\Delta p}{\Delta F} \left(\frac{კგ}{მ^2} \right) \text{ ან } \left(\frac{კგ}{სმ^2} \right). \quad (17)$$

დავუშვათ, რომ გვაქვს კურკელი, რომელშიაც ასხია სითხე ზვედრიითაა წონით γ (ნახ. 5). განვალაგოთ კოორდინატთა ღერძები ისე, რომ x და y ღერძები სითხის ზედაპირს დაემთხვენ და z ღერძი კი მიმართული იყოს ვერტიკალურად ქვემოთკენ. ზემოდან სითხეს ზედაპირზე აწევა ატმოსფერული ჰაერი, რომლის წნევა აღვნიშნოთ P_a . სითხის ის ნაწილაკები, რომლებიც ყველაზე უფრო მაღლა მდებარეობენ და სითხის ზედაპირს ჰქმნიან, მხოლოდ გარე ჰაერის წნევას განიცდიან. სითხის ის ნაწილაკები კი, რომლებიც ზედაპირის ქვემოთ მდებარეობენ, გარე ჰაერის წნევის გარდა, განიცდიან კიდევ წნევას სითხის ზემდებარე ნაწილაკების წონისაგან. რადგანაც ატმოსფერული ჰაერის წნევა მოცემულ მომენტში უცვლელია, წნევა, რომელსაც სითხის რომელიმე ელემენტი განიცდის, დამოკიდებული იქნება იმაზე, თუ რა სიღრმეზე მდებარეობს ეს ელემენტი. მაშასადამე, თუ სითხეში ჩვენ გამოვყოფთ ელემენტს პარალელეპიპედის $abcd a' b' c' d'$ სახით (ნახ. 5), მასზე შემდეგი ძალები იმოქმედებს:



ნახ. 5. სითხის ელემენტზე მოქმედ ძალთა სქემა.

- 1) ელემენტის სიძიმის ძალა G , რომელიც პროპორციულია ელემენტის მოცულობისა და მიმართულია ვერტიკალურად ქვემოთკენ.
 - 2) ჰიდროსტატიკური ძალები, რომლებიც ელემენტის წახნაგებზე მოქმედებენ და მიმართული არიან ამ წახნაგების ნორმალურად: P_1, P_2, P_3, P_4, P_5 და P_6 .
- როგორც ცნობილია სტატიკიდან, წონასწორობისათვის საჭიროა, რომ მოქმედი ძალების კოორდინატთა ღერძებზე პროექციათა ჯამი ნულს უდრიდეს. მაშასადამე:
- x ღერძზე პროექციათა ჯამი: $P_1 - P_2 = 0$,
 y ღერძზე პროექციათა ჯამი: $P_3 - P_4 = 0$,
 z ღერძზე პროექციათა ჯამი: $P_5 - P_6 - G = 0$.

აქედან

$$P_1 = P_2; P_3 = P_4; P_5 = P_6 + G,$$

ვინაიდან მოცემულ ელემენტს აქვს პარალელეპიპედის ფორმა, რომელშიაც მოპირდაპირე წახნაგების ფართობები ტოლნი არიან, ე. ი.

$$F_1 = F_2; F_3 = F_4; F_5 = F_6,$$



ამიტომ საშუალო ჰიდროსტატიკური წნევები ვერტიკალური მოპირდაპირული წახნაგებისათვის ტოლნი იქნებიან:

$$p_1 = \frac{P_1}{F_1} = p_2 = \frac{P_2}{F_2}; \quad p_3 = \frac{P_3}{F_3} = p_4 = \frac{P_4}{F_4}$$

ჰორიზონტალური წახნაგებისათვის კი, ვინაიდან

$$P_5 = P_6 + G \text{ აქიდან კი } P_5 > P_6 \text{ და } F_5 = F_6,$$

ამიტომ

$$p_5 > p_6$$

მაშასადამე, საშუალო ჰიდროსტატიკური წნევა არ იცვლება x და y ღერძების მიმართულებით და იცვლება მხოლოდ z ღერძის მიმართულებით.

მივიღოთ, რომ პარალელებიპედს უსასრულოდ მცირე წიბოები აქვს, ე. ი.:

$$bc = dx; \quad ab = dy; \quad ac = dz,$$

მაშინ ელემენტის მოცულობა ტოლი იქნება

$$V = dx \cdot dy \cdot dz$$

წონა კი

$$G = \gamma \cdot V = \gamma \cdot dx \cdot dy \cdot dz.$$

ელემენტის ჰორიზონტალური წახნაგების ფართობები:

$$F_5 = F_6 = dx \cdot dy,$$

ამიტომ წნევები ჰორიზონტალურ წახნაგებზე ტოლი იქნებიან:

$$P_5 = p_5 \cdot dx \cdot dy; \quad P_6 = p_6 \cdot dx \cdot dy,$$

და ვინაიდან

$$P_5 = P_6 + G,$$

ამიტომ:

$$p_5 dx \cdot dy = p_6 dx \cdot dy + \gamma dx \cdot dy \cdot dz$$

აქედან კი

$$p_5 - p_6 = \gamma dz.$$

ამ განტოლების მარცხენა მხარე გამოსახავს ჰიდროსტატიკური წნევის ცვლილებას სიიხის ერთ ფენაში მეორესთან შედარებით, როდესაც მათ შორის მანძილი არის უსასრულოდ მცირე და უდრის dz -ს. ამიტომ ჰიდროსტატიკური წნევის ცვლილებაც შეგვიძლია უსასრულო მცირედ ჩავთვალოთ და მივიღოთ, რომ:

$$p_5 - p_6 = dp$$

და, მაშასადამე:

$$dp = \gamma \cdot dz$$

ინტეგრირების შემდეგ კი გვექნება:

$$p = \gamma \cdot z + \text{const.} \quad (18)$$

ინტეგრირების კონსტანტის გასაგებად გამოვიყენოთ ეს განტოლება (18) სითხის ზედაპირისათვის.

სითხის ზედაპირისათვის: $z=0$ და წნევა კი უდრის გარე ჰაერის წნევას, ე. ი. $p=p_a$

ამიტომ განტოლება (18) სითხის ზედაპირისათვის დაიწერება:

$$p_a = \text{const}$$

და განტოლება (18) საბოლოოდ დაიწერება

$$p = \gamma z + p_a \quad (19)$$

თუ ქურქელი დახურულია და მასში რომელიმე სიმაღლეზე $z=z_0$ იმოქმედებს გარე წნევა $p=p_0$, მაშინ ჰიდროსტატიკური წნევა ზედაპირზე ტოლი იქნება განტოლების (18) თანახმად

$$p_0 = \gamma \cdot z_0 + \text{const.} \quad (20)$$

განტოლებას (18) რომ გამოვაკლოთ განტოლება (20), მივიღებთ:

$$p - p_0 = (\gamma - z_0) \gamma$$

ანუ:

$$\frac{p - p_0}{\gamma} = z - z_0; \quad (21)$$

განტოლება (21) არის ჰიდროსტატიკის ძირითადი განტოლება.

ამ განტოლების მარჯვენა მხარეს $(z - z_0)$, ცხადია, რომ სიგრძის განზომილება აქვს, რადგანაც ის წარმოადგენს სიღრმეთა სხვაობას. აგრეთვე სიგრძის განზომილება აქვს ამ განტოლების მარცხენა მხარესაც:

$$\left[\frac{p}{\gamma} \right] = \left[\frac{\frac{p}{\text{სმ}^2}}{\frac{\text{კგ}}{\text{სმ}^3}} \right] = [\text{სმ}].$$

თუ p_0 უდრის წნევას სითხის ზედაპირზე, მაშინ განტოლების (21) მარჯვენა მხარეს $(z - z_0)$, რომელიც წარმოადგენს $p - p_0$ წნევათა სხვაობის შესაბამის სიმაღლეს—პიეზომეტრული სიმაღლე ეწოდება.

პასკალის კანონი:

განტოლება (21) რომ ამოვხსნათ p -ს მიმართ, მივიღებთ:

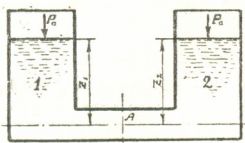
$$p = p_0 + \gamma (z_0 - z). \quad (22)$$

ეს განტოლება (22) გვიჩვენებს, რომ თუ სითხის რომელიმე წერტილში რაიმე სიდიდით შეიცვლება წნევა (p_0), სითხის ყველა სხვა წერტილში წნევა (p) იმავე სიდიდით შეიცვლება.

განტოლება (22) წარმოადგენს პასკალის კანონის მათემატიკურ გამოსახულებას, რომლის თანახმად წნევა, რომელიც მოქმედებს ჭურჭელში ჩასხმულ სითხეზე, თანაბრად გადაეცემა სითხეში ყველა მიმართულებით.

ეს კანონი გვაძლევს საშუალებას გავარკვიოთ სითხის წონასწორობის პირობები მრავალ შემთხვევაში. მოვიყვანოთ ზოგიერთი მათგანი.

ზიარი ჭურჭლები. ავიღოთ ორი თავლია ჭურჭელი, შეერთებული ერთიმეორესთან მილის საშუალებით და ჩავასხათ სითხე ხვედრითი წონით γ (ნახ. 6).



ნახ. 6. ზიარი ჭურჭლების სქემა (ერთი სითხე).

ავიღოთ ნებისმიერი წერტილი A და მასზე გავატაროთ კოორდინატთა ღერძი. აღვნიშნოთ z_1 და z_2 ჭურჭლებში სითხის ზედაპირების კოორდინატები ამ ღერძის მიმართ. თუ A წერტილს მივაკუთვნებთ 1 ჭურჭელს, შეგვიძლია დავწეროთ განტოლების (19) თანახმად:

$$p_1 = p_0 + \gamma z_1$$

თუკი A წერტილს 2 ჭურჭელს მივაკუთვნებთ:

$$p_2 = p_0 + \gamma z_2$$

ვინაიდან სითხე წონასწორობაშია; ამიტომ:

$$p_1 = p_2$$

და, მაშასადამე:

$$p_0 + \gamma z_1 = p_0 + \gamma z_2$$

აქედან კი:

$$z_1 = z_2 \tag{23}$$

ეს ნიშნავს იმას, რომ ზიარ ჭურჭლებში ჩასხმული ერთგვაროვანი სითხე ერთსა და იმავე დონეზე დადგება.

თუ ერთს ამ ჭურჭელთაგანს (ვთქვათ, 1-ს) დავხურავთ და მასში სითხის ზედაპირზე ვიმოქმედებთ წნევით p_0 , მაშინ წონასწორობისათვის საჭირო იქნება, რომ:

$$p_0 + \gamma z_1 = p_0 + \gamma z_2$$

აქედან კი

$$\frac{p_0 - p_a}{\gamma} = z_2 - z_1 \tag{24}$$

ე. ი. ამ შემთხვევაში ჭურჭლებში სითხის დონეთა სხვაობა პიეზომეტრულ სიმაღლეს უდრის.

თუკი ზიარ კუტრკლებში (ორივე თავლია) ჩავსხამთ ორს სხვადასხვა, ერთმანეთში უხსნად სითხეს ხვედრითი წონით γ_1 და γ_2 , (ნახ. 7) წერტილ A ს ავიღებთ მათ მოსაზღვრე ზედაპირზე და მასზე გავავლებთ კოორდინატ-თა ლერძს,—მივიღებთ:

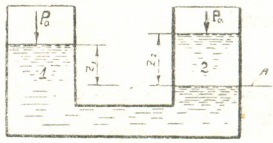
$$p_1 = p_2 + \gamma_1 z_1 \text{ და } p_2 = p_a + \gamma_2 z_2$$

წონასწორობისათვის საჭიროა, რომ

$$p_1 = p_2 \text{ ანუ } p_a + \gamma_1 z_1 = p_a + \gamma_2 z_2$$

აქედან კი:

$$\frac{z_1}{z_2} = \frac{\gamma_2}{\gamma_1} \quad (25)$$

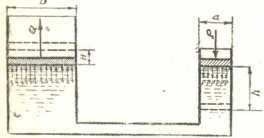


ნახ. 7. ზიარი კუტრკლების სქემა (ორი სითხე).

ე. ი. სითხეების დონეთა სიმაღლეები

მათ გამყოფ ზედაპირამდე უკუპროპორციული არიან მათი ხვედრითი წონებისა.

ჰიდრაულიკური მულტიპლიკატორი. ავიღოთ ორი ცილინდრი, ერთი დიამეტრით— D —(მ) და მეორე დიამეტრით— d —(მ), შევეერთოთ ისინი მილით და ჩავსხამთ მათში ერთი და იგივე სითხე. ზემოთქმულის თანახმად, სითხე ორივე ცილინდრში ერთსა და იმავე დონეზე დადგება. მოვათავსოთ ორივე ცილინდრში სათანადო ზომის დგუშები და მცირე ცილინდრის დგუშზე (ნახ. 8) ვიმოქმედოთ ძალით P —(კგ).



ნახ. 8. ჰიდრაულიკური მულტიპლიკატორის სქემა.

ეს ძალა დგუშის საშუალებით გადაეცემა სითხეს და შექმნის სითხეში ჰიდროსტატიკურ წნევას

$$p = \frac{P}{f} \left(\frac{კგ}{სმ^2} \right), \quad (26)$$

სადაც $f = \frac{\pi d^2}{4}$ (სმ²) არის მცირე ცილინდრის კვეთი.

პასკალის კანონის თანახმად ეს წნევა თანაბრად გავრცელდება მთელ სითხეში ყველა მიმართულებით და, მაშასადამე, სითხე დიდ ცილინდრში მიაწვება დგუშს ხვედრითი წნევით $q = p$. თუ დიდი ცილინდრის დგუშს დავუპირისპირებთ რაიმე სხეულს, დგუში მიაწვება სხეულს ძალით:

$$Q = F \cdot q = F \cdot p \text{ (კგ)},$$

სადაც $F = \frac{\pi D^2}{4}$ (სმ²) არის დიდი ცილინდრის კვეთი.

ჰიდროსტატიკური წნევა დიდ ცილინდრში ტოლი გამოდის;

$$q = p = \frac{Q}{F} \quad (27)$$

განტოლებებიდან (26) და (27) გამომდინარეობს, რომ:

$$\frac{Q}{F} = \frac{P}{f} \text{ ანუ } \frac{Q}{P} = \frac{F}{f}$$

აქედან კი

$$Q = P \frac{F}{f} \text{ (კვ),} \quad (28)$$

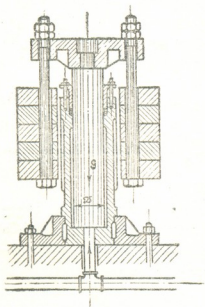
ე. ი. დიდი ცილინდრის დგუშზე შეგვიძლია მივიღოთ Q ძალა იმდენჯერ მეტი მცირე ცილინდრის დგუშზე მოქმედ P ძალაზე, რამდენჯერაც დიდი ცილინდრის კვეთი მეტია მცირე ცილინდრის კვეთზე.

შეფარდებას:

$$\frac{Q}{P} = \frac{F}{f} = m \quad (29)$$

მულტიპლიკაციის კოეფიციენტი ეწოდება. ჰიდრავლიკური მულტიპლიკატორის პრინციპი გამოყენებულია ჰიდრავლიკურ წნეხებში.

ჰიდრავლიკური აკუმულატორი. ზოგიერთ წარმოებაში ფართოდაა გამოყენებული სხვადასხვა ჰიდრავლიკური მანქანები (ჰიდრავლიკური წნეხები, ჰიდრავლიკური ამწეები და სხვა), რომელთა წესიერი მუშაობისათვის საჭიროა მათი მაღალი წნევის სითხით უწყვეტი მომარაგება და წნევის სიდიდის დაცვა. ჩვეულებრივად წნევა ქსელში მერყეობს, რადგანაც მანქანები პერიოდულად მუშაობენ. არის მომენტები, როდესაც სამუშაო პერიოდები ამ მანქანებისა ერთმანეთს ემთხვევა, მაშინ ჰიდროქსელში წნევა ეცემა, ხოლო არის მომენტები, როდესაც მანქანების უქმი პერიოდები ემთხვევა ერთმანეთს, მაშინ წნევა ჰიდროქსელში საჭიროზე მეტი ხდება და შეიძლება ქსელიც დაზიანოს. ჰიდროქსელში მუდმივი წნევის დასაცავად, ხართავენ ჰიდრავლიკურ აკუმულატორს, რომელიც წნევის დაცემის დროს ანაზღაურებს მას და წნევის სიჭარბის დროს კი ჰარბ წნევას ინახავს. ნახ. 9-ზე მოყვანილია სქემატური



ნახ. 9. ჰიდრავლიკური აკუმულატორის სქემა.

ქრილი ტვირთიან ჰიდრავლიკური აკუმულატორისა, რომლის დგუშზე დამაგრებულია განსაზღვრული წონის ტვირთები. ჰიდროქსელში წნევის დაცემის დროს ტვირთები ქვემოთკენ ჩამოდიან და ქსელში წნევას აღიდგენენ. წნევის სიჭარბის დროს ტვირთები ზემოთ ამოდიან და, მათსადაამე, ჰარბი წნევის პოტენციურ ენერჯიას ითვისებენ. არსებობს აგრეთვე ჰაერზე მომუშავე ჰიდრავლიკური აკუმულატორი, რომელშიაც ტვირთის მაგივრად გამოყენებულია ჰაერის ცილინდრი. დგუში ქვემო ნაწილში მუშაობს სითხის ცილინდრში და ზემო ნაწილში კი ჰაერის ცილინდრში. ჰიდროქსელში წნევის სიჭარბის დროს დგუში მაღლა ამოდის და ჰაერს



კუმშავს. წნევის დაცემის დროს კი ჰაერი ფართოვდება და აწვება დგუმის რომელიც ამის გამო ქვემოთ ეწვება და ადიდებს წნევას ჰიდროქსელში.

სითხის წნევა ჭურჭლის ფსკერზე და კედლებზე. თუ სითხე ჩასხმულია ჭურჭელში, რომელსაც ჰორიზონტალური ფსკერი აქვს, მაშინ ჰიდროსტატიკური წნევა ფსკერის ყველა ნაწილში ერთი და იგივე იქნება. ამავე დროს ეს წნევა არ არის დამოკიდებული ჭურჭლის ფორმაზე. ჰიდროსტატიკური წნევა ჭურჭლის ფსკერზე განტოლების (22) თანახმად ტოლი იქნება:

$$p = p_0 + (\rho_0 - \gamma) \gamma$$

ამ შემთხვევაში $\rho_0 - \gamma = H$ სითხის სიმაღლეს ჭურჭელში. ამიტომ

$$p = p_0 + \gamma H \tag{30}$$

ამ ფორმულაში:

$p - \left(\frac{p_0}{\rho_0}\right)$ არის წნევა ჭურჭლის ფსკერზე;

$p_0 - \left(\frac{p_0}{\rho_0}\right)$ — წნევა სითხის ზემო ზედაპირზე;

$H - (H) -$ სითხის სიმაღლე ჭურჭელში;

$\gamma - \left(\frac{p_0}{\rho_0}\right) -$ სითხის ხვედრითი წონა;

საერთო წნევა კი ჭურჭლის ფსკერზე ტოლი იქნება $P = p \cdot F$ ანუ

$$P = (p_0 + \gamma H) F \tag{31}$$

მაშასადამე, საერთო წნევა ჭურჭლის ფსკერზე არ არის დამოკიდებული ჭურჭლის ფორმასა და მოცულობაზე. ის დამოკიდებულია სითხის ხვედრითი წონაზე (γ), ფსკერის ფართობზე (F), სითხის სიმაღლეზე ჭურჭელში (H) და წნევაზე სითხის ზედაპირზე (p_0); ჰიდროსტატიკური წნევა ჭურჭლის კედლებზე კი იცვლება სიმაღლის მიხედვით, ამიტომ საერთო წნევა ვერტიკალურ კედლებზე არათანაბრად ნაწილდება და განისაზღვრება ფორმულით:

$$P = (p_0 + \gamma z) F \tag{32}$$

სადაც: $z - (z)$ არის მანძილი სითხის ზემო ზედაპირიდან კედლის დასველებული ზედაპირის სიმძიმის ცენტრამდე, რაც დამოკიდებულია კედლის გეომეტრიულ ფორმაზე.

ტოლობაში (32) ბრჩხილები რომ გავხსნათ, მივიღებთ:

$$P = p_0 F + F \cdot \gamma \cdot z,$$

რაც გვიჩვენებს, რომ საერთო წნევა კედელზე ორი ნაწილისაგან შედგება: წნევა კედელზე, რომელიც გამოწვეულია სითხეზე მოქმედ გარე წნევით ($p_0 F$) და წნევა კედელზე, რომელიც გამოწვეულია სითხის სიმძიმის ძალით



($F \cdot \gamma \cdot z$). გარე წნევა (p_0) გადაეცემა სითხეში თანაბრად ყველა ელემენტის იმის დამოუკიდებლად, თუ რა სიღრმეზე მდებარეობს ეს ელემენტი. ამიტომ გარე წნევის ტოლქმედი ($p_0 F$) მოდებულია კედლის დასველებული ზედაპირის სიმძიმის ცენტრში. წნევა სითხის სიმძიმის ძალისაგან კი იცვლება სიღრმის ცვალებადობასთან ერთად: რაც უფრო ღრმად მდებარეობს სითხის ელემენტი, მით უფრო მეტ წნევას განიცდის ის სითხის სიმძიმის ძალისაგან. ამიტომ საერთო წნევა კედელზე მოდებულია მუდამ უფრო დაბლა, ვიდრე კედლის დასველებული ზედაპირის სიმძიმის ცენტრი.

§ 7. ჰ ი ღ რ ო ღ ი ნ ა მ ი კ ა

სითხის ხარჯი. თუ სითხე მოძრაობს მუდმივი კვეთის მილსადენში ისე, რომ კვეთი მთლიანად გავსებულია სითხით, მაშინ სითხის მოცულობას, რომელიც დროის ერთეულში გადის მილსადენის რომელიმე კვეთში, სითხის ხარჯი ეწოდება.

ეს ხარჯი განიზომება შემდეგი ერთეულებით:

$$\frac{m^3}{წმ}; \quad \frac{ლ}{წმ}; \quad \frac{ლ}{წთ}.$$

სინამდვილეში სითხის მოძრაობის სიჩქარე მილსადენის კვეთში ცვალებადია: უდიდესი სიჩქარე სითხეს აქვს მილსადენის ღერძზე; მილსადენის კედლებისაკენ ის თანდათან კლებულობს და უშუალოდ კედელთან სითხის ნაწილაკების კედლებზე მიკვრის გამო ნულს უდრის.

ამიტომ პრაქტიკული მიზნებისათვის ჩვენ ვღებულობთ ე. წ. საშუალო სიჩქარეს, რომელიც შემდეგნაირად უნდა გავიანგარიშოთ: თუ აღვნიშნავთ:

$$V_{სა} = \left(\frac{m^3}{წმ} \right) \text{— სითხის ხარჯს;}$$

$$F = (m^2) \text{— მილსადენის კვეთის ფართობს;}$$

$$\omega = \left(\frac{m}{წმ} \right) \text{— სითხის მოძრაობის სიჩქარეს;}$$

მაშინ:

$$\omega = \frac{V_{სა}}{F} \left(\frac{m}{წმ} \right)$$

აქედან

$$V_{სა} = \omega \cdot F \left(\frac{m^3}{წმ} \right) \tag{33}$$

და

$$F = \frac{V_{სა}}{\omega} (m^2)$$

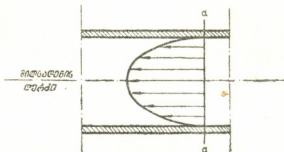
სითხის წონობრივი ხარჯი კი ტოლი იქნება:

$$G_{EE} = \gamma \cdot V_{EE} = \gamma \cdot \omega \cdot F \left(\frac{d\delta}{v\delta} \right), \quad (34)$$

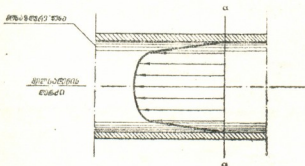
სადაც $\gamma = \left(\frac{d\delta}{v\delta} \right)$ არის სითხის ხვედრითი წონა.

სითხის მოძრაობის ხასიათი. ჰიდროდინამიკის ძირითადი საკითხების გადაჭრისათვის დიდი მნიშვნელობა აქვს სითხის მოძრაობის ხასიათს. როდესაც სითხე ნელა მოძრაობს, მისი ცალკეული ნაწილაკები მოძრაობენ სწორხაზოვნად, ჰქმნიან პარალელურ ქავლაკებს, რომლებიც მოსახვევებში მრუდვთა წესით სისტემას შეადგენენ. ასეთ მოძრაობას ლამინარული (ქაველოვანი) მოძრაობა ეწოდება. ხოლო, როდესაც სითხის მოძრაობა დიდი სიჩქარით ხდება, სითხის ცალკეული ნაწილაკები უწყესრიგოდ მოძრაობენ სხვადასხვა და სულ ცვალებადი მიმართულებით, ასეთ მოძრაობას ტურბულენტური (გრივალისებრი) მოძრაობა ეწოდება. ნახ. 10-ზე მოყვანილია სიჩქარეთა განაწილების სქემა მილსადენში ლამინარული მოძრაობის დროს.

როგორც ეს სქემა გვიჩვენებს, მოძრაობის სიჩქარე მაქსიმალურია ღერძის გასწვრივ, კედლისაკენ ის თანდათან იკლებს და უშუალოდ კედელთან ნულს აღწევს. სიჩქარეთა განაწილება მილსადენის დიამეტრზე პარაბოლის კანონით ხდება. მოძრაობის საშუალო სიჩქარე უდრის მაქსიმალური სიჩქარის ნახევარს. ტურბულენტური მოძრაობის დროს კი, სითხის ცალკეული ნაწილაკების სიჩქარე აღარ რჩება მუდმივი, ის ცვალებადია როგორც სიდიდით, ისე მიმართულებით. ეს სიჩქარე მერყეობს ერთგვარი საშუალო სიჩქარის ირგვლივ, რომელიც მილსადენის ღერძის პარალელურადაა მიმართული. ამ საშუალო სიჩქარეების განაწილების სქემა მილსადენის კვეთის დიამეტრზე ნაჩვენებია ნახ. 11-ზე.



ნახ. 10. სითხის დინების სიჩქარეთა განაწილება მილის კვეთში ლამინარული მოძრაობის დროს.



ნახ. 11. სითხის დინების სიჩქარეთა განაწილება მილის კვეთში ტურბულენტური მოძრაობის დროს.

ქარების ცვალებადობა სწორი ხაზის კანონით ხდება. მრავალმა ცდამ, ჩატარებულმა სითხის მოძრაობის რეჟიმის შესწავლისათვის, ცხადყო, რომ ლამინარულ



ლი მოძრაობა განსაზღვრული პირობების დროს ტურბულენტურ მოძრაობად იქცევა. სითხის იმ მდგომარეობას, როდესაც ლამინარული მოძრაობა ტურბულენტურ მოძრაობად იქცევა, კრიტიკული მდგომარეობა ეწოდება და ამ მდგომარეობის დროს არსებულ სიჩქარეს კი კრიტიკული სიჩქარე. პირობებში, რომლებიც ჰქმნიან კრიტიკულ მდგომარეობას, დამოკიდებული არიან სითხის დინების საშუალო სიჩქარეზე, მილის დიამეტრზე, სითხის სიმკვრივესა და სითხის სიბლანტეზე.

აღნიშნოთ:

$$\omega - \left(\frac{v}{\nu}\right) - \text{სითხის მოძრაობის სიჩქარე;}$$

$$d - (m) - \text{მილის დიამეტრი;}$$

$$\rho - \left(\frac{\rho \cdot d \cdot v^3}{\mu}\right) - \text{სითხის სიმკვრივე;}$$

$$\mu - \left(\frac{\rho \cdot d \cdot v^2}{\mu}\right) - \text{სითხის სიბლანტე;}$$

რეინოლდსისა და სხვა მკვლევართა ცდების შედეგად დადგენილია, რომ როდესაც:

$$\frac{\rho \cdot d \cdot \omega}{\mu} = R_e < 2320. \tag{35}$$

მოძრაობა ლამინარულია.

როდესაც კი:

$$\frac{\rho \cdot d \cdot \omega}{\mu} = R_e > 2320. \tag{36}$$

მოძრაობა ტურბულენტურია.

R_e -ით აღნიშნულია „რეინოლდსის კრიტერიუმი“, რაც წარმოადგენს რიცხვს, რომელსაც განზომილება არა აქვს.

მართლაც:

$$[R_e] = \frac{[\rho] \cdot [d] \cdot [\omega]}{[\mu]} = \frac{\text{კგ} \cdot \text{წმ}^3 \cdot \text{მ} \cdot \text{მ} \cdot \text{წმ}^{-2}}{\text{მ}^4 \cdot \text{წმ} \cdot \text{კგ} \cdot \text{წმ}^{-1}} [0]$$

მაშასადამე, კრიტიკულ მდგომარეობას ახასიათებს რეინოლდსის კრიტერიუმის სიდიდე

$$R_{e,კ6} = 2320$$

კრიტიკული სიჩქარე კი ტოლი გამოდის:

$$\omega_{კ6} = \frac{2320 \cdot \mu}{\rho \cdot d} \left(\frac{v}{\nu}\right) \tag{37}$$

ჰიდრაულიკური რადიუსი და ეკვივალენტური დიამეტრი. ზოგიერთ შემთხვევაში სითხე მოძრაობს ისეთ მილსადენში ან არხში, რომელთა კვეთებს წრიული მოხაზულობა არ აქვთ. აგრეთვე არის შემთხვევები, როდესაც სითხე მთლიანად არ ავსებს მილსადენის კვეთს. ცხადია, რომ ყველა ამ შემთხვევისათვის დიამეტრი (d) არ არსებობს, ამიტომ უნდა მივმართოთ ე. წ. ჰიდრაულიკური რადიუსს r_3 , რომელიც წარმოადგენს მილის ან არხის სითხით გავსებული კვეთის („ცოცხალი კვეთის“) $-F(m^2)$ შეფარდებას მილის ან არხის კვეთის პერიმეტრის იმ ნაწილთან $-s$ (მ), რომელსაც სითხე ეხება („დასველებულ პერიმეტრთან“).

მაშასადამე,

$$r_3 = \frac{F}{s} \quad (მ). \quad (38)$$

მაგალითად, თუ მრგვალი კვეთის მილსადენში მთელი კვეთი გავსებულია სითხით, მისი ჰიდრაულიკური რადიუსი ტოლი იქნება:

$$r_3 = \frac{F}{s} = \frac{\frac{\pi d^2}{4}}{\pi d} = \frac{d}{4}$$

ანუ

$$d = 4r_3 = d_{\text{გვ.}} \quad (39)$$

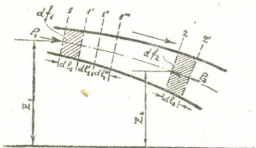
ამის საფუძველზე ჩვენ შეგვიძლია d -ს მაგივრად ვიხმაროთ მისი ტოლი სიდიდე $4r_3$. ჰიდრაულიკური რადიუსის საშუალებით გამოსახულ დიამეტრს ეკვივალენტური დიამეტრი ეწოდება.

ფორმულების (38) და (39) თანახმად შეგვიძლია ყველა შემთხვევისათვის განვსაზღვროთ ეკვივალენტური დიამეტრი შემდეგი ფორმულით:

$$d_{\text{გვ.}} = \frac{4F}{s} \quad (მ). \quad (40)$$

ბერნულის განტოლება იდეალური სითხისათვის. გამოვყოთ დამდგარ მოძრაობაში მყოფი სითხის ნაკადში ელემენტარული ჰევილაკი (ნახ. 12). ამ ჰევილაკში გვატაროთ ორი ნორმალური კვეთი 1 და 1', ერთმანეთისაგან დაშორებულნი dl_1 მანძილით. ეს კვეთები ჰევილაკში გამოყოფენ სითხის ელემენტარულ მოცულობას dV . თუ აღვნიშნავთ ჰევილაკის ცოცხალი კვეთის ფართობს df_1 , მაშინ, ცხადია, რომ

$$dV = df_1 \cdot dl_1$$



ნახ. 12. სითხის ელემენტარული ჰევილაკის სქემა.

დავუშვათ, რომ Δt დროის განმავლობაში სითხის ელემენტარული მოცულობა dV გადაადგილდა ჰევილაკის გასწვრივ და დაიკავა მდებარეობა 2—2' კვეთებს შორის.



ამ გადაადგილების დროს სითხის ელემენტარული მოცულობა ვიწროდება. ვინაიდან სითხე ალბერულია იდეალური, ხახუნის ძალებს მხედველობაში არ ვიღებთ. აღნიშნოთ $1, 1', 1''$ და 2 კვეთებში მოქმედ ჰიდრომექანიკური წნევის ძალთა ინტენსივობა შესაბამისად p_1, p_1', p_1'' და p_2 . აღნიშნოთ აგრეთვე f_1 და f_2 კვეთების სიმძიმის ცენტრის სიმაღლე რომელიმე პირობით აღებული პორიზონტალურ სიბრტყიდან z_1 და z_2 -თი. მექანიკიდან ცნობილია, რომ მატერიალური ნაწილაკების სისტემის მოძრაობის დროს ცოცხალი ძალის ნამატი ამა თუ იმ დროის განმავლობაში უდრის ყველა მოქმედი ძალის მუშაობის ჯამს. ამ შემთხვევისათვის ცოცხალი ძალის ნამატს გავიგებთ შემდეგნაირად:

გამოყოფილი ელემენტარული მოცულობის dV -ს მასა ტოლია:

$$m = \rho \cdot dV = \frac{\gamma}{g} \cdot dV = \frac{\gamma}{g} df_1 \cdot dl_1$$

ვინაიდან მოძრაობა ქავლაკში უწყვეტია, ამიტომ:

$$df_1 \cdot dl_1 = df_2 \cdot dl_2 = dV = \text{const}$$

ცოცხალი ძალის ნამატი კი ტოლი იქნება:

$$\Delta \left(\frac{m \omega^2}{2} \right) = \frac{m \omega_2^2}{2} - \frac{m \omega_1^2}{2} = \frac{\gamma}{g} dV \left(\frac{\omega_2^2}{2} - \frac{\omega_1^2}{2} \right)$$

ახლა გავიგოთ მოქმედ ძალთა მუშაობა.

dV მოცულობის წონა ტოლია:

$$dG = \gamma dV$$

სიმძიმის ძალის მუშაობა კი ტოლი იქნება:

$$dG(z_1 - z_2) = \gamma dV(z_1 - z_2)$$

ჰიდრომექანიკური წნევის ძალთა მუშაობის გასაგებად, წარმოვიდგინოთ, რომ გამოყოფილი მოცულობა dV თავის გადაადგილების დროს ჯერ დაიკავებს მდებარეობას $1-1'$ მერე მდებარეობას $1'-1''$ და ასე შემდეგ, ვიდრე არ მიაღწევს საბოლოო მდებარეობას $2-2'$.

1 მდებარეობიდან $1'$ მდებარეობაში გადასვლის დროს ჰიდრომექანიკური წნევის ძალთა მუშაობა ტოლი იქნება:

მოცულობის მარცხენა (df_1) კვეთისათვის:

$$p_1 \cdot df_1 \cdot dl_1$$

და მარჯვენა (df'_1) კვეთისათვის:

$$-p'_1 df'_1 \cdot dl'_1$$



ნიშანი მინუსი აღებულია იმიტომ, რომ ძალა p_1 მიმართულია მოძრაობის საწინააღმდეგოდ. ჰიდრომექანიკური წნევის ძალთა მუშაობის ჯამი ტოლი იქნება:

$$p_1 \cdot df_1 \cdot dl_1 - p'_1 \cdot df'_1 \cdot dl'_1$$

მოცულობის შემდგომი გადაადგილების დროს ($1'$ მდებარეობიდან $1''$ მდებარეობაში) მარცხენა (df'_1) კვეთზე იმოქმედებს წნევა p'_1 , რომელიც მიმართულია მარცხნიდან მარჯვნივ, მარჯვენა (df''_1) კვეთზე კი იმოქმედებს წნევა p''_1 , რომელიც მიმართულია მარჯვნიდან მარცხნივ. ჰიდრომექანიკური წნევის ძალთა მუშაობა ამ გადაადგილების დროს ტოლი იქნება:

$$p'_1 \cdot df'_1 \cdot dl'_1 - p''_1 \cdot df''_1 \cdot dl''_1$$

p_2 ძალის მუშაობა მოცულობის უკანასკნელი გადაადგილების დროს ტოლი იქნება:

$$-p_2 \cdot df_2 \cdot dl_2$$

ჰიდრომექანიკური წნევის ძალთა მუშაობის ჯამი, ამრიგად, შეიძლება ასეთ სტრიქონებად ჩამოვწეროთ:

$$\begin{aligned} & p_1 \cdot df_1 \cdot dl_1 - p'_1 \cdot df'_1 \cdot dl'_1 \\ & p'_1 \cdot df'_1 \cdot dl'_1 - p''_1 \cdot df''_1 \cdot dl''_1 \\ & \dots \dots \dots \\ & \dots \dots \dots - p_2 \cdot df_2 \cdot dl_2 \\ \Sigma &= p_1 \cdot df_1 \cdot dl_1 - p_2 \cdot df_2 \cdot dl_2 \end{aligned}$$

ყოველი სტრიქონის მეორე წევრი უდრის შემდეგი სტრიქონის პირველ წევრს შებრუნებული ნიშნით, ამიტომ ისინი შეჯამების დროს გაბათილდებიან.

მაშასადამე, ჰიდრომექანიკური წნევის ძალთა მუშაობის ჯამი გამოყოფილი მოცულობის 1 მდებარეობიდან 2 მდებარეობაში გადაადგილებისას ტოლი გამოდის:

$$p_1 \cdot df_1 \cdot dl_1 - p_2 \cdot df_2 \cdot dl_2 = dV(p_1 - p_2)$$

ოცხალი ძალის კანონის თანახმად შეგვიძლია დავწეროთ:

$$\frac{\gamma}{g} dV \left(\frac{\omega_2^2}{2} - \frac{\omega_1^2}{2} \right) = \gamma \cdot dV (\alpha_1 - \alpha_2) + dV(p_1 - p_2)$$

ამ განტოლების თითოეული წევრი რომ გავყოთ $\gamma \cdot dV$ -ზე (ეს კი იმას ნიშნავს, რომ განტოლება სწორი იქნება სითხის წონის ერთეულისათვის), მივიღებთ:

$$\frac{\omega_2^2}{2g} - \frac{\omega_1^2}{2g} = \alpha_1 - \alpha_2 + \frac{p_1}{\gamma} - \frac{p_2}{\gamma}, \quad (41)$$

$$z_1 + \frac{p_1}{\gamma} + \frac{w_1^2}{2g} = z_2 + \frac{p_2}{\gamma} + \frac{w_2^2}{2g}$$

განტოლება (42) არის ბერნულის განტოლება იდეალური სითხის წონის ერთეულისათვის ელემენტარულ ჰავლაკში.

ვინაიდან კვეთები ჰავლაკში ნებისმიერადაა აღებული, ამიტომ, ცხადია, ყოველი ორი კვეთისათვის შეიძლება დაიწეროს:

$$z_1 + \frac{p_1}{\gamma} + \frac{w_1^2}{2g} = z_2 + \frac{p_2}{\gamma} + \frac{w_2^2}{2g} = \text{const} \quad (43)$$

ამ განტოლებაში:

$\frac{p}{\gamma}$ არის ჰიდროსტატიკური წნევის ენერგია;

z —მდებარეობის ენერგია სითხის წონის ერთეულისათვის;

$\frac{w^2}{2g}$ —სითხის წონის ერთეულის კინეტიკური ენერგია.

მაშასადამე, ბერნულის განტოლების თანახმად: ჰიდროსტატიკური წნევის ენერგიის $\left(\frac{p}{\gamma}\right)$, მდებარეობის ენერგიისა (z) და კინეტიკური ენერგიის

$\left(\frac{w^2}{2g}\right)$ ჯამი იდეალური სითხის წონის ერთეულისათვის ელემენტარულ ჰავლაკში მუდმივ სიდიდეს წარმოადგენს; თუ ენერგიას გამოვსახავთ სითხის სვეტის სიმალით, ე. ი.

$$\frac{p}{\gamma} = h_p; \quad z = h_z \quad \text{და} \quad \frac{w^2}{2g} = h_d,$$

მაშინ განტოლება (43) შემდეგ სახეს მიიღებს:

$$h_{p_1} + h_{z_1} + h_{d_1} = h_{p_2} + h_{z_2} + h_{d_2} = \text{const.} \quad (44)$$

ბერნულის განტოლება რეალური სითხისათვის. რეალური სითხისათვის ბერნულის განტოლების გამოსაყენებლად საჭიროა დამატებით აღვრიცხოთ აგრეთვე ხახუნის ძალების მუშაობაც, რადგანაც რეალურ პირობებში ენერგიის ნაწილი იხარჯება მოძრაობის წინააღობის (ხახუნის) დასაძლევად. თუ აღვნიშნავთ h_r -თი ხახუნის ძალის მუშაობას, რომელიც მოდის მოძრავი სითხის წონის ერთეულზე, მაშინ განტოლება (41) შემდეგნაირად დაიწერება:

$$\frac{w_2^2}{2g} - \frac{w_1^2}{2g} = z_1 - z_2 + \frac{p_1}{\gamma} - \frac{p_2}{\gamma} - h_r \quad (45)$$

h_r -ს აქვს ნიშანი მინუსი, რადგანაც ხახუნის ძალის მუშაობა უარყოფითია. განტოლება (45) რომ გარდავქმნათ, მივიღებთ:

$$\bar{x}_1 + \frac{p_1}{\gamma} + \frac{\omega_1^2}{2g} = \bar{x}_2 + \frac{p_2}{\gamma} + \frac{\omega_2^2}{2g} + h_e$$

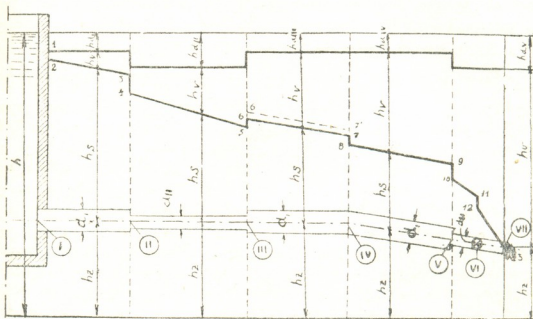
ეს არის ბერნულის განტოლება რეალური სითხისათვის.

თუ ენერგიას გამოვსახებთ სითხის სვეტის სიმაღლით განტოლება (46) შემდეგნაირად დაიწერება:

$$h_{s1} + h_{s1} + h_{d1} = h_{s2} + h_{s2} + h_{d2} + h_e = \text{const.} \quad (47)$$

ბერნულის განტოლების არსის ვაგებთ აადვილებს შემდეგი მაგალითი:

ავილოთ რაიმე ჭურჭელი და შიგ ჩავსახათ წყალი. წყლის დონის სიმაღლე, რომელიმე პირობითი სიბრტყის ზედაპირიდან აღენიშნოთ h -ით (ნახ.13).



ნახ. 13. წნევათა განაწილების სქემა დაბრილ მილსადენში.

ჭურჭელთან შეერთებულია მილსადენი, რომელიც შედგება სხვადასხვა დიამეტრის მილებისაგან. ერთ ადგილას მილსადენს აქვს მუხლი, ხოლო მილსადენის ბოლოში დაყენებულია ონკანი. ონკანი ღიაა და წყალი მილსადენიდან გარეთ გამოდის. წარმოვიდგინოთ, რომ ჭურჭელს განუწყვეტლად ემატება წყალი იმ რაოდენობით, რაც მილსადენიდან გარეთ გამოდის. მაშასადამე, ჭურჭელში წყლის დონის სიმაღლე არ იცვლება და მუდამ h -ს უდრის.

შევადგინოთ დიაგრამა, რომელიც გრაფიკულად გამოსახავს დანაკარგებს და წნევის ცვალებადობას მილსადენის მთელ სიგრძეზე.

დიაგრამის ასაგებად შემდეგნაირად უნდა მოვიქცეთ:

ვაგატაროთ ორი პარალელური ხაზი: ერთი—ჭურჭელში წყლის დონის სიმაღლეზე და მეორე— h მანძილით ქვემოთ (ეს იქნება პირობითი სიბრტყის დონე). მილსადენში მოძრაობის დაწყებისას წყალს ექნება წნევა h . ბერნულის განტოლების თანახმად:

$$h = h_s + h_e + h_d + h_e = \text{const.}$$



ამიტომ მილის ღერძიდან რომ გადავზომოთ პირობითი სიბრტყის დონემდე გეოდეზიური სიმაღლე ანუ მდებარეობის ენერგია h_x (რომელიც ცვალებადია კვეთების მიხედვით), მივიღებთ სხვაობას $h - h_x$, რომელიც შეიცავს სამი მონაკვეთის h_x , h_d და h_e ჯამს. წნევა h_x ამ შემთხვევაში არავითარ გავლენას არ ახდენს მილსადენში წყლის მოძრაობაზე. მილსადენიდან (კვეთი VII-დან) გამომავალ წყალს ეს ენერგია თან მიაქვს, ის მას შეიცავს როგორც პოტენციურ ენერგიას. ამიტომაც იმ შემთხვევაში, როდესაც მილსადენი ჰორიზონტალურია, პირობითი სიბრტყის დონედ მილსადენის ღერძს იღებენ და, მაშასადამე, მდებარეობის ენერგია (h_x) მთლიანად გამოითიშება ანგარიშიდან.

ახლა გადავზომოთ წნევა $h_x = \frac{\omega^2}{2g}$. ამ წნევას დინამიკური წნევა ეწოდება.

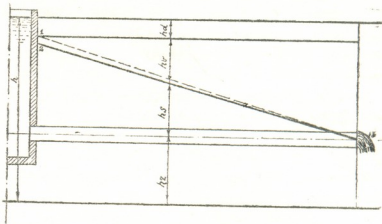
ეს არის ის ენერგია, რომელიც იხარჯება წყლის მოძრაობის სიჩქარის შექმნაზე. ვინაიდან ჩვენს მილსადენს გზადაგზა წყალი არ აკლდება, ე. ი. მილსადენის ყველა კვეთში მოძრაობს წყლის ერთი და იგივე რაოდენობა, ამიტომ მოძრაობის სიჩქარე $\left(\omega = \frac{4V}{\pi d^2} \right)$ დამოკიდებულია მხოლოდ მილის

დიამეტრზე: რაც უფრო ნაკლებია მილსადენის დიამეტრი (d), მით უფრო მეტი იქნება მოძრაობის სიჩქარე (ω). დიაგრამაზე h_d უნდა გადავზომოთ ჭურჭელში სითხის დონის ხაზიდან ვერტიკალურად ქვემოთ. I—II უბანზე ეს იქნება ნაკვეთი h_{dI} , II—III უბანზე $-h_{dII}$. ვინაიდან $d_I > d_{II}$ და, მაშასადამე, $\omega_I < \omega_{II}$, ამიტომ, ცხადია, $h_{dII} > h_{dI}$. III—IV და IV—V უბნებზე ერთი და იგივე დიამეტრის (d_I) ამიტომ $h_{dIII} = h_{dIV}$. V—VII უბანზე დიამეტრი ისევ შემცირდა (d_{II}) ამიტომ $h_{dI} > h_{dII}$. მაშასადამე, დინამიკური წნევის (h_d) ცვალებადობა მილსადენის სიგრძეზე გრაფიკულად გამოისახება საფეხუროვანი ტიხილი ხაზით. მონაკვეთები, რომლებიც დიაგრამაზეა მოთავსებული დინამიკური წნევის ხაზსა და მილსადენის ღერძს შორის გრაფიკულად გამოხატავენ h_x და h_e ჯამს. h_x არის სტატიკური წნევა. ის გამოხატავს იმ წნევას, რომელიც არსებობს მილსადენის ღერძზე (პიეზომეტრული სიმაღლე) h_e კი არის დაკარგული წნევა, ე. ი. ის წნევა, რომელიც დაიხარჯა მოძრაობის წინააღობათა დასაძლევად. დაკარგული წნევა h_e თანდათან მატულობს სტატიკური წნევის h_x -ის ხარჯზე. ამ ორი წნევის ცვალებადობა მილსადენის მთელ სიგრძეზე აგრეთვე უნდა ავაკოთ. პირველი დანაკარგი მილსადენში არის ადგილობრივი დანაკარგი, რომელიც გამოწვეულია იმით, რომ წყალს უხდება მილსადენში შესვლა. ვინაიდან მილსადენში შესასვლელი კვეთი გაცილებით ნაკლებია ჭურჭლის კვეთზე. ადგილი ექნება დანაკარგს. ეს დანაკარგი დიაგრამაზე აღნიშნულია მონაკვეთით 1—2. ამის შემდეგ წნევის დანაკარგი თანაბრად მატულობს. მილსადენი, რომ მთელ სიგრძეზე ერთი და იმავე დიამეტრის იყოს, არ ჰქონდეს გზადაგზა ადგილობრივი დანაკარგები და ჰორიზონტალურად მდებარეობდეს, დიაგრამა იმ სახეს მიიღებდა, რომელიც გამოსახულია ნაკ. 14-ზე.

დიაგრამიდან ჩანს, რომ ამ შემთხვევაში გეოდეზიური წნევა h_x მუდმივია მილსადენის მთელ სიგრძეზე და შეიძლება, როგორც ზემოთ ვთქვით, ის მთლიანად გამოვთიშოთ ანგარიშიდან, თუ პირობითი სიბრტყის დონედ მი-



ვილებთ მილსადენის ღერძს. მუდმივია მილსადენის მთელ სიგრძეზე აგრეთვე დინამიკური წნევა — h_d , რადგანაც უცვლელია მილსადენის მთელ სიგრძეზე წყლის ხარჯი და მილის დიამეტრი და, მაშასადამე, წყლის მოძრაობის სიჩქარეც. ცვალებადია აქ მხოლოდ სტატიკური წნევა h_s და დაკარგული წნევა h_r . ეს ცვალებადობა დიაგრამაზე გამოიხატება ხაზით 2—13. როგორც ვხედავთ, h_s მილსადენის სიგრძის პროპორციულად მცირდება და მის ხარჯზე h_r იზრდება, მილსადენის გამოსასვლელ წერტილში 13 სტატიკური წნევა ნულად იქცევა (მთლიანად დაიხარჯა



ნახ. 14. წნევითა განაწილების სქემა ჰორიზონტალურ მილსადენში.

მოძრაობის წინაღობის დასაძლევად). მილსადენის შესასვლელში რომ ადგილობრივი წინაღობა არ იყოს, წერტილი მე-2 დანმთხვევა 1 წერტილს და 2—13 ხაზი 1—13 ხაზის მდებარეობას დაიკავებდა (დიაგრამაზე წყვეტილი ხაზით არის ნაჩვენები).

დაეუბრუნდეთ ისევ ნახ. 13-ზე მოყვანილ დიაგრამას, როგორც ვთქვით, მილსადენში I კვეთიდან II კვეთამდე დანაკარგი თანაბრად მატულობს, რაც დიაგრამაზე გამოსახულია მონაკვეთით 2—3. II კვეთში არის ადგილობრივი დანაკარგი, რომელიც გამოწვეულია მილსადენის კვეთის შემცირებით. ეს დანაკარგი დიაგრამაზე გამოსახულია მონაკვეთით 3—4. II—III უბანზე დანაკარგი ისევ თანაბრად მატულობს (მონაკვეთი 4—5). როგორც ამას ქვემოთ დავინახავთ, წნევის დანაკარგი დამოკიდებულია მოძრაობის სიჩქარეზე, ამიტომ 2—3 და 4—5 ხაზების დაქანება სხვადასხვაა. II—III უბანზე სიჩქარე მცირეა, ვიდრე I—II უბანზე, ამიტომ 4—5 ხაზი 2—3 ხაზზე უფრო მეტად არის დაქანებული. III—IV უბანზე დინამიკურმა წნევამ იკლო და მის ხარჯზე მოიმატა სტატიკურმა წნევამ, მაგრამ, ვინაიდან III კვეთში არის ადგილობრივი დანაკარგი (კვეთის გაფართოება) ამიტომ წერტილმა 6', წერტილ 6-ის ადგილი დაიჭირა. IV კვეთში არის კიდევ ადგილობრივი დანაკარგი (მუხლი), რაც დიაგრამაზე გამოსახულია მონაკვეთით 7—8. III—IV უბანზე რომ ადგილობრივი დანაკარგები არ იყოს, ხაზი 6—7 დაიჭერდა ხაზ 6'—7'-ის ადგილს.

შემდეგი ადგილობრივი დანაკარგებია: V კვეთში დიაგრამაზე მონაკვეთი 9—10 და VI კვეთში (ონკანი) დიაგრამაზე მონაკვეთი 11—12; მილსადენის გამოსასვლელ კვეთში VII სტატიკური წნევა უკვე ამოწურულია (დაიხარჯა წინაღობაზე), ე. ი. $h_s=0$.

დაკარგული წნევის (h_r) განგარიშება. სითხეების გადაზიდვის დროს, საერთოდ, ასეთი ამოცანა წამოიჭრება: სითხის განსაზღვრული რაოდენობა დროის ერთეულში ($V_{\text{წმ}}$) უნდა მივაწოდოთ ერთი ადგილიდან მეორეში. ამ



ამოცანის გადაჭრა შემდეგი თანმიმდევრობით უნდა ჩავატაროთ: თავდაპირველად უნდა შევარჩიოთ მილის ან არხის კვეთი (f) და სითხის მოძრაობის სიჩქარე (w) ისე, რომ განტოლების (33) თანახმად უზრუნველვეყოთ სითხის მოცემული ხარჯი ($V_{\text{გა}}$), შემდეგ უნდა გავიანგარიშოთ ის საერთო წნევა $h(\Sigma)$, რომელიც უნდა მივიანიჭოთ სითხეს მისი მოძრაობის საწყისს პუნქტში. როგორც ეს გამომდინარეობს ბერნულის განტოლებიდან და ნათლად ჩანს შემომოყვანილი დიაგრამებიდან, ეს საერთო წნევა საჭიროა იმისათვის, რომ: 1) სითხემ გადალახოს მილსადენის თავსა და ბოლოს შორის არსებული სიმაღლეთა სხვაობა (წნევა h_2), 2) დაძლიოს გზადაგზა მოძრაობის არსებული წინაღობანი (ამაზე, დაიხარჯება სტატიკური წნევა h_3) და 3) სითხეს ჰქონდეს კიდევ ენერგია მილსადენიდან მისი ბოლო პუნქტში სითხის გამოდინების სიჩქარის შესაქმნელად (ამაზე დაიხარჯება დინამიკური წნევა h_4 : მაშასადამე,

$$h = h_2 + h_3 + h_4. \quad (48)$$

h_4 -ის გაანგარიშება ადვილია, რადგანაც ის პირდაპირ უდრის მილსადენის თავსა და ბოლოს შორის არსებულ დონეთა სხვაობას, როგორც ვიცით, დინამიკური წნევა ტოლია:

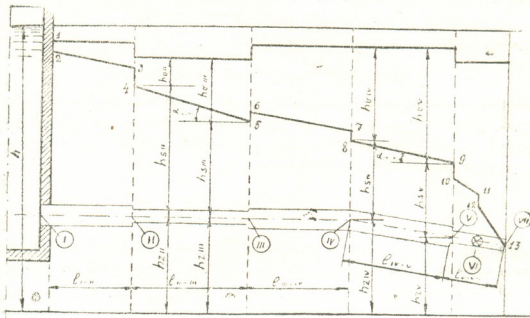
$$h_4 = \frac{w^2}{2g}.$$

ვინაიდან სიჩქარე w უკვე შერჩეულია, h_4 -ს გამოანგარიშებაც ადვილია. მთელი სიძნელე მდგომარეობს სტატიკური წნევის h_3 -ის განსაზღვრაში. როგორც ზემოთ დავინახეთ, სტატიკური წნევა იხარჯება მოძრაობის წინაღობის დასაფარავად. მაშასადამე, ამ წნევის განსაზღვრისათვის საჭიროა წინასწარ, რაც შეიძლება ზუსტად აღერიცხოთ ყველა ის წინაღობა, რომლებიც სითხემ უნდა გადალახოს თავისი მოძრაობის დროს. თუ h_3 -ის გაანგარიშებაში შეცდომა მოგვივიდა (საჭიროზე ნაკლები მივიღეთ), სითხეს მილსადენის გამოსასვლელ კვეთში აღარ აღმოაჩნდება წნევის მარაგი იმ რაოდენობით, რომელიც საჭიროა ნაანგარიშევი სიჩქარის შესაქმნელად. სითხე გამოიძინება მილსადენიდან ნაკლები სიჩქარით და სითხის ხარჯიც გაანგარიშებულზე ნაკლები გამოვა. შეიძლება ისეთი შემთხვევაც წარმოვიდგინოთ, რომ მთელი წნევა მოძრაობის წინაღობაზე დაიხარჯოს, სითხე გამოსასვლელამდე მივიდეს და მილსადენის გარეთ სრულიად არ გამოდინდეს. ამიტომ საჭიროა განვიხილოთ სითხის მილსადენებსა და არხებში მოძრაობის პირობები.

ჰიდრაულიკური ქანობი. წნევის საერთო დანაკარგი ჰიდრაულიკურ წინაღობაზე თავისთავად არ ახასიათებს მილსადენის წინაღობას. დამახასიათებელი იქნება მხოლოდ ხვედრითი დანაკარგი, ე. ი. მილსადენის სიგრძის ერთეულზე მოსული წნევის დანაკარგის სიდიდეს, რომელსაც ჰიდრაულიკური ქანობი ეწოდება და აღინიშნება ასოთი i . წნევა იზომება სითხის სვეტის სიმაღლით, ე. ი. მეტრობით; მეტრობით იზომება აგრეთვე მილსადენის სიგრძე; ამიტომ ჰიდრაულიკური ქანობი განყენებულ რიცხვს წარმოადგენს. ჰიდრაულიკური ქანობის სიდიდის გასაგებად ავიღოთ იგივე ქურჭელ

მილსადენით, რომელიც ნაჩვენებია იყო ნახ. 13-ზე და გავიანგარიშით არაელექტური ქანობი ამ მილსადენის ზოგიერთი უბნისათვის (ნახ. 15).

განვიხილოთ უბანი II—III. ამ უბანზე დინამიკური წნევა $h_d = \text{const}$ (დინამიკური უცვლელია და, მაშასადამე, სიჩქარეც უცვლელია), აგრეთვე $h_s = \text{const}$ (რადგანაც მილი ჰორიზონტალურია), ამიტომ ბერნულის განტოლება II და III კვეთებისათვის შემდეგნაირად დაიწერება:



ნახ. 15. სქემა ჰიდრავლიკური ქანობის განსახლებისათვის.

$$h_{sII} + h_{dII} = h_{sIII} + h_{dIII}$$

აქედან წნევის დანაკარგი II—III უბანზე ტოლი იქნება:

$$h_{vIII} - h_{vII} = h_{sII} - h_{sIII} \quad (49)$$

მაშასადამე, ჰორიზონტალურ ცილინდრულ ერთი და იმავე დიამეტრის მილში, როდესაც სითხის ხარჯი მუდმივია, წნევის დანაკარგი უდრის პიეზომეტრულ სიმაღლეთა სხვაობას. ხაზს, რომელიც აერთებს პიეზომეტრულ სიმაღლეთა წერტილებს, პიეზომეტრული ხაზი ეწოდება. განხილული უბნისათვის პიეზომეტრული ხაზი იქნება 4—5. უბნის სიგრძე არის l_{II-III} , ამიტომ ჰიდრავლიკური ქანობი II—III უბნისათვის ტოლი იქნება:

$$i_{II-III} = \frac{h_{sIII} - h_{sII}}{l_{II-III}} = \frac{h_{sII} - h_{sIII}}{l_{II-III}} \quad (50)$$

როგორც დიაგრამიდან ჩანს, ამ შემთხვევაში (ე. ი. როდესაც $Q = \text{const}$, $d = \text{const}$, $\omega = \text{const}$ და $h_s = \text{const}$) ჰიდრავლიკური ქანობი უდრის პიეზომეტრული ხაზის პორიზონტთან დახრის კუთხის ტანგენსს, ე. ი.:

$$i_{II-III} = \lg \alpha_{II-III} \quad (51)$$

ახლა განვიხილოთ IV—V უბანი. ამ უბანზე მილი დახრილია. სითხის ხატი მილის დიამეტრი და, მაშასადამე, მოძრაობის სიჩქარეც მუდმივი არიან, ამიტომ დინამიკური წნევისა h_{dIV} მუდმივია. ვინაიდან მილი დახრილია, გეომეტრიული წნევა h_s ცვალებადია უბნის მთელ სიგრძეზე. ბერნულის განტოლება ამ უბნის თავისა (IV) და ბოლოს (V) კვეთებისათვის შემდგენიარად დაიწერება:

$$h_{sIV} + h_{sIV} + h_{sIV} = h_{sV} + h_{rV} + h_{sV},$$

საიდანაც წნევის დანაკარგი ტოლი იქნება:

$$h_{rV} - h_{rIV} = (h_{sIV} + h_{sIV}) - (h_{sV} + h_{sV}). \quad (52)$$

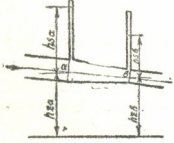
მაშასადამე, დახრილი მილისათვის მუდმივი დიამეტრისა და სითხის მუდმივი ხარჯის დროს წნევის დანაკარგი უდრის პიეზომეტრულ და გეოდეზიურ სიმაღლეთა ჯამთა სხვაობას. ვინაიდან უბნის სიგრძე უდრის l_{IV-V} , ამიტომ ჰიდრავლიკური ქანობი IV—V უბნისათვის ტოლი იქნება:

$$i_{IV-V} = \frac{(h_{sIV} + h_{sIV}) - (h_{sV} + h_{sV})}{l_{IV-V}}. \quad (52)$$

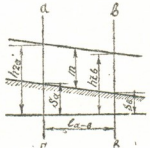
ამ შემთხვევაში l_{IV-V} არის მილის სიგრძე და არა მანძილი პიეზომეტრებს შორის, ამიტომ $i_{IV-V} = \sin \alpha_{IV-V}$. ვინაიდან α_{IV-V} უმეტეს შემთხვევაში მცირეა, ამიტომ არ იქნება დიდი შეცდომა თუ დახრილ მილისთვისაც დაუშვებთ:

$$i_{IV-V} = \text{tg } \alpha_{IV-V}.$$

იმ შემთხვევაში, როდესაც მილსადენში სითხის მოძრაობის სიჩქარე w ცვალებადია ან სითხის ხარჯის ცვალებადობის გამო ერთსა და იმავე დიამეტრის დროს ან დიამეტრის ცვალებადობის გამო ერთი და იმავე სითხის ხარჯის დროს (ნახ. 16), მაშინ ცვალებადი იქნება დინამიკური წნევეც h_d და, მაშასადამე, პიეზომეტრული სიმაღლის ცვალებადობა გამოწვეული იქნება არამარტო წნევის დანაკარგით, არამედ კიდევ დინამიკური წნევის ნაწილის პიეზომეტრულ სიმაღლედ გარდაქმნითაც. პიეზომეტრული ხაზი ამ შემთხვევაში მრულდი იქნება და არა სწორი. a და b კვეთებისათვის (ნახ. 16)



ნახ. 16. სქემა მილსადენისა ცვალებადი კვეთით.



ნახ. 17. ღია კალაპოტის სქემა.

წნევის დანაკარგი ტოლი იქნება:

$$h_{ab} - h_{ba} = (h_{da} + h_{sa} + h_{sa}) - (h_{db} + h_{sb} + h_{sb}). \quad (54)$$

თუ სითხე მოძრაობს ღია კალაპოტში (ნახ. 17), მაშინ სტატიკური წნევა ყველა კვეთისათვის ნულს უდრის. თუ სითხე მოძრაობს მუდმივი სიჩქარით,



კვეთების სიდიდე და სითხის ხარჯიც მუდმივი არიან, მაშინ სითხის ნაკადის სიღრმეც m კალაპოტში მთელ სიგრძეზე შეგვიძლია მუდმივად მივიჩნიოთ. თუ კალაპოტის ფსკერის სიმაღლეს $a-a$ და $b-b$ კვეთებში პირობითი სიბრტყის ზედაპირზე აღვნიშნავთ შესაბამისად s_a და s_b , მაშინ შეგვიძლია დავწეროთ, რომ:

$$h_{2a} = m + s_a \text{ და } h_{2b} = m + s_b.$$

თუ ამ კვეთებს შორის მილის სიგრძე არის l_{a-b} , მაშინ ჰიდრავლიკური ქანობი $a-b$ უბანზე ტოლი იქნება:

$$i_{a-b} = \frac{h_{2a} - h_{2b}}{l} = \frac{s_a - s_b}{l}, \quad (55)$$

სადაც $\frac{s_a - s_b}{l}$ არის კალაპოტის ფსკერის ქანობი. მაშასადამე, ამ კერძო შემთხვევაში ჰიდრავლიკურ ქანობად შეგვიძლია კალაპოტის ფსკერის ქანობი ავიღოთ.

დანაკარგების ხასიათი. როგორც გვიჩვენებს ნახ. 13-ზე მოყვანილი დიაგრამა, წნევის დანაკარგი h_p ორი ნაწილისაგან შედგება: 1) წნევის დანაკარგი, რომელიც გამოწვეულია სითხის მილსადენის კედლებზე ხახუნით. ეს დანაკარგი არსებობს მილის მთელ სიგრძეზე და ამიტომ ის მილის სიგრძის პროპორციულია. დიაგრამაზე ამ დანაკარგის ცვალებადობა გამოსახულია ხაზებით: 2—3, 4—5, 6—7, 8—9, 10—11 და 12—13. 2) ადგილობრივი დანაკარგები, რომლებიც თავს იჩენენ მხოლოდ განსაზღვრულ ადგილას და რომლებიც გამოწვეული არიან მილსადენის გეომეტრიული ფორმის შეცვლით. დიაგრამაზე წნევის ეს დანაკარგები გამოსახულია ხაზებით: 1—2, 3—4, 6—6', 7—7', 9—10 და 11—12.

მილსადენში რომ მოძრაობის წინაღობანი არ არსებობდეს, მაშინ მთელი წნევა, რომელიც სითხეს აქვს მოძრაობის დაწყებისას, მთლიანად სიჩქარის შექმნას მოხმარდებოდა. ამ შემთხვევაში $h_d = h$, ვინაიდან $h_d = \frac{\omega^2}{2g}$, ამიტომ $\omega = \sqrt{2g h_d}$. აღვნიშნოთ ამ თეორიული მოძრაობის სიჩქარე ω_0 , მაშინ:

$$\omega_0 = \sqrt{2g \cdot h_d} = \sqrt{2g h}.$$

რეალურ პირობებში კი, როგორც ვიცით, საერთო h წნევის ნაწილი წინაღობათა დასაძლევად იხარჯება, ამიტომ მოძრაობის ფაქტიური სიჩქარე ω ნაკლები იქნება, ვიდრე ω_0 . თუ მოძრაობის წინაღობათა ჯამს აღვნიშნავთ

$$h_{v_1} + h_{v_2} + h_{v_3} + \dots + h_{v_n};$$

მაშინ შეგვიძლია დავწეროთ:

$$h = h_d + h_{v_1} + h_{v_2} + \dots + h_{v_n}.$$



მოძრაობის წინააღმდეგ რომ არ არსებობდეს, მაშინ თითოეული ამ დანაკარგთაგანი სითხეს დამატებით სიჩქარეს შესძენდა. თუ აღენიშნავთ ამ სიჩქარეებს შესაბამისად

$$w_1, w_2, \dots, w_n,$$

მაშინ ადგილი ექნება ტოლობას:

$$w_0 = w + w_1 + w_2 + \dots + w_n.$$

ვინაიდან სითხე ფაქტიურად მოძრაობს სიჩქარით w , ამიტომ მასზე იხარჯება საერთო წნევის h -ის მხოლოდ ნაწილი h_d , რომელიც ტოლია

$$h_d = \frac{w^2}{2g}.$$

დანაკარგები წინააღმდეგ შეგვიძლია გამოვსახოთ როგორც დინამიკური წნევის ნაწილი:

$$h_{e1} = \zeta_1 h_d = \zeta_1 \frac{w^2}{2g}$$

$$h_{e2} = \zeta_2 h_d = \zeta_2 \frac{w^2}{2g}$$

.....

$$h_{en} = \zeta_n h_d = \zeta_n \frac{w^2}{2g},$$

სადაც $\zeta_1, \zeta_2, \dots, \zeta_n$ არიან წინააღმდეგ კოეფიციენტები, რომლებიც გვიჩვენებენ, თუ დინამიკურ წნევას რა ნაწილს აკლებს წინააღმდეგ ვანილი ფორმულებიდან გამომდინარეობს, რომ:

$$\zeta_n = \frac{h_{en}}{h_d}.$$

ცხადია, რომ კოეფიციენტები $\zeta_1, \zeta_2, \dots, \zeta_n$ განყენებული რიცხვები არიან. საერთო წნევა h შეგვიძლია შემდეგნაირად გამოვხატოთ:

$$h = \frac{w^2}{2g} + \zeta_1 \frac{w^2}{2g} + \zeta_2 \frac{w^2}{2g} + \dots + \zeta_n \frac{w^2}{2g}$$

ან საბოლოოდ:

$$h = \frac{w^2}{2g} \left(1 + \sum_1^n \zeta \right) \quad (56)$$

სითხის მოძრაობის ფაქტიური სიჩქარე კი ტოლი იქნება:

$$w = \sqrt{\frac{2gh}{1 + \sum_1^n \zeta}} \quad (57)$$



სიმარტივისათვის ჩვენ განვიხილეთ ჰორიზონტალური მილი; ამიტომ ფორმულები (50) და (57) სწორი არიან მხოლოდ ჰორიზონტალური მილისათვის. ზოგად შემთხვევაში მილსადენის თავსა და ბოლოს შორის არსებობს სიმაღლეთა სხვაობა. ამ სიმაღლის დასაძლევად, როგორც ზემოთ დავინახეთ, საჭიროა კიდევ წნევა h_2 . ამიტომ ფორმულები (56) და (57) ზოგად შემთხვევისათვის შემდეგ სახეს მიიღებენ:

$$h = h_2 + \frac{\omega^2}{2g} \left(1 + \sum_1^n \zeta \right) \quad (58)$$

$$\omega = \sqrt{\frac{(h - h_2) 2g}{1 + \sum_1^n \zeta} \left(\frac{\partial}{\partial t} \right)} \quad (59)$$

როგორც ზემოთ აღვნიშნეთ, მოძრაობის წინაღობა არის ორი სახის: 1) ხახუნის წინაღობა მილის სიგრძეზე და 2) ადგილობრივი წინაღობანი. შემოყოყანილ წინაღობათა კოეფიციენტებიდან ζ_1 -ით აღვნიშნოთ ხახუნის წინაღობის კოეფიციენტი და დანარჩენები კი ($\zeta_2, \zeta_3, \dots, \zeta_n$) გამოვიყენოთ ადგილობრივ წინაღობათა აღსანიშნავად.

ხახუნის წინაღობის კოეფიციენტის (ζ_1) განსაზღვრა. ხახუნის წინაღობა მილსადენის სიგრძეზე მით უფრო მეტია, რაც უფრო მეტია მილსადენის სიგრძე და რაც უფრო მცირეა მილსადენის დიამეტრი. ვარდა ამისა, აქ მნიშვნელობა აქვს აგრეთვე მოძრაობის ხასიათს. პრაქტიკულად ხახუნის წინაღობის კოეფიციენტი შეგვიძლია შემდეგნაირად გამოვსახოთ:

$$\zeta_1 = \lambda \frac{l}{d} \quad (60)$$

სადაც: l —(მ) არის მილსადენის საერთო სიგრძე,

d —(მ)—მილსადენის დიამეტრი,

λ —გარეშე ხახუნის კოეფიციენტი:

გარეშე ხახუნის კოეფიციენტი შეგვიძლია გამოვსახოთ, როგორც რეინოლდსის რიცხვის ფუნქცია, ე. ი.

$$\lambda = f(Re)$$

ამ ფუნქციის სახე დამოკიდებულია მოძრაობის ხასიათზე: ლამინარული მოძრაობის დროს მას ერთი სახე ექნება და ტურბულენტური მოძრაობის დროს კი სულ სხვანაირი. ლამინარული მოძრაობისათვის ფუნქცია $\lambda = f(Re)$ ადვილად ისაზღვრება თეორიულად. აღვნიშნოთ:

$$p_1 - \left(\frac{\rho \lambda}{g^2} \right) \text{— წნევა მილსადენის თავში;}$$

$$p_2 - \left(\frac{\rho \lambda}{g^2} \right) \text{— წნევა მილსადენის ბოლოში;}$$

d — (მ) — მილსადენის დიამეტრი;

μ — $\left(\frac{\mu \cdot \sqrt{g}}{g^2}\right)$ — სითხის სიბლანტე;

ρ — $\left(\frac{\mu \cdot \sqrt{g}}{g^3}\right)$ — სითხის სიმკვრივე;

l — (მ) — მილსადენის სიგრძე;

ω — $\left(\frac{\omega}{\sqrt{g}}\right)$ — სითხის მოძრაობის სიჩქარე.

ლაშქარული მოძრაობისათვის შეგვიძლია გამოვიყენოთ ხარჯის განტოლება

$$V_{\text{გე}} = \frac{(p_1 - p_2) \pi d^4}{128 \cdot \mu \cdot l} \left(\frac{g^3}{\sqrt{g}}\right); \quad (61)$$

ნეორე მხრივ,

$$V_{\text{გე}} = \frac{\pi d^2}{4} \omega \left(\frac{g^3}{\sqrt{g}}\right).$$

ამიტომ:

$$\frac{(p_1 - p_2) \pi d^4}{128 \cdot \mu \cdot l} = \frac{\pi d^2}{4} \omega,$$

აქედან კი:

$$p_1 - p_2 = \frac{32 \cdot \omega \cdot \mu \cdot l}{d^2}.$$

მაგრამ

$$p_1 - p_2 = \Delta p;$$

ამიტომ

$$\Delta p = \frac{32 \cdot \omega \cdot \mu \cdot l}{d^2}. \quad (62)$$

გავყოთ განტოლების (62) ორივე მხარე $\gamma \cdot \zeta$ -ზე, მაშინ მივიღებთ:

$$\frac{\Delta p}{\gamma} = \frac{32 \cdot \omega \cdot \mu \cdot l}{d^2 \cdot \gamma}.$$

მაგრამ

$$\frac{\Delta p}{\gamma} = h_{r1} = \zeta, \frac{\omega^2}{2g}.$$

მაშასადამე,

$$\zeta \frac{\omega^2}{2g} = \frac{32 \cdot \omega \cdot \mu \cdot l}{d^2 \cdot \gamma}.$$

საიდანაც

$$\zeta = 64 \frac{l}{d} \cdot \frac{\mu}{d \cdot \omega} \cdot \frac{g}{\gamma} = 64 \frac{l}{d} \cdot \frac{\mu}{d \cdot \omega \cdot \rho} = 64 \frac{l}{d} \frac{1}{Re} = \frac{64}{Re} \frac{l}{d}. \quad (62)$$

განტოლებების (60) და (62) შედარების შედეგად, მივიღებთ, რომ ლამინარული მოძრაობისათვის:

$$\lambda_{\text{კრ}} = \frac{64}{Re} \quad (63)$$

ტურბულენტური მოძრაობისათვის, მოვლენის სირთულის გამო თეორიულად $\lambda = f(Re)$ ფუნქციის განსაზღვრა არ ხერხდება. ამ შემთხვევისათვის საერთო ფორმულა არ არსებობს და უნდა ვისარგებლოთ ემპირიული ფორმულებით, რომლებიც გამოყვანილია მრავალი მკვლევარის მიერ სხვადასხვა პირობისათვის. ეს ფორმულები მოყვანილია ჰიდრაულიკის სახელმძღვანელოებში. მოვიყვანთ ორ მათგანს. ეს ორი ფორმულა გამოსადგეია ყველა სითხისათვის.

ბოლახიუსის ფორმულა:

$$\lambda_{\text{ბოლახ}} = \frac{0,3164}{\sqrt[4]{Re}} \quad (64)$$

ეს ფორმულა იხმარება მაშინ, როდესაც $Re < 100\,000$.

ლისის ფორმულა:

$$\lambda_{\text{ლის}} = 0,0072 + \frac{0,6104}{Re^{0,21}}$$

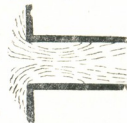
ეს ფორმულა იხმარება მაშინ, როდესაც

$$Re = 2320 \div 460\,000.$$

ადგილობრივ წინაღობათა კოეფიციენტების განსაზღვრა. ადგილობრივ წინაღობათა კოეფიციენტები მიღებულია ცდების შედეგად. მოვიყვანოთ მათი სიდიდეები ზოგიერთი უფრო ხშირად საჭირო შემთხვევისათვის.

1. მილში შესასვლელი, როდესაც შესასვლელში მილს მახვილი პირი აქვს (ნახ. 18)

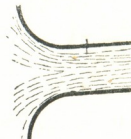
$$\zeta = 0,5. \quad (65)$$



ნახ. 18. მილში შესასვლელი მახვილი პირით.

2. მილში შესასვლელი, როდესაც მილისკენ გადასვლა მდოვრედ ხდება (ნახ. 19)

$$\zeta = 0,04 \div 0,1 \text{ საშუალო } \zeta = 0,08. \quad (66)$$



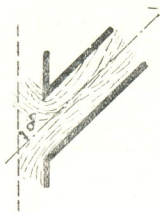
ნახ. 19. მილში შესასვლელი მდოვრი პირით.

3. ცილინდრული მილი, რომელიც δ კუთხით უერთდება

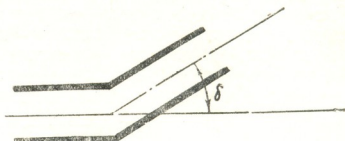
(ნახ. 20)

$$\zeta = 0,505 + 0,303 \sin \delta + 0,226 \sin^2 \delta.$$

(67)



ნახ. 20. მილების შეერთება
მახვილი კუთხით.



ნახ. 21. მოუმრგვალებელი მუხლი.

4. სიჩქარის მიმართულების შეცვლა. თუ მუხლი მოუმრგვალებელია

(ნახ. 21).

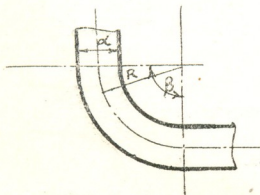
$$\zeta = 0,946 \sin^2 \frac{\delta}{2} + 2,047 \sin^4 \frac{\delta}{2}.$$

(68)

ამ ფორმულით გაანგარიშებული ζ -ს მნიშვნელობა δ კუთხის მიხედვით მოყვანილია მე-4 ცხრილში.

ცხრილი 4								
δ	20°	40°	60°	80°	90°	100°	120°	140°
ζ	0,046	0,139	0,364	0,74	0,985	1,26	1,861	2,431

თუ მუხლი მომრგვალებულია (ნახ. 22) და მომრგვალების კუთხე $\beta = 90^\circ$:



ნახ. 22. მომრგვალებული მუხლი.

$$\zeta = 0,131 + 1,847 \left(\frac{d}{D} \right)^{\frac{7}{2}},$$

(69)

სადაც: d —(მ) არის მილის დიამეტრი,
 D —(მ) — მომრგვალების დიამეტრი.

ζ -ს მნიშვნელობა $\frac{d}{D}$ შეფარდების მიხედვით მოყვანილია მე-5 ცხრილში:

$\frac{d}{D}$	0,1	0,2	0,3	0,4	0,5	0,6	0,7	0,8	0,9	1,0
ζ	1,31	0,138	0,158	0,206	0,294	0,44	0,661	0,777	1,408	0,978

თუ მილი არის სწორკუთხოვანი კვეთის, რომელსაც მომრგვალების სიბრტყეში აქვს ზომა b

$$\zeta = 0,124 + 3,104 \left(\frac{b}{D} \right)^{\frac{7}{2}}. \quad (70)$$

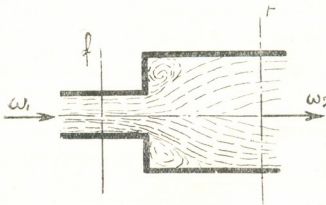
ζ -ს მნიშვნელობა $\frac{b}{D}$ შეფარდების მიხედვით მოყვანილია მე-6 ცხრილში:

ცხრილი 6

$\frac{b}{D}$	0,1	0,2	0,3	0,4	0,5	0,6	0,7	0,8	0,9	1,0
ζ	0,124	0,135	0,18	0,25	0,348	0,643	1,015	1,546	2,271	3,228

თუ მუხლის მომრგვალების კუთხე $\beta \neq 90^\circ$ შემომოცემული მნიშვნელობა ζ -სი უნდა გამრავლდეს შეფარდებაზე $\frac{\beta}{90^\circ}$.

ნ. ხიჩარის სიდიდის შეცვლა. ქველის უეცარი გაფართოება (ნახ. 23).



ნა. 23. ქველის უეცარი გაფართოება.

წნევის დანაკარგი ამ შემთხვევისათვის განისაზღვრება ბორღას თეორემით (დანაკარგი ჰიდრაულიკურ დარტყმაზე)

$$h_r = \frac{(w_1 - w_2)^2}{2g} = \frac{w_2^2}{2g} \left(\frac{w_1}{w_2} - 1 \right)^2. \quad (71)$$

მაგრამ, ვინაიდან:

$$V_{\text{წმ}} = w_1 \cdot f = w_2 \cdot F$$

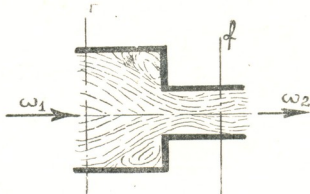
ამიტომ:

$$h_* = \left(\frac{F}{f} - 1 \right)^2 \frac{\omega_2^2}{2g}$$

და საბოლოოდ:

$$\zeta = \left(\frac{F}{f} - 1 \right)^2. \quad (72)$$

ჭავლის უეცარი შევიწროება (ნახ. 24).

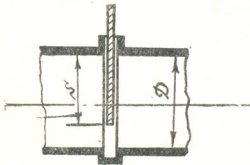


ნახ. 24. ჭავლის უეცარი შევიწროება.

სათანადო გაანგარიშების შემთხვევებში შეგვიძლია ვისარგებლოთ მე-7 ცხრილით:

ცხრილი 7						
$\frac{f}{F}$	0,01	0,1	0,2	0,4	0,6	0,8
ζ	0,5	0,5	0,42	0,33	0,25	0,15

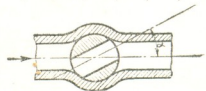
5. ხაკეტი (ნახ. 25). წინაღობის კოეფიციენტი დამოკიდებულია იმაზე, თუ რამდენად ღიაა მილის კვეთი, ე. ი. შეფარდებაზე $\frac{s}{D}$. სათანადო სიდიდეები მოყვანილია მე-8 ცხრილში:



ნახ. 25. ხაკეტი.

ცხრილი 8								
$\frac{s}{D}$	0	$\frac{1}{8}$	$\frac{1}{4}$	$\frac{3}{8}$	$\frac{1}{2}$	$\frac{5}{8}$	$\frac{3}{4}$	$\frac{7}{8}$
ζ	0	0,07	0,26	0,81	2,06	5,52	17,0	97,8

6. ონკანი (ნახ. 26). წინაღობის კოეფიციენტი ამ შემთხვევაში დამოკიდებულია ონკანის გაღების კუთხეზე α . მისი მნიშვნელობა მოყვანილია მე-9 ცხრილში:



ნახ. 26. ონკანი.

α	5°	10°	15°	20°	25°	30°	35°	40°	45°	50°	55°	60°	65°
ζ	0,05	0,29	0,75	1,56	3,1	5,47	9,68	17,3	31,2	52,6	106	206	486

კოფიციენტები სხვა ადგილობრივი წინაღობებისათვის მოკვანილია სპეციალურ ლიტერატურაში.

სითხის გამოდენა ნახვრეტიდან. ხშირად საჭირო ხდება გაანგარიშება სითხის იმ რაოდენობისა, რომელიც გამოიღინება ჭურჭლიდან მის კედელში გაკეთებული ნახვრეტის საშუალებით. აღნიშნით:

γ — $\left(\frac{\text{კგ}}{\text{მ}^3}\right)$ — სითხის ხვედრითი წონა;

h — (მ) — სითხის დონის სიმაღლე ჭურჭელში;

f_0 — (მ²) — ჭურჭლის ფსკერში გაკეთებული ნახვრეტის კვეთის ფართი;

ω_0 — $\left(\frac{\text{მ}}{\sqrt{\text{წმ}}}\right)$ — ნახვრეტიდან სითხის გამოღინების თეორიული სიჩქარე;

ω — $\left(\frac{\text{მ}}{\sqrt{\text{წმ}}}\right)$ — ნახვრეტიდან სითხის გამოღინების ფაქტიური სიჩქარე;

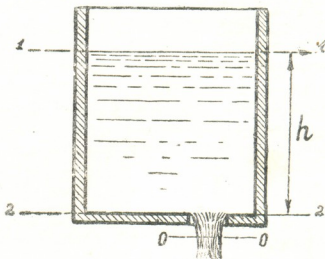
F — (მ²) — ჭურჭლის კვეთის ფართი;

Ω — $\left(\frac{\text{მ}}{\sqrt{\text{წმ}}}\right)$ — ჭურჭელში სითხის დონის დაწვევის სიჩქარე;

τ — (წმ) — სითხის გამოდენის ხანგრძლიობა.

7. სითხის გამოდენა იმ შემთხვევაში, როდესაც სითხეს ჭურჭელში მუდმივი დონე აქვს. ავიღოთ ცილინდრული ფორმის ჭურჭელი (ნახ. 27), რომელშიაც ასხია სითხე h

სიმაღლემდე, და ფსკერში აქვს ნახვრეტი, რომლიდანაც სითხე გარეთ გამოდის; დავიცვათ ამ ჭურჭელში სითხის დონე ერთსა და იმავე სიმაღლეზე h , ე. ი. ჭურჭელში განუწყვეტლად ვასხათ იმდენი სითხე, რამდენიც მისგან ნახვრეტის საშუალებით გამოიღინება. ჭურჭელი არის თავლია, ე. ი. სითხის ზედაპირი ატმოსფეროს ეხება. სითხის გამოდენაც უშუალოდ ატმოსფეროში ხდება. ნახვრეტის კვეთი ჭურჭლის კვეთთან შედარებით მცირეა:



ნახ. 27. სითხის გამოდენა ჭურჭლიდან მუდმივი წნევის დროს.

$$\frac{F}{f} > 20.$$



განვიხილოთ ორი კვეთი: სითხის ზედაპირზე 1—1 და ნახვრეტის წინა მხარეზე 2—2. თუ არ მივიღებთ მხედველობაში წნევის დანაკარგს გამოდენაზე, ე. ი. განვიხილავთ თეორიულ შემთხვევას, ამ კვეთებისათვის ბერნულის განტოლება შემდეგნაირად დაიწერება:

$$h + \frac{p_a}{\gamma} + \frac{\Omega^2}{2g} = 0 + \frac{p_a}{\gamma} + \frac{\omega_0^2}{2g}. \quad (73)$$

ვინაიდან ჭურჭლის კვეთი ნახვრეტის კვეთთან შედარებით გაცილებით დიდია, შეგვიძლია მივიღოთ, რომ:

$$\Omega = 0,$$

მაშინ განტოლება (73) შემდეგნაირად დაიწერება:

$$h = \frac{\omega_0^2}{2g}$$

აქედან სითხის გამოდენის თეორიული სიჩქარე ტოლი იქნება:

$$\omega_0 = \sqrt{2gh} \quad (74)$$

ეს ფორმულა ცნობილია ტორიჩელის ფორმულის სახელით. ეს ფორმულა გვიჩვენებს, რომ სითხის გამოდენის თეორიული სიჩქარე უდრის სიჩქარეს სხეულისას, რომელიც თავისუფლად ეცემა თავისი სიმძიმის ძალის მეოხებით h სიმაღლიდან. სინამდვილეში სითხის გამოდენის სიჩქარე თეორიულზე ნაკლებია. საქმე ისაა, რომ სითხის ჭავლი ნახვრეტიდან გამოსვლისას შეეკუმშვას განიცდის. სითხის ცალკე ჭავლაკებს პარალელური მოძრაობა აქვთ მხოლოდ ამ შეკუმშულ კვეთში. ნახვრეტის დონეზე კი პარალელური მოძრაობა არის მხოლოდ ღერძის გასწვრივ, ნაპირებისკენ კი ჭავლაკებს პარალელური მოძრაობა არა აქვთ. ამიტომ ბერნულის განტოლების გამოყენება 2—2 კვეთისათვის არ შეიძლება. მაშასადამე, ბერნულის განტოლების გამოყენებისათვის უნდა ავიღოთ კვეთი 0—0 ჭავლის შეკუმშვის ადგილზე. გარდა ამისა, ნახვრეტიდან სითხის გამოდენისას გვექნება წნევის დანაკარგი ადგილობრივ წინალობაზე. თუ ადგილობრივი წინალობის კოეფიციენტს აღვნიშნავთ ζ , მაშინ ბერნულის განტოლება 1—1 და 0—0 კვეთებისათვის შემდეგნაირად დაიწერება:

$$h + \frac{p_a}{\gamma} + \frac{\Omega^2}{2g} = 0 + \frac{p_a}{\gamma} + \frac{\omega^2}{2g} + \zeta \frac{\omega^2}{2g} \quad (75)$$

თუ თეორიულ შემთხვევის ანალოგიურად მივიღებთ

$$\Omega = 0,$$

მაშინ განტოლება (75) შემდეგ სახეს მიიღებს:

$$h = (1 + \zeta) \frac{\omega^2}{2g}. \quad (76)$$

აქედან სიჩქარე შეკუმშულ კვეთში ანუ სითხის გამოდენის ფაქტიური სიჩქარე ტოლი იქნება:

$$\omega = \frac{1}{\sqrt{1+\zeta}} \sqrt{2gh}, \quad (77)$$

თუ აღვნიშნავთ

$$\frac{1}{\sqrt{1+\zeta}} = \varphi, \quad (78)$$

ფორმულა (77) შემდეგ სახეს მიიღებს:

$$\omega = \varphi \sqrt{2gh}, \quad (79)$$

კოეფიციენტს φ -ს სიჩქარის კოეფიციენტი ეწოდება.

თუ გავყოფთ განტოლებას (79) განტოლებაზე (74) შივილებთ, რომ:

$$\varphi = \frac{\omega}{\omega_0},$$

ე. ი. სიჩქარის კოეფიციენტი არის ფაქტიურ და თეორიულ სიჩქარეთა შეფარდება, ამიტომ ის არის განყენებული რიცხვი, მულამ ერთზე ნაკლები.

ქველის შეკუმშული კვეთის ფართი ნაკლებია ნახვრეტის კვეთის ფართზე. თუ შეკუმშული კვეთის ფართს აღვნიშნავთ f (m^2), მაშინ შეფარდებას

$$\frac{f}{f_0} = \alpha \quad (80)$$

შეკუმშვის კოეფიციენტი ეწოდება.

სითხის ხარჯის გასაანგარიშებლად უნდა ავიღოთ ქველის შეკუმშული კვეთის ფართი f და არა ნახვრეტის კვეთის ფართი f_0 . შეკუმშული კვეთის ფართი განტოლებიდან (80) ტოლი გამოდის:

$$f = \alpha \cdot f_0. \quad (81)$$

სითხის რაოდენობა, რომელიც გამოიდინება ჭურჭლიდან განტოლების (33) თანახმად ტოლი იქნება:

$$V_{\text{გვ}} = \omega \cdot f = \varphi \sqrt{2gh} \cdot \alpha \cdot f_0 = \alpha \cdot \varphi \cdot f_0 \sqrt{2gh} \left(\frac{m^3}{წმ} \right), \quad (82)$$

თუ აღვნიშნავთ სიჩქარის კოეფიციენტის (φ) და შეკუმშვის კოეფიციენტის (α) ნამრავლს ასოთი ψ , ე. ი.

$$\psi = \alpha \cdot \varphi, \quad (83)$$

მაშინ განტოლება (82) შემდეგნაირად დაიწერება:

$$V_{\text{გვ}} = \psi \cdot f_0 \sqrt{2gh} \left(\frac{m^3}{წმ} \right); \quad (84)$$

კოეფიციენტს ψ -ს ხარჯის კოეფიციენტი ეწოდება.

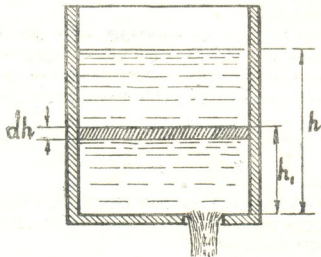
წყლისათვის, მრავალი ცდის შედეგად, დადგენილია ამ კოეფიციენტების შემდეგი მნიშვნელობანი:

$$\alpha = 0,64; \varphi = 0,97; \psi = 0,64 \cdot 0,97 = 0,62;$$

ამ მნიშვნელობების საფუძველზე:

$$\zeta = \frac{1}{\varphi^2} - 1 = \frac{1}{0,97^2} - 1 = 0,06.$$

სითხის გამოდენა ნახვრეტიდან იმ შემთხვევაში, როდესაც სითხის დონე ჭურჭელში ცვალებადია. ასეთი შემთხვევა გვექნება ჭურჭლის დაცილის დროს. ცხადია, რომ სითხის გამოდენასთან ერთად მისი დონე ჭურჭელში თანდათან დაიწევს, ე. ი. თანდათან შემცირდება სიმაღლე h და ამასთან ერთად შემცირდება სითხის გამოდენის სიჩქარეც ა. ამ შემთხვევისათვის საინტერესოა, თუ რამდენ ხანში დაიცლება ჭურჭელი. წარმოვიდგინოთ ჭურჭელი კვეთით F (მ²) და ვერტიკალური კედლებით, რომელშიაც ჩასხმულია სითხე h სიმაღლემდე (ნახ. 23). ჭურჭელს ფსკერში აქვს



ნახ. 28. სითხის გამოდენა ჭურჭლიდან ცვალებადი წნევის დროს.

ნახვრეტი კვეთით f_0 საიდანაც ხდება სითხის გამოდენა უშუალოდ ატმოსფეროში. გავიგოთ, რამდენ ხანში დაიწევს ჭურჭელში სითხის დონე h_1 სიმაღლემდე. დავუშვათ, რომ უსასრულოდ მცირე დროის dt განმავლობაში სითხის დონემ ჭურჭელში dh სიდიდით დაიწია ქვემოთ. ასეთ მცირე დროისათვის შეგვიძლია მივიღოთ, რომ სითხის გამოდენა ხდება უცვლელი h_1 წნევის ზემოქმედებით. მაშინ

სითხის ხარჯი ნახვრეტიდან ამ უსასრულოდ მცირე დროის განმავლობაში ტოლი იქნება:

$$dv = \psi \cdot f_0 \sqrt{2gh} \cdot dt \quad (85)$$

ამავე დროის განმავლობაში ჭურჭელს დააკლდება სითხე რაოდენობით:

$$-F \cdot dh$$

ნიშანი მინუსი აღებულია იმიტომ, რომ h მცირდება და, მაშასადამე $dh < 0$ ცხადია, რომ ადგილი უნდა ჰქონდეს ტოლობას:

$$-F \cdot dh = \psi \cdot f_0 \sqrt{2gh} \cdot dt,$$

საიდანაც:

$$dt = - \frac{F \cdot dh}{\psi \cdot f_0 \sqrt{2gh}}, \quad (86)$$



იმის გასაგებად, თუ რამდენ ხანში დაიწვეს სითხის დონე ჭურჭელში h -დან h_1 -მდე საჭიროა განტოლება (86) გავაინტეგრალთ h ზღვრიდან h_1 ზღვრამდე. ვინაიდან ჭურჭელს ვერტიკალური კედლები აქვს, ამიტომ $F = \text{const}$ და, მაშასადამე, გვექნება:

$$\tau = - \int_h^{h_1} \frac{F \cdot dh}{\psi \cdot f_0 \sqrt{2gh}} = \frac{2F}{\psi \cdot f_0 \sqrt{2g}} (\sqrt{h} - \sqrt{h_1}), \quad (87)$$

თუ მივიღებთ რომ $h_1 = 0$, ე. ი. ჭურჭელი მთლიანად იცლება, მაშინ მივიღებთ ჭურჭლის მთლიანად დაცლის ხანგრძლიობას:

$$\tau = \frac{2F\sqrt{h}}{\psi \cdot f_0 \sqrt{2g}}, \quad (88)$$

ფორმულებში (87) — (88) მიღებულია, რომ ჭურჭლის კვეთი F უცვლელია მთელ სიმაღლეზე, ე. ი. ჭურჭელს ვერტიკალური კედლები აქვს. თუ კი ჭურჭელს დახრილი კედლები აქვს და, მაშასადამე, ჭურჭლის კვეთი ცვალებადია, უნდა მივმართოთ განტოლებას (86) და ყოველ ცალკეულ შემთხვევებში გამოვიყენოთ ფუნქციონალური დამოკიდებულება F -სა h -ისაგან და F -იც გავაინტეგრალთ (იხ. ქვემოთ მაგალითები).

სითხის მოძრაობა ღია კალაპოტში. როგორც ზემოთ აღვნიშნეთ, ღია კალაპოტში მოძრაობის დროს სითხეს სტატიკური წნევა არ გააჩნია. წნევის დანაკარგები მოძრაობის წინაღობაზე განისაზღვრებიან ჰიდრაულიკური ქანობით i ; სითხის მოძრაობის სიჩქარის განსაზღვრა ხდება შემდეგი ფორმულით:

$$w = c\sqrt{R \cdot i} \left(\frac{g}{\psi^2} \right), \quad (89)$$

ამ ფორმულაში R არის ჰიდრაულიკური რადიუსი, i — ჰიდრაულიკური ქანობი და c — კოეფიციენტი, რომლის სიდიდე განისაზღვრება სხვადასხვა ემპირიული ფორმულით (იხ. სპეციალური ლიტერატურა).

§ 8. სითხის დინების სიჩქარისა და წნევის გაზომვა

მანომეტრები და ვაკუუმეტრები. ჭურჭელში ან მილსადენში მყოფი სითხის სტატიკური წნევის გასაზომად იხმარება მანომეტრები და ვაკუუმეტრები. როდესაც წნევა ატმოსფერულ წნევაზე მეტია, ის მანომეტრით იზომება. მანომეტრი გვიჩვენებს არა აბსოლუტურ წნევას, არამედ თუ რამდენით მეტია ჭურჭელსა ან მილსადენში არსებული წნევა ატმოსფერულ წნევაზე. ამიტომ მანომეტრით ნაჩვენებ წნევას მანომეტრული წნევა ანუ ქარბი წნევა ეწოდება. თუ წნევა განზომილია ატმოსფერობით ის აღინიშნება „ატმ“.

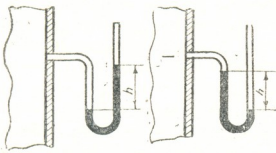
აბსოლუტური წნევის გასაგებად მანომეტრის ჩვენებას უნდა მივუმატოთ ერთი ატმოსფერო. უფრო ზუსტად რომ ვიანგარიშოთ, მანომეტრის ჩვენებას უნდა მივუმატოთ ბარომეტრის ჩვენება. აბსოლუტური წნევა, ატმოსფერო-



ბით განზომილი აღინიშნება „ატა“. როდესაც წნევა მილსადენში ან კუბურ კელში ატმოსფერულ წნევაზე ნაკლებია, ე. ი. არის გაუხშოება ანუ ვაკუუმში მდებარე წნევა ვაკუუმეტრით იზომება. ვაკუუმეტრიც გვიჩვენებს არა აბსოლუტურ წნევას, არამედ სხვაობას ატმოსფერულ წნევასა და კურკულში ან მილსადენში არსებულ წნევას შორის. აბსოლუტური წნევის გასაგებად ამ შემთხვევაში ვაკუუმეტრის ჩვენება უნდა გამოვავლოთ ერთ ატმოსფეროს. უფრო ზუსტი ანგარიშისათვის, ვაკუუმეტრის ჩვენება ბარომეტრის ჩვენებას უნდა გამოვავლოთ.

მანომეტრები და ვაკუუმეტრები შეიძლება იყოს სითხიანი და ზამბარიანი.

სითხიანი მანომეტრები და ვაკუუმეტრები. სითხიანი მანომეტრები და ვაკუუმეტრები შემდეგნაირადაა მოწყობილი: *U*-სებრი ფორმის მილში ჩასხმულია სითხე განსაზღვრული ხვედრითი წონით. ორივე ბოლო ამ მილისა ღიაა. მილის ერთი ბოლო შეერთებულია მილსადენთან ან კურკულთან, სადაც უნდა გაიზომოს ჰიდროსტატიკური წნევა. თუ კურკულში ან მილსადენში კარბი წნევაა, მაშინ ეს წნევა დასწევს სითხის ღონეს *U*-სებრი მილის მარცხენა



ნახ. 29. სითხიანი მანომეტრი.

ნახ. 30. სითხიანი ვაკუუმეტრი.

ტოტში და, ასწევს სითხის ღონეს მარჯვენა ტოტში (ნახ. 29). ეს იქნება სითხიანი მანომეტრი. თუ კურკულში ან მილსადენში არის გაუხშოება (ვაკუუმში), მაშინ—პირიქით: სითხის ღონე *U*-სებრი მილის მარჯვენა ტოტში დაიწვევა და მარცხენაში კი აიწვევა (ნახ. 30). ეს იქნება სითხიანი ვაკუუმეტრი. სითხის ღონეთა სხვაობა *U*-სებრი მილის ტოტებში არის ხელსაწყოს მარჯვენა ბოლოში.

აღნიშნოთ: h —(მ)—სითხის ღონეთა სხვაობა *U*-სებრი მილის ტოტებში;

$$\gamma \left(\frac{მ^3}{მ^3} \right) \text{—სითხის ხვედრითი წონა;}$$

$$p_0 \left(\frac{კგ}{მ^2} \right) \text{—წნევა მილსადენში ან კურკულში;}$$

$$p_a \left(\frac{კგ}{მ^2} \right) \text{—ატმოსფეროს წნევა;}$$

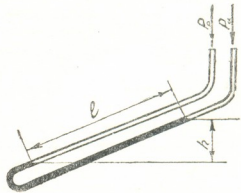
§ ნ-ის თანახმად:

$$h = \frac{p_0 - p_a}{\gamma}$$

სადაც h არის სითხის სვეტის სიმაღლე მეტრობით და, მაშასადამე, განზომილი წნევა ტოლია:

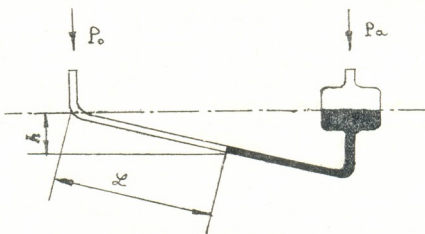
$$p_0 = h \gamma + p_a \left(\frac{კგ}{მ^2} \right). \tag{90}$$

ამ განტოლებიდან ჩანს, რომ თუ მანომეტრში ჩასხმულ სითხეს მცირე ხვედრითი წონა აქვს, ჭურჭელში ან მილსადენში წნევის სულ მცირე ცვლილება გამოიწვევს h სიმაღლის დიდ ცვლილებას. ამიტომ მცირე წნევების გასაზომად იხმარება სწორედ ისეთი სითხეები, რომლებსაც მცირე ხვედრითი წონა აქვთ: სპირტი ნავთი და წყალი. იმ წნევებისათვის, რომელთა სიდიდე ერთ ატმოსფეროს უახლოვდება, ვერცხლისწყალი იხმარება. თუ მანომეტრში ჩასხმულია იგივე სითხე, რაც ჭურჭელსა ან მილსადენშია, ასეთ მანომეტრს პიეზომეტრი ეწოდება. როდესაც გასაზომი წნევა ძალიან მცირეა, იხმარება სითხიანი ისეთი მანომეტრები, რომლებშიაც U -სებრი მილი დახრილად დგას (ნახ. 31). სითხის სიმაღლე, ე. ი. მანომეტრის ჩვენება არის h , დანაყოფები კი აღნიშნულია დახრილ ხაზზე l , რომელიც უფრო გრძელია h -ზე. ამიტომ h -ის ცვალებადობა l ხაზზე გადიდებულიად გამოისახება, რაც აადვილებს წნევის უფრო ზუსტად გაზომვას. ანალოგიურად მოწყობილია ვაკუუმეტრიც (ნახ. 32).



ნახ. 31. სითხიანი დახრილი მანომეტრი.

როდესაც გასაზომი წნევა 1 ატმოსფეროზე მეტია, მაშინ სითხიანი მანომეტრის ხმარება უხერხული ხდება, რადგანაც ვერცხლისწყალიც რომ ვიხმაროთ, მანომეტრისათვის დაკვირდება მილი დაახლოებით 1 მ სიმაღლისა და თუ წყალი ვიხმარეთ მილის სიმაღლე 10 მეტრზე მეტი გამოვა. ამიტომ დიდი წნევების გასაზომად ზამბარიანი მანომეტრები იხმარება.

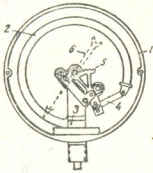


ნახ. 32. სითხიანი დახრილი ვაკუუმეტრი.

ზამბარიანი მანომეტრები. ზამბარიანი მანომეტრებში წნევის გაზომვა ხდება მილოვანი ზამბარის ან დრეკადი მემბრანის საშუალებით, რომლებიც თავის სიმრუდეს იცვლიან მათზე მოქმედი წნევის პროპორციულად (განსახვრულ ფარგლებში). ზამბარიანი მანომეტრის (ნახ. 33) ძირითად ნაწილს წარ-



მოადგენს მანომეტრის კორპუსში (1) მოთავსებული წრიულად მოლაშქრული მილოვანი ზამბარა (2). ზამბარას ოვალური კვეთი აქვს და დამზადებულია დრეკადი მასალისაგან. ამ ზამბარის ერთი ბოლო ღიაა და მეორე კი დახშული, ღია ბოლო დამაგრებულია უძრავად მილზე (3), რომელიც შეერთებულია ქურქელთან ან მილსადენთან.

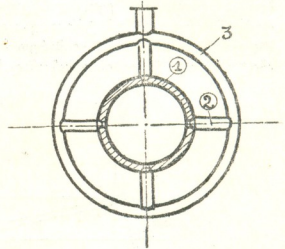


ნახ. 33. ზამბარიანი მანომეტრი.

ამრიგად, მილოვანი ზამბარა შეერთებულია იმ არესთან, სადაც უნდა გაიზომოს წნევა. ზამბარაში შემოსული სითხე ან გაზი თავისი წნევით გამართავს ზამბარას, რის გამოც მისი დახშული ბოლო გადაადგილდება. ეს გადაადგილება განსაზღვრულ ფარგლებში პროპორციულია მოქმედ წნევისა. ზამბარის დახშულ ბოლოს გადაადგილება მტარებლის (4) საშუალებით გადაეცემა კბილანა სექტორს (5), რომელიც მოდებულია კბილანაზე. ეს კბილანა მოთავსებულია ისრის (6) ღერძზე. ამ ისრის მდებარეობა სკალაზე გვიჩვენებს წნევის სიდიდეს.

პიეზომეტრული რგოლები. როდესაც მილსადენში სტატიკური წნევა ძალიან მცირედ იცვლება, მაშინ მისი ზუსტად გაზომვისათვის (ნახ. 34) მილსადენს (1) გარშემო უკეთდება რამდენიმე ნახვრეტი (2). ყველა ეს ნახვრეტი შეერთებულია რგოლოვანი მილით (3), რომელიც მანომეტრს უერთდება. ამ მოწყობილობას პიეზომეტრული რგოლი ეწოდება.

როგორც ვიცით, მილსადენში სითხის ან გაზის მოძრაობის დროს ყოველ კვეთში ორი სახის წნევაა: სტატიკური და დინამიკური. საერთო წნევა კი უდრის პათ ალგებრულ ჯამს. ჩვეულებრივ მანომეტრს შეუძლია გვიჩვენოს ან საერთო წნევა ან სტატიკური წნევა იმისა და მიხედვით, თუ სად არის მოთავსებული მანომეტრის მიმღები მილი: თუ მიმღები მილი უშუალოდ შეერთებულია მილსადენთან ისე, რომ მიმღები კვეთი კედლის პირისპირ თავსდება, მაშინ მანომეტრი გვიჩვენებს იმ შინაგან წნევას, რომელიც მოქმედებს სითხის



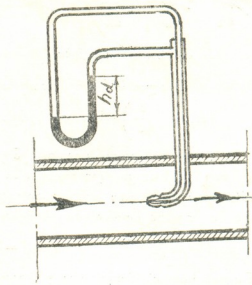
ნახ. 34. პიეზომეტრული რგოლი.

ან გაზის მხრიდან მილსადენის კედლებზე, ე. ი. გვიჩვენებს სტატიკურ წნევას. თუ მანომეტრის მილი დაყენებულია ისე, რომ მისი მიმღები კვეთი პერპენდიკულარულია მოძრავი სითხის ან გაზის ნაკადისა, მაშინ მანომეტრი გვიჩვენებს წნევას, რომელიც შეესაბამება სითხის ან გაზის მთელ ენერგიას, ე. ი. გვიჩვენებს სრულ წნევას. უშუალოდ დინამიკური წნევის გაზომვა არ ხერხდება. ამიტომ დინამიკური წნევა განისაზღვრება როგორც სრული წნევისა და სტატიკური წნევის სხვაობა. სრული წნევა და სტატიკური წნევა შეიძლება ერთდროულად განიზომოს ერთი მანომეტრის საშუალებით, როდესაც ორი მუხლი აქვს. ერთი მათგანი ზომავს სრულ წნევას, მეორე კი სტატიკურ

წნევას. ასეთ მანომეტრს დიფერენციული მანომეტრი ეწოდება. დიფერენციული მანომეტრი გამოყენებულია მრავალ საზომ იარაღში (ნახ. ნახ. 35, 36, 38 და 39).

პიტოს მილი. ერთ-ერთ ასეთ იარაღს პიტოს მილი წარმოადგენს (ნახ. 35).

პიტოს მილი ორი კონცენტრული მილია, რომლებიც მოღუნული არიან სწორი კუთხით. ეს მილები შეერთებულია დიფერენციულ მანომეტრთან. შინაგანი მილის მიმღები კვეთი პერპენდიკულარულია სითხის ან გაზის მოძრაობის ნახევრეტეზე, გარე მილს კი ზედაპირზე აქვს ნახევრეტეები. ამიტომ შინაგან მილში სუფევს საერთო წნევა და გარე მილში კი სტატიკური წნევა. ცხადია, რომ მანომეტრის ერთი მუხლში ნაჩვენებია იქნება სტატიკური წნევა, მეორეში კი — სრული წნევა. ხოლო მათი სხვაობა ტოლი იქნება h_d დინამიკური წნევისა. უფრო ზუსტ შედეგს იძლევა პიტოს მილი, როდესაც



ნახ. 35. პიტოს მილი.

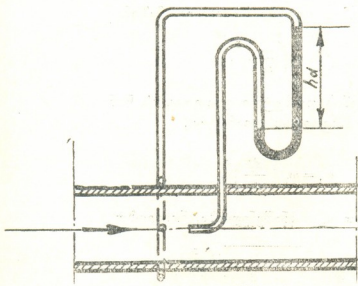
სტატიკური წნევის გაზომვა ხდება პიეზომეტრული რგოლის საშუალებით. პიტოს მილის ასეთი კონსტრუქცია მოყვანილია ნახ. 36-ზე.

პიტოს მილის ჩვენების საფუძველზე შეგვიძლია გავიგოთ სითხის ან გაზის მოძრაობის სიჩქარე:

$$w = \sqrt{2gh_d \left(\frac{\rho}{\rho_0} \right)}$$

დიაფრაგმები. სითხის ან გაზის მოძრაობის სიჩქარის გაზომვა შეიძლება აგრეთვე დიაფრაგმის საშუალებით. დიაფრაგმა შემდეგ პრინციპზე მუშაობს: მოძრაობის სითხის ან გაზის ნაკადში ვარდისფერდმო იდგმება ფირფიტა, რომელსაც განსაზღვრული ზომის ნახევრეტი აქვს (ნახ. 37).

ვინაიდან დიაფრაგმის ნახევრეტის გავლისას ნაკადი უეცრად იკუმშება, დიაფრაგმის წინ სიჩქარე იზრდება, რის გამოც კლებულობს სტატიკური წნე-



ნახ. 36. პიტოს მილი პიეზომეტრული რგოლით.



ვა და მისი ნაწილი უშუალოდ დიაფრაგმის შემდეგ დინამიკურ წნევაზე (91) ცევა. სტატიკური წნევის შემცირება ამ შემთხვევაში განისაზღვრება შემდეგი ფორმულით:



$$h = \frac{\omega_2^2 - \omega_1^2}{2g \cdot \varphi^2}, \quad (91)$$

ნ.ბ. 37. დიაფრაგმები.

სადაც: ω_1 — $\left(\frac{\partial}{\partial \partial}\right)$ არის სითხის სა-

შუალო სიჩქარე დიაფრაგმის წინ;

ω_2 — $\left(\frac{\partial}{\partial \partial}\right)$ — სითხის საშუალო სიჩქარე დიაფრაგმაში გავლის დროს;

φ — სიჩქარის კოეფიციენტი.

თუ გავზომავთ დიაფრაგმაში სტატიკური წნევის დაკლებას, სითხის მოძრაობის სიჩქარეს შემდეგნაირად გავიგებთ: განტოლებიდან (91) დიაფრაგმაში სითხის მოძრაობის სიჩქარე განისაზღვრება:

$$\omega_2^2 = 2gh \varphi^2 + \omega_1^2, \quad (92)$$

ვინაიდან სითხის მოძრაობა უწყვეტია ამიტომ:

$$\omega_2 f_2 = \omega_1 f_1$$

აქედან:

$$\omega_1 = \omega_2 \left(\frac{f_2}{f_1} \right),$$

თუ მილსადენისა და დიაფრაგმის კვეთები მრგვალია, მაშინ:

$$\frac{f_2}{f_1} = \left(\frac{d_2}{d_1} \right)^2,$$

სადაც: d_1 — (მ) არის მილსადენის დიამეტრი დიაფრაგმის წინ;

d_2 — (მ) — დიაფრაგმის ნახვრეტის დიამეტრი,

და, მაშასადამე:

$$\omega_1 = \omega_2 \left(\frac{d_2}{d_1} \right)^2,$$

ფორმულაში (92) რომ ჩავსვათ ω_1 -ს მნიშვნელობა, მივიღებთ:

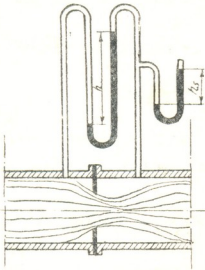
$$\omega_2 = \varphi \sqrt{\frac{2gh}{1 - \left(\frac{d_2}{d_1}\right)^4}} \left(\frac{\partial}{\partial \partial}\right), \quad (93)$$

კოეფიციენტი φ უნდა განისაზღვროს ცდის შედეგად. საერთოდ კი კოეფიციენტი φ -ს მნიშვნელობა დიაფრაგმის კონსტრუქციის მიხედვით მერყეობს 0,6 ÷ 0,62. პრაქტიკულად დიაფრაგმის ნახვრეტის დიამეტრს მილსადენის

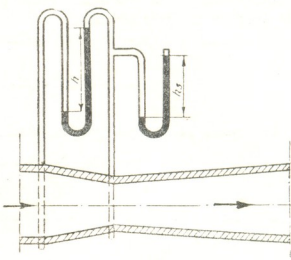
დიამეტრზე ხუთჯერ ნაკლებს იღებენ. ამ პირობებში სიჩქარე w_1 25-ჯერ ნაკლებია ვიდრე სიჩქარე w_2 . ამიტომ სიჩქარე w_1 შეგვიძლია მხედველობაში არ მივიღოთ. მაშინ (თუ $w_1 = 0$) განტოლება (92) შემდეგ სახეს მიიღებს:

$$w_2 = \varphi \sqrt{2gh} \left(\frac{m}{\rho S} \right), \quad (94)$$

დიაფრაგმაში სტატიკური წნევის დაკლების გაზომვა ხდება დიფერენციული მანომეტრის საშუალებით, როგორც ეს ნაჩვენებია ნახ. 38-ზე.



ნახ. 38. დიფერენციული მანომეტრის დაყენება დიაფრაგმასთან.



ნახ. 39. დიფერენციული მანომეტრის დაყენება ვენტურის წყალსაზომთან.

h , არის სტატიკური წნევა მილსადენში დიაფრაგმის შემდეგ, h —კი არის სტატიკური წნევის დაკლება ანუ დინამიკური წნევის მომატება. h -ის მნიშვნელობა უნდა ჩავსვათ ფორმულებში (93) ან (94) და გავიგებთ w_2 . სითხის ხარჯი კი მილსადენში ტოლი იქნება:

$$V_{\text{გ}} = f_2 w_2 \left(\frac{m^3}{\text{წმ}} \right). \quad (95)$$

ვენტურის წყალსაზომი. ვენტურის წყალსაზომის სქემა მოყვანილია ნახ. 39-ზე. ამ წყალსაზომში დიაფრაგმის მაგივრად მილსადენში ჩართულია ორი კონუსური მილის ნაკვეთი. აქაც დიფერენციული მანომეტრის საშუალებით იზომება h —სტატიკური წნევის დაკლება ანუ დინამიკური წნევის მომატება.

ფორმულებში (93) ან (94) ჩავსვათ h -ის მნიშვნელობას და გავიგებთ w_2 —სითხის მოძრაობის სიჩქარეს უვიწროვს კვეთში და მის მიხედვით ფორმულის (95) საშუალებით განვსაზღვრავთ სითხის ხარჯს მილსადენში. კოეფიციენტი φ ვენტურის წყალსაზომისათვის მერყეობს 0,97 ÷ 0,98.

§ 9. მ ა გ ა ლ ი თ ე ბ ი

მაგალითი 9. თავლია ჭურჭელში ასხია წყალი 1,5 მ სიმაღლემდე. რა წნევას განიცდის ჭურჭლის ფსკერის ფართის ერთეული?

ამოხსნა: განტოლების (30) თანახმად ეს წნევა ტოლი იქნება:

$$p = p_0 + \gamma h = 1 + 0,001 \cdot 1,5 \cdot 100 = 1,15 \frac{\text{კგ}}{\text{სმ}^2}$$

სადაც: $\gamma = 0,001 \frac{\text{კგ}}{\text{სმ}^3}$ არის წყლის ხვედრითი წონა.

მაგალითი 10. დახშულ ჭურჭელში ჩასხმული წყალი 1,5 მ სიმაღლემდე. წყლის ზედაპირზე მოქმედებს წნევა 2 ატმ. რა წნევას განიცდის ჭურჭლის ფსკერის ფართის ერთეული?

ამოხსნა: განტოლების (30) თანახმად ეს წნევა ტოლი იქნება:

$$p = 2 + 0,001 \cdot 1,5 \cdot 100 = 2,15 \frac{\text{კგ}}{\text{სმ}^2}$$

მაგალითი 11. თავლია კოდში, რომლის ფსკერის ფართი $F = 1,75 \text{ მ}^2$, ასხია ღვინის ტკბილი ($\gamma = 1,08 \frac{\text{გ}}{\text{სმ}^3}$) 2,5 მ. სიმაღლემდე. რა წნევას განიცდის კოდის ფსკერი?

ამოხსნა: 1. წნევა ფსკერის ფართის ერთეულზე განტოლების (30) თანახმად შეადგენს:

$$p = 1 + 1,08 \cdot 0,001 \cdot 2,5 \cdot 100 = 1,27 \frac{\text{კგ}}{\text{სმ}^2}$$

2. მთელ ფსკერზე მოქმედი ძალა ტოლი იქნება:

$$P = p \cdot F = 1,27 \cdot 1,75 \cdot 10\,000 = 22\,225 \text{ კგ.}$$

თუ ჩვენ გვინტერესებს მხოლოდ ჰარბი წნევით გამოწვეული ფსკერზე მოქმედი საერთო ძალა, მაშინ იგი შეიძლება გავიგოთ უშუალოდ:

$$P_1 = \gamma \cdot h \cdot F = 1,08 \cdot 1000\,000 \cdot 0,001 \cdot 2,5 \cdot 1,75 = 4725 \text{ კგ.}$$

მაგალითი 12. ჭურჭლის ჰორიზონტალურ ფსკერში გაკეთებული ნახვრეტი ფართით $f = 2,5 \text{ სმ}^2$. წყალი ჭურჭელში დგას 1,5 მ სიმაღლეზე. ნახვრეტი გადახურულია ბრტყელი საკეტით. რა ძალა არის საჭირო საკეტის გამოსაწევად, თუ ხახუნის კოეფიციენტი უდრის 0,15?

ამოხსნა: 1. სითხის წნევა საკეტზე შეადგენს:

$$P = \gamma \cdot h \cdot f = 1000 \cdot 1,5 \cdot 2,5 \cdot 0,0001 = 0,375 \text{ კგ.}$$

2. ძალა, რომელიც საჭიროა საკეტის გამოსაწევად:

$$T = f \cdot P = 0,15 \cdot 0,375 \approx 0,188 \text{ კგ.}$$

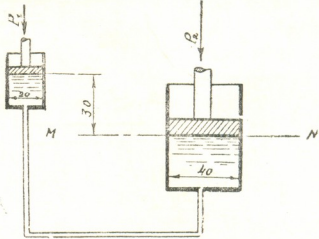
მაგალითი 13. ორი ვერტიკალური ცილინდრი დიამეტრებით $d = 20 \text{ სმ}$ და $D = 40 \text{ სმ}$ (ნახ. 40) შეერთებულია მილით. ცილინდრებში მოთავსებულია

დღუშები. მცირე ცილინდრის დღუში დატვირთულია ძალით $P_1 = 80$ კგ ამავე დროს 30 სმ უფრო მაღლა დგას, ვიდრე დიდი ცილინდრის დღუში. რა ტვირთი უნდა დავადოთ დიდ დღუშს, რომ დღუშები წონასწორობაში იყვნენ? (ხახუნს მხედველობაში არ ვღებულობთ).

ამოხსნა: დიდ დღუშზე უნდა იმოქმედოს ძალამ P_2 . დღუშის ფართის ერთეულზე მოდის წნევა ამ ძალისაგან:

$$\frac{P_2}{\pi D^2} = \frac{P_1}{1256} \left(\frac{\text{კგ}}{\text{სმ}^2} \right),$$

ქვემოდან დიდ დღუშს აწევა წყალი. წყლის წნევა, რომელიც მოდის დღუშის ფართის ერთეულზე, ორი ნაწილისაგან შედგება:



ნახ. 40. სქემა მაგ. № 13-სათვის.

ა) წნევა P_1 ძალისაგან, რომელიც ტოლია: $\frac{P_1}{\pi d^2}$,

ბ) წნევა წყლის სვეტისა სიმაღლის 30 სმ, რომელიც ტოლია: γh მაშასადამე, დიდი დღუშის ფართის ერთეულზე მოდის წნევა ქვემოდან:

$$\frac{P_1}{\pi d^2} + \gamma h = \frac{80}{3,14 \cdot 20^2} + 0,001 \cdot 30 = 0,255 + 0,03 = 0,285 \left(\frac{\text{კგ}}{\text{სმ}^2} \right)$$

წონასწორობისათვის საჭიროა რომ, წნევა, რომელიც მოქმედებს დიდ დღუშის ფართის ერთეულზე ქვემოდან, უდრიდეს წნევას, რომელიც მოდის დიდ დღუშის ფართის ერთეულზე ზემოდან, ე. ი.

$$\frac{P_2}{1256} = 0,285 \text{ აქედან კი } P_2 = 0,285 \cdot 1256 = 358 \text{ კგ.}$$

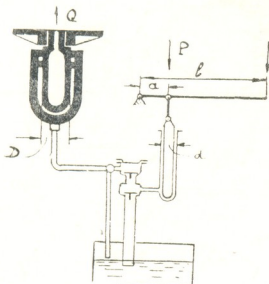
მაგალითი 14. განვსაზღვროთ ნახ. 41-ზე მოყვანილი ჰიდრაულიკური წნეხის დამწნეხი ძალა Q , თუ $a = 0,1$ მ; $l = 1$ მ; $D = 0,4$ მ; $d = 2$ სმ და $T = 25$ კგ (ერთი მუშის ძალა).

ამოხსნა: 1. ძალა, რომელიც ტუმბოს ბერკეტიდან სითხეს გადაეცემა ტოლი იქნება:

$$P = T \frac{l}{a} = 25 \frac{1}{0,1} = 250 \text{ კგ.}$$

2. ჰიდროსტატიკური წნევა, რომელსაც გადასცემს სითხეს პლუნჯერი ტოლი იქნება:

$$p = \frac{P}{\frac{\pi d^2}{4}} = \frac{250}{\frac{3,14 \cdot 2^2}{4}} \approx 80 \frac{\text{კგ}}{\text{სმ}^2}.$$



ნახ. 41. სქემა მაგ. № 14-სათვის.

3. დამწნეხი ძალა, რომელსაც განავითარებს წნეხის პლუნჯერი, ტოლი იქნება;

$$Q = p \cdot \frac{\pi D^2}{4} = 80 \cdot \frac{3,14 \cdot 40^2}{4} \approx 100\,000 \text{ კგ.}$$

სინამდვილეში დამწნეხი ძალა ხახუნზე, დანაკარგების გამო, გაანგარიშებულზე ნაკლები იქნება. თუ ვივარაუდებთ ამ დანაკარგებს — 20%, ფაქტიური დამწნეხი ძალა ტოლი გამოვა:

$$Q_{\text{ფ}} = (1 - 0,2) 100\,000 = 80\,000 \text{ კგ.}$$

მაგალითი 15. მილსადენიდან დიამეტრით 2" 1 საათში გამოდის 8000 კგ ლენის ტკბილი ($\gamma = 1,08 \frac{\text{კგ}}{\text{ლ}}$).

გავიგოთ მისი მოძრაობის სიჩქარე.

ამოხსნა: განტოლების (34) თანახმად:

$$G_{\text{გ}} = \gamma \cdot \omega \cdot F \left(\frac{\text{კგ}}{\text{წმ}^2} \right),$$

აქედან მოძრაობის სიჩქარე ტოლია

$$\omega = \frac{G_{\text{გ}}}{\gamma \cdot F} = \frac{8000}{3600 \cdot 1080 \cdot 0,00196} \approx 1,05 \left(\frac{\text{მ}}{\text{წმ}} \right).$$

სადაც მილის კვეთის ფართი

$$F = \frac{\pi d^2}{4} = \frac{3,14 (2'')^2}{4} = \frac{3,14 \cdot 0,05^2}{4} = 0,00196 \text{ მ}^2.$$

მაგალითი 16. რას უნდა უდრიდეს მილსადენის დიამეტრი, თუ მასში გასატარებელია 3 საათის განმავლობაში ტკბილი რაოდენობით 12 000 დკლ.

სიჩქარით $0,5 \left(\frac{\text{მ}}{\text{წმ}} \right)$?

ამოხსნა: 1. სითხის წამობრივი ხარჯი მილსადენში შეადგენს:

$$V_{\text{ვგ}} = \frac{12000}{100 \cdot 3 \cdot 3600} = 0,0111 \left(\frac{\text{მ}^3}{\text{წმ}} \right).$$

2. განტოლების (33) თანახმად:

$$V_{\text{ვგ}} = \omega \cdot F;$$

აქედან

$$F = \frac{V_{\text{ვგ}}}{\omega} = \frac{0,0111}{0,5} = 0,0222 \text{ მ}^2$$

მილსადენის დიამეტრი ტოლი უნდა იყოს:

$$d = \sqrt{\frac{4F}{\pi}} = \sqrt{\frac{4 \cdot 0,0222}{3,14}} = 0,168 \text{ მ} = 168 \text{ მმ}.$$

OCT-ის მიხედვით უახლოესი $6'' \cong 150 \text{ მმ} = 0,15 \text{ მ}$ ზომის მილი არის დიამეტრით, რომლისთვისაც კვეთი $F = 0,0176 \text{ მ}^2$, ამიტომ ტკბილის მოძრაობის ფაქტიური სიჩქარე ტოლი იქნება: $\omega_{\text{ფ}} = \frac{0,0111}{0,0176} = 0,63 \frac{\text{მ}}{\text{წმ}}$.

მაგალითი 17. რამდენ ტკბილს ($\gamma = 1,08 \frac{\text{კგ}}{\text{ლ}}$) გაატარებს ერთ საათში მილსადენი დიამეტრით $4''$, თუ ტკბილის მოძრაობის სიჩქარე მასში შეადგენს $1,2 \left(\frac{\text{მ}}{\text{წმ}} \right)$?

ამოხსნა: განტოლების (33) თანახმად სითხის ხარჯი წამში შეადგენს:

$$V_{\text{ვგ}} = F \cdot \omega = \frac{\pi d^2}{4} \cdot \omega = \frac{3,14 \cdot 0,1^2}{4} \cdot 1,2 = 0,00945 \left(\frac{\text{მ}^3}{\text{წმ}} \right)$$

საათში კი

$$V_{\text{ს}} = 3600 \cdot V_{\text{ვგ}} = 3600 \cdot 0,00945 \cong 34 \frac{\text{მ}^3}{\text{ს}} = 3400 \frac{\text{დკლ}}{\text{ს}}$$

წონით კი:

$$G_{\text{ს}} = V_{\text{ს}} \cdot \gamma = 34 \cdot 1080 = 36800 \frac{\text{კგ}}{\text{ს}}.$$

მაგალითი 18. რას უდრის ეკვივალენტური დიამეტრი კვადრატული კვეთის მილსადენისათვის, თუ მთელი კვეთი გაგებულა სითხით და კვეთის გვერდი უდრის a მ?

ამოხსნა: განტოლების (40) თანახმად, ეკვივალენტური დიამეტრი ტოლი იქნება:

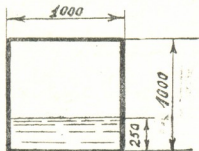
$$d_{\text{ეკ}} = \frac{4F}{s} = \frac{4a^2}{4a} = a \text{ (მ)}.$$

მაგალითი 19. რას უდრის ეკვივალენტური დიამეტრი სწორკუთხედიანი კვეთის მილსადენისათვის, თუ მთელი კვეთი ავსებულია სითხით და გვერდები ტოლი არიან a (მ) და b (მ)?

ამოხსნა: განტოლების (40) თანახმად, ეკვივალენტური დიამეტრი ტოლი იქნება:

$$d_{\text{ავ.}} = \frac{4F}{S} = \frac{4ab}{2(a+b)} = 2 \frac{ab}{a+b} \text{ (მ).}$$

მაგალითი 20. რას უდრის ეკვივალენტური დიამეტრი კვადრატული კვეთის მილსადენისათვის, (ნახ. 42) თუ კვეთის გვერდი უდრის 1 მ და სითხე ავსებს კვეთს მხოლოდ 0,25 მ სიმაღლემდე (ნახაზზე ზომები მოცემულია მილიმეტრებით)?



ნახ. 42. სქემა მაგ. № 20-სათვის.

ამოხსნა: 1. სითხით დასველებული პერიმეტრი უდრის:

$$S = 2 \cdot 0,25 + 1 = 1,5 \text{ მ.}$$

2. სითხით გავსებული კვეთი ტოლია;

$$F = 1 \cdot 0,25 = 0,25 \text{ მ}^2.$$

3. ეკვივალენტური დიამეტრი უდრის:

$$d_{\text{ავ.}} = \frac{4F}{S} = \frac{4 \cdot 0,25}{1,5} \approx 0,667 \text{ მ.}$$

მაგალითი 21. განვსაზღვროთ წყლის ($t=20^\circ$) მოძრაობის ხასიათი მილსადენში დიამეტრით $2''$, თუ მასში გადის წყალი რაოდენობით $200 \frac{\text{ლ}}{\text{ს}}$?

ამოხსნა: 1. წყლის მოძრაობის სიჩქარე განტოლების (33) თანახმად

$$w = \frac{V_{\text{გა}}}{F} = \frac{200}{1000 \cdot 3600 \cdot \frac{3,14 \cdot 0,05^2}{4}} = 0,0284 \frac{\text{მ}^3}{\text{წმ}}.$$

2. წყლის სიმკვრივე 20° -ის დროს ფორმულის (11) თანახმად უდრის:

$$\rho_{\text{წ}}^{20^\circ} = \frac{\gamma_{\text{წ}}^{20^\circ}}{g} = \frac{998,62}{9,81} = 102 \frac{\text{კგ} \cdot \text{წმ}^{-3}}{\text{მ}^3}.$$

3. წყლის სიბლანტე 20° -ის დროს $\mu_{\text{წ}}^{20^\circ} = 1,113$ ან ტექნიკურ ერთეულებში ფორმულის (13) თანახმად:

$$\mu_{\text{წ}}^{20^\circ} = \frac{0,01 \cdot 1,1}{98,1} = 0,000112 \frac{\text{კგ} \cdot \text{წმ}}{\text{მ}^2} = 11,2 \cdot 10^{-5} \frac{\text{კგ} \cdot \text{წმ}}{\text{მ}^2}.$$

4. რეინოლდსის რიცხვი ტოლი გამოდის

$$Re = \frac{d \cdot w \cdot \rho}{\mu} = \frac{0,05 \cdot 0,0284 \cdot 102}{11,2 \cdot 10^{-5}} \approx 1275 < 2320.$$

მაშასადამე, მოძრაობა ლამინარულია.

მაგალითი 22. განვსაზღვროთ ლენის ტკბილის ($\gamma = 1,08 \frac{\text{კგ}}{\text{ლ}}$) მოძრაობის

ობის ხასიათი მილსადენში დიამეტრით $1''$, თუ ხარჯი შეადგენს $200 \frac{\text{დკლ}}{\text{ს}}$.

ამოხსნა 1: ტკბილის მოძრაობის სიჩქარე განტოლების (33) თანახმად ტოლია:

$$w = \frac{V_{\text{გვ.}}}{F} = \frac{200}{100 \cdot 3600 \cdot \frac{3,14 \cdot 0,025^2}{4}} \approx 1,13 \frac{\text{მ}}{\text{წმ}},$$

2. ლენის ტკბილის სიმკვრივე ფორმულის (11) თანახმად უდრის:

$$\rho_0 = \frac{\gamma_0}{g} = \frac{1080}{9,81} = 110 \frac{\text{კგ} \cdot \text{წმ}^2}{\text{მ}^4},$$

3. ლენის ტკბილის სიბლანტე $\mu_0 = 213$ ანუ ტექნიკურ ერთეულებში ფორმულის (13) თანახმად:

$$\mu_0 = \frac{0,01 \cdot 2}{98,1} = 0,000204 \frac{\text{კგ} \cdot \text{წმ}^2}{\text{გ}^2} = 20,4 \cdot 10^{-5} \frac{\text{კგ} \cdot \text{წმ}^2}{\text{გ}^2}.$$

4. რეინოლდსის რიცხვი ტოლი გამოდის:

$$Re = \frac{d \cdot w \cdot \rho}{\mu} = \frac{0,025 \cdot 1,13 \cdot 110}{20,4 \cdot 10^{-5}} \approx 15200 > 2320.$$

მაშასადამე, მოძრაობა ტურბულენტურია.

მაგალითი 23. ცილინდრულ კოდში ჩასხმულია ლენის ტკბილი. კოდს ფსკერში აქვს ნახვრეტი დიამეტრით $1''$. რამდენი ტკბილი გამოვა კოდიდან დროის ერთეულში, თუ მასში ტკბილის დონე მუდმივ სიმაღლეზეა და უდრის 3 მ ?

ამოხსნა: 1. ნახვრეტის კვეთი შეადგენს:

$$f_0 = \frac{\pi d^2}{4} = \frac{3,14 \cdot 0,025^2}{4} = 0,00049 \text{ მ}^2.$$

2. თუ ავიღებთ ხარჯის კოეფიციენტს $\psi = 0,6$ ტკბილის რაოდენობა, როგორც გამოვა კოდიდან დროის ერთეულში ფორმულის (84) თანახმად ტოლი იქნება:

$$V_{\text{გვ.}} = \psi \cdot f_0 \sqrt{2gh} = 0,6 \cdot 0,00049 \sqrt{2 \cdot 9,81 \cdot 3} = 0,00255 \frac{\text{მ}^3}{\text{წმ}},$$

ანუ საათში

$$V_0 = 3600 \cdot V_{\text{გვ.}} = 3600 \cdot 0,00255 \approx 9,2 \frac{\text{მ}^3}{\text{ს}}.$$



მაგალითი 24. ცილინდრული კოდი დიამეტრით 2 მ გავსებულია ჰაერით 2,5 მ სიმაღლემდე. რამდენ ხანში დაიცლება კოდი, თუ მას აქვს ნახვრეტი დიამეტრით $1\frac{1}{2}$ მ?

ამოხსნა: 1. ნახვრეტის კვეთი უდრის:

$$f_0 = \frac{\pi d^2}{4} = \frac{3,14 \cdot 0,038^2}{4} = 0,00114 \text{ მ}^2.$$

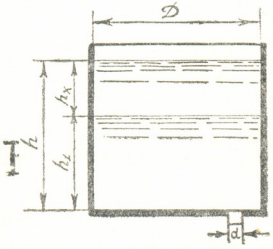
2. კოდის კვეთი შეადგენს:

$$F = \frac{\pi D^2}{4} = \frac{3,14 \cdot 2^2}{4} = 3,14 \text{ მ}^2.$$

3. თუ მივიღებთ ხარჯის კოეფიციენტს $\psi = 0,6$ კოდის დაცლის ხანგრძლიობა ფორმულის (88) თანახმად ტოლი იქნება:

$$\tau = \frac{2 \cdot F \cdot \sqrt{h}}{\psi \cdot f_0 \cdot \sqrt{2g}} = \frac{2 \cdot 3,14 \cdot \sqrt{2,5}}{0,6 \cdot 0,00114 \cdot \sqrt{9,81 \cdot 2}} \approx 3280 \text{ წმ} \approx 55 \text{ წთ},$$

მაგალითი 25. ცილინდრული ფორმის საკუბაეე კოდი დიამეტრით $D=2,2$ მ ავსებულია ღვინით $h=3$ მ სიმაღლემდე (ნახ. 43). უნდა ჩამოუშვათ კოდდან დაკუბაეებული ღვინის ნაწილი 500 დკლ. რაოდენობით. რამდენი დრო დასჭირდება ამ ოპერაციას, თუ კოდის ფსკერში ვაკუუმებული ნახვრეტის დიამეტრი უდრის: $d=2'$.



ნახ. 43. სქემა მაგ. № 25-სათვის.

ამოხსნა: 1. ნახვრეტის კვეთი უდრის:

$$f_0 = \frac{\pi d^2}{4} = \frac{3,14 \cdot 0,05^2}{4} = 0,00196 \text{ მ}^2.$$

2. კოდის კვეთი ტოლია:

$$F = \frac{\pi D^2}{4} = \frac{3,14 \cdot 2,2^2}{4} = 3,8 \text{ მ}^2.$$

3. ღვინის დონე კოდში 500 დკლ. ჩამოსხმის შემდეგ დაიწებს:

$$h_2 = \frac{V}{F} = \frac{500}{100 \cdot 3,8} = 1,3 \text{ მეტრით.}$$

4. ღვინის დონე კოდში 500 დკლ. ჩამოსხმის შემდეგ ტოლი იქნება:

$$h_1 = h - h_2 = 3,0 - 1,3 = 1,7 \text{ მ.}$$

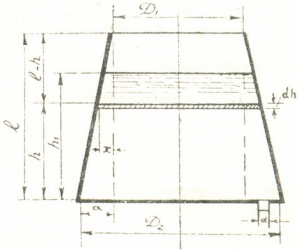
5. 500 დკლ. ღვინის ჩამოსხმის ხანგრძლიობა, თუ ხარჯის კოეფიციენტი $\psi = 0,6$, განტოლების (87) თანახმად შეადგენს

$$\tau_1 = \frac{2F}{\psi \cdot f_0 \sqrt{2g}} (\sqrt{h} - \sqrt{h_1}) = \frac{2 \cdot 3,8}{0,6 \cdot 0,00196 \sqrt{2 \cdot 9,81}} (\sqrt{3,0} - \sqrt{1,7}) = 611 \text{ წმ} = 10,25 \text{ წთ.}$$

მაგალითი 26. თავმოკვეთილი კონუსის ფორმის კოდი (ნახ. 44) ავსებულა ტკბილით $h_1=1,5$ მ სიმაღლემდე. რამდენ ხანში დაიცლება კოდი, შესკერში აქვს ნახვრეტი დიამეტრით $d=1''$ და თუ კოდს აქვს ზომები:

$$D_1=2,0 \text{ მ}; D_2=2,2 \text{ მ} \text{ და } l=1,8 \text{ მ?}$$

ამოხსნა: ვინაიდან ამ შემთხვევაში კურკლის კვეთი იცვლება სითხის დონის დაწვეასთან ერთად, ამიტომ უნდა ავიღოთ განტოლება (86) და მასში h -ის გარდა, აგრეთვე F -იც მივიჩნიოთ ცვალებადად. მაშინ ინტეგრალი შემდეგ სახეს მიიღებს:



ნახ. 44. სქემა მაგ. № 26-სათვის.

$$\tau_1 = \int_{h_1}^0 \frac{F}{\psi \cdot f_0 \cdot \sqrt{2gh}} dh = \frac{1}{\psi \cdot f_0 \cdot \sqrt{2g}} \int_0^{h_1} \frac{F}{\sqrt{h}} dh. (A)$$

ვინაიდან კოდი მთლიანად იცლება, ამიტომ ინტეგრალის ერთი ზღვარი, ცხადია, ნულს უდრის. ინტეგრალის

$$\int_0^{h_1} \frac{F}{\sqrt{h}} dh$$

ამოხსნისათვის გამოვიყენოთ ფუნქციური დამოკიდებულება კოდის კვეთ F -სა და სიმაღლის h -ს შორის; ნახაზიდან მივიღებთ:

$$F = \pi (R_1 + x)^2;$$

ამავე დროს:

$$\frac{a}{l} = \frac{x}{l-h}$$

აქედან კი:

$$x = \frac{a(l-h)}{l};$$

მაშასადამე, კურკლის კვეთი ტოლია:

$$F = \pi \left[R_1 + \frac{a(l-h)}{l} \right]^2;$$

ჩავსვათ F -ის მნიშვნელობა განტოლებაში (A) და მოვახდინოთ ინტეგრირება:

$$\tau_1 = \frac{\pi}{\psi \cdot f_0 \cdot V \cdot g} \int_0^{h_1} \frac{R_1 + \left[\frac{a(l-h)}{l} \right]^2}{\sqrt{h}} dh =$$

$$= \frac{\pi}{\psi \cdot f_0 \cdot V \cdot 2g} \sqrt{h_1} \left[2(R_1 + a)^2 - \frac{4a(R_1 + a)h_1}{3l} + \frac{2a^2}{5l^2} h_1^2 \right]$$

პირობის თანახმად:

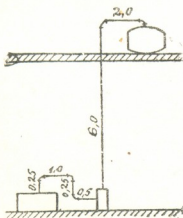
$$h_1 = 1,5 \text{ მ}; R_1 = \frac{D_1}{2} = \frac{2,0}{2} = 1,0 \text{ მ}; a = \frac{D_2 - D_1}{2} = \frac{2,2 - 2,0}{2} = 0,1 \text{ მ}$$

$$l = 1,8 \text{ მ}; f_0 = \frac{3,14 \cdot 0,025^2}{4} = 0,00049 \text{ მ}^2; \psi = 0,6 \text{ (წინანდებურად).}$$

ყველა ამ სიდიდის ჩასმის შემდეგ კოდის დაცლის ხანგრძლიობა ტოლი იქნება:

$$\tau = \frac{3,14}{0,6 \cdot 0,00049 \sqrt{2 \cdot 9,81}} \sqrt{1,5} \left[2(1+0,1)^2 - \frac{4 \cdot 0,1(1,0+0,1)1,5}{31,8} + \frac{2 \cdot 0,1^2}{5 \cdot 1,8^2} 1,5^2 \right] \approx 675 \text{ წმ} = 11 \text{ წთ } 15 \text{ წმ.}$$

მაგალითი 27. ცენტრიდანული ტუმბო ქაჩავს ტკბილს მიმღებიდან, რომელიც მოთავსებულია I სართულში, სადღღარ კასრებში, რომლებიც მოთავსებულია II სართულში (ნახ. 45). რაოდენობა ტკბილისა შეადგენს 1000 ლტლ. მილსადენის ცალკეული უბნების სიგრძეები (მეტროებით) მოცემულია ნახაზზე. განვსაზღვროთ მილსადენის დიამეტრი და საჭირო წნევა, რომელიც უნდა განავითაროს ტუმბომ.



ნახ. 45. სქემა მაგ. № 27-სათვის.

ამოხსნა 1. ავიღოთ ვარაუდად ტკბილის მოძრაობის სიჩქარე:

$$w = 2 \frac{\text{მ}}{\text{წმ}}$$

სითხის ხარჯი ტოლია:

$$V_{\text{წმ}} = \frac{1000}{100 \cdot 3600} = 0,00278 \frac{\text{მ}^3}{\text{წმ}}$$

მილის კვეთი უნდა იყოს:

$$f = \frac{V_{\text{წმ}}}{w} = \frac{0,00278}{2} = 0,00139 \text{ მ}^2.$$

აქედან მილის დიამეტრი ტოლი იქნება:

$$d = \sqrt{\frac{4f}{\pi}} = \sqrt{\frac{4 \cdot 0,00139}{3,14}} = 0,042 \text{ მ} = 42 \text{ მმ.}$$

მისი უახლოესი მილი სტანდარტის მიხედვით არის მილი დიამეტრით 2" ($d \approx 50$ მმ), ამიტომ ფაქტიური კვეთი ტოლი იქნება:

$$f = \frac{3,14 \cdot 0,05^2}{4} = 0,00196 \text{ მ}^2$$

და ფაქტიური სიჩქარე კი:

$$\omega = \frac{0,00278}{0,00196} = 1,41 \frac{\text{მ}}{\text{წმ}}$$

2. ტკბილის აწევის სიმაღლე ნახაზის მიხედვით შეადგენს:

$$h_z = 6 \text{ მ.}$$

3. დინამიკური წნევა ტოლია:

$$\frac{\omega^2}{2g} = \frac{1,41^2}{2 \cdot 9,81} = 0,101 \text{ მ,}$$

4. რეინოლდსის რიცხვი:

$$Re = \frac{\omega \cdot d \cdot \rho}{\mu} = \frac{1,41 \cdot 0,05 \cdot 110}{20,4 \cdot 10^{-5}} \approx 38000 > 3230,$$

სადაც:

$$\left. \begin{aligned} \rho &= 110 \frac{\text{კგ} \cdot \text{წმ}^2}{\text{მ}^3} \\ \mu &= 20,4 \cdot 10^{-5} \frac{\text{კგ} \cdot \text{წმ}}{\text{მ}^2} \end{aligned} \right\} \text{ მაგ. 22-დან}$$

მოდრაობა ტურბულენტურია.

5. ხახუნის კოეფიციენტი ტურბულენტური მოძრაობისათვის ფორმულა (64)-ის თანახმად ტოლია:

$$\lambda_{\text{ტ}} = \frac{0,3164}{\sqrt[4]{Re}};$$

$$\lambda_{\text{ტ}} = \frac{0,3164}{\sqrt[4]{38000}} = 0,0235.$$

6. ხახუნის წინაღობის კოეფიციენტი ფორმულის (60) თანახმად ტოლი იქნება:

$$\zeta_1 = \lambda \frac{l}{d} = 0,0235 \frac{10}{0,05} = 4,7;$$

$$l = 0,25 + 1,0 + 0,25 + 0,5 + 6 + 2 = 10 \text{ მ.}$$

7. ადგილობრივი წინალობანი:

ა) წინალობა 5 მუხლის ტაბულის (5) მიხედვით, როდესაც $R=d$; ე. ი.

$$D = 2d \text{ და } \frac{d}{D} = 0,5$$

შეადგენს:

$$\zeta_2 = 5 \cdot 0,294 \cong 1,5.$$

ბ. წინალობა მილში შესვლისას და მილიდან გამოსვლისას ფორმულა (65) თანახმად

$$\zeta_3 = 2 \cdot 0,5 = 1.$$

8. ჯამი ყველა დანაკარგისა უდრის

$$\sum_1^3 \zeta = \zeta_1 + \zeta_2 + \zeta_3 = 4,7 + 1,5 + 1 = 7,2.$$

9. საერთო საჭირო წნევა ფორმულის (58) თანახმად შეადგენს:

$$h = h_s + (1 + \sum_1^n \zeta) \frac{w^2}{2g} = 6 + (1 + 7,2) 0,101 \cong 7 \text{ მ}$$

ანუ

$$p = \gamma h = 1080 \cdot 7 = 7560 \frac{\text{პბ}}{\text{მ}^2} = 0,756 \frac{\text{კგ}}{\text{სმ}^2}.$$

მაგალითი 25. გადასაქაჩია ტკბილი საერთო რაოდენობით $500 \frac{\text{დკლ}}{\text{ს}}$.

ტკბილი მიეწოდება სამ ადგილას: კოდში (3) რაოდენობით $200 \frac{\text{დკლ}}{\text{ს}}$, კოდში

(5) — $120 \frac{\text{დკლ}}{\text{ს}}$ და კოდში (6) — $180 \frac{\text{დკლ}}{\text{ს}}$; კოდების მდებარეობა და მილ-

სადენის უბნების სიგრძეები (მეტრობით) მოცემულია აქსონომეტრიულ სქემაზე (ნახ. 46). განვსაზღვროთ მილსადენის დიამეტრები და საჭირო წნევა.

ამოხსნა: განვსაზღვროთ მილსადენის უბნები, რომელთა ფარგლებშიაც სითხის მოძრაობის პირობები არ იცვლება. ასეთი უბანი იქნება ხუთი: 1 — 2, 2 — 3, 2 — 4, 4 — 5 და 4 — 6. ყველა გაანგარიშება უბან-უბან უნდა ჩავატაროთ.

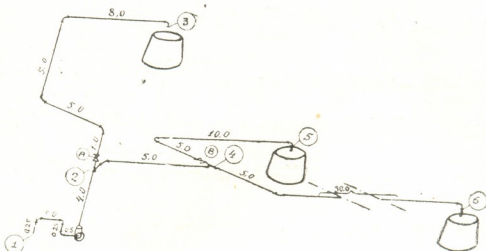
1. ვივარაუდოთ მოძრაობის სიჩქარე $w = (1 \div 2) \frac{\text{მ}}{\text{წმ}}$, საშუალოდ კი $w = 1,5 \frac{\text{მ}}{\text{წმ}}$. მილსადენის დიამეტრებს გავიანგარიშებთ ფორმულით (33), საი-

დანაც მილსადენის კვეთი: $F = \frac{V_{68}}{\omega}$ (მ²), აქედან კი დიამეტრი:

$$d = \sqrt{\frac{4F}{\pi}} \quad (\text{მ}).$$

უბანი 1—2. სითხის ხარჯი:

$$V_{1-2} = \frac{500}{100 \cdot 3600} = 0,00139 \frac{\text{მ}^3}{\text{წმ}};$$



ნახ. 46. სქემა მაგ. № 28-სათვის.

მილის კვეთი

$$F = \frac{V_{1-2}}{\omega} = \frac{0,00139}{1,5} = 0,000935 \text{ მ}^2.$$

აქედან მილის დიამეტრი უნდა იყოს:

$$d = \sqrt{\frac{4 \cdot 0,000935}{3,14}} = 0,0345 \text{ მ} = 34,5 \text{ მმ}.$$

სტანდარტის მიხედვით უახლოესი ზომის მილს აქვს დიამეტრი $1\frac{1}{2}'' \approx 38 \text{ მმ}$. უნდა ავიღოთ ეს მილი. მაშინ საანგარიშოდ ამ უბნისათვის გვექნება:

$$d_{1-2} = 0,038 \text{ მ}; \quad f_{1-2} = \frac{3,14 \cdot 0,038^2}{4} = 0,00113 \text{ მ}^2;$$

$$\omega_{1-2} = \frac{V_{1-2}}{f_{1-2}} = \frac{0,00139}{0,00113} = 1,23 \frac{\text{მ}}{\text{წმ}}.$$

უბანი 2—3. $V_{1-2} = \frac{200}{100 \cdot 360} = 0,00055 \frac{\text{მ}^3}{\text{წმ}};$

$$f = \frac{0,00055}{1,5} = 0,00037 \text{ მ}^2; \quad d = \sqrt{\frac{4 \cdot 0,00037}{3,14}} = 0,0218 \text{ მ} = 21,8 \text{ მმ.}$$

ვიღებთ სტანდარტის მიხედვით მილს დიამეტრით $1'' \cong 25,4 \text{ მმ.}$ მაშასადამე,

$$d_{2-3} = 0,0254 \text{ მ}; \quad f_{2-3} = \frac{3,14 \cdot 0,254^2}{4} \cong 0,0005 \text{ მ}^2;$$

$$\omega_{2-3} = \frac{0,00055}{0,0005} = 1,1 \frac{\text{მ}}{\text{წმ}}.$$

უბანი 2-4. $V_{2-4} = \frac{120 + 180}{100 \cdot 3600} = 0,000835 \frac{\text{მ}^3}{\text{წმ}}$

$$f = \frac{0,000835}{1,5} = 0,000556 \text{ მ}^2; \quad d = \sqrt{\frac{4 \cdot 0,000556}{3,14}} = 0,0266 \text{ მ} = 26,6 \text{ მმ.}$$

ვიღებთ სტანდარტის მიხედვით მილს დიამეტრით $1'' \cong 25,4 \text{ მმ.}$ მაშასადამე,

$$d_{2-4} = 0,0254 \text{ მ}; \quad f_{2-4} = 0,0005 \text{ მ}^2; \quad \omega_{2-3} = \frac{0,000835}{0,0005} = 1,67 \frac{\text{მ}}{\text{წმ}}.$$

უბანი 4-5. $V_{4-5} = \frac{120}{100 \cdot 3600} = 0,000332 \frac{\text{მ}^3}{\text{წმ}}$

$$f = \frac{0,000332}{1,5} = 0,000222 \text{ მ}^2; \quad d = \sqrt{\frac{4 \cdot 0,000222}{3,14}} = 0,0168 \text{ მ} = 16,8 \text{ მმ.}$$

ვიღებთ სტანდარტის მიხედვით მილს დიამეტრით $\frac{3}{4}'' \cong 19 \text{ მმ.}$ მაშასადამე,

$$d_{4-5} = \frac{3,14 \cdot 0,019^2}{4} = 0,000283 \text{ მ}^2; \quad \omega_{4-5} = \frac{0,000332}{0,000283} = 1,18 \frac{\text{მ}}{\text{წმ}}.$$

უბანი 4-6. $V_{4-6} = \frac{180}{100 \cdot 3600} = 0,0005 \frac{\text{მ}^3}{\text{წმ}}$

$$f = \frac{0,0005}{1,5} = 0,000333 \text{ მ}^2; \quad d = \sqrt{\frac{4 \cdot 0,000333}{3,14}} = 0,0206 \text{ მ} = 20,6 \text{ მმ.}$$

ვიღებთ სტანდარტის მიხედვით მილს დიამეტრით $\frac{3}{4}'' \cong 19 \text{ მმ.}$ მაშასადამე,

$$d_{4-6} = 0,019 \text{ მ}; \quad f_{4-6} = 0,000283 \text{ მ}^2; \quad \omega_{4-6} = \frac{0,0005}{0,000283} = 1,77 \frac{\text{მ}}{\text{წმ}}.$$

2. განვსაზღვროთ რეინოლდსის რიცხვი და მისი მიხედვით მოძრაობის ხასიათი. როგორც ვიცით, რეინოლდსის რიცხვი $Re = \frac{\omega \cdot d \cdot \rho}{\mu}$.

წინა მაგალითებიდან ტეზისათვის:

$$\rho = 110 \cdot \frac{\text{კგ} \cdot \text{წმ}^2}{\text{გ}^4} \quad \text{და} \quad \mu = 20,4 \cdot 10^{-5} \frac{\text{კგ} \cdot \text{წმ}^2}{\text{გ}^2}$$

$$Re^{1-2} = \frac{\omega_{1-2} \cdot d_{1-2} \cdot \rho}{\mu} = \frac{1,23 \cdot 0,038 \cdot 110}{20,4 \cdot 10^{-5}} \approx 25200;$$

$$Re^{2-3} = \frac{1,1 \cdot 0,0254 \cdot 110}{20,4 \cdot 10^{-5}} \approx 15100;$$

$$Re^{3-4} = \frac{1,67 \cdot 0,0254 \cdot 110}{20,4 \cdot 10^{-5}} \approx 22900;$$

$$Re^{4-5} = \frac{1,18 \cdot 0,019 \cdot 110}{20,4 \cdot 10^{-5}} \approx 12100;$$

$$Re^{4-6} = \frac{1,77 \cdot 0,019 \cdot 110}{20,4 \cdot 10^{-5}} \approx 18200.$$

3. განესაზღვროთ ხახუნის კოეფიციენტი λ . ვინაიდან ყველა უბნისათვის $Re > 2320$, ამიტომ ყველა უბანზე მოძრაობა ტურბულენტურია და ხახუნის კოეფიციენტი უნდა განისაზღვროს ფორმულით (64) $\lambda_{\text{ბურ.}} = \frac{0,3164}{\sqrt[4]{Re}}$

$$\lambda_{\text{ბურ.}}^{1-2} = \frac{0,3164}{\sqrt[4]{25200}} = 0,0252;$$

$$\lambda_{\text{ბურ.}}^{2-3} = \frac{0,3164}{\sqrt[4]{15100}} = 0,0282;$$

$$\lambda_{\text{ბურ.}}^{3-4} = \frac{0,3164}{\sqrt[4]{22900}} = 0,0257;$$

$$\lambda_{\text{ბურ.}}^{4-5} = \frac{0,3164}{\sqrt[4]{12100}} = 0,0291;$$

$$\lambda_{\text{ბურ.}}^{4-6} = \frac{0,3164}{\sqrt[4]{18200}} = 0,0272.$$

4. განესაზღვროთ ხახუნის დანაკარგის კოეფიციენტი ζ_1 ფორმულით (60); $\zeta_1 = \lambda \frac{l}{d}$

$$\zeta_1^{1-2} = \lambda_{1-2} \frac{l_{1-2}}{d_{1-2}} = 0,0252 \frac{0,25 + 1,0 + 0,25 + 0,5 + 4}{0,038} \approx 4;$$

$$\zeta_1^{3-2} = 0,0282 \frac{19,0}{0,0254} \approx 21,1;$$

$$\zeta_1^{2-1} = 0,0257 \frac{5}{0,0254} \approx 5;$$

$$\zeta_1^{4-3} = 0,0291 \frac{15}{0,019} \approx 23;$$

$$\zeta_1^{4-6} = 0,0272 \frac{55}{0,019} \approx 78,6.$$

5. განესაზღვროთ ადგილობრივ წინაღობათა კოეფიციენტები.

უბანი 1—2.

მუხლი—2 ცალი: $\zeta_2 = 2 \cdot 0,294 = 0,584$ (ტაბ. 5);
წინაღობა შესასვლელში $\zeta_3 = 0,5$ [ფორმულა (65)].

უბანი 2—3.

მუხლი—4 ცალი: $\zeta_2 = 4 \cdot 0,294 = 1,168$;
წინაღობა გამოსასვლელში: $\zeta_3 = 0,5$;
ვენტილი—(იხ. ქვემოთ).

უბანი 2—4.

ერთი მუხლი $\alpha = 60^\circ$; $\zeta_2 = 0,294 \frac{60}{90} = 0,195$; $\zeta_3 = 0$.
განსტოება უბნის თავში ფორმულის (67) თანახმად
 $\zeta_4 = 0,505 + 0,303 \sin 30^\circ + 0,226 \sin^2 30^\circ = 0,713$;
განსტოება უბნის ბოლოში იმავე ფორმულით:
 $\zeta_5 = 0,505 + 0,303 \sin 90^\circ + 0,226 \sin^2 90^\circ = 1,021$.

უბანი 4—5.

ვენტილი (იხ. ქვემოთ).
მუხლი—2 ცალი: $\zeta_2 = 2 \cdot 0,294 = 0,584$;
წინაღობა გამოსასვლელში $\zeta_3 = 0,5$.

უბანი 4—6.

მუხლი—2 ცალი: $\zeta_2 = 2 \cdot 0,294 = 0,584$;
წინაღობა გამოსასვლელში $\zeta_3 = 0,5$.
6. შევჯამოთ ყველა დანაკარგის, კოეფიციენტები
 $(\Sigma \zeta)_{1-2} = 4 + 0,584 + 0,5 = 5,084$;
 $(\Sigma \zeta)_{2-3} = 21,1 + 1,168 + 0,5 = 22,768$;
 $(\Sigma \zeta)_{3-4} = 5 + 0,195 + 0,713 + 1,021 = 6,929$;
 $(\Sigma \zeta)_{4-5} = 23 + 0,584 + 0,5 = 24,084$;
 $(\Sigma \zeta)_{5-6} = 78,6 + 0,584 + 0,5 = 79,684$.

7. განესაზღვროთ აწევის სიმაღლე:

$$h_x^{1-2} = 4,0 \text{ მ};$$

$$h_x^{2-3} = 1 + 5 = 6 \text{ მ};$$

$$h_x^{3-4} = 0;$$

$$h_x^{4-5} = 0;$$

$$h_x^{5-6} = 0.$$

8. განესაზღვროთ დინამიკური წნევა იმ უბნებისათვის, რომელთა ბოლოშია ცხდება სითხის თავისუფალი გამოდენა სისტემის გარეთ

$$h_d^{2-3} = \frac{\omega_2^2 - 3}{2g} = \frac{1,1^2}{2 \cdot 9,81} = 0,062 \text{ მ};$$

$$h_d^{4-5} = \frac{\omega_4^2 - 5}{2g} = \frac{1,18^2}{2 \cdot 9,81} = 0,071 \text{ მ};$$

$$h_d^{4-6} = \frac{\omega_4^2 - 6}{2g} = \frac{1,74^2}{2 \cdot 9,81} = 0,16 \text{ მ}.$$

9. განესაზღვროთ სრული წნევა, რომელიც საჭიროა თითოეულ კოლში ტკბილის მისაწოდებლად. ფორმულის (58) თანახმად სრული წნევა ტოლია:
 $h = h_x + \left(1 + \sum_1^n \zeta\right) \frac{\omega^2}{2g}$; კოლში (3) მისაწოდებლად ტკბილმა უნდა გაიაროს უბნები: 1—2 და 2—3.

კოლში (5) მისაწოდებლად უბნები: 1—2, 2—4 და 4—5;

კოლში (6) მისაწოდებლად უბნები: 1—2, 2—4 და 4—6.

კოლი (3)

$$h_x = h_x^{1-2} + h_x^{2-3} = 4 + 6 = 10 \text{ მ};$$

$$\frac{\omega^2}{2g} = \frac{\omega_2^2 - 3}{2g} = 0,062 \text{ მ}$$

$$\sum_1^n \zeta = \left(\sum_1^1 \zeta\right)_{1-2} + \left(\sum_1^2 \zeta\right)_{2-3} = 5,084 + 22,768 \approx 27,9.$$

სრული წნევა კოლისათვის (3) შეადგენს:

$$h_{1-2-3} = 10 + (1 + 27,9) \cdot 0,062 \approx 11,8 \text{ მ}.$$

კოლი (5):

$$h_x = h_x^{1-2} + h_x^{2-4} + h_x^{4-5} = 4,0 \text{ მ}.$$

$$\frac{\omega^2}{2g} = \frac{\omega_4^2 - 5}{2g} = 0,071 \text{ მ}.$$

$$\sum_1^n \zeta = \left(\sum_1^n \zeta \right)_{1-2} + \left(\sum_1^n \zeta \right)_{2-4} + \left(\sum_1^n \zeta \right)_{4-5} = 5,084 + 6,929 + 24,084 \approx 36,1.$$

სრული წნევა კოდისათვის (5) შეადგენს:

$$h_{1-2-4-5} = 4,0 + (1 + 36,1) 0,071 = 6,6 \text{ მ.}$$

კოდი (6):

$$h_x = h_x^{1-2} + h_x^{2-4} + h_x^{4-5} = 4,0 \text{ მ.}$$

$$\frac{\omega^2}{2g} = \frac{\omega_4^2}{2g} = 0,16 \text{ მ.}$$

$$\sum_1^n \zeta = \left(\sum_1^n \zeta \right)_{1-3} + \left(\sum_1^n \zeta \right)_{2-4} + \left(\sum_1^n \zeta \right)_{4-6} = 5,084 + 6,929 + 79,684 \approx 91,7.$$

სრული წნევა კოდისათვის (6) შეადგენს:

$$h_{1-2-4-6} = 4 + (1 + 91,7) 0,16 \approx 18,80.$$

საანგარიშო წნევად ტუმბოსათვის უნდა მივიღოთ

$$h = 18,8 \text{ მ ანუ } p = \gamma \cdot h = 1080 \cdot 18,8 \approx 20304 \frac{\text{კგ}}{\text{მ}^2} = 2,03 \frac{\text{კგ}}{\text{სმ}^2}.$$

სისტემის რეგულირება. ტუმბო მიაწოდებს ტბილს წნევას $h = 18,8$ მ. ეს წნევა საჭიროა იმისათვის, რომ ტბილი მივიდეს კოდში (6) და გამოდინდეს მილსადენიდან კოდში განსაზღვრული სიჩქარით, რომელიც უზრუნველყოფს, ანგარიშის თანახმად, კოდში (6) ტბილის მოცემული რაოდენობის მიწოდებას დროის ერთეულში. როდესაც ტბილი მიადრეწვს წერტილს (2), რომელშიაც ხდება ტბილის ნაკადის ორ ნაწილად გაყოფა, ტბილს ექნება წნევის მარაგი, რომელიც საკმარისია კოდში (6) ტბილის მისაწოდებლად, მაგრამ ეს მარაგი წნევისა მეტია, ვიდრე ეს საჭიროა კოდისათვის (3) ნაანგარიშევი რეჟიმის დასაცავად. თუ მილსადენს ასე დავტოვებთ, ტბილი გაეშურება მეტწილად კოდისაკენ (3), ვინაიდან ამ მიმართულებით წინაღობა უფრო ნაკლებია და, მასასადამე, ნაანგარიშევი რეჟიმი დაირღვევა. ამიტომ საჭიროა 2—3 უბნის თავში წერტილში (A) დავაყენოთ ვენტილი, რომლის საშუალებით, შევქმნით დამატებით წინაღობას და ამით შევამცირობთ წნევას იმ სიდიდემდე, რაც საჭიროა უბანზე (2—3) ნაანგარიშევი რეჟიმის დასაცავად. მსგავსი სურათი გვექნება წერტილში (4), სადაც ხდება ტბილის ნაკადის კიდევ ორ ნაწილად გაყოფა. აქაც (4—5) უბნის თავში წერტილში (B) უნდა დავაყენოთ ვენტილი.

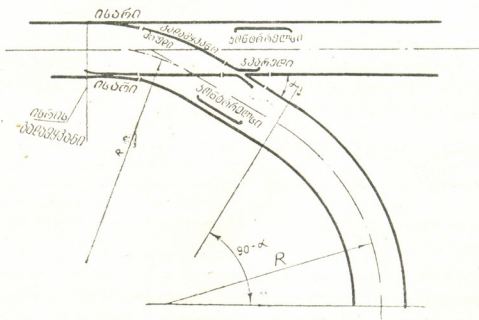
თავი მესამე

მაგარი მასალების გადაზიდვა

§ 10. მიწისზედა გზები

რელსიანი და ურელსო გზები. მიწისზედა გზები ორი ტიპისაა: ურელსო და რელსიანი. ურელსო გზა თავისი წესიერი ექსპლოატაციისათვის მოითხოვს კარგად მოპირკეთებულ ზედაპირს და ამიტომ უფრო ფართოდ არის გავრცელებული საწარმოთა სათავსების შიგნით მოძრაობისათვის, რადგანაც სათავსის შიგნით იატაკის ზედაპირი, როგორც წესი, ტექნოლოგიური პროცესისა და სანიტარიის მოთხოვნის თანახმად, კარგად არის დამუშავებული. რელსიანი გზა კი მოითხოვს სპეციალური რელსიანი ლიანდაგის დაგებას წინასწარ მომზადებულ ფუძეზე.

ამიტომ რელსიანი გზა უფრო ხშირად ქარხნის ცალკეულ შენობათა შორის მოძრაობისათვის იხმარება.

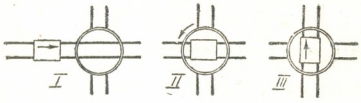


ნახ. 47. რკინიგზის ისრიანი განშტოების სქემა.

ლიანდაგის სიგანე უფრო ხშირად უდრის 600 მმ და 700 მმ, ე. ი. ის გაცილებით ნაკლებია, ვიდრე ჩვეულებრივი რკინიგზის ლიანდაგის სიგანე (1524 მმ). ამიტომ ამ გზებს ვიწროლიანდაგიანი რკინიგზები ეწოდება. ხაზიდან განშტოების გაყვანა ხდება ისრების საშუალებით, რაც მოითხოვს სათანადო ნორმების (უმთავრესად ლიანდაგის მომრგვალება R -ის) დაცვას (ნახ. 47).

ზოგჯერ ამ ნორმების დაცვა ადგილის სივიწროვის გამო შეუძლებელი ხდება მაშინ ვაგონეტის ერთი ლინდაგიდან მეორეზე გადაყვანას ახორციელებენ ე. წ. „საბრუნის წრის“ საშუალებით, რომლის მოქმედების პრინციპი ნათლად ჩანს ნახ. 48-დან.

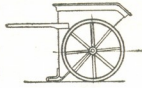
ვაგონეტები და ურიკები. ყველაზე უფრო ფართოდ ვაგონეტებულ სა-



ნახ. 48. საბრუნის წრის მოქმედების სქემა.

ტრანსპორტო საშუალება, როგორც ურელსო, ისე რელსიან გზებზე ტვირთის გადასაზიდად ვაგონეტები და ურიკებია. მათი კონსტრუქცია მრავალნაირია. მოვიყვანოთ ვაგონეტებისა და ურიკების ის ტიპები, რომლე-

ბიც იხმარება ან შეიძლება მოხმარებულ იქნას ღვინის მრეწველობის საწარმოებში. ნახ. 49 ÷ 54 — მოყვანილია ურიკები, რომლებიც ურელსო გზებზე იხმარება. ნახ. 49-ზე მოყვანილია ხელით საგორებელი ორთვლიანი ურიკა. მისი ტვირთისაგან დაცლა ხდება აკვნის ღერძის ირგვლივ მოტრიალებით.



ნახ. 49. ხელით საგორებელი ორთვლიანი ურიკა.



ნახ. 50. ხელით საგორებელი ერთვლიანი ურიკა.

ნახ. 50-ზე მოყვანილ იმავე ტიპის ურიკის ტვირთისაგან დაცლა გაადვილებულია იმით, რომ მისი აკვანი დამაგრებულია ბერკეტზე სახსრულად. ურიკის სახელურების მცირედ აწევის დროს აკვანი მოტრიალდება და დაიცლება, სახელურების დაწევის დროს კი აკვანი უკან ტრიალდება.



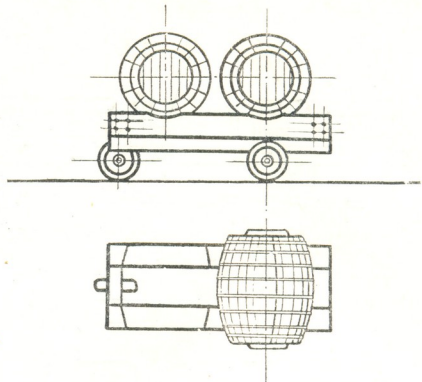
ნახ. 51. ხელით საგორებელი ურიკა კასრებისათვის.

ნახ. 51-ზე მოყვანილია აგრეთვე ხელით საგორებელი ორთვლიანი ურიკა, რომლის საშუალებითაც ხდება კასრების გადაზიდვა. ურიკის სახელურების აწევით ურიკის წინა ნაწილი იატაკამდე დაიწევს, რაც აადვილებს ურიკაზე კასრის შეგორებას და აგრეთვე გადმოგორებას.

ნახ. 52-ზე მოყვანილია სამთვლიანი ხელით საგორებელი ურიკა, რომლის ზესადგარში ამოჭრილია სპეციალური ბუდეები კასრების დასადებად.

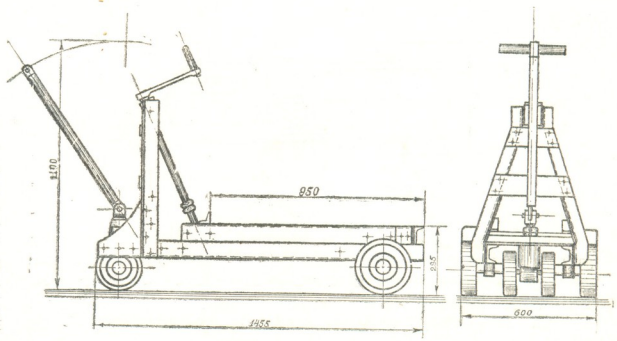
ურიკებისა და ვაგონეტების რაციონალურად გამოყენებისათვის საჭიროა მაქსიმალურად შევამციროთ დატვირთვა-განტვირთვისათვის საჭირო დრო. ამისათვის ყველაზე მიზანშეწონილია, რომ გადასაზიდი მასალა წინასწარ შევაგროვოთ სპეციალურ მაგიდაზე, ურიკა კი აიტაცებს და გადაიტანს ტვირთს თავის მაგიდიანად. ასეთი ურიკის მაგალითი მოყვანილია ნახ. 53-ზე. მას წევარიან ურიკას უწოდებენ.

ეს ურიკა ხელით საგორებელი და სამთვლიანია. მისი მუშაობის პრინციპი ნათლად ჩანს ნახ. 54-დან: ურიკის ძირითად ჩარჩოზე (a) დადებულია



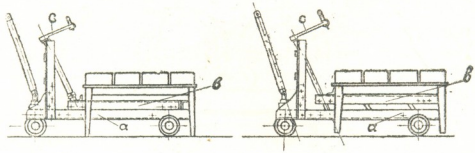
ნახ. 52. ხელით საგორებელი სამთვლიანი ბაქანი კასრებისათვის.

მეორე ჩარჩო (b). სახელურის (c) მოტრიალებით შეიძლება ჩარჩო (b) მაღლა აიწიოს 50 მმ-მდე.



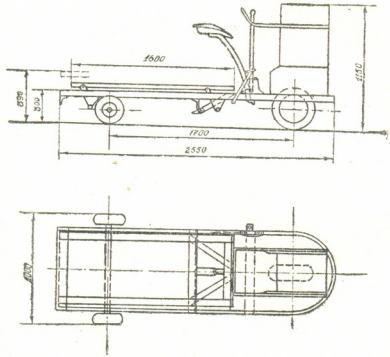
ნახ. 53. წვეარიანი ურიკა.

ნახ. 55-ზე მოყვანილია ურიკა, რომელსაც ამოძრავებს შიგაწვის ძრავა. გარდა ამისა, ურიკას ასაწევი ბაქანი აქვს. ურიკის წამყვანი სპეციალური საჯდომზე ზის და ურიკის მოძრაობას განაგებს. ამ ურიკას ავტოკარა ეწოდება.



ნახ. 54. წვერიანი ურიკის მოქმედების პრინციპი.

დგება. ავტოკარა თავისი მუშაობის დროს ნამუშევარ გაზებს უშვებს. ამიტომ საწარმოს შიგნით მუშაობის დროს იგი გაძლიერებულ ვენტილაციას მოითხოვს. ეს გარემოება ავტოკარის დიდ ნაკლად უნდა ჩაითვალოს.

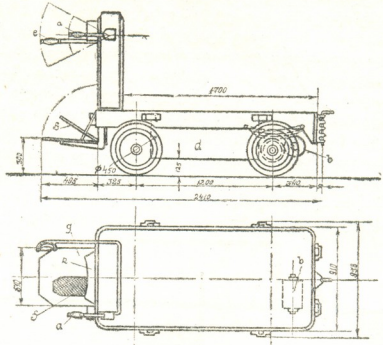


ნახ. 55. ავტოკარა

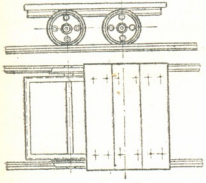
ნახ. 56-ზე მოყვანილია ურიკა, რომელსაც ელექტრომომტორი ამოძრავებს. ელექტრომომტორის დენით კვება წარმოებს ურიკაზე დაყენებული ელექტროაკუმულატორით, რომელიც დროგამოშვებით უნდა დაიტენოს სპეციალურ დამტენ სადგურში.

ნახ. 57 და 58-ზე მოყვანილია ვაგონეტები, რომლებიც რელსიან გზებზე იხმარება. ერთი მათგანი (ნახ. 57) წარმოადგენს ღია ბაქანს, რომლის ზე-

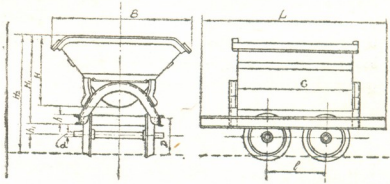
დაპირზე იდგება ვადასაზიდი ცალობითი ტვირთი. მეორეს კი (ნახ. 58) ტვირთის ჩასაყრელად აქვს სპეციალური ფორმის რკინის ყუთი, რომელიც გვერდ-



ნახ. 56. ელექტროკარა.



ნახ. 57. საგორებელი ბაქანი.



ნახ. 58. ყუთიანი ვაგონეტი.

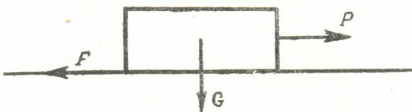
ზე მობრუნებით ადვილად იცლებს. მისი ზომები მოყვანილია ცხრილში № 10.

ვაგონეტების ზომები (ნახ. 58) მილიმეტრებით ცხრილი 10

ტევადობა	B	C	H	H ₁	H ₂	h	h ₁	L	l	D	d	ლიანდაგის სიგანე	ვაგონეტის საკუთარი წონა კგ
0,35	990	1000	610	800	990	80	65	1500	500	250	40	600	380
0,5	1220	1000	700	840	1055	100	65	1600	600	300	40	600	420
0,75	1410	1230	833	988	1200	100	65	1735	600	300	50	600—750	480
1,0	1580	1400	800	1140	1325	120	65	2100	600	300	50	750	520

ამ ვაგონეტის გამოყენება განსაკუთრებით მიზანშეწონილია ქაქის, ზიდვისათვის. რელსიან გზებზე ვაგონეტებს უფრო ხშირად ხელით მიზღვრობენ. ზოგიერთ შემთხვევაში ვაგონეტების გასაწევად (უფრო ხშირად აღმართში) ხმარობენ ბაგირს, რომელსაც სტაციონარული ჯალამბარი ეწევა. როდესაც მანძილი და გადასაზიდი ტვირთის რაოდენობა დიდია, მიზანშეწონილი ხდება, რომ რამდენიმე ვაგონეტი ერთმანეთს გადავაბათ; თავში დავუყენოთ გამწევი მანქანა (ორთქლმავალი, მოტომავალი, ელექტრომავალი და სხვა) და, ამრიგად, შევადგინოთ მატარებელი. ზოგიერთ შემთხვევაში გამართლებული იქნება ვაგონეტში მუშა-საქონლის შებმაც. წვეის საშუალების შერჩევა ყოველ ცალკეულ შემთხვევაში სათანადო გაანგარიშებით უნდა იყოს დასაბუთებული.

ვაგონეტებისა და ურიკებისათვის საჭირო წვეის ძალის გაანგარიშება. როგორც ცნობილია მექანიკიდან, თუ სხეული წონით 9 კგ. თავისუფლად დევს ჰორიზონტალურ სიბრტყეზე (ნახ. 59), მის გადასადგილებლად, თეო-

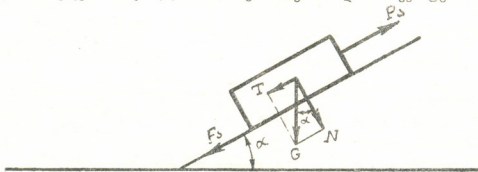


ნახ. 59. ტვირთის გადაადგილება ჰორიზონტ სიბრტყეზე.

რიულად არაფიარარი ძალა არ არის საჭირო, ფაქტიურად კი საჭიროა ძალა P , რომელმაც უნდა დასძლიოს მოძრაობის წინაღობის ძალა F , გამოწვეული სხეულსა და ზედაპირს შორის არსებული ხახუნით. თუ f_1 არის სრიალის ხახუნის კოეფიციენტი, წინაღობის ძალა ტოლი იქნება: $F = f_1 \cdot G$ (კგ). ვინაიდან გამწევი ძალა $P = F$, ამიტომ

$$P = f_1 \cdot G. \quad (96)$$

აქედან ცხადია, რომ, რაც უფრო ნაკლებია ხახუნის კოეფიციენტი f_1 , მით უფრო ნაკლები ძალა (P) არის საჭირო ერთი და იმავე ტვირთის (G)



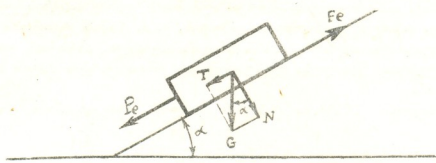
ნახ. 50. ტვირთის გადაადგილება აღმართში.

გადასადგილებლად. თუ სხეულის გადაადგილება ხდება არა ჰორიზონტალურ, არამედ დახრილ სიბრტყეზე (ნახ. 60 და 61), მაშინ მოძრაობის წინა-



ლობის (ხახუნის) ძალა შეიქმნება სხეულის არა მთელი წონის პროპორციულად, არამედ მხოლოდ მისი ნორმალური შემდგენელის N -ის პროპორციულად, ე. ი. ამ შემთხვევაში:

$$F = f_1 \cdot N \quad (97)$$



ნახ. 61. ტვირთის გადაადგილება დაღმართში.

წონის ძალის (G) მხები შემადგენელი მუდამ მიმართულია ქვემოთკენ. მოძრაობის წინალობის ძალა (F) კი მიმართულია მოძრაობის წინააღმდეგ, ე. ი. ის იცვლის თავის მიმართულებას იმისდა მიხედვით, თუ საიაკენ ვეწვეით ტვირთს: თუ ტვირთს (G) ავწვევთ აღმართში (P_e ძალის საშუალებით), F_e მიმართულია ქვემოთკენ (ნახ. 60), თუ ტვირთს წავწვევთ დაღმართში (P_e ძალის საშუალებით), F_e მიმართულია ზემოთკენ (ნახ. 61). ორივე შემთხვევაში ძალთა პარალელოგრამიდან გამოვძინარეობს:

$$T = G \sin \alpha \quad (98)$$

$$N = G \cos \alpha. \quad (99)$$

წონასწორობისათვის საკიროა, რომ მოქმედ ძალთა დახრილ სიბრტყეზე პროექციების ჯამი 0-ს უდრიდეს. ამიტომ თუ მოძრაობა აღმართში წარმოებს (ნახ. 60)

$$P_e - F_e - T = 0, \text{ აქედან } P_e = F_e + T$$

თუ ჩავსვამთ ძალთა მნიშვნელობას, განტოლებებიდან (97), (98) და (99), მივიღებთ:

$$P_e = f_1 \cdot G \cos \alpha + G \sin \alpha.$$

ანუ საბოლოოდ:

$$P_e = G (f_1 \cos \alpha + \sin \alpha) \quad (100)$$

თუკი მოძრაობა დაღმართში წარმოებს:

$$F_e - P_e - T = 0, \text{ აქედან } P_e = F_e - T$$

ანუ საბოლოოდ:

$$P_e = G (f_1 \cos \alpha - \sin \alpha) \quad (101)$$

ამ ფორმულიდან გამოვძინარეობს, რომ, ვინაიდან $G \neq 0$, ამიტომ $P_e = 0$ მაშინ, როდესაც $f_1 \cos \alpha - \sin \alpha = 0$, ე. ი. როდესაც $f_1 \cos \alpha = \sin \alpha$, ანუ



$f_1 = tg \alpha$. როგორც ვიციტ, $f_1 = tg \rho$, სადაც ρ არის ხახუნის კუთხე, რომ $tg \rho = tg \alpha$ და საბოლოოდ $\rho = \alpha$.

მაშასადამე, როდესაც აღმართის კუთხე (α) უდრის ხახუნის კუთხეს (ρ), ტვირთის დაღმართში ჩასაწევად არავეთარი ძალა არ არის საჭირო: ტვირთი თავისთავად ჩასრიალდება. თუკი აღმართის კუთხე ხახუნის კუთხეზე მეტია ($\alpha > \rho$), მაშინ P_2 უარყოფითი გამოდის, ე. ი. მაშინ ტვირთის დაღმართში ჩასაწევად არა თუ არ არის საჭირო რაიმე ძალა, პირიქით, უნდა შეიქმნას დამატებითი წინაღობა (დამუხრუჭება), რათა ჰარბმა ძალამ მოძრაობა არ აჩქაროს.

ფორმულები (100) და (101) შეგვიძლია გავერთიანოთ ერთ ფორმულაში

$$P = G (f_1 \cos \alpha \pm \sin \alpha). \quad (102)$$

წვევის გაანგარიშებას აადვილებს, ე. წ., წვევის კოეფიციენტის (μ_F) შემოღება. ეს კოეფიციენტი წარმოადგენს ტვირთის წონისა და მისი გადაადგილებისათვის საჭირო ძალის შეფარდებას:

$$\mu_F = \frac{P}{G}. \quad (103)$$

ზემოვანხილული შემთხვევისათვის წვევის კოეფიციენტი ტოლი გამოდის: პორიზონტალური სიბრტყისათვის:

$$\mu_F = \frac{P}{G} = \frac{f_1 \cdot G}{G} = f_1. \quad (104)$$

აღმართ-დაღმართისათვის:

$$\mu_F = \frac{P}{G} = \frac{G (f_1 \cos \alpha \pm \sin \alpha)}{G} = f_1 \cos \alpha \pm \sin \alpha. \quad (105)$$

ურთიკებისა და ვაგონეტების მოძრაობის წინაღობას უფრო რთული ხასიათი აქვს. მოძრაობის საერთო წინაღობა— W_b —(კგ) ამ შემთხვევაში ორი ნაწილისაგან შედგება:

- 1) ხახუნის წინაღობისაგან ლერძის საკისრებში— $W_{საკ}$ (კგ), და
- 2) ხახუნის წინაღობისაგან თვალსა და იატაკს ან რელსს შორის— $W_{თვ}$ —(კგ),

ე. ი.
$$W_b = W_{საკ} + W_{თვ}. \quad (106)$$

როგორც ცნობილია მექანიკიდან, ხახუნის წინაღობის ძალა საკისრებში ტოლია:

$$W_{საკ} = G_{საერთო} \frac{d}{D} f_1 \text{ (კგ)}, \quad (107)$$

სადაც: $W_{საკ}$ —(კგ) არის ხახუნის წინაღობა ლერძის საკისრებში;
 $G_{საერთო}$ —(კგ)—თვით ურთიკისა და მასზე დადებული ტვირთის საერთო წონა;

D —(სმ)—თვლის დიამეტრი;

d —(სმ)—ლერძის პოპოვიკის დიამეტრი;

f_1 —სრიალის ხახუნის კოეფიციენტი.

ხახუნის წინაღობა თვალსა და იატაკს ან რელსს შორის განისაზღვრება ფორმულით:

$$W_{\text{თვ}} = G_{\text{საერთო}} \frac{f_2}{R} \quad (\text{კგ}) \quad (108)$$

სადაც: $W_{\text{თვ}}$ —(კგ) არის ხახუნის წინაღობა თვალსა და იატაკს ან რელსს შორის;

f_2 —(სმ)—გორგის ხახუნის კოეფიციენტი;

R —(სმ)—თვლის რადიუსი.

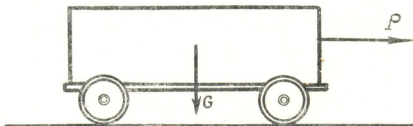
მოდრაობის საერთო წინაღობა (თუ მხედველობაში არ მივიღებთ ჰაერის წინაღობას და სიჩქარის შეცვლას) ტოლი იქნება:

$$W_s = W_{\text{საქ}} + W_{\text{თვ}} = G_{\text{საერთო}} \frac{d}{D} f_1 + G_{\text{საერთო}} \frac{f_2}{R},$$

ანუ

$$W_s = G_{\text{საერთო}} \left(\frac{d}{D} f_1 + \frac{f_2}{R} \right). \quad (109)$$

თუ ურიკა ჰორიზონტალურ სიბრტყეზე მოძრაობს (ნახ. 62), მაშინ წვევის კოეფიციენტი ტოლი გამოდის:



ნახ. 62. ურიკა ჰორიზონტალურ სიბრტყეზე.

$$\mu_{\text{წ}} = \frac{P}{G_{\text{საერთო}}} = \frac{G_{\text{საერთო}} \left(\frac{d}{D} f_1 + \frac{f_2}{R} \right)}{G_{\text{საერთო}}},$$

ანუ

$$\mu_{\text{წ}} = \frac{d}{D} f_1 + \frac{f_2}{R} \quad (110)$$

თუ ურიკა აღმართ-დაღმართში მოძრაობს (ნახ. 63), მაშინ ძალთა პარალელოგრამიდან მივიღებთ შემდეგს:

$$N = G_{\text{საერთო}} \cdot \cos \alpha; \quad T = G_{\text{საერთო}} \cdot \sin \alpha.$$

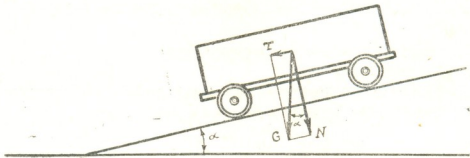


მოდრაობის წინაღობა, რასაც ჰქმნის ნორმალური შემდგენელი ნება ანალოგიური ჰორიზონტალურ სიბრტყეზე მოძრაობის წინაღობისა და ტოლი იქნება:

$$\mu_5 \cdot N = \mu_5 \cdot G_{\text{საერთო}} \cos \alpha.$$

მხები შემდგენელი კი T , აღმართში მოძრაობის დროს ამ წინაღობას მიემატება $(+T)$, დაღმართში კი მოაკლდება $(-T)$.

ამიტომ ძალა P_a , რომელიც საჭიროა ურეის აღმართში ასაგორებლად, ტოლი იქნება:



ნახ. 63. ურეიკა აღმართ-დაღმართში.

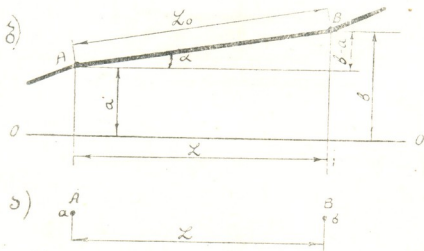
$$P_a = \mu_5 \cdot G_{\text{საერთო}} \cos \alpha + G_{\text{საერთო}} \sin \alpha = G_{\text{საერთო}} (\mu_5 \cos \alpha + \sin \alpha), \quad (111)$$

დაღმართში კი:

$$P_d = \mu_5 G_{\text{საერთო}} \cos \alpha - G_{\text{საერთო}} \sin \alpha = G_{\text{საერთო}} (\mu_5 \cos \alpha - \sin \alpha). \quad (112)$$

ფორმულები (111) და (112) შეგვიძლია ერთ ფორმულაში გავეერთიანოთ:

$$P = G_{\text{საერთო}} (\mu_5 \cos \alpha \pm \sin \alpha). \quad (113)$$



ნახ. 64. გზის პროექციი და გეგმა.

აღმართ-დაღმართი კუთხის (α) განსაზღვრა. გზების გაყენის დროს, წვეულებრივად სარგებლობენ ადგილის ტოპოგრაფიული გეგმით, რომელზე-



დაც მოცემულია (ზედ აწერია) გზის ხაზის სხვადასხვა წერტილის სიმაღლე მეტრობით (a და b ნახ. 64, ა) ან ზღვის დონესთან შედარებით (აბსოლუტური სიმაღლე) ან რაიმე სხვა დონესთან შედარებით, რომლის სიმაღლე პირობით 0-ად არის მიჩნეული (შეფარდებითი ან პირობითი სიმაღლე). ამიტომ აღმართ-დაღმართის კუთხის α -ს გასაგებად საჭიროა განვიხილოთ გზის პროექცია, ე. ი. ადგილის კრილი ვერტიკალური სიბრტყითი (ნახ. 64, ბ). შეფარდებას $\frac{b-a}{L} = i$ ქანობი ეწოდება.

აღმართ-დაღმართის კუთხე α კი ტოლი იქნება:

$$\alpha = \arctg i = \arctg \frac{b-a}{L}. \quad (114)$$

აღსანიშნავია, რომ მანძილი A და B წერტილებს შორის— L ტოპოგრაფიულ რუკაზე უშუალოდ განზომილი, არ იძლევა ნამდვილ მანძილს ამ წერტილებს შორის მიწის ზედაპირზე, არამედ წარმოადგენს ამ მანძილის ჰორიზონტალურ პროექციას. ამიტომ ფაქტიური (საანგარიშო) მანძილი A და B წერტილებს შორის ტოლი იქნება:

$$L_0 = \frac{L}{\cos \alpha}. \quad (115)$$

ვაგონეტების მუშაობის გაანგარიშება. ზემოთ ნახმარ აღნიშვნებს დავუმატოთ შემდეგი აღნიშვნები:

- $Q - \left(\frac{ქბ}{ს} \right)$ —ერთ საათში გასაზიდი ტვირთის წონა;
- $V_3 - (მ^3)$ —ვაგონეტის ტევადობა მოცულობით;
- $G_1 - (კგ)$ —ვაგონეტის ტევადობა წონით;
- $G_0 - (კგ)$ —ვაგონეტის საკუთარი წონა;
- $\tau_1 - (წმ)$ —ვაგონეტის დატვირთვის ხანგრძლიობა;
- $\tau_2 - (წმ)$ —დატვირთული ვაგონეტის მოძრაობის ხანგრძლიობა;
- $\tau_3 - (წმ)$ —ვაგონეტის განტვირთვის ხანგრძლიობა;
- $\tau_4 - (წმ)$ —ცარიელი ვაგონეტის მოძრაობის ხანგრძლიობა;
- $\tau - (წმ)$ —ვაგონეტის ერთი ბრუნვის ხანგრძლიობა;
- $L_0 - (მ)$ —ტვირთშიდვის მანძილი;
- $\omega_{\text{დატ.}}$ — $\left(\frac{მ}{წმ} \right)$ —დატვირთული ვაგონეტის მოძრაობის სიჩქარე;
- $\omega_{\text{ცარ.}}$ — $\left(\frac{მ}{წმ} \right)$ —ცარიელი ვაგონეტის მოძრაობის სიჩქარე;
- k —ვაგონეტის ბრუნვათა რაოდენობა ერთ საათში;
- $b - \left(\frac{ქბ}{ს} \right)$ —ტვირთის წონა, რასაც ვაგონეტი ერთ საათში გადაიტანს;
- $\#$ —ვაგონეტების რაოდენობა.

ვაგონეტების მუშაობის გაანგარიშება შემდეგი თანმიმდევრობით ჩატაროთ:

ვაგონეტის ტევადობა წონით შეადგენს:

$$G_{\Sigma} = V_{\Sigma} \cdot \gamma_{\Sigma} \text{ (კგ).}$$

ერთი ვაგონეტისათვის საჭირო წვევის ძალა ფორმულის (113) თანახმად შეადგენს:

დატვირთულისათვის:

$$P_{\text{დატ.}} = (G_1 + G_0) (\mu_{\Sigma} \cdot \cos \alpha \pm \sin \alpha), \quad (116)$$

ცარიელისათვის:

$$P_{\text{ცარ.}} = G_0 (\mu_{\Sigma} \cos \alpha \pm \sin \alpha), \quad (116 \text{ ა})$$

სადაც μ_{Σ} და α უნდა განვსაზღვროთ ფორმულების (110) და (114) მიხედვით. დატვირთული ვაგონეტის მოძრაობის ხანგრძლიობა

$$\tau_2 = \frac{L_0}{a_{\text{დატ.}}} \text{ (წმ)}. \quad (117)$$

ცარიელი ვაგონეტის მოძრაობის ხანგრძლიობა

$$\tau_4 = \frac{L_0}{a_{\text{ცარ.}}} \text{ (წმ)}. \quad (118)$$

ფორმულებში (117) და (118) ჩასასმელად L_0 უნდა განვსაზღვროთ ფორმულის (116) მიხედვით; ვაგონეტის ერთი ბრუნვის ხანგრძლიობა

$$\tau = \tau_1 + \tau_2 + \tau_3 + \tau_4 \text{ (წმ)},$$

სადაც τ_1 —(წმ)—ვაგონეტის დატვირთვის ხანგრძლიობა და

τ_2 —(წმ)—ვაგონეტის განტვირთვის ხანგრძლიობა აღებულ უნდა იქნას ამ ოპერაციის ჩატარების ხასიათის მიხედვით.

ერთი ვაგონეტი ერთ საათში გააკეთებს ბრუნვას:

$$k = \frac{360}{\tau} \quad (119)$$

და გადაიტანს ტვირთს რაოდენობით:

$$b = k \cdot G_1 \left(\frac{\text{კგ}}{\text{ს}} \right). \quad (120)$$

ურიკების საჭირო რაოდენობა შეადგენს:

$$n = \frac{Q}{b} \text{ (ცალი)}. \quad (121)$$



შემდგომი გაანგარიშება დამოკიდებულია არჩეული წვევის ძალის სახეობაზე. ვაგონეტის ხელით ვაგორების დროს ერთი მუშის ძალა უნდა ავიღოთ: $P \leq$

$$\leq (20 + 25) \text{ კგ და მოძრაობის სიჩქარე } \omega = 0,75 \frac{\text{მ}}{\text{წმ}} \text{ ერთ ვაგონეტზე პრაქტიკულად ორ მუშაზე მეტი ვერ იმუშავენს. ამიტომ იმ შემთხვევაში, როდესაც წვევის ძალა } 40-50 \text{ კგ-ზე მეტი გამოდის, უნდა გამოვიყენოთ მუშა-საქონელი. სათანადო მონაცემები მუშა-საქონლის შესახებ მოყვანილია მე-11 ცხრილში.}$$

დიდი წვევის ძალის დროს უნდა მივმართოთ მექანიკურ წვევის ძალას. ამის განხორციელება ორნაირად შეიძლება: 1) გამწვევი ძრავებ დავაყენოთ სტაციონარულად და წვევა გავახორციელოთ ბაგირის საშუალებით. ამისათვის მოხერხებულია ჯალამბარის ხმარება (იხ. ქვემოთ) და 2) ვაგონეტს, ან

დასახელება	წვევის ძალა კგ	ცხრილი 11
		მოძრაობის სიჩქარე $\frac{\text{მ}}{\text{წმ}}$
ცხენი . . .	75	1,1 + 1,2
ხარი	75	0,8
ვირი	50	0,8

შეიძლება ვაგონეტებისაგან შემდგარ მთელ მატარებელს, შევუბათ სატრანსპორტო გამწვევი მანქანა, რომელიც მატარებელთან ერთად ივლის. სატრანსპორტო გამწვევ მანქანებში ძრავის ნაწილი (ზოგიერთ მანქანაში 0,5-მდე) საკუთარ ვადადგილებზე იხარჯება. ამიტომ წვევითი გაანგარიშების დროს ვიხელმძღვანელოთ ე. წ. „სიმძლავრით კავზე“. ეს ის სიმძლავრეა, რომელსაც ძრავი გამწვევ კავზე ავითარებს და რომელიც შეიძლება მთლიანად მოხმარდეს ტვირთის გაწვევას.

როგორც მექანიკიდან ვიცით, სიმძლავრე განზომილი ცხენის ძალე-ბით ტოლია

$$N \text{ (ც. ძ.)} = \frac{P \cdot \omega}{75 \cdot \eta}$$

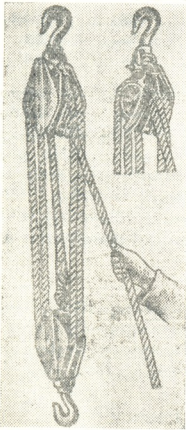
სადაც:

- P —(კგ) არის ძალა;
- ω — $\left(\frac{\text{მ}}{\text{წმ}}\right)$ —მოძრაობის სიჩქარე.
- η —ვადამცემი მექანიზმის მარგი ქმედების კოეფიციენტი.

როგორც ეს ფორმულა გვიჩვენებს, ერთი და იმავე სიმძლავრის ფარგლებში შეგვიძლია გავზარდოთ წვევის ძალა (P) სიჩქარის (ω) ხარჯზე და პირიქით (მარგი ქმედების კოეფიციენტის ცვალებადობას მხედველობაში არ ვიღებთ). ზოგიერთ სატრანსპორტო მანქანაში, როგორც არის, მაგალითად, ტრაქტორები და ავტომანქანები, აქვთ სპეციალური მექანიზმი („სიჩქარეთა კოლოფი“), რომელიც ძრავიდან თვლებზე ვადაცემის შეცვლის საშუალებით ან ამცირებს მოძრაობის სიჩქარეს და ამით აღიდეგს წვევის ძალას, ან, პირიქით, აღიდეგს სიჩქარეს და ამით ამცირებს წვევის ძალას. საჭირო მონაცემები სატრანსპორტო გამწვევი მანქანების შესახებ მრავლად მოიპოვება სპეციალურ ლიტერატურაში.

ამწეების დანიშნულება. ამწეების დანიშნულებას შეადგენს ტვირთების აწევა-დაწევა, უფრო ხშირად, ვერტიკალური მიმართულებით, ზოგჯერ კი დახრილი მიმართულებითაც.

პოლისპასტები და ტალები. უმარტივეს ამწეე საშუალებას წარმოადგენს პოლისპასტი და ტალი. პოლისპასტი შედგება ორი მჭიდვსაგან (ზედა და ქვედა). თითოეულ მჭიდვში ერთ საერთო ღერძზე თავისუფლად დაყენებულია რამდენიმე ქალი. ზედა მჭიდვ მუდამ უძრავად არის ჩამოკიდებული, ქვედა მჭიდვს კი აქვს კავი, რომელზედაც ასაწევი ტვირთი კიდია. ორივე მჭიდვის ყველა ქალზე შემოხვეულია ერთი მთლიანი ბაგირი. ამ ბაგირის გაწევით ხდება ქვედა მჭიდვის და მასზე ჩამოკიდებული ტვირთის აწევა (ნახ. 65).

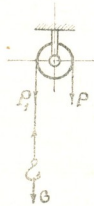


ნახ. 65. პოლისპასტი.

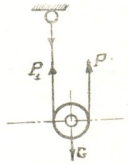
თავისთავად აღებულ ერთ ქალში, თუ ის დამაგრებულია (ნახ. 66), უძრაობის დროს ბაგირის ორივე შტოს დაჭიმვა და ასაწევი ტვირთის წონა ტოლნი არიან:

$$P = P_1 = G.$$

როგორც კი ქალი დატრიალდება, შეიქმნება მოძრაობის წინააღობის ძალა (ბაგირის სისხისტე და ხახუნის ღერძზე). ამიტომ ტვირთის (G) ასაწევად საჭირო ძალა (P) ტოლი იქნება:



ნახ. 66. დამაგრებული ქალი.



ნახ. 67. მოძრავი ქალი.

$$P = \frac{G}{\eta},$$

სადაც: η არის ქალის მარტი ქმედების კოეფიციენტი. თუ ქალი მოძრავია (ნახ. 67), მაშინ გვექნება:

$$P + P_1 = G; P = \frac{P_1}{\eta} = \frac{G - P}{\eta},$$

აქედან ამწვეი ძალა ტოლი გამოდის:

$$P = \frac{1}{1+\eta} G. \quad (122)$$

მაგალითად, თუ ასაწვეი ტვირთის წონა $G = 100$ კგ და ქალის მარგი ქმედების კოეფიციენტი $\eta = 0,96$, მაშინ საჭირო ამწვეი ძალა P ტოლი იქნება: უძრავად დამაგრებული ქალისათვის (ნახ. 66) ფორმულის (121) თანახმად:

$$P = \frac{100}{0,96} \approx 104 \text{ კგ}$$

ე. ი. ამწვეი ძალა ასაწვე ტვირთზე ცოტა მეტია.

მოდრავი ქალისათვის კი (ნახ. 67) ფორმულის (122) თანახმად:

$$P = \frac{1}{1+0,96} \cdot 100 = 51 \text{ კგ.}$$

ე. ი. ამწვეი ძალა დაახლოებით შეადგენს ასაწვეი ტვირთის ნახევარს; მაშასადამე, მხოლოდ ერთი ქალის რაციონალური დაყენება ამწვეი ძალის ეკონომიას გვაძლევს. თუ აღნიშნავთ განვლილ მანძილს: G ტვირთისათვის— h_6 ; P ძალისათვის— h_a , და მოძრაობის სიჩქარეს შესაბამისად— w_6 და w_a , მაშინ დამაგრებული ქალისათვის (ნახ. 66) იქნება:

$$h_6 = h_a \text{ და } w_6 = w_a;$$

მოდრავი ქალისათვის კი (ნახ. 67):

$$h_a = 2 h_6 \text{ და } w_a = 2 w_6,$$

ე. ი. მოძრავ ქალში ბაგირის გამწვევი ბოლოს ქალიდან გადმოსვლის სიჩქარე ორჯერ მეტია ტვირთის აწვევის სიჩქარეზე და ქალიდან გადმოსული ბაგირის სიგრძე ორჯერ მეტია ტვირთის აწვევის სიმაღლეზე.

მრავალქალიან ბოლისპასტებში შეფარდება ასაწვეი ტვირთის წონასა (G) და ამწვე ძალას (P) შორის დამოკიდებულია იმაზე, თუ რომელი ქალიდან ჩამოდის ბაგირის გამწვევი ბოლო: ზედა (უძრავი) მქიდის, თუ ქვედა (მოდრავი) მქიდის ქალიდან. თუ ბაგირის ვასაწვეი ბოლო ზედა (უძრავი) მქიდის თალიდან ჩამოდის, მაშინ ორქალიანი პოლისპასტისათვის (ნახ. 68): $P = \frac{Q}{2\eta}$, სამქალიანისათვის (ნახ. 69): $P = \frac{Q}{3\eta}$, ოთხ-

ქალიანისათვის (ნახ. 70): $P = \frac{Q}{4\eta}$, საერთოდ კი:

$$P = \frac{Q}{\eta \cdot n}, \quad (123)$$

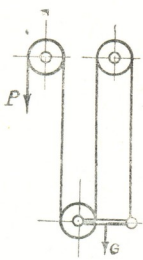


ნახ. 68. ორქალიანი პოლისპასტი.

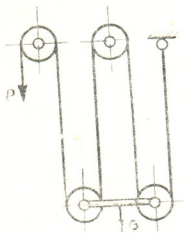


სადაც n არის ქალების რიცხვი. ამ შემთხვევაში n არის აგრეთვე ბეჭდების რიცხვი. ამტანი შტოების რიცხვიც. თუ ტვირთის აწევის სიმაღლე არის h_6 , მაშინ ბაგირის თითოეული ამტანი შტო ამ სიდიდით უნდა დამოკლდეს და საერთო სიგრძე ბაგირისა, რომელიც უკანასკნელი ქალიდან გადმოვა, ტოლი იქნება:

$$h_a = n \cdot h_6,$$



ნახ. 69. სამქალიანი პოლისპასტი.

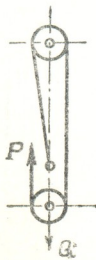


ნახ. 70. ოთხქალიანი პოლისპასტი.

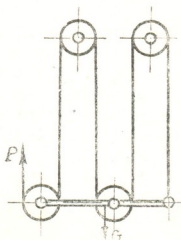
ცხადია, რომ

$$\omega_a = n \cdot \omega_6.$$

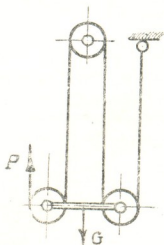
თუ ბაგირის გასაწევი ბოლო ქვედა (მოძრავი) მქიდის ქალიდან ჩამოდის, მაშინ ბაგირის ამტანი შტოების რაოდენობა ერთით მეტია ქალების რაოდენობაზე. ამიტომ ორქალიანი პოლისპასტისათვის (ნახ. 71): $P = \frac{Q}{3 \cdot \eta}$, სამქალი-



ნახ. 71. ორქალიანი პოლისპასტი.



ნახ. 72. სამქალიანი პოლისპასტი.



ნახ. 73. ოთხქალიანი პოლისპასტი.

ნისათვის (ნახ. 72): $P = \frac{Q}{4 \cdot \eta}$, ოთხპალიანისათვის (ნახ. 73): $P = \frac{Q}{5 \cdot \eta}$,

ერთოდ კი:

$$P = \frac{Q}{(n+1) \cdot \eta} \quad (124)$$

ბაგირის საერთო სიგრძე, რომელიც უკანასკნელი ქალიდან გადმოვა, ტოლი იქნება:

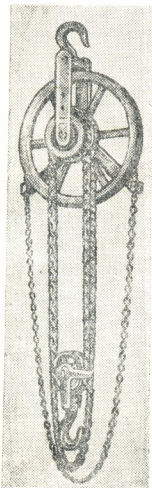
$$h_a = (n+1) h_b$$

სიჩქარეთა შეფარდება კი:

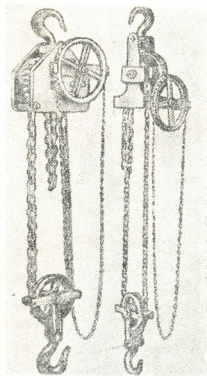
$$\frac{w_a}{w_b} = n+1, \text{ აქედან: } w_a = (n+1) w_b.$$

ტალი მოქმედებს იმავე პრინციპზე, როგორც პოლისპასტი, მხოლოდ უფრო ხშირად ბაგირის მაგივრად გამწვევ ელემენტად ჯაჭვი იხმარება (ნახ. 74).

ხშირად ტალს უკეთებენ გადაცემას ან კბილანებით (ნახ. 75) ან კიახრაზნულით (ნახ. 76) ჩვეულებრივად ტალები მზა სახით გამოდიან მანქანათმშენებელი ქარხნიდან განსაზღვრული ტვირთშეიდაობით და ტვირთის აწვევის სიმაღლით.



ნახ. 74. ჯაჭვიანი ტალი.



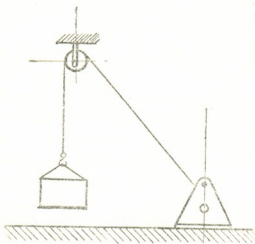
ნახ. 75. ტალი კბილანა გადაცემით.

ნახ. 76. ტალი კიახრაზნული გადაცემით.

პოლისპასტებში ქალების მარგი ქმედების კოეფიციენტის შეფასების დროს შეგვიძლია ვიხელმძღვანელოთ მე-12 ცხრილით.

ჭალების რაოდენობა "	2	3	4	5	6	7	8	9	10
მ. კ. კ. უ.	0,94	0,92	0,9	0,89	0,87	0,86	0,84	0,82	0,81

ჯალამბარი. ჯალამბარი ძირითადად ამწვე მანქანას წარმოადგენს, მაგრამ მის ხშირად ხმარობენ აგრეთვე, როგორც დატვირთული ბაგირის გამწვე მანქანადაც. ჯალამბარს შეუძლია ვასწიოს დატვირთული ბაგირი როგორც ვერტიკალური, ისე ჰორიზონტალური მიმართულებით. ნახ. 77-ზე ჯალამბარი მუშაობს ტვირთის აწვევაზე, ხოლო ნახ. 78-ზე კი ჯალამბარი ვაგონეტს ეწვევა.

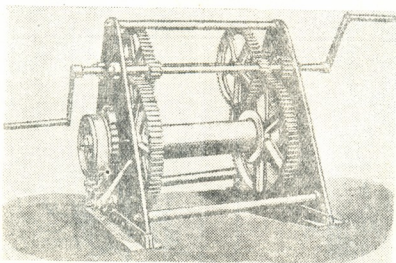


ნახ. 77. ჯალამბარის გამოყენება ტვირთის აწვევაზე.



ნახ. 78. ჯალამბარის გამოყენება ურთიკის გაწვევაზე.

ვი ელემენტი (მაგ, ლიტტებში, იხ. ქვემოთ). ჯალამბარის ძირითად ნაწილს შეადგენს დოლი, რომელზედაც დახვეულია ბაგირი. დოლის ამოძრავება



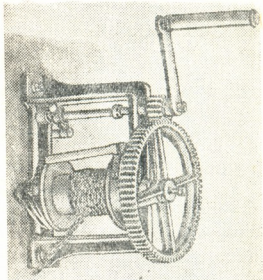
ნახ. 79) ჯალამბარი კბილანა გადაცემით.

მარტივ დანადგარებში ხდება სახელურის საშუალებით: უფრო დიდ ტვირთ-ამტან ჯალამბარებში სახელურიდან დოლამდე ეწყობა კბილანებით გადაცემა



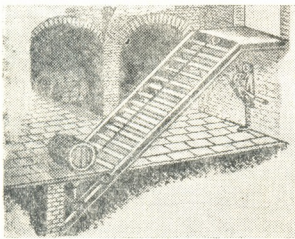
(ნახ. 79), მძიმე ჯალამბრებში კი დოლის ამოძრავება ხდება ძრავის (უფრო სწორად ელექტრომობილის) საშუალებით.

მსუბუქი ჯალამბარი ადვილად მავრდება კრონშტეინის საშუალებით კედელზე (ნახ. 80) ჯალამბარი შეიძლება დაიდგას გორგოლაქებზე, რაც საშუალებას იძლევა ადვილად შეეცვალოთ მისი მუშაობის ადგილი. ჯალამბარს ჩვენი მანქანათმშენებელი ქარხნები უშვებენ სხვადასხვა ტიპისას საქიროებისა და მიხედვით. ზოგიერთ ჯალამბარში მოწყობილია ცვალებადი გადაცემა, რომელიც სიჩქარეთა კოლოფის მსგავსად იძლევა საშუალებას გამწვევი ძალა გაავადილოთ სიჩქარის ხარჯზე და პირიქით.



ნახ. 80. კედელზე დაჩაგრებული ჯალამბარი.

დახრილი ამწვეი ურიკა. ნახ. ნახ. 81 და 82 ნაჩვენებია დახრილი ამწვეი ურიკა, რომელიც მოხერხებულად გამოიყენება ლეინის ქარხნებში კასრების ერთი სართულიდან მეორეში ასატან-ჩაშოსატანად. ყველაზე უფრო გამოსადეგია ეს ურიკა სარდაფსა და ეზოს შორის კასრების მოძრაობისათვის. ურიკის გასაწვევად შეგვიძლია ვიხმაროთ ჯალამბარი. ჯალამბრის შერჩევისათვის უნდა განვსაზღვროთ საჭირო წვეის ძალა. წვეის ძალის განსაზღვრა უნდა მოვახდინოთ ისე, როგორც ეს აღნიშნულია § 10-ში.



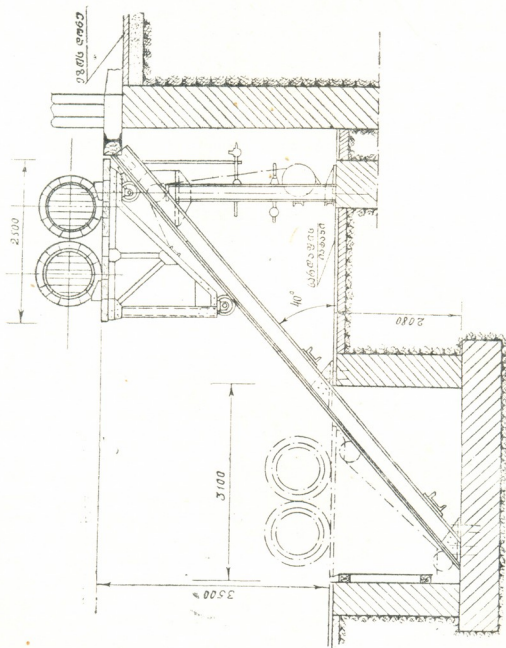
ნახ. 81. დახრილი ამწვეი ურიკა (სურათი).

შტაბელიორი. ნახ. 83-ზე მოყვანილია ე. წ. შტაბელიორი, რომელიც წარმოადგენს ვერტიკალურად ასაწვევ პლატფორმას. პლატფორმა ადი-ჩამოდის ვერტიკალურ რკინის ჯოხებზე. მთელი კონსტრუქცია დაყენებულია გორგოლაქებზე, ასე რომ პლატფორმას, გარდა აწვე-დაწვევისა, შეუძლია ტვირთის გადატანაც. პლატფორმის ამწვევ მექანიზმად გამოყენებულია ხელით სამუშაო ჯალამბარიც.

შტაბელიორის გამოყენება მიზანშეწონილია კასრების შტაბელეზად დაწყობისათვის. ჯალამბრის შერჩევისათვის საჭირო წვეის ძალა განისაზღვრება შემდეგი ფორმულით

$$P = \frac{Q_0 + Q_1}{\eta} \quad (38) \quad (125)$$

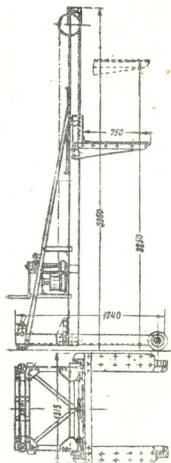
სადაც: P —(კვ) არის საჰაერო წვევის ძალა ბავირზე;
 Q_0 —(კვ)—ამწვევი პლატფორმის საკუთარი წონა;
 Q_1 —(კვ)—ასაწვევი ტვირთის წონა;
 η —მიმმართველი ჭაღების მარგი ქმედების კოეფიციენტი;



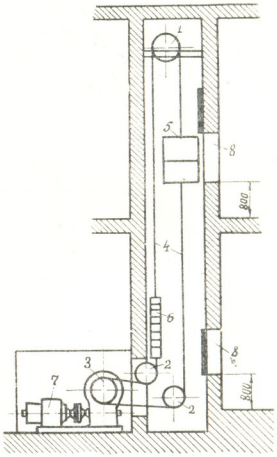
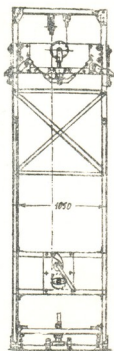
ნახ. 82. დაბრუნო ამწვევი ტვირთის სკემა.

ლიფტი. ლიფტი წარმოადგენს ამწვევ მანქანას, რომელიც მხოლოდ ვერტიკალურად მუშაობს. მისი პრინციპული სკემა მოყვანილია ნახ. 84-ზე.
 შენობაში გამოყოფილია შახტისებრი სათავსო, რომელიც გადის შენობის ყველა სართულში. ეს სათავსო შეიძლება შემოფარგლული იყოს კაპიტალური კედლებით, როგორც ეს ნაჩვენებია ნახ. 84-ზე, ანდა მეფეთლის ბაღით. ამ შემთხვევაში ამწვის სათავსოში სპეციალური ამტანი კონსტრუქ-

ცია იდგმება, რომელსაც ამწის უჯრედი ეწოდება. უჯრედის ზემო ნაწილში დამაგრებულია დატვირთული ქალი (1), ქვემო ნაწილში კი დაყენებულია მიმართველი ქალი (2). ყველა ამ ქალზე და აგრეთვე ჯალამბრის დოლზე (3) გადაჭიმულია უსასრულო გამწვევი ბაგირი (4). ბაგირის ერთ შტოზე დამაგრებულია ტვირთის კაბინა (5) ან პლატფორმა, ბაგირის მორე შტოზე კი საპირწონე (6). ჯალამბარს და მასთან ერთად გამწვევ ბაგირს ამოძრავებს ელექტრომობოტორი (7). შენობის ყოველ სართულზე უჯრედს გაკეთებული აქვს სარკმელები (8), რომლებიდანაც ხდება ლიფტის როგორც დატვირთვა, ისე განტვირთვა. ნახ. 85-ზე მოყვანილია ხელით სამუშაო ლიფტის სქემა, რომელიც იხმარება, ჩვეულებრივად, შედარებით მსუბუქი ტვირთის ასატანად ერთი სართულიდან მეორეში. უჯრედი (1) გაკეთებულია რკინის კონსტრუქციისა. ამ უჯრედში ქალებზე ჩამოკიდებულია ტვირთის კაბინა (2). კაბინის აწევ-დაწევა ხდება ხელით სამუშაო ჯალამბარის (3) საწეულებით. ზოგჯერ, როდესაც შიგ შენობაში ადგილის სივიწროეა, ლიფტი შენობის გარეთ იდგმება (ნახ. 86). ლიფტის გამოყენება მეღვინეობაში მიზანშეწონილია კასრების ასატანად მრავალსართულიან ღვინის ქარხნებში, როდესაც სართულებს შორის ხშირი მიმოსვლაა. ლიფტი შეიძლება გამოყენებოდეს ბოთლების ასატანდაც. ამისათვის უფრო მოხერხებულია ბოთლების ყუთებში წინასწარ ჩალაგება. შეიძლება



ნახ. 83. შტაბელიორი.

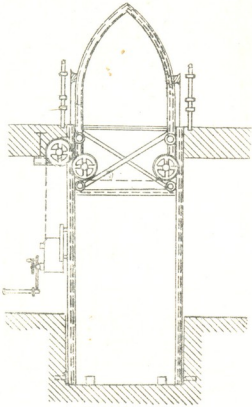


ნახ. 84. ლიფტის სქემა.

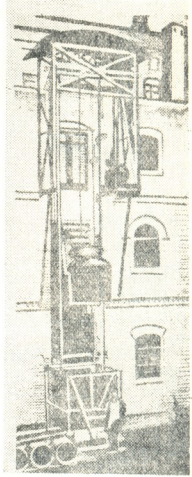
რებულია ტვირთის კაბინა (5) ან პლატფორმა, ბაგირის მორე შტოზე კი საპირწონე (6). ჯალამბარს და მასთან ერთად გამწვევ ბაგირს ამოძრავებს ელექტრომობოტორი (7). შენობის ყოველ სართულზე უჯრედს გაკეთებული აქვს სარკმელები (8), რომლებიდანაც ხდება ლიფტის როგორც დატვირთვა, ისე განტვირთვა. ნახ. 85-ზე მოყვანილია ხელით სამუშაო ლიფტის სქემა, რომელიც იხმარება, ჩვეულებრივად, შედარებით მსუბუქი ტვირთის ასატანად ერთი სართულიდან მეორეში. უჯრედი (1) გაკეთებულია რკინის კონსტრუქციისა. ამ უჯრედში ქალებზე ჩამოკიდებულია ტვირთის კაბინა (2). კაბინის აწევ-დაწევა ხდება ხელით სამუშაო ჯალამბარის (3) საწეულებით. ზოგჯერ, როდესაც შიგ შენობაში ადგილის სივიწროეა, ლიფტი შენობის გარეთ იდგმება (ნახ. 86). ლიფტის გამოყენება მეღვინეობაში მიზანშეწონილია კასრების ასატანად მრავალსართულიან ღვინის ქარხნებში, როდესაც სართულებს შორის ხშირი მიმოსვლაა. ლიფტი შეიძლება გამოყენებოდეს ბოთლების ასატანდაც. ამისათვის უფრო მოხერხებულია ბოთლების ყუთებში წინასწარ ჩალაგება. შეიძლება



ბოთლები წინასწარ ჩაველაგოთ ხელით საგორებელ ურიკაში და ეს ლიფტის პლატფორმაზე შევავაგროთ. ლიფტს უკეთდება საპირწონე, დანიშნულებაა გაწევის ძალის შემცირება. საპირწონე შემდეგ პრინციპზე მუშაობს: წარმოვიდგინოთ, რომ კალზე გადაკიდებულია ბაგირი, რომლის ერთ ბოლოზე კიდია საპირწონე G (ნახ. 87) და მეორეზე კი ლიფტის კაბინა Q . თუ $Q = G$, მაშინ (თუ მხედველობაში არ მივიღებთ ბაგირის

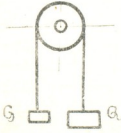


ნახ. 85. ხელით სამუშაო ლიფტი.



ნახ. 86. შენობის გარეთ დაყენებული ლიფტი.

წონას) სისტემა წონასწორობაშია და მოძრაობაც არ გვექნება. კაბინის ასაწევად საჭირო იქნება სულ უმნიშვნელო ძალა, რომელიც საწყისში აჩქარებას მინიჭებს და შემდეგ კი დაიხარჯება ბაგირის სიხისტისა და კალში მოძრაობის წინაღობათა დასაძლევად. ფაქტიურად ასეთი გაწონასწორება არ ხერხდება, რადგანაც, კაბინის დატვირთვა ცვალებადია. ამიტომ მიღებულია, რომ საპირწონეს წონა უნდა უდრიდეს კაბინის საკუთარ წონას ასაწევი ტვირთის წონის ნაწილის მიმატებით, ე. ი.:



ნახ. 87. სქემა საპირწონეს გაანგარიშებისათვის.

$$G = P + \epsilon Q \quad (კვ), \quad (126)$$

სადაც: G —(კვ) არის საპირწონეს წონა;
 P —(კვ)—კაბინის საკუთარი წონა;

Q —(კვ)—სასწევი ტვირთის წონა;
 c —კოეფიციენტი, რომელიც მერყეობს $0,3 \div 0,5$. ამის შესაბამისად
 ლიფტში (ნახ. 88) ბაგირის გამწვევ შტოზე საჭირო გაწვევის ძალა
 ტოლი იქნება:

$$S_1 = P + Q,$$

დამწვევ შტოზე კი:

$$S_0 = G.$$

მაშასადამე, გაწვევის ძალა, რომელიც უნდა განავითა-
 როს ჯალამბარის დოღმა ტოლი, იქნება:

$$S = S_1 - S_0 = P + Q - G \quad (127)$$

და საჭირო სიმძლავრე კი უდრის:

$$N = \frac{S \cdot \omega}{75 \cdot \eta} \quad (\text{ც. ძ.}), \quad (128)$$

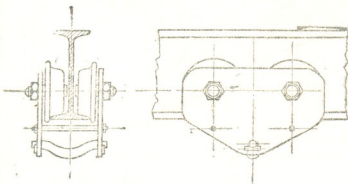
სადაც: $\omega = \left(\frac{\partial}{\partial \partial} \right)$ არის მოძრაობის სიჩქარე;

η —ჯალამბარის მარგი ქმედების კოეფიციენტი.
 მოძრაობის სიჩქარე უნდა შევარჩიოთ მე-13 ცხრი-
 ლის მიხედვით.

ჯალამბარის მარგი ქმედების კოეფი-
 ციენტი $\eta = 0,4 \div 0,8$ გადაცემის სისტემის
 მიხედვით.

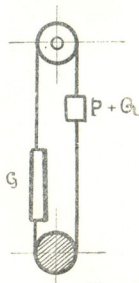
§ 12. კიდულნი გზები

მაგარი მასალის გადაზიდვისათვის იშმა-
 რება კიდული გზა. სათავსოში გამოყენების
 დროს კიდული გზა ფართობის ეკონომიის იძ-
 ლევა, რადგანაც უმეტეს შემთხვევაში მას ცალ-
 კე ფართობი არ ჭირდება. ნახ. 89-ზე მოყვანი-
 ლია უმარტივესი კიდული გზა: ორტესებრი
 კოქი, რომელსაც მონორელსი ეწოდება, დამაგ-
 რებულია სათავსო ჭერზე ან უშუალოდ გადახურვაზე. მის ქვედა თაროზე დაგო-



ნახ. 89. ხელით საფორბელი კატა.

7. ნ. ე. მეტონიძე.



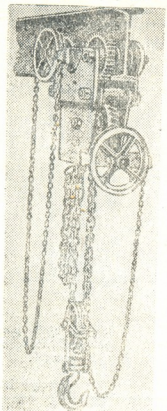
ნახ. 88. სქემა ლიფ-
 ტის განაგარიშები-
 სათვის.

ცხრილი 13.

სასწევი ტვირ- თის წონა	მოძრაობის სიჩქარე $\frac{\partial}{\partial \partial}$
38	$\frac{\partial}{\partial \partial}$
100	$0,4 \div 0,8$
$500 \div 1000$	$0,4 \div 0,5$
3000	$0,2 \div 0,3$
5000	$0,1 \div 0,16$

რავს თვლიანი ურიკა, რო-
 მელსაც კატა ეწოდება. კა-
 ტას ქვემო ნაწილში დამაგ-
 რებული აქვს ტრავერსი,
 რომელზედაც ჩამოიკიდება
 ტვირთი. კატის ვადააღ-
 ვილება ხდება ხელით (კა-
 ტაზე დამაგრებული ჯაჭვის
 ან ბაგირის გაწვევით). ასე-
 თი მოძრავე კატა გამოიყე-
 ნება იმ შემთხვევაში, რო-
 დესაც გადასაზილია მცირე

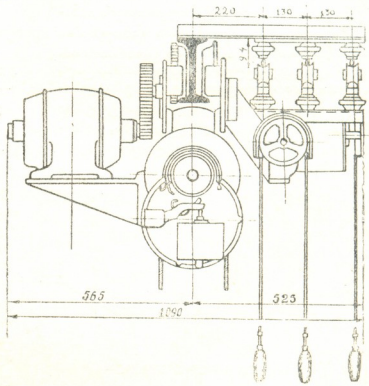
წონის ტვირთი, მცირე სიჩქარით და როდესაც მოძრაობა მონორელსზე იხსნება, ისე ხშირია. მძიმე ტვირთის გადასაზიდად იხმარება გადაცემიანი კატა (ნახ. 90).



ნახ. 90. გადაცემიანი კატა. ლად გამოიყენება აგრეთვე უნდა გაუკეთდეს საკუთარი საყრდენები.

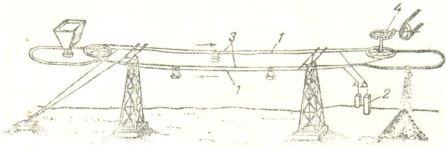
კიდულ გზებს ეკუთვნის აგრეთვე ბაგირიანი გზა. ყველაზე უფრო მიღებულია ე. წ. ორბაგირიანი გზა. მიხი სქემა მოყვანილია ნახ. 92-ზე. ორბაგირიან გზას ორი ბაგირი აქვს: ერთი (1) წარმოადგენს ამტან ბაგირს. ის უძრავად არის დამაგრებული საყრდენებზე (უფრო ხშირად ხის ან რკინის ანძებზე) და მასზე დაგორავს ურიკები, რომლებზედაც ჩამოკიდე-

ბულია კბილანებით. კატის ერთ-ერთ ღერზე აყენებენ ჯაჭვიან ბორბალს, ჯაჭვის სათანადო შტოს ხელით ჩამოვწევთ; ამით მოხდება გადაცემი მექანიზმის ამოძრავება და კატის გადაადგილება სასურველი მიმართულებით. ასეთი კატის ტრავერსზე, ჩვეულებრივად, იკიდება მარტივი ამწევი მექანიზმი (უფრო ხშირად ხელით სამუშაო ტალი). ამ ამწევ მექანიზმსაც აქვს გადაცემა (ზოგჯერ კბილანებით, ზოგჯერ ქიხარახნული), რომელიც აგრეთვე ჯაჭვიანი ბორბლით ამოძრავდება და მოახდენს ტვირთის აწევ-დაწევას. იმ შემთხვევაში, როდესაც მონორელსზე მოძრაობა ხშირია და გადასაზიდა მძიმე ტვირთი, იხმარება ე. წ. ტელფერი, რომელშიაც კატის მონორელსზე მოძრაობა ხდება ელმოტორის საშუალებით (ერთმოტორიანი ტელფერი). ზოგჯერ ტელფერს უდგამენ ორ ელმოტორს, რომელთაგანაც ერთი ამოძრავებს კატას, მეორე კი ახდენს ტვირთის აწევ-დაწევას. ასეთ ტელფერს ორმოტორიანი ტელფერი ეწოდება (ნახ. 91). მონორელსი ადვილათავეს გარეთაც. ამ შემთხვევაში მონორელსს



ნახ. 91. ორმოტორიანი ტელფერი.

ბულია ვაგონეტები. ამტან ბაგირს ორი შტო აქვს. ერთი ბოლო ამ შტოზე ბისა დამაგრებულია, მეორე ბოლოში კი ჩამოკიდებულია ტვირთი (2), რომელიც ბაგირს კიბავს. ვაგონეტების როგორც დატვირთვის, ისე განტვირთვის ადგილას ამტან ბაგირებთან დაყენებულია მონორელსები, რომელთა საშუალებითაც ხდება ურიკების გადაყვანა ამტანი ბაგირის ერთი შტოდან მეორეზე. ამტანი ბაგირის ზემოთ და უფრო ხშირად კი ქვემოთ განუწყვეტლივ მოძრაობს მეორე (გამწვევი) ბაგირი (3). ამ ბაგირზე განსაზღვრულ მან-

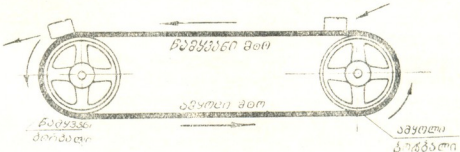


ნახ. 92. ორბაგირიანი კიდული გზა.

ძილზე დაყენებულია ამტაცები, რომლებიც იტაცებენ ურიკას და მიაგორებენ. ამ ბაგირის ამოძრავება ხდება ამძრავის (4) საშუალებით. როდესაც გზის მანძილი დიდია, მაშინ ამტანი ბაგირის გაკიშვა მხოლოდ ერთი ადგილიდან შეუძლებელი ხდება; ამტანი ბაგირის გაკიშვას ახორციელებენ რამდენსამე ადგილას, სადაც იდგმება შუალედი გამკიში სადგურები. ბაგირიანი გზის გაყვანა მიზანშეწონილია ყველა იმ შემთხვევაში, როდესაც გზის ტრასა გადის მთაგორიან ადგილებში, გადაკვეთს ხრამებსა და მდინარეებს, ე. ი. იმ შემთხვევაში, როდესაც ჩვეულებრივი გზების გაყვანა ბევრად უფრო ძვირი ჯდება.

§ 13. ტრანსპორტიორები

ლენტიანი ტრანსპორტიორები. ლენტიანი ტრანსპორტიორი თავისი მოქმედების პრინციპით ლველურ გადაცემას მოგვაგონებს. წარმოვიდგინოთ, რომ



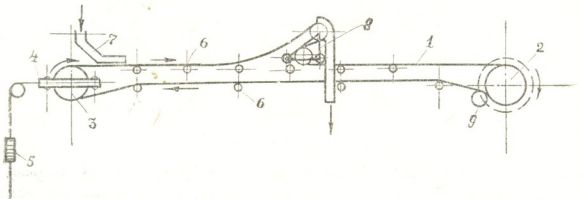
ნახ. 93. ლველურ გადაცემის სქემა.

ორჯობობაზე გადაჭიმულია ლველი (ნახ. 93). თუ ერთ ბორბალს ავაბრუნებთ რაიმე ძალის საშუალებით, ამოძრავდება მთელი ლველი და მეორე ბორბალიც აბრუნდება. თუ ამ ლველის წამყვან შტოზე დავდებთ რაიმე ტვირთს,



ღვედი გადაიტანს მის ბოლომდე. ამ შემთხვევაში ღვედი მუშაობს, როგორც გამწევი ელემენტი და ამავდროს როგორც გადამტანი ელემენტი. ასეთ სატრანსპორტო საშუალებას ლენტისანი ტრანსპორტიორი ეწოდება. ლენტისანი ტრანსპორტიორი იხმარება იმ შემთხვევაში, როდესაც გადასაზიდია ჰორიზონტალურ ან ცოტად დახრილ მიმართულებით ფხვიერი ან ნატეხოვანი მასალა და აგრეთვე ცალობითი ტვირთი, როგორც არის ტომრები, ყუთები, კასრები და სხვა.

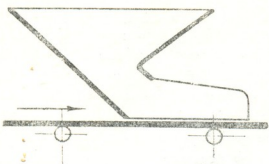
ლენტისანი ტრანსპორტიორის სქემა მოყვანილია ნახ. 94-ზე.



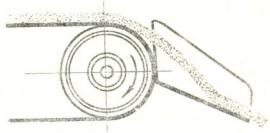
ნახ. 94. ლენტისანი ტრანსპორტიორის სქემა.

უსასრულო ლენტი (1) გადაკიმულია ორ პარალელურ ღერძზე დაყენებულ დოლზე, რომელთაგანაც ერთი (2) არის წამყვანი და მეორე (3) დამჭიმი. ლენტის დაჭიმვა ხდება ურიკის (4) და მასზე ჩამოკიდებული ტვირთის (5) საშუალებით. მოკლე ტრანსპორტიორებში ლენტის დაჭიმვა ხშირად ხდება ხრახნის საშუალებით. ძალიან გრძელ ტრანსპორტიორებში კი ტვირთის საშუალებით, მხოლოდ ეს დაჭიმვა ეწყობა არა ტრანსპორტიორის ბოლოში, როგორც ეს მოყვანილ სქემაზეა ნაჩვენები, არამედ შუაში (რა თქმა უნდა, ლენტის უქმ შტოზე). ლენტის ქვეშ დაყენებულია საყრდენი გორგოლაკები (6), რომელთა სიხშირე დამოკიდებულია ლენტის დატვირთვაზე და აგრეთვე ლენტის დასაშვებ ჩაზნექაზე. ამიტომ სამუშაო შტოზე საყრდენი გორგოლაკები უფრო ახლო-ახლო არიან დაყენებული, ვიდრე უქმ შტოზე. ტრანსპორტიორის დატვირთვა ხდება დამტვირთავი ძაბრის (7) საშუალებით და განტვირთვა-განმტვირთავი ურიკის (8) საშუალებით. იმისათვის, რომ ლენტის შტოები ერთმანეთს დაუახლოვდნენ და ამით შემცირდეს ტრანსპორტიორის სიმაღლე და აგრეთვე იმისათვის, რომ გადიდდეს დოლებზე ლენტის მოხვევის კუთხე, წამყვან დოლზე დაყენებულია ცალკე მიმმართველი დოლი (9). გამჭიმი დოლთან კი საამისოდ გამოყენებულია ლენტის უქმი შტოს პირველი საყრდენი გორგოლაკი. თუ ტრანსპორტიორის დატვირთვა მუდამ ერთი და იმავე ადგილიდან ხდება, მაშინ დამტვირთავი ძაბრი (ნახ. 95) უძრავად არის დაზაგრებული. თუკი საჭიროა ტრანსპორტიორის დატვირთვა სხვადასხვა ადგილიდან, მაშინ დამტვირთავი ძაბრი მაგრდება ურიკაზე, რომლის ლენტის გასწვრივ გაგორებით შეიძლება დატვირთვის ადგილის შეცვლა:

ტრანსპორტიორის განტვირთვა შეიძლება მოეხდინოთ ტრანსპორტიორის ბოლოში, სადაც ლენტი დოლს უფლის და იცვლის თავის მოძრაობის მიმართ.

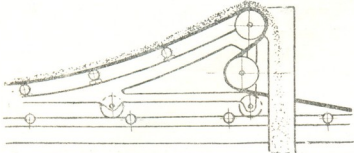


ნახ. 95. დამტვირთავი ძაბრი.

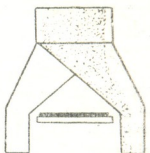


ნახ. 96. ლენტისანი ტრანსპორტიორის განტვირთვა ბოლოდან.

თულებას, მასალა კი ინერციის გამო ლენტისგან ღარზე გადმოიყრება (ნახ. 96). თუკი საჭიროა ტრანსპორტიორის განტვირთვა სხვადასხვა ადგილას, მაშინ იხმარება განმტვირთავი ურიკა (ნახ. 97), რომელზედაც დაყენებულია ორი მიმართოველი დოლი. ტრანსპორტიორის ლენტი შემოხვეულია ამ დოლებზე.

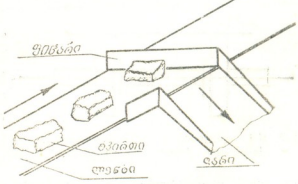


ნახ. 97. განმტვირთავი ურიკა.



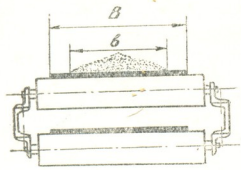
ზემო დოლზე ლენტი იცვლის თავის მოძრაობის მიმართულებას და მასალა კი ინერციის გამო ლენტისგან გადმოიყრება სპეციალურ ქურჭელში, საიდანაც ღარების საშუალებით საჭირო ადგილას მიიზრთება. ურიკის გადაადგილებით ადვილად შეიძლება შეიცვალოს განტვირთვის ადგილი.

განტვირთვის ადგილის შესაცვლელად ზოგჯერ იხმარება ფარი (ნახ. 98), რომელიც იდგმება ლენტზე განივად ნებისმიერ ადგილას. გადასაზიდი ტვირთი ან მასალა მოედება ამ ფარს და გვერდით ღარზე ჩამოსრიალდება. ასეთი მოწყობილობა ურიკასთან შედარებით უფრო მარტივია, სამაგიეროდ ამ შემთხვევაში ლენტი უფრო მეტად იცვივება ლენტზე ტვირთის ხახუნის გამო. ვინაიდან ლენტის მოძრაობის დროს აფცილებელია მისი რხევა, ამიტომ (იხ. აგრეთვე § 2) მასალა ლენტის მთელ სიგანეზე არ იყრება.



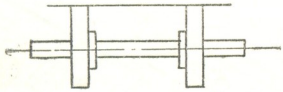
ნახ. 98. ლენტისანი ტრანსპორტიორის განტვირთვა ფარის საშუალებით.

ბა. ჩვეულებრივად მიღებულია, რომ $b \approx 0,8 B$. (ნახ. 99). ზოგჯერ და ნატეხოვანი მასალის გადაზიდვის დროს ტრანსპორტიორის მწარმოებლობის



ნახ. 99. ლენტის ტრანსპორტიორის განივი კვეთი (ბრტყელი ლენტით).

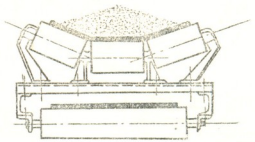
გადასაზიდად იხმარება გარეზინებული და აგრეთვე უქანგავი ფოლადის ლენტები. ვინაიდან უქანგავი ფოლადის ლენტი საკმარისად ხისტია განივი მიმართულებით, ამიტომ საყრდენი გორგოლაკები მისთვის უფრო ხშირად ბორბლის ფორმისა კეთდება (ნახ. 101). კვების პროდუქტების გადასაზიდად კველაზე უკეთეს მასალად ლენტისათვის უქანგავი ფოლადი უნდა ჩაითვალოს. ნახ. 102-ზე მოყვანილია ფოლადის ლენტის ტრანსპორტიორი, რომელიც მარგარინს ეზიდება.



ნახ. 101. ლენტის ტრანსპორტიორის განივი კვეთი (ფოლადის ლენტით).

და იყოს დადასტურებული. ლენტის ერთი ზედაპირი მუდამ გარეთ არის მოქცეული, მეორე კი—მუდამ შიგნით. მათი მუშაობის პირობები სულ სხვადასხვაა: გარე ზედაპირზე იყრება გადასაზიდი მასალა, რომელიც ამ ზედაპირს ცვეთს, ამიტომ გარე ზედაპირის შემონაფენი (გარემონაფენი) უფრო სქელი უნდა ავიღოთ, ვიდრე ლენტის შიგა ზედაპირის შემონაფენი (შიგა-

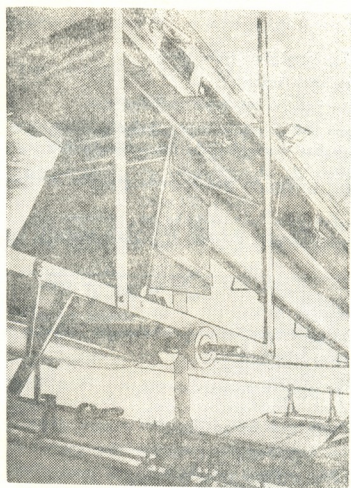
გადიდების მიზნით, ლენტის სამუშაო შტოს დახრილად დაყენებული გორგოლაკების საშუალებით ღაროვან ფორმას აძლევენ (ნახ. 100). ლენტი წარმოადგენს ლენტის ტრანსპორტიორის უმნიშვნელოვანეს ნაწილს. ლენტის მასალის შერჩევას და აგრეთვე მისი ზომების განსაზღვრას ვადაწყვეტი მნიშვნელობა აქვს ტრანსპორტიორის მუშაობისათვის. ლენტის მასალად იხმარება ბამბის, მატყლისა და ქერელის ქსოვილები. ასეთი ლენტები იხმარება მშრალი მასალის გადა-



ნახ. 100. ლენტის ტრანსპორტიორის განივი კვეთი (ღაროვანი ლენტით).

ბამბის ქსოვილის რამდენიმე ფენისაგან, თითოეული სისქით—1,25 მმ (შუასადებები), რომლებიც ერთმანეთთან დაკავშირებულია ვულკანიზირებული რეზინით. გარდა ამისა, ლენტის ორივე ზედაპირზე დადებულია რეზინის შემონაფენები. ამრიგად გარეზინებულ ლენტში ბამბის ქსოვილის შუასადებები არის დატვირთვის ამტანი, რეზინის შემონაფენები კი იცავენ ლენტს ტენისაგან. ხოლო გადასაზიდ მასალას—გაჭუჭყიანებისაგან. ლენტის საერთო სისქე, მაშასადამე, განისაზღვრება ამ შუასადებების რაოდენობით და შემონაფენების სისქით. ლენტის სისქე ანგარიშით უნ-

შემონაფენი), რომელიც ეხება მხოლოდ დოლებს და ბევრად უფრო ნაკლებად იცვითება. შემონაფენების სისქის არჩევის დროს შეიძლება ვიხელმძღვანელოთ მე-14 ცხრილით.



ნაბ. 102. ტრანსპორტიორი ფოლადის ლენტით
მაოგარინის წარმოებაში.

ცხრილი 14

კატეგორია	გადასაზიდი მასალის დახასიათება	გარშემონა-	შიგაშემონა-
		ფენის სისქე მმ	ფენის სისქე მმ
I	მსუბუქი ცალობითი ტვირთები, წმინდად დაფქვილი ფხვიერი მასალა	0,75	0,75
II	საშუალო სიმკვრივის წვრილი ფხვიერი მასალა (მარცვლეთული)	1,5	1,75
III	საშუალო სიმკვრივის ნატეხოვანი მასალა (ნახშირი ხრეში და სხვა)	3,0	1,0
IV	ძიმე და მკვრივი მასალა (მადანი, ქვა, აგური და სხვა)	5 ÷ 6,5	1,0

ლენტის სისქის გაანგარიშებისათვის საჭიროა ჯერ განვსაზღვროთ შუასადებთა რაოდენობა შემდეგი ფორმულით:

$$i = 1, 1 \frac{m \cdot S_{max}}{B \sigma_{გაბ}}, \quad 129$$

სადაც: i არის შუასადებებთა რაოდენობა;

B —(სმ) ლენტის სიგანე;

S_{max} —(კგ)—ლენტის უდიდესი დაკვიმულობა;

m —ლენტის სიმტკიცის მარაგი გაკვიმვაზე, რომელიც დამოკიდებულია შუასადებთა რაოდენობაზე (იხ. ცხრილი 15);

$\sigma_{გაბ} = \left(\frac{კგ}{სმ} \right)$ გამწყვეტი დაძაბულობა ლენტში, რომელიც მოდის ერთი

შუასადების სიგანის ერთ სანტიმეტრზე (იხ. ცხრილი 16).

ლენტის უდიდესი დაკვიმულობა S_{max} განისაზღვრება ფორმულით:

$$S_{max} \leq 102 \frac{N_0}{\omega} \eta_e \frac{e^{\mu\alpha}}{e^{\mu\alpha} - 1} \quad (კგ), \quad (130)$$

სადაც: N_0 —(კგ) არის ტრანსპორტიორისათვის საჭირო თეორიული სიმძლავრე (იხ. ქვემოთ);

$\omega = \left(\frac{მ}{წმ} \right)$ —ლენტის მოძრაობის სიჩქარე;

$\eta_e \approx 0,97$ —დოლის მარგი ქმედების კოეფიციენტი;

$e \approx 2,72$ — ნატურალური ლოგარითმების ფუძე;

$\alpha = \pi + 1,3 \pi$ —ლენტის დოლზე მოხვევის კუთხე;

μ —ლენტის დოლზე ხახუნის კოეფიციენტი, რომელიც მერყეობს $0,1 \div 0,4$.

ამ ანგარიშით მიღებულ შუასადებთა რაოდენობა უნდა შევუთანხმოთ მე-17 ცხრილს.

ლენტის სიმტკიცის მარაგი				ცხრილი 15	
შუასადებთა რაოდენობა i	2-3	4-5	6-8	9-11	12-14
სიმტკიცის მარაგი m	9	9,5	10	10,5	11,0

ლენტების სიმტკიცე		ცხრილი 16	
ბელტინგის მარკა ГОСТ-40-ის მიხედვით		930	820
უმცირესი გამწყვეტი დაძაბულობა $\sigma_{გაბ} \left(\frac{კგ}{სმ} \right)$		60	55

ლენტის სიგანე B მმ	400	500	650	800	1000	1200	1400
შუასადებთა რაოდენობა i	2÷4	3÷5	3÷6	4÷8	5÷9	5÷10	6÷11

ლენტის საერთო სისქე (a) ტოლი იქნება:

$$a = 1,25 i + a_3 + a_5 \text{ (მმ)}, \quad (131)$$

სადაც: a_5 — (მმ) არის გარშემონაფენის სისქე;

a_3 — (მმ) — შიგაშემონაფენის სისქე.

წამყვანი დოლის დიამეტრი განისაზღვრება ემპირიული ფორმულით:

$$D \geq 125 i \text{ (მმ)}. \quad (132)$$

ზოგიერთი ცნობები ლენტების შესახებ მოყვანილია მე-18 ცხრილში.

ცხრილი 18

ლენტის სახეობა	გამწვევტი დატვირთვა $\frac{კგ}{სმ^2}$	ხვედრითი წონა $\frac{კგ}{მ^2}$
კანაფის ქსოვილის ლენტი	400÷500	750÷800
ქერლის ლენტი	750	750÷800
ბამბის ქსოვილის ლენტი	350	750÷800
ბამბის ქსოვილის ლენტი გაკერილი	400÷450	1100
გარეზინებული ლენტი	500	1000
ფოლადის ლენტი	12000	7600

ლენტის სიგანე სტანდარტიზებულია. ჩვენი რეზინის მრეწველობა უშვებს გარეზინებულ ლენტებს შემდეგი სიგანით (მმ): 400, 500, 650, 800, 1000, 1200 და 1400. ლენტის მოძრაობის სიჩქარის შერჩევის დროს უნდა ვიხელმძღვანელოთ პრაქტიკული მონაცემებით, რომლებიც მოყვანილია მე-19 ცხრილში.

ლენტის ტრანსპორტიორის მწარმოებლობა ფხვიერი და ნატეხოვანი მასალისათვის განისაზღვრება შემდეგი ფორმულით:

$$Q = 3600 \cdot F \cdot \gamma_e \cdot \omega \left(\frac{D}{L} \right), \quad (133)$$

გადასაზიდი მასალის დასაზღვრება	ლენტის სიჩქარე $\frac{\sigma}{\sqrt{\sigma}}$	გადასაზიდი მასალის დასაზღვრება	ლენტის სიჩქარე $\frac{\sigma}{\sqrt{\sigma}}$
მძიმე მარცვლეული	2÷4	დამზარისნებელი ლენტები	0,1÷0,3
მსუბუქი მარცვლეული	2÷3	ცალობითი ტვირთები	0,8÷1,5
მადანი, ზრეში, ქვიზა და სხვ.	1,5÷3	ხალხი	0,5÷0,8
ქვანახშირი	1,5÷2,5		

სადაც: $Q = \left(\frac{\sigma}{s}\right)$ არის ლენტის ტრანსპორტიორის მწარმოებლობა;

$F = (m^2)$ — გადასაზიდი მასალის განივი კვეთის ფართი ლენტზე;

$\gamma_e = \left(\frac{\sigma}{\sigma^2}\right)$ — გადასაზიდი მასალის დაყრილი წონა;

$\omega = \left(\frac{\sigma}{\sqrt{\sigma}}\right)$ — ლენტის მოძრაობის სიჩქარე.

მაშასადამე, ლენტის ტრანსპორტიორის მწარმოებლობა დამოკიდებულია იმაზე, თუ რა ზომის განივი კვეთი ექნება გადასაზიდ მასალას ლენტზე მოძრაობის დროს (იხ. აგრეთვე § 2). ფხვიერი მასალის ლენტზე თავისუფლად დაყრის დროს მასალის განივი კვეთი მიიღებს დაახლოებით ტოლფერდა სამკუთხედის ფორმას, რომლის ფუძესთან მდებარე კუთხეები ტოლი არიან მასალის ბუნებრივი ქანობის კუთხისა, ფუძე კი მასალის ლენტზე დაყრის სიგანისა. როგორც ზემოთ ვთქვით, მასალა იყრება ლენტზე სიგანით $b \approx 0,8 B$, სადაც $B = (m)$ არის ლენტის სიგანე.

ლენტის ტრანსპორტიორის მწარმოებლობა ბრტყელი ლენტის დროს განისაზღვრება შემდეგი ფორმულით:

$$Q = 576 \cdot B^2 \cdot \gamma_e \cdot \omega \cdot \lg \frac{\alpha_3}{2} \left(\frac{\sigma}{s}\right), \quad (134)$$

სადაც: $Q = \left(\frac{\sigma}{s}\right)$ არის ტრანსპორტიორის მწარმოებლობა;

$B = (m)$ — ლენტის სიგანე;

$\gamma_e = \left(\frac{\sigma}{\sigma^2}\right)$ — გადასაზიდი მასალის დაყრილი წონა;

$\omega = \left(\frac{\sigma}{\sqrt{\sigma}}\right)$ — ლენტის მოძრაობის სიჩქარე;



α_3 — გასაზიდი მასალის ბუნებრივი ქანობის კუთხე მოძრაობის დროს
 ღაროვანი ლენტის დროს ტრანსპორტიორის მწარმოებლობა განი-
 საზღვრება შემდეგი ფორმულით:

$$Q = 148 \left(1 + 3,65 \operatorname{tg} \frac{\alpha_3}{2} \right) B^2 \cdot \gamma_e \cdot \omega \left(\frac{\sigma}{s} \right). \quad (135)$$

ეს ფორმულა გულისხმობს, რომ ღარი შექმნილია სამი ერთნაირი სიგრძის გორგოლაქით, რომელთაგანაც ორი განაპირა გორგოლაქი დახრილია ჰორი-
 ზონტთან კუთხით $\varepsilon = 20^\circ$. თუ ლენტის ტრანსპორტიორი ცალმხობის
 ტვირთს ეზიდება, მისი მწარმოებლობა შემდეგი ფორმულით განისაზღვრება

$$Q = 3,6 \frac{G \cdot \omega}{a} \left(\frac{\sigma}{s} \right), \quad (136)$$

სადაც: Q — $\left(\frac{\sigma}{s} \right)$ არის ტრანსპორტიორის მწარმოებლობა;

G — (კგ) — ცალკეული ტვირთის წონა;

ω — $\left(\frac{\sigma}{\text{წმ}} \right)$ — ლენტის მოძრაობის სიჩქარე;

a — (მ) — მანძილი ცალკეულ ტვირთებს შორის.

რაოდენობა ცალკეული ტვირთებისა, რასაც გადაზიდავს ტრანსპორ-
 ტიორი ერთ საათში, ტოლი იქნება:

$$m = \frac{3600 \cdot \omega}{a} \left(\frac{\sigma}{s} \right). \quad (137)$$

ლენტის ტრანსპორტიორს შეუძლია დახრილად იმუშაოს, ე. ი. ერთ-
 დროულად გადაადგილოს მასალა ჰორიზონტალურად და ასწიოს ვერტიკა-
 ლურად. ამის შესახებ ზემოთქმულს (იხ. § 2) უნდა დავუმატოთ, რომ დახ-
 რილი ტრანსპორტიორის მწარმოებლობა ნაკლებია ჰორიზონტალური ტრან-
 სპორტიორის მწარმოებლობასთან შედარებით. ეს შემცირება მით უფრო მე-
 ტია, რაც უფრო მეტია ტრანსპორტიორის დახრის კუთხე. მწარმოებლობა
 მცირდება შემდეგნაირად:

თუ ტრანსპორტიორის დახრის კუთხე $\beta = 11 \div 15$	მწარმოებლობა მცირდება 5%
" " " " $\beta = 16 \div 18$	" " 10%
" " " " $\beta = 19 \div 22$	" " 15%

გარდა ამისა, დახრილ ტრანსპორტიორებში ლენტის მოძრაობის სიჩქარეც
 ნაკლები უნდა ავიღოთ, რადგანაც მოძრაობის პროცესში დახრილ ტრანსპორ-
 ტიორებში ლენტი უფრო მეტად ირხევა, ვიდრე ჰორიზონტალურ ტრანსპორ-
 ტიორებში. სიჩქარის შემცირება მით უფრო მეტია, რაც უფრო მეტია ტრან-
 სპორტიორის დახრის კუთხე. თუ აღვნიშნავთ დახრილი ლენტის სიჩქარეს—

ω_2 და ჰორიზონტალური ლენტის სიჩქარეს— ω_1 , მათი შეფარდების $\left(\frac{\omega_2}{\omega_1} \right)$

ცვალებადობა დახრის კუთხის (β) მიხედვით გამოიხატება მე-20 ცხრილით:

ჯგ	$\frac{m_c}{m_s}$	ჯგ	$\frac{m_c}{m_s}$	ჯგ	$\frac{m_c}{m_s}$
4	0,93	12	0,81	19	0,67
5	0,91	13	0,78	20	0,65
6	0,90	14	0,77	22	0,61
8	0,87	16	0,73		
10	0,83	18	0,69		

ლენტისანი ტრანსპორტიორისათვის საჭირო სიმძლავრის ზუსტი განსაზღვრა დიდ გაანგარიშებას მოითხოვს. შეგვიძლია დავკმაყოფილდეთ დაახლოებითი გაანგარიშებით, რომელიც შემდეგნაირად უნდა ჩავატაროთ: სიმძლავრე, რომელიც საჭიროა ტრანსპორტიორების მოძრაობისათვის უტვირთოდ, ტოლია:

$$N_1 = K_1 \cdot L \cdot \omega \quad (138)$$

სადაც: L —(მ) არის ტრანსპორტიორის ჰორიზონტალური პროექციის სიგრძე;

ω — $\left(\frac{მ}{წმ}\right)$ —ლენტის მოძრაობის სიჩქარე;

K_1 —კოეფიციენტი, რომელიც დამოკიდებულია ლენტის სივანეზე (B) და შერჩეული უნდა იყოს 21-ე ცხრილით:

	კოეფიციენტ K_1 -ის მნიშვნელობა						ცხრილი 21
ლენტის სივანე B მმ	400	500	650	800	1000	1200	1400
K_1	0,012	0,015	0,02	0,024	0,03	0,035	0,04

სიმძლავრე, რომელიც საჭიროა ტვირთის გადასაზიდად:

$$N_2 \cong 0,00015 \cdot QL \quad (138a)$$

სადაც: Q — $\left(\frac{ტ}{ს}\right)$ არის ტრანსპორტიორის მწარმოებლობა, ხოლო 0,00015 კი პროპორციულობის კოეფიციენტი.

სიმძლავრე, რომელიც საჭიროა ტვირთის H (მ) სიმაღლეზე ასატანად, ტოლია

$$N_3 = \frac{Q \cdot H}{367} \cong 0,0027 \cdot Q \cdot H \quad (138b)$$

(ჰორიზონტალური ტრანსპორტიორებისათვის $H=0$, ამიტომ $N_3=0$).

საერთო სიმძლავრე, რომელიც საჭიროა ტრანსპორტიორის წამყვანი დოლის ღერძზე, როდესაც განტვირთვა ხდება ლენტის ბოლოში ტვირთის ჩამოცეენით, ტოლი იქნება:

$$N'_0 = (N_1 + N_2 + N_3) K_2 \quad (138\text{გ})$$

სადაც: K_2 არის კოეფიციენტი, რომელიც გამოხატავს წინალობის გადიდებას მოკლე ტრანსპორტიორებში.

როდესაც $L < 15$ მ $K_2 = 1.25$;
 $L = 15 \div 40$ მ-მდე $K_2 = 1,1$;
 $L > 40$ მ $K_2 = 1$.

დამატებითი სიმძლავრე N_4 , რაც იხარჯება ურიკების ან ფარების ააშუალებით განტვირთვით გამოწვეულ წინალობაზე, ტოლია:
 ფართო განტვირთვის დროს:

$$N_4 \cong 0,007 Q \cdot B \quad (138\text{დ})$$

ხელით საგორებელი ურიკით განტვირთვის დროს:

$$N_4 \cong 0,22 N'_0 + 0,005 Q \quad (138\text{ე})$$

საძრავი ურიკით განტვირთვის დროს

$$N_4 \cong 0,27 N_0 + 0,005 Q + 0,4 \quad (138\text{ვ})$$

სიმძლავრე, რაც საჭიროა ტრანსპორტიორის წამყვანი დოლის ღერძზე, ტოლი იქნება

$$N_0 = N'_0 + N_4 = (N_1 + N_2 + N_3) K_2 + N_4 \quad (138\text{ზ})$$

ძრავის სიმძლავრე, რომელიც საჭიროა ტრანსპორტიორისათვის, ტოლი იქნება

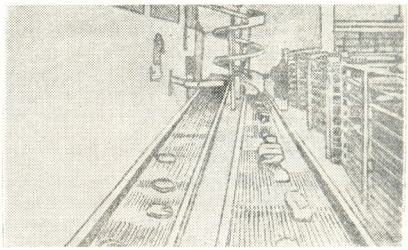
$$N = K \cdot \frac{N_0}{\eta} \quad (138\text{თ})$$

სადაც: η არის ამძრავის მარგი ქმედების კოეფიციენტი;

$K = 1.1 \div 1.2$ — სიმძლავრის კოეფიციენტი.

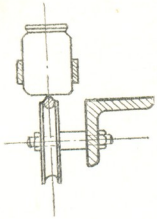
ბაგირიანი და ჯაჭვიანი ტრანსპორტიორები. ცალობითი ტვირთის

გადასაზიდად ხშირად ლენტის მაგიერად ბაგირი ან ჯაჭვი იხმარება. უსასრულო ბაგირი ან ჯაჭვი გადაიქიმება ჰაღზე. ერთი ჰაღი არის წამყვანი, მეორე — გამკიმი. ნახ. 103-ზე მოყვანილია მრავალბაგირიანი ტრანსპორტიორი, რომელიც პურეულს ეზიდება. ნახ. 104-ზე მოყვანილია ერთბაგირიანი ტრანსპორტიორი, რომ-



ნახ. 103. მრავალბაგირიანი ტრანსპორტიორი პურეულისათვის.

მელიც საკონსერვო წარმოებაში იხმარება ქურკლის გადასაზიდად. მწარმოებლის ბლომის გაანგარიშება ამ ტრანსპორტიორებისა ლენტეხის ტრანსპორტიორის გაანგარიშების ანალოგიურია (გარდა, რა თქმა უნდა, ბაგირის ან ჯაჭვის გაანგარიშებისა).

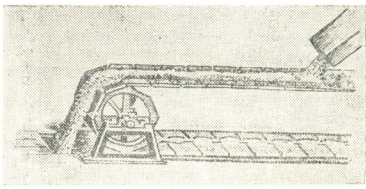


ნახ. 104. ერთბაგირიანი ტრანსპორტიორის საკონსერვო ქილებისათვის.

ფირფიტებიანი და ხონჩებიანი ტრანსპორტიორები.

ფირფიტებიანი ტრანსპორტიორი განსხვავდება ლენტეხის ტრანსპორტიორისაგან იმით, რომ, თუ ლენტეხის ტრანსპორტიორში ლენტეხის არის ერთდროულად გადამზიდი (ამტანი) ელემენტიც და გამწვევი ელემენტიც, ფირფიტებიანი ტრანსპორტიორში გაწვევა ხდება ბაგირის ან ჯაჭვის საშუალებით, გადასაზიდი მასალა, იყრება ბაგირზე ან ჯაჭვზე დამაგრებულ ფირფიტებზე. მსუბუქად დატვირთულ ფირფიტებიანი ტრანსპორტიორებში გამწვევი ელემენტად აღებულია ორ ჭალზე გადამქიმილი ერთი უსასრულო ბაგირი ან ჯაჭვი. მძიმე დატვირთვისათვის კი ხმარობენ ორ ბაგირს ან ჯაჭვს. ბაგირზე ან ჯაჭვზე მაგრდება ვიწრო ფირფიტები ზოგჯერ ხის, უფრო ხშირად კი ფოლადის. ეს ფირფიტები ისეთნაირად არიან ერთმეორესთან მოკვებულნი, რომ სწორ უბნებზე ერთ მთლიან სიბრტყეს ქმნიან, ქალების შემოვლის დროს კი იშლებიან. დატვირთვის მიხედვით ფირფიტებს აკეთებენ ხისაგან, თუჯისა და ფოლადისაგან. ტრანსპორტიორის დატვირთვა შეიძლება ნებისმიერ ადგილზე, განტვირთვა კი მხოლოდ ბოლოდან. ფირფიტოვანი ტრანსპორტიორები გამოადგებიან როგორც ფხვიერი და ნატეხოვანი მასალის, ისე ცალკეული ტვირთების გადასაზიდად. ნახ. 105-ზე მოყვანილია ერთჯაჭვიანი და ნახ. 106-ზე ორჯაჭვიანი ფირფიტებიანი ტრანსპორტიორები. შუალედი დაყრდენი ფირფიტებიანი ტრანსპორტიორებში უფრო ხშირად განხორციელებულია გორგოლაკების საშუალებით, რომლებიც დამაგრებული არიან ჯაჭვზე ან ბაგირზე და მოძრაობის დროს მიგორავენ ტრანსპორტიორის სადგარზე დამაგრებულ შინებზე ან რელსებზე. ვიწრო ფირ-

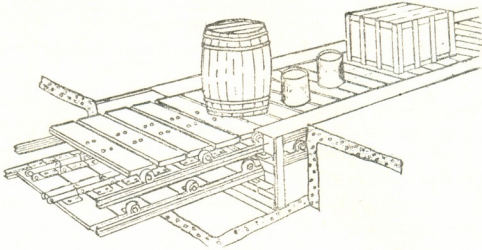
ფიტოვანი გვერდებიანი ტრანსპორტიორი იხმარება ლუდისა და მინერალური წყლების მექანიზებული ჩამოსხმის დროს ბოთლების მისაწოდებლად (ნახ. 107). ასეთი ტრანსპორტიორები შეიძლება გამოვიყენოთ ღვინის მრეწველობაშიც სხვადასხვა სასმელის ჩამოსხმის დროს ბოთლების მისაწოდებლად. ზოგჯერ ფირფიტებიანი ტრანსპორტიორებს გვერდებზე უკეთებენ ქიმებს, რომლებიც საშუალებას იძლევიან გავადიდოთ გადასაზიდი ფხვიერი მასალის ფენის სისქე



ნახ. 105. ერთჯაჭვიანი ფირფიტებიანი ტრანსპორტიორი.

ფიტოვანი გვერდებიანი ტრანსპორტიორი იხმარება ლუდისა და მინერალური წყლების მექანიზებული ჩამოსხმის დროს ბოთლების მისაწოდებლად (ნახ. 107). ასეთი ტრანსპორტიორები შეიძლება გამოვიყენოთ ღვინის მრეწველობაშიც სხვადასხვა სასმელის ჩამოსხმის დროს ბოთლების მისაწოდებლად. ზოგჯერ ფირფიტებიანი ტრანსპორტიორებს გვერდებზე უკეთებენ ქიმებს, რომლებიც საშუალებას იძლევიან გავადიდოთ გადასაზიდი ფხვიერი მასალის ფენის სისქე

ფირფიტებზე და ამით გაეზარდა ტრანსპორტიორის მწარმოებლობა. ლობითი ტვირთის გადაზიდვის დროს კი ეს ქიმები იცავს ტვირთს გად-



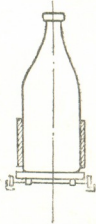
ნახ. 106. ორჯაჭვიანი ფირფიტებიანი ტრანსპორტიორი.

მოცვენისაგან (ნახ. 107). ზოგჯერ ქიმების ცალკე გაკეთების მაგივრად, ამ ქიმებსა და ფირფიტას ერთი მთლიანი ნაჭრისაგან აკეთებენ. ასეთ ფირფიტას უკვე ხონჩის ფორმა აქვს, რისთვისაც ტრანსპორტიორს ხონჩებიან ტრანსპორტიორს უწოდებენ (ნახ. 108).

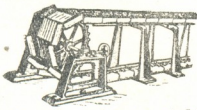
ფირფიტებიანი და ხონჩებიანი ტრანსპორტიორების მწარმოებლობა ცალობითი ტვირთის გადაზიდვის დროს განისაზღვრება იმავე ფორმულებით (136) და (137) როგორც ლენტის ტრანსპორტიორისა. ფხვიერი მასალის გადაზიდვის დროს კი მწარმოებლობა განისაზღვრება შემდეგი ფორმულებით:

ფირფიტებიანი ტრანსპორტიორისათვის:

$$Q = 0,9 \cdot c \cdot K^2 \cdot B^2 \cdot \text{tg } \alpha_0 \cdot \gamma_0 \cdot \omega \left(\frac{\phi}{\psi} \right), \quad (139)$$



ნახ. 107. ფირფიტებიანი ტრანსპორტიორი ბოთლებისათვის.



ნახ. 108. ხონჩებიანი ტრანსპორტიორი.

სადაც

$$K = \frac{h}{B} = 0,8 \div 85;$$

c არის კოეფიციენტი, რომელიც დამოკიდებულია ტრანსპორტიორის ჰორიზონტალ დახრის კუთხეზე და აღებული უნდა იყოს 22-ე ცხრილიდან.

ხონჩებიანი ტრანსპორტიორისათვის:

$$Q = 0,9 \cdot c \cdot B^2 \cdot \text{tg } \alpha_0 \cdot \gamma_0 \cdot \omega \left(\frac{\phi}{\psi} \right), \quad (140)$$



ტრანსპორტიორის ჰორიზონტთან დახრის კუთხე β	ფირფიტებისათვის	ხონჩებისათვის
$\beta < 10^\circ$	1,0	1,0
$\beta = 10^\circ \div 20^\circ$	0,9	0,95
$\beta > 20^\circ$	0,7	0,8

სადაც: ϵ — აქვს იგივე მნიშვნელობა, რაც ფორმულაში (139) და მისი სიდიდე აღებული უნდა იყოს იმავე 22-ე ცხრილიდან;

h — (მ) არის ხონჩის გვერდის სიმაღლე;

$\psi = 0,6 \div 0,75$ — ხონჩის გვერდის სიმაღლეზე ავსების კოეფიციენტი.

როგორც ფირფიტების, ისე ხონჩების მოძრაობის სიჩქარე მიღებული უნდა იყოს შემდეგ ფარგლებში:

$$w = (0,2 \div 0,5) \frac{g}{\gamma_0}$$

საჭირო სიმძლავრის განსაზღვრა ორივე ტიპის ტრანსპორტიორისათვის შეგვიძლია მოვახდინოთ შემდეგი სავარაუდო ფორმულით.

სიმძლავრე, რომელიც საჭიროა ტრანსპორტიორის ამძრავ ღერძზე:

$$N_0 = 0,0024 \cdot q_0 \cdot w \cdot L + 0,003 Q (0,11 L + H) + 0,006 Q \cdot B \quad (\text{კვ}), \quad (141)$$

სადაც: H — (მ) არის ტვირთის ატანის სიმაღლე;

q_0 — (კვ) — ფირფიტებისა და ჯაჭვების ერთი მეტრის წონა

$$(q_0 \cong 80 B = 80 \text{ კვ}).$$

ფორმულაში (141) — პირველი წევრი წარმოადგენს სიმძლავრეს, რომელიც საჭიროა ტრანსპორტიორის უქმი სვლისათვის; მეორე წევრი წარმოადგენს სიმძლავრეს, რომელიც საჭიროა ტვირთის გადასაადგილებლად L მანძილზე და H სიმაღლეზე; მესამე წევრი კი — სიმძლავრეს, რომელიც საჭიროა განმტვირთი ფართი გამოწვეული წინაღობის დასაძლევად. ძრავის სიმძლავრე განისაზღვრება უკვე ხსენებული ფორმულით (138თ)

$$N = K \frac{N_0}{\eta} \quad (\text{კვ});$$

ამ შემთხვევაში

$$K = 1,15 \div 1,25.$$

ასტამებიანი ტრანსპორტიორები. ასტამებიანი ტრანსპორტიორში გადასაზიდი მასალა იყრება უძრავ ღარში. ღარში მოძრაობს ბაგირი, რომელზედაც დამაგრებულია ერთმანეთისაგან ერთნაირი დაშორებით ასტამები. ამ ასტამებს ისეთივე მოყვანილობა აქვს, როგორც ღარის განივ კვეთს. ამიტომ ას-

ტამები იტაცებენ გადასაზიდ მასალას და მიაჩრებენ მას გასწვრივი მიმართულებით (ნახ. 109).

ასტამებიანი ტრანსპორტიორის მწარმოებლობა განისაზღვრება შემდეგი ფორმულებით:

ფხვიერი მასალის გადაზიდვის დროს:

$$Q = 3660 \frac{i}{a} \omega \cdot \gamma_e \left(\frac{\phi}{s} \right), \quad (142)$$

სადაც i —(მ³) არის მასალის მოცულობა, რომელსაც აჩრებენ ერთი ასტამა;

ω — $\left(\frac{მ}{წმ} \right)$ —მოძრაობის სიჩქარე;

γ_e — $\left(\frac{ტმ}{გმ^3} \right)$ —გადასაზიდი მასალის დაყოფილი წონა;

a —(მ)—მანძილი ასტამებს შორის.

ცალკეულ ტვირთთა გადაზიდვის დროს:

$$Q = 3,6 \frac{G \cdot \omega}{a}, \quad (143)$$

სადაც: Q — $\left(\frac{ტ}{ს} \right)$ არის ტრანსპორტიორის მწარმოებლობა;

G —(კგ)—ცალკეულ ტვირთთა წონა;

ω — $\left(\frac{მ}{წმ} \right)$ —მოძრაობის სიჩქარე;

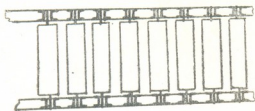
a —(მ)—მანძილი ასტამებს შორის.

ტრანსპორტიორისათვის საჭირო სიმძლავრე შეიძლება განესაზღვროთ შემდეგი სავარაუდო ფორმულით:

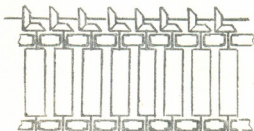
$$N = \frac{W \cdot Q \cdot L}{270} \quad (\text{ც. ძ.}), \quad (145)$$

სადაც: N —(ც. ძ.) არის ტრანსპორტიორისათვის საჭირო სიმძლავრე;

Q — $\left(\frac{ტ}{ს} \right)$ —ტრანსპორტიორის მწარმოებლობა;



ნახ. 110. ხელით სამუშაო გორგოლაკებიანი ტრანსპორტიორის სქემა.

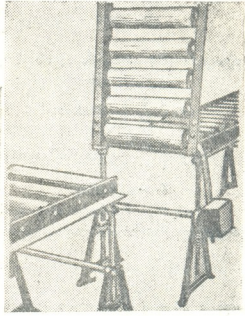
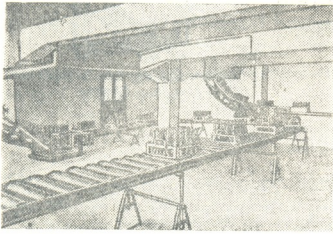


ნახ. 111. საძრავი გორგოლაკებიანი ტრანსპორტიორის სქემა.

L — (მ) — ტრანსპორტიორის სიგრძე;

W — წინალობის კოეფიციენტი, რომელიც შეიძლება ავილოთ $0,4 \leq W \leq 0,6$

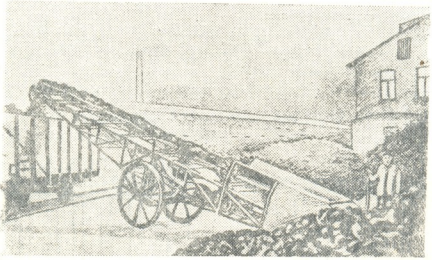
გორგოლაკებიანი ტრანსპორტიორები. გორგოლაკებიანი ტრანსპორტიორის ზოგჯერ „როლგანგს“ უწოდებენ. როლგანგი წარმოადგენს რკინის ჩარჩოს, რომელიც დგას საყრდენებზე იატაკიდან $0,8 \div 1,0$ მ სიმაღლეზე. ჩარჩოზე დამაგრებულია გორგოლაკების ღერძები. მცირე ტვირთის გადაადგილებისათვის ჩვეულებრივად ტვირთის გადაადგილებას ახდენენ ხელით (ნახ. 110). წინალობის შემცირებისათ-



ნახ. 112. გორგოლაკებიანი ტრანსპორტიორის გამოყენება ბოთლების გადასახიდად.

ნახ. 113. გორგოლაკებიანი ტრანსპორტიორის ასაწვევის სეკცია.

ვის ღერძებზე ბურთულებიანი საკისრებს აყენებენ. მძიმე ტვირთის გადაადგილებისათვის გორგოლაკებს ამოძრავებენ ძრავის საშუალებით (ნახ. 111).



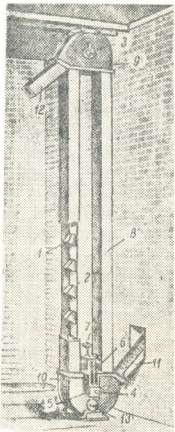
ნახ. 114. საგორბელი ლენტიათი ტრანსპორტიორი.

როლგანგი გამოდგება მხოლოდ ცალობითი ტვირთის გადაადგილებისათვის. წვრილი ტვირთის გადაადგილებისათვის საჭიროა მათი რაიმე კუბურებში მო-

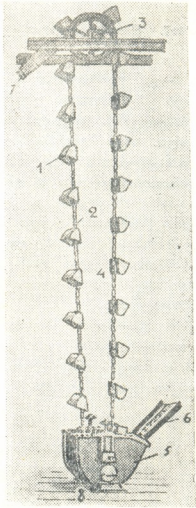
თავსება, როგორც ეს ნაჩვენებია ნახ. 112-ზე (ბოთლები ყუთშია ჩაწყობილად) უმარტივეს როლგანგებში მსუბუქი ტვირთისათვის გორგოლაკებს აკეთებენ უბრალო მილის ნაჭრებისაგან. როდესაც როლგანგი კვეთს სათავსოს გასასვლელებს, მაშინ მას ამ ადგილებში უკეთდება ასაწევი სექცია (ნახ. 113), რომელიც დროებით ხსნის გასასვლელს. თუ მოძრაობა როლგანგზე იმდენად ხშირია, რომ სექციის აწევა მოძრაობის შეუჩერებლად შეუძლებელია, როლგანგის შემოთ კეთდება სპეციალური გადასასვლელი ხიდი. ყველა შემოაღწიწიული ტრანსპორტიორი სტაციონარული ტიპისაა: ტრანსპორტიორის სადგარი უძრავად დამაგრებულია საძირკველზე. არსებობს კიდევ საგორებელი ტრანსპორტიორები. ყველა შემოაღწერილი ტრანსპორტიორის სადგარი შეიძლება დაიდგას თვლებზე და ტრანსპორტიორი მივაგოროთ სამუშაოდ სასურველ ადგილას. ცხადია, საგორებელი ტრანსპორტიორები მცირე სიგრძისა არიან (5, 10 და 15 მ). ნახ. 114-ზე მოყვანილია საგორებელი ლენტინი ტრანსპორტიორი, რომელიც ტვირთავს ქვანახშირით რკინიგზის ვაგონს.

§ 14. ელევატორები

ელევატორები იხმარება ფხვიერი და ნატეხოვანი მასალისა და აგრეთვე ცალკეულ ტვირთთა ვერტიკალური მიმართულებით ასა-

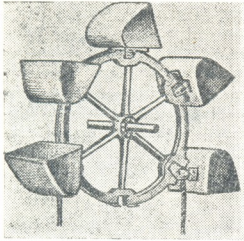


ნახ. 115. ჩამრეზიანი ელევატორი ლენტინი.



ნახ. 116. ჩამრეზიანი ელევატორი ჯაჭვიანი.

ტანად. არის დახრილი ელევატორებიც, მათი ჰორიზონტთან დახრის კუთხე ჩვეულებრივ ცოტათი ნაკლებია 90°-ზე. ელევატორის ძირითად ნაწილს განს მისი გამწვევი ელემენტი. ელევატორებში გამწვევ ელემენტად იხმარება ლენტი, ჯაჭვი და ბაგირი. გამწვევი ელემენტის მიხედვით ელევატორის სათანადო სახელწოდება ეძლევა (ლენტოანი, ჯაჭვიანი, ბაგირიანი). ნახ. 115-ზე მოყვანილია ელენტოანი ელევატორი, ნახ. 116-ზე—ჯაჭვიანი და ნახ. 117—ბაგირიანი. ნახ. 115-ზე ციფრებით აღნიშნულია: 1—ჩამჩა; 2—ლენტი; 3—თავის დოლის ლილვი; 4—ქუსლის დოლის ლილვი; 5—ქვედა ლილვის საკისრები; 6—დამქიმი მოწყობილობა; 7—დამქიმი მოწყობილობის ხრახნი; 8—გარსაქმი; 9—ელევატორის თავი; 10—ელევატორის ქუსლი; 11—დამტვირთავი ღარი; 12—განმტვირთავი მილი; 13—ნახვრეტის ხუფი, საიდანაც ხდება ქუსლში დარჩენილი გადასაზიდი მასალის ამოღება. ნახ. 116-ზე კი: 1—ჩამჩა; 2—ჯაჭვის უქმი შტო; 3—ელევატორის თავი; 4—ჯაჭვის მუშა შტო; 5—ელევატორის ქუსლი; 6—დამტვირთავი



ნახ. 117. ჩამჩებიანი ელევატორი ბაგირიანი.

ღარი; 7—განმტვირთავი ღარი; 8—ქუსლის გასაწვეირი ნახვრეტი. გამწვევი ელემენტი გადაქიმულია: ლენტი დოლებზე, ჯაჭვი ვარსკვლავა კბილანებზე, თოკი კი ქალებზე. ელევატორის ზემო ნაწილს თავი ეწოდება, ქვემო ნაწილს კი—ქუსლი. როგორც წესი, ელევატორის ამქრავი მექანიზმი თავში თავსდება, დამქიმი მექანიზმი კი—ქუსლში. თავში მოწყობილია აგრეთვე ელევატორის განმტვირთავი მოწყობილობა, ქუსლში კი—დამტვირთავი. ფხვიერი და ნატეხოვანი მასალის ატანას ელევატორი ანხორციელებს რკინის ჩამჩების საშუალებით (ჩამჩებიანი ელევატორი ანუ ნორია). ჩამჩები დამაგრებულია გამწვევ ელემენტზე. ჩამჩებიანი ელევატორი შეიძლება იყოს როგორც ლენტოანი (ნახ. 115), ისე ჯაჭვიანი (ნახ. 116) და ბაგირიანი (ნახ. 117). ჩამჩების დატვირთვა ხდება ელევატორის ქუსლში ზოგჯერ ღარის საშუალებით: ღარიდან მასალა პირდაპირ ჩამჩებში იყრება. ზოგჯერ კი დასატვირთი მასალა პირდაპირ ქუსლში იყრება, ჩამჩები კი ქვემო დოლის ან ქალის შემოსვლის დროს თვითონ ამოჩამჩავენ მას. როგორც უნდა იყოს ჩამჩის დატვირთვის წესი, მისი მთელი მოცულობით გავსება შეუძლებელია. ამიტომ შემოღებულია ავსების კოეფიციენტი ϕ , რომელიც წარმოადგენს ჩამჩაში მოთავსებულ მასალის მოცულობის შეფარდებას ჩამჩის მოცულობასთან, ე. ი. $\phi = \frac{V_{\text{მ}}}{V_{\text{ჩ}}}$.

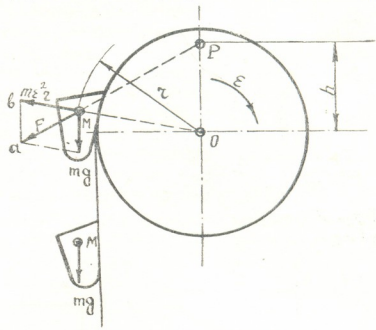
ϕ -ის მნიშვნელობა სხვადასხვა მასალისათვის შეგვიძლია მივიღოთ შემდეგი:

- დაფქვილი მასალისათვის $\phi = 0,8 \div 1,0$;
- მარცვლეულისათვის $\phi = 0,75 \div 0,9$;
- წვრილი ქვანახშირისათვის $\phi = 0,6 \div 0,7$;
- მსხვილი ქვანახშირისათვის $\phi = 0,4 \div 0,5$.

ჩამჩების დაცლა ხდება ზემო დოლის შემოვლის დროს ორნაირად. გასარკვევად განვიხილოთ ჩამჩების მოძრაობის პირობები ზემო დოლის შემოვლის დროს (ნახ. 118). ვიდრე ჩამჩა სწორხაზოვნად მოძრაობს, მასში მოთავსებული ნაწილაკზე (M) მოქმედებს მხოლოდ მისი საკუთარი წონის ძალა: mg . როგორც კი ჩამჩა დაიწყებს დოლის ან ჭალის შემოვლას წარმოიშვება ცენტრიდანული ძალა, რომელიც ტოლია:

$$m\varepsilon^2 r,$$

სადაც: m არის ნაწილაკის მასა;
 ε — ბრუნვის კუთხური სიჩქარე;
 r — ნაწილაკის ბრუნვის ტრანსეპტორიის რადიუსი.



ნახ. 118. ჩამჩის მოძრაობის სქემა.

მაშასადამე, დოლის შემოვლის დროს გადასაზიდი მასალის ნაწილაკზე უკვე ორი ძალა იმოქმედებს: ნაწილაკის საკუთარი წონის ძალა: mg და ცენტრიდანული ძალა: $m\varepsilon^2 r$. გეომეტრიულად რომ შევაჯამოთ ისინი, მივიღებთ ტოლქმედ ძალას F . განვაგრძოთ ეს ძალა მის ვერტიკალურ დიამეტრთან OP -სთან წერტილ P -ში გადაკვეთამდე.

ნახაზის მიხედვით:

$$\triangle OPM \sim \triangle abM$$

მაშასადამე,

$$\frac{OP}{OM} = \frac{ab}{bM'}$$

მაგრამ, ვინაიდან:

$$ab = mg; \quad bM = m\varepsilon^2 r \quad \text{და} \quad OM = r,$$

ამიტომ:

$$\frac{OP}{r} = \frac{mg}{m\varepsilon^2 r}$$

აქედან

$$h = OP = \frac{mg}{m\varepsilon^2 r} r = \frac{g}{\varepsilon^2} = \frac{g}{\pi^2 n^2} = \frac{895}{30^2}, \quad (146)$$

სადაც n არის დოლის ან ჭალის ბრუნვათა რიცხვი.

P წერტილის ეწოდება პოლუსი, h მანძილს კი—პოლუსის მანძილს. როგორც გვიჩვენებს ფორმულა (146), პოლუსის მანძილი დამოკიდებულია მხოლოდ დოლის ან ჭადის ბრუნვათა რიცხვზე. როგორც უნდა იყოს-



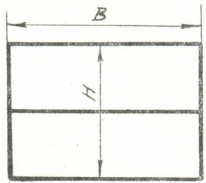
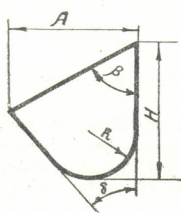
ნახ. 119. მასალის ცენტრიდანული განტვირთვა.

თვით ჩამჩის მდებარეობა და მასში მოთავსებული ნაწილაკის მდებარეობა. პოლუსის მდებარეობა უცვლელი რჩება. ე. ი. ტოლქმედი ძალა F მუდამ ერთსა და იმავე წერტილში გადაჰყვეთ ვერტიკალურ დიამეტრს OP -ს. თუ გავზრდით დოლის ან ჭადის ბრუნვათა რიცხვს, გაიზრდება ცენტრიდანული ძალაც; გაიზრდება ტოლ-



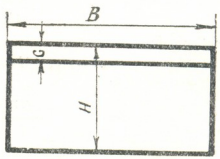
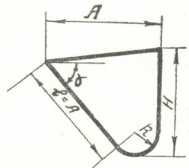
ნახ. 120. მასალის გრავიტაციული განტვირთვა.

ქმედი F ძალაც და პოლუსის P მდებარეობაც, რა თქმა უნდა, შეიცვლება ვინაიდან გადასაზიდი მასალის ნაწილაკის M -ის წონა mg უცვლელია, ამიტომ



ნახ. 121. ჩამჩის სქემა ცენტრიდანული განტვირთვისათვის,

ცენტრიდანული ძალის ზრდასთან ერთად ტოლქმედ F ძალის მიმართულება ცენტრიდანული ძალის მიმართულებას უახლოვდება, ე. ი. ნაწილაკი ჩამჩის

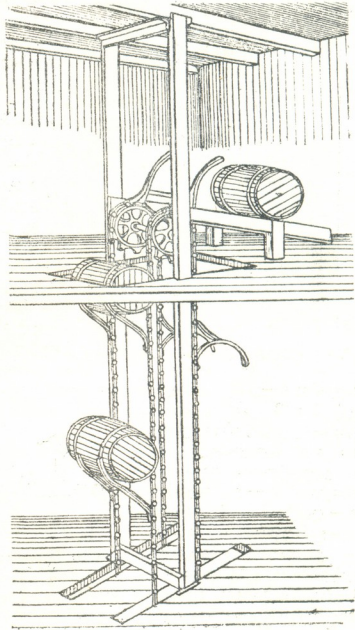


ნახ. 122. ჩამჩის სქემა გრავიტაციული განტვირთვისათვის.

გარე პირისაკენ მიიმართება და გადმოვარდება ჩამჩიდან ისე, როგორც ეს სქემატურად ნაჩვენებია ნახ. 119-ზე. ასეთ განტვირთვის ცენტრიდანული

განტვირთვა ეწოდება. თუ ცენტრიდანული ძალა მცირეა (ნელი ბრუნვების დროს), მაშინ ტოლქმედი ძალა F უფრო სიმძიმის ძალას მიუახლოვდება და, მაშასადამე, ნაწილაკიც ჩაშლის შინაგანი პირისაკენ მიიმართება და ჩამჩიდან გადმოვარდება ისე როგორც ეს სქემატურად ნაჩვენებია ნახ. 120-ზე. ასეთ განტვირთვის გრაფიტაციული განტვირთვა ეწოდება. ამის შესაბამისად საჭიროა, რომ განტვირთვის წესის მიხედვით, ჩაშლის ფორმა სხვადასხვა იყოს. ნახ. 121-ზე მოყვანილია ჩაშლის სქემა ცენტრიდანული განტვირთვისათვის, ნახ. 122-ზე კი ჩაშლის სქემა გრაფიტაციული განტვირთვისათვის. განსხვავება მათ შორის ნათლად ჩანს სქემებიდან.

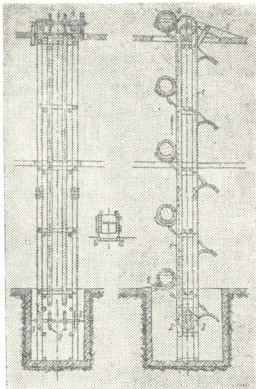
განტვირთვის წესის შერჩევის დროს უნდა ვიხელმძღვანელოთ მასალის ფიზიკური თვისებებით. ვინაიდან ცენტრიდანული განტვირთვა უფრო მეტ სიჩქარეს მოითხოვს, ვიდრე გრაფიტაციული, ამიტომ, ცხადია, ცენტრიდანული განტვირთვის დროს ელევატორი უფრო მეტ მწარმოებლობას იძლევა, ვიდრე გრაფიტაციული განტვირთვის დროს (რა თქმა უნდა, თუ სხვა პირობები თანაბარია). მაგრამ არის ისეთი მასალები, როგორც, მაგალითად, ფქვილი, შაქრის ფხვნილი და სხვა, რომლებზედაც ცენტრიდანული ძალის მოქმედება გამოიწვევს მათ და-



ნახ. 123. ჯაპეიანი ელევატორი კასრებისათვის (სქემა).

ფრქვევას და, მაშასადამე, ნაწილაკების დაბნევას. ამიტომ ასეთი მასალების ატანის დროს უნდა დაეუშვათ ელევატორის მწარმოებლობის შემცირება და გრაფიტაციული განტვირთვა ვისმართოთ. ცენტრიდანული განტვირთვა გამოდგება ისეთი მასალების ატანისათვის, რომლებსაც ცენტრიდანული ძალა ვერ გააბნევს (მაგ., მსხვილი ქვანახშირი, ქვიშა და სხვა).

ძალიან ხშირად ჩამჩებიათ ელევატორის ორივე შტოს ხის ან რკინის გარსაცმს უკეთებენ (ნახ. 115). ასეთ ელევატორებში მასალის მოძრაობა და-



ნახ. 124. ჯაჭვიანი ელევატორი კასრებისათვის (ნახაზი).

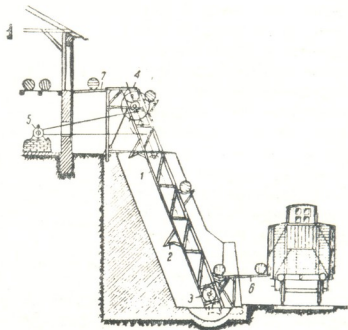
ბილობა; 6—განმტვირთავი მოწყობილობა. ნახ. 125-ზე კი: 1—ელევატორის ჯაჭვები; 2—კასრის სატაცი; 3—ელევატორის ქუსლი დამჭიმი მოწყობილობით; 4—ელევატორის თავი ამძრავით; 5—ელმოტორი; 6—დამტვირთავი ბაქანი, 7—განმტვირთავი ბაქანი.

ელევატორი უნდა იყოს ჯაჭვიანი. ჯაჭვზე უნდა დამაგრდეს ამტაცები, რომლებიც მორგებული უნდა იყოს კასრის ფორმაზე (ნახ. 126).

ყველა ზემოაღწერილი ელევატორი შეიძლება დამაგრდეს ცალკე კონსტრუქციებზე და დაიდგას თვლებზე. გაგორებით შეგვიძლია ელევატორი სხვადასხვა აღვილას ვამუშაოთ. ცხადია,

ხურულად ხდება და, მაშასადამე, არც გადასაზიდი მასალა იმტვირება გარემოდან და არც გარემო იმტვირება მასალისაგან. ამას მნიშვნელობა აქვს, განსაკუთრებით, იმ შემთხვევისათვის, როდესაც ელევატორი შენობის შიგნით იდგმება. ცალკეული ტვირთების ასაწვეად მხოლოდ ჯაჭვიანი ელევატორი იხმარება. ტვირთის დასადებად ჩამჩების ნაცვლად ჯაჭვზე დამაგრებულია ბაქნები. თუ ასატანი ტვირთი მუდამ ერთი და იგივეა, მაშინ ბაქნების ნაცვლად ჯაჭვზე მაგრდება ამტაცები, რომლებიც ტვირთის ფორმაზე არიან მორგებული. მეღვინეობაში ელევატორის გამოყენება მიზანშეწონილია კასრების ასატანად (ნახ. ნახ. 123, 124 და 125).

ნახ. 124-ზე ციფრებით აღნიშნულია: 1—ჯაჭვი სატაცებით; 2—მიმმართველი ჭაღები; 3—დამჭიმი მოწყობილობა; 4—ამძრავი; 5—დამტვირთავი მოწყობი-



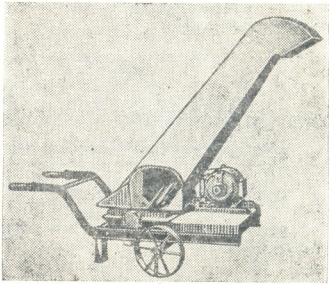
ნახ. 125. ელევატორის გამოყენება ვაგონიდან ქარხანაში კასრების ასატანად.

რომ საგორებელი ელევატორის სიმაღლე დიდი არ უნდა იყოს. ელევატორების ასეთ ტიპს უნდა მიეკუთვნოთ ე. წ. ამიეტეზი (ნახ. 127), რომელიც მეღვინეობაში იხმარება წნეხში ყურძნის ღურღოს მისაწოდებლად.

ელევატორების მწარმოებლობა განისაზღვრება შემდეგი



ნახ. 126. ამტაკვბი.



ნახ. 127. ამიეტეზი.

ფორმულებით:

ჩამჩებიანი ელევატორებისათვის:

$$Q = 3,6 \frac{\psi \cdot v_R \cdot \gamma_e \cdot \omega}{a} \left(\frac{\text{ტ}}{\text{ს}} \right) \quad (147)$$

სადაც: Q — $\left(\frac{\text{ტ}}{\text{ს}} \right)$ არის ელევატორის მწარმოებლობა;

ψ — ჩამჩის ავსების კოეფიციენტი;

v_R — (ლ) — ჩამჩის მოცულობა;

ω — $\left(\frac{\text{მ}}{\text{წმ}} \right)$ — გამწვევი ელემენტის მოძრაობის სიჩქარე;

γ_e — $\left(\frac{\text{კგ}}{\text{ლ}} \right)$ — გადასაზიდი მასალის დაყრილი წონა;

a — (მ) მანძილი ჩამჩებს შორის.

ცალბითი ტვირთის ატანის დროს ელევატორებისათვის:

$$Q = 3,6 \frac{G}{a} \omega \left(\frac{\text{ტ}}{\text{ს}} \right) \quad (148)$$

სადაც: Q — $\left(\frac{\text{ტ}}{\text{ს}} \right)$ არის ელევატორის მწარმოებლობა;

G — (კგ) — ცალკეული ტვირთის წონა;

a — (მ) — მანძილი ტვირთებს (ამტაკებს) შორის;

$\omega = \left(\frac{\partial}{\partial \theta}\right)$ — გამწვევი ელემენტის სიჩქარე.

როდენობა ცალკეული ტვირთებისა, რასაც ელევატორი აიტანს ერთ-საათში ტოლი იქნება:

$$m = \frac{3600 \cdot \omega}{a} \left(\frac{\text{ცალი}}{s} \right), \quad (149)$$

გამწვევი ელემენტის მოძრაობის სიჩქარე შეგვიძლია მივიღოთ:

გრავიტაციული განტვირთვის დროს $(0,3 \div 0,4) \frac{\partial}{\partial \theta}$;

ცენტრიდანული განტვირთვის დროს $(0,4 \div 0,75) \frac{\partial}{\partial \theta}$.

ელევატორისათვის საჭირო სიმძლავრე განისაზღვრება შემდეგი სავარაუდო ფორმულით:

$$N = \frac{QH}{270 \cdot \eta} \quad (\text{ც. ძ.}), \quad (150)$$

სადაც: N — (ც. ძ.) არის სიმძლავრე;

H — (მ) — აწვევის სიმაღლე;

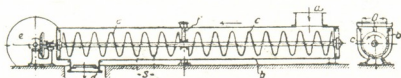
$Q = \left(\frac{\partial}{s}\right)$ — ელევატორის მწარმოებლობა;

η — ელევატორის მარგი ქმედების კოეფიციენტი.

ლენტების, ჯაჭვებისა და ბაგირების შერჩევა ელევატორებისათვის წარმოებს იმგვარადვე, როგორც ტრანსპორტიორებისათვის (§ 13).

§ 15. ხრახნიანი ტრანსპორტიორები

ხრახნიან ტრანსპორტიორს ზოგჯერ შნეკს ეძახიან, მისი სქემა მოყვანილია ნახ. 128-ზე. რკინის ან ხის უძრავ ღარში (b) ბრუნავს ღერძი მასზე დაყენებულ უსასრულო ხრახნთან (c) ერთად. ღერძის ერთი ბოლო ეყრდნობა საკისარს, მეორე ბოლო კი ღარის გარეთ გამოდის და მასზე დაყენებულია ამ-



ნახ. 128. შნეკის სქემა.

ძრავი (e). როდესაც ხრახნის სიგრძე დიდია, მას ღარის შიგნით შუალედ საკისარებს (f) უყვითებენ. შნეკის დატვირთვა ხდება ერთ ბოლში ზევიდან შესასვლელი სარკმლის (a) საშუალებით, განტვირთვა კი ქვემოდან გამოსასვლელი სარკმლის (d) საშუალებით. ამ სარკმელს აქვს საკეტი. ღერძის ტრიალის დროს ხრახნი გადაადგილებს მასალას ისრის მიმართულებით.

შნეკის ნორმალური მუშაობისათვის აუცილებელია, რომ გადასახიდი მასალა არ მიეკრას ხრახნს და არ აჰყვეს მას ბრუნვის დროს. ამის საწინააღმდეგოდ მოქმედებს გადასახიდი მასალის სიმძიმის ძალა და გადასახიდი მასალის ხახუნის ღარის კედლებზე. განმტვირთავი საოკმელი შნეკს შეიძლება გაუკეთდეს რამდენიმე; საკეტების ვალებით შეგვიძლია მასალა განვტვირთოთ შნეკიდან რამდენიმე ადგილას. შნეკი სხვა სატრანსპორტო საშუალებებთან შედარებით მარტივია, ნაკლებ მოვლას მოითხოვს და, რაც მთავარია, მასალას გადაზიდავს სრულიად დახურულ ღარში. სამაგიეროდ, შნეკი დიდძალ ენერგიას მოითხოვს და აზიანებს გადასახიდ მასალას. ამიტომ შნეკის გამოყენება მიზანშეწონილია იმ შემთხვევაში, როდესაც დასატვირთია რამდენიმე ჩამწკრივებული აპარატი, შედარებით მოკლე მანძილზე, ისეთი მასალით, რომლის დაზიანებას მნიშვნელობა არა აქვს. ასე, მაგალითად, შნეკი ფართოდ იხმარება შაქრის წარმოებაში ვაკუუმაპარატების ჩასატვირთავად. მეღვინეობის მრეწველობაში შნეკის ხმარება მიზანშეწონილია სპირტის სახდელი კოდების ჭკბით დატვირთვისათვის. შნეკს შეუძლია იმუშაოს როგორც ჰორიზონტალურად, ისე დახრილად და ვერტიკალურადც კი, ე. ი. შნეკს შეუძლია როგორც ტრანსპორტიორის, ისე ელევატორის მაგივრობა გასწიოს. შნეკი ხშირად შედის ტექნოლოგიურ მანქანებში დასამუშავებელი მასალის გადაადგილებისათვის როგორც მანქანის განუყოფელი ნაწილი. თუ შნეკს ბოლოში შევუქმნით წინაღობას, მას შეუძლია მასალა დაწუნხოს. ამიტომ ზოგიერთ ტექნოლოგიურ მანქანაში შნეკი გადასამუშავებელი მასალის გადაადგილებასთან ერთად, მასალის წნეხვასაც აწარმოებს.

მეღვინეობაში შნეკის ასეთი გამოყენება ხდება ევტეფორში და განუწყვეტლად მოქმედ წნეხში. შნეკის ღარის გადასახიდი მასალით მთლიანად გავსება არ ვარჯა, რადგანაც შესაძლებელია მასალა შნეკში გაიჭედოს. ამიტომ შნეკის ღარის გავსება ხდება მხოლოდ ნაწილობრივად. ამისათვის შემოღებულია ავსების კოეფიციენტი ψ , რომელიც გვიჩვენებს, თუ ღარის განივი კვეთის რა ნაწილი უჭირავს გადასახიდ მასალას. $\psi = 0,2 \div 0,3$ გადასახიდი მასალის ფიზიკური თვისებების მიხედვით.

შნეკის მწარმოებლობა განისაზღვრება შემდეგი ფორმულებით: მოცულობითი მწარმოებლობა:

$$V = 60 \psi \frac{\pi D^2}{4} S \cdot n \approx 47 \psi D^2 \cdot S \cdot n \left(\frac{მ^3}{ს} \right). \quad (151)$$

წონითი მწარმოებლობა:

$$Q = 60 \cdot \gamma_e \cdot \psi \frac{\pi D^2}{4} S \cdot n \approx 47 \gamma_e \cdot \psi \cdot D^2 \cdot S \cdot n \left(\frac{ტ}{ს} \right). \quad (152)$$

ამ ფორმულებში:

ψ არის ავსების კოეფიციენტი;

D —(მ)—შნეკის ხრახნის დიამეტრი;

S —(მ)—ხრახნის სვლა;

n — $\left(\frac{ბრ}{წთ} \right)$ —ღერძის ბრუნვათა რიცხვი;

$\gamma_e - \left(\frac{\dot{\theta}}{\beta\beta}\right)$ — გადასაზიდი მასალის დაყრილი წონა.

თუ აღვნიშნავთ $\varphi = \frac{S}{D}$, მაშინ ფორმულები (151) და 152) შემდეგნაირად დაიწერება:

$$V = 47\psi \varphi D^3 n \left(\frac{\beta^3}{s}\right) \quad (153)$$

და

$$Q = 47 \gamma_e \psi \varphi D^3 n \left(\frac{\dot{\theta}}{s}\right). \quad (154)$$

შეფარდებას $\frac{S}{D} = \varphi$ დიდი მნიშვნელობა აქვს შნეკის მუშაობისათვის. მისი სიდიდე მერყეობს 0,25 ÷ 1,0 გადასაზიდი მასალის ფიზიკური თვისებების მიხედვით. ლერძის ბრუნვათა რიცხვი $n = (40 \div 150) \frac{\text{ბრ}}{\text{წთ}}$. მისი შერჩევა ხდება აგრეთვე გადასაზიდი მასალის ფიზიკური თვისებების მიხედვით.

შნეკისათვის საჭირო სიმძლავრე განისაზღვრება შემდეგი ემპირიული ფორმულით:

$$N = \frac{WQL}{270} + \frac{QH}{270} \quad (\text{ც. ძ.}), \quad (155)$$

სადაც: $Q - \left(\frac{\dot{\theta}}{s}\right)$ არის შნეკის მწარმოებლობა;

$L - (\beta)$ — შნეკის სიგრძე;

$H - (\beta)$ — მასალის აწევის სიმაღლე (დახრილი შნეკებისათვის);

$W -$ წინალობის საერთო კოეფიციენტი, რომლის სიდიდე ტოლია:

ცერცველისათვის . . . 1,2;

ხრეშისათვის 4,0;

ნაცრისათვის 4,0;

ქვიშისათვის 4,0;

მშრალი ალაოსათვის . 1,2;

ნედლი შაქრისათვის . 4,0;

ქვანახშირისათვის . . 2,5;

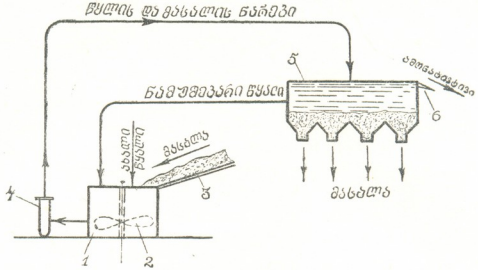
§ 16. ჰიდრაულიკური ტრანსპორტიორი

მოქმედების პრინციპი. ჰიდრაულიკური ტრანსპორტიორში მაგარი მასალების გადაზიდვა ხდება წყლის საშუალებით. ამ პროცესის განხორციელება ორი წესით შეიძლება: 1) დახურულ მილსადენებში და 2) ღია არხებსა და ლარებში.

ნახ. 129-ზე მოყვანილია სქემა ჰიდრაულიკური სატრანსპორტო დანადგარისა, რომელშიაც მასალის გადაზიდვა დახურულ მილსადენში წარმოებს.

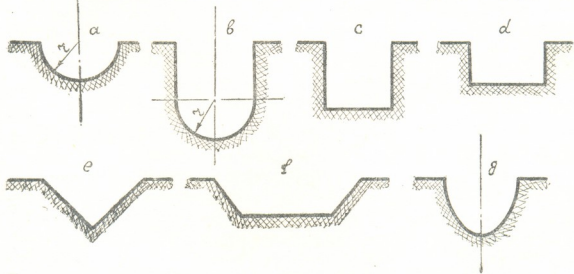


გადასაზიდი მასალა (3) იყრება მიმღებ აუზში (1), სადაც ის წყლით
 ზავდება. წყლისა და მასალის უფრო თანაბრად არევისათვის აუზში მოქმე-
 დებს მექანიკური სარეველა (2). ცენტრიდანული ტუმბო (4) შეიწოვს აუზი-
 დან წყლისა და გადასაზიდი მასალის ნარეგს და დაჭირხნის მილსადენის სა-



ნახ. 129. ჰიდრავლიკური ტრანსპორტიორის სქემა.

შუალებით, სალექარში (5), რომელიც მასალის მიღების ადგილას იდგმება.
 სალექარში მასალა ფსკერზე იღეჭება და გარეთ გამოდის, დაწმენდილი წყა-
 ლი კი მილსადენის საშუალებით უკან აუზში ბრუნდება ხელახლა მოსახმ-
 არებლად. სალექარს განსაზღვრულ სიმაღლეზე დაყენებული აქვს ღარი (6),
 რომლის საშუალებითაც გარეთ გადმოისხმება ამონატივტივი მსუბუქი მინა-



ნახ. 130. ღარის კვეთები.

რეგების სახით. მაშასადამე, ამ დანადგარში მასალა გადაზიდვასთან ერთად
 ნაწილობრივად ირეცხება და მას ეცლება ყოველგვარი, წყალზე უფრო მსუ-
 ბუქი, მინარევი, რასაც ზოგიერთი მასალისათვის დიდი მნიშვნელობა აქვს.



ტრანსპორტირების დროს განსაზღვრული რაოდენობა წყლისა სისტემისაში იბარება. გარდა ამისა, ნაწილი წყლისა თვით მასალას მიაქვს (მისი დასაწყისის ლების გამო) ნაწილი კი ამონატივტივს მიჰყვება. ამიტომ საჭიროა აუზში (1) სისტემატურად ახალი წყლის შემატება. ამ ტიპის ჰიდრაულიკური ტრანსპორტიორის გაანგარიშება, ე. ი. მიღების დიამეტრის, წყლის ხარჯისა და საჭირო წნევის განსაზღვრა ხდება იმავე წესით, რაც მიღებულია სუფთა წყლის გადაქაჩვისათვის (იხ. თავი II) იმ განსხვავებით, რომ თუ წყალსადენში $\gamma = 1 \frac{მგ}{ლ}$, აქ $\gamma > 1 \frac{მგ}{ლ}$, რადგანაც წყალს მაგარი მასალა აქვს შერეული. წყლის რაოდენობის შეფარდებას გადასაზიდი მაგარი მასალის რაოდენობისადმი გაზავების კოეფიციენტი ეწოდება. ყოველი მასალისათვის პრაქტიკიდან მიღებულია ის მინიმალური რაოდენობა წყლისა, ($მ^2$), რომელიც საჭიროა ერთი $მ^3$ მაგარი მასალის გადასაზიდად. ასე, მაგალითად, ერთი $მ^3$ მასალის გადასაზიდად საჭიროა მინიმალური რაოდენობა წყლის ($მ^2$):

- მიწა 0,8 ÷ 2,5;
- წვრილი სილა . 1,5 ÷ 3,0;
- მსხვილი სილა. 3,0 ÷ 8,0;
- ხრეში 5 ÷ 1,5;
- კარტოფილი . 4 ÷ 5

ნახ. 130-ზე მოყვანილია ღია არხებისა და ღარების კვეთები, რომლებიც იხმარება ჰიდრაულიკური ტრანსპორტირებისათვის. ღია კალაპოტში წნევის წყაროს შეადგენს მხოლოდ სიმაღლეთა სხვაობა, რომელიც არსებობს კალაპოტის თავსა და ბოლოში. ამიტომ ღია კალაპოტში მაგარი მასალის ჰიდრაულიკური ტრანსპორტირება შეიძლება მხოლოდ იმ ადგილებში, სადაც არსებობს სიმაღლეთა ასეთი სხვაობა: მაგალითად, ხე-ტყის დამზადების დროს, როდესაც ტყე მთაზე ან ფერდობზე და მორები ან შემა ქვევით უნდა ჩამოვიდეს.

§ 17. პნემატიკური ტრანსპორტი

მოქმედების პრინციპი. პნემატიკურ ტრანსპორტში მასალების გადაადგილება წარმოებს დახურულ მილებში ჰაერის საშუალებით.

ვინაიდან მასალების გადაადგილება დახურულ მილებში ხდება, ამიტომ პნემატიკური ტრანსპორტის გამოყენება გახსაჯუთრებით მიზანშეწონილია ფხვიერი და ფხვნილოვანი მასალების გადაზიდვისათვის, რადგანაც ამ შემთხვევაში გადასაზიდი მასალა არც თვითონ იმტვერება, რასაც დიდი მნიშვნელობა აქვს კვების პროდუქტების გადაზიდვის დროს, და არც გარემოს ამტვერებს, რასაც მნიშვნელობა აქვს სხვა მასალების (ცემენტის, კირის, ნახერხის და სხვ.) გადაზიდვის დროს. პნემატიკური ტრანსპორტის დიდ ღირსებას შეადგენს ისიც, რომ მისი საშუალებით შესაძლებელია გადასაზიდი მასალის მიღება მრავალი ადგილიდან და მისი მიწოდება აგრეთვე მრავალ ადგილას.



გარდა ამისა, პნევმატიკური ტრანსპორტის მილსადენები ადვილად იწყობა სათავსოების კერებზე და კედლების ზემო ნაწილებზე და, მაშასადამე ხშირად არ მოითხოვს სათავსოს განსაკუთრებულ ფართობს. პნევმატიკური ტრანსპორტის ფართო გავრცელებას ხელს უშლის მისი შედარებითი სიძვირე (ენერჯის დიდი ხარჯისა და მილსადენების მალე გაცვეთის გამო).

მუშაობის პრინციპის მიხედვით პნევმატიკური ტრანსპორტის დანადგარები ორ ჯგუფად იყოფა:

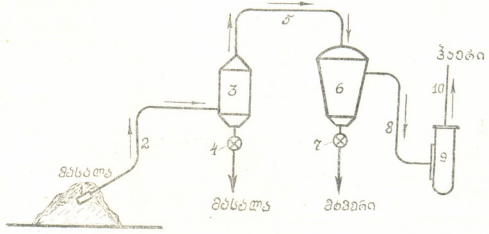
1) პნევმატიკური ტრანსპორტის დანადგარები, რომლებშიც გადასაზიდი მასალა ჰაერის ნაკადში მოძრაობს და, მაშასადამე, მასალას ყოველმხრივ ეხება გადაზიდი ჰაერი.

2) პნევმატიკური ტრანსპორტის დანადგარები, რომლებშიც გადასაზიდი მასალას მილსადენის მთელი კვეთი უჭირავს და ჰაერი აწეება მას ისე, როგორც, მაგალითად, ორთქლის მანქანაში ორთქლი აწეება დღუმს.

პნევმატიკური ტრანსპორტის დანადგარების უმრავლესობა პირველი სისტემით მუშაობს. მეორე სისტემა უფრო გავრცელებულია სხვადასხვა დაწესებულებაში, უმთავრესად, საფოსტო დაწესებულებებში კორესპონდენციის გადასაზიდად.

პნევმატიკური ტრანსპორტის დანადგარი შეიძლება იყოს შემწოვი, როდესაც დანადგარი გაუხშობული ჰაერით მუშაობს, შეიძლება იყოს საჭიროხნი, როდესაც დანადგარი შეკუმშული ჰაერით მუშაობს და შეიძლება იყოს შერეული, როდესაც დანადგარი ნაწილობრივ გაუხშობული და ნაწილობრივ შეკუმშული ჰაერით მუშაობს.

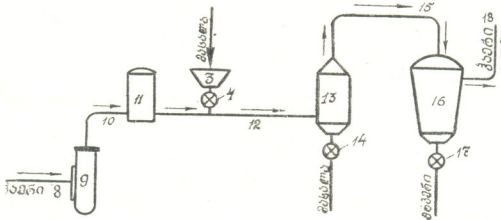
ნახ. 131-ზე მოყვანილია პნევმატიკური ტრანსპორტის შემწოვი დანადგარის სქემა.



ნახ. 131. პნევმატიკური ტრანსპორტის შემწოვი დანადგარის სქემა.

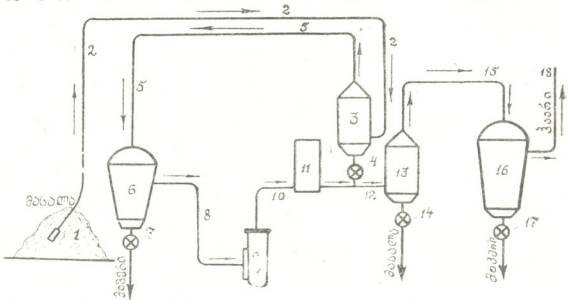
ვენტილატორი ან ვაკუუმტუმბო (9) შეიწოვს ჰაერს მილსადენის მთელი სისტემიდან, რის გამოც საჭიწინთან (1) შეიქმნება გაუხშობება. ჰაერი საჭიწინში შევა და თან შერეავს გადასაზიდ მასალასაც. განმტვირთავში (3) ჰაერი მკვეთრად იცვლის მოძრაობის მიმართულებას და მიემართება მილის (5) სა-

შუალეზით ფილტრში (6), სადაც მას გაეცლება მტვერი და მილის (8) საშუალებით შევა ვენტილატორში, ამის შემდეგ კი მილის (10) საშუალებით გამოვა ატოსფეროში. გადასაზიდი მასალა იყრება განმტვირთავის ფსკერზე და საკეტის (4) მეშვეობით გარეთ გამოდის. მტვერი გროვდება ფილტრის ფსკერზე და საკეტის (7) საშუალებით დროგამოშვებით გარეთ იყრება. საკე-



ნახ. 132. პნევმატიკური ტრანსპორტის საკირხნი დანადგარის სქემა.

ტები მოწყობილია ისეთნაირად, რომ ისინი სისტემიდან გარეთ უშვებენ მასალას და მტვერს და შიგ სისტემაში ატმოსფერულ ჰაერს არ უშვებენ, რათა მან არ შეამციროს სისტემაში ვენტილატორით შექმნილი გაუხშობება. პნევმატიკური ტრანსპორტის საკირხნი დანადგარის სქემა მოყვანილია ნახ.



ნახ. 133. პნევმატიკური ტრანსპორტის შერეული დანადგარის სქემა.

132-ზე; ვენტილატორი (9) მილის (8) საშუალებით შეიწოვს გარე ჰაერს და საკირხნის მას მილსადენში. ამ მილსადენზე დაყენებულია ჰაერის ხუფი (11), რომელიც აწესრიგებს ჰაერის წნევას საკირხნ მილსადენში. გადასაზიდი მასალა მიეწოდება სისტემაში დამტვირთავი ძაბრიდან (3), საიდანაც ის საკე-



ტის (4) საშუალებით თანაბრად იყრება საკირხნ მილში (12). განმტვირთავში (13) მასალა ფსკერზე იყრება და საკეტის (14) საშუალებით გარეთ გამოდის. ჰაერი კი მილსადენის (15) საშუალებით შედის ფილტრში (16), სადაც მას მტვერი ეცლება და მილის (18) საშუალებით ატმოსფეროში გამოდის. მტვერი, რომელიც ფილტრის ფსკერზე გროვდება, საკეტის (17) საშუალებით დროგამოშვებით გარეთ იყრება.

ნახ. 13ნ-ზე მოყვანილია პნევმატიკური ტრანსპორტის შერეული დანადგარი.

ეს დანადგარი ნაწილობრივ (1—8) მუშაობს როგორც შემწოვი, ნაწილობრივ კი (10—18) როგორც საკირხნი დანადგარი. ამ დანადგარის შესაბამისი ნაწილი იმავე ციფრებითაა აღნიშნული, როგორც წინა სქემებზე. უფრო ხშირად შემწოვი სისტემის დანადგარი იხმარება მაშინ, როდესაც გადასაზიდი მასალა მიიღება მრავალი ადგილიდან და მიიწოდება ერთ ადგილას. საკირხნი სისტემის დანადგარი იხმარება მაშინ, როდესაც გადასაზიდი მასალა მიიღება ერთ ადგილიდან და მიიწოდება მრავალ ადგილას. შერეული სისტემა კი გამოსადეგია მაშინ, როდესაც გადასაზიდი მასალა მრავალი ადგილიდან მიიღება და მრავალსავე ადგილას მიიწოდება. ძირითადი პრინციპები, რომლებიც საფუძვლად უდევს პნევმატიკური ტრანსპორტის გაანგარიშებას სამივე სისტემისათვის ერთი და იგივეა.

პნევმატიკური ტრანსპორტის გაანგარიშება. პნევმატიკური ტრანსპორტის ნორმალური მუშაობისათვის საკირხა შევარჩიოთ ჰაერის მოძრაობის ისეთი სიჩქარე, რომ ჰაერმა აიტაცოს გადასაზიდი მასალის ნაწილაკები. დაეუშვათ, რომ მასალის ნაწილაკების ფორმა არის სფერო დიამეტრით d (მ). თუ აღვნიშნავთ γ_a ($\frac{მგ}{მ^3}$) ნაწილაკის ხვედრითს წონას, მაშინ ნაწილაკის წონა ტოლი იქნება:

$$G = \frac{\pi d^3}{6} \gamma_a \quad (156)$$

თუ ნაწილაკი მოთავსებულია უძრავ ჰაერში, ის თავისი სიმძიმის ძალის მეოხებით დაიწყებს ქვემოთ დაცემას. უძრავი ჰაერი ამ დაცემას წინააღობას გაუწევს. ამ წინააღობის ძალა ტოლია:

$$F = K \frac{\pi d^2}{4} \cdot \frac{\omega_a^2 \cdot \gamma_a}{2g} \quad (157)$$

სადაც K არის წინააღობის კოეფიციენტი;

γ_a — ($\frac{მგ}{მ^3}$) — ჰაერის ხვედრითი წონა;

ω_a — ($\frac{მ}{წმ}$) — მასალის ნაწილაკის დაცემის სიჩქარე.



როდესაც $G=F$, მაშინ ნაწილაკი თანაბრად დაეშვება უძრავ ჰაერში. ამ შემთხვევისათვის ფორმულების (156) და (157) თანახმად შეგვიძლია დავწეროთ:

$$\frac{\pi \cdot d^3}{6} \gamma_B = K \frac{\pi \cdot d^3}{4} \cdot \frac{\omega_B^2 \cdot \gamma_A}{2g}$$

აქედან კი უძრავ ჰაერში ნაწილაკის დაცემის სიჩქარე ტოლი იქნება:

$$\omega_B = \sqrt{\frac{4g \cdot d \cdot \gamma_B}{3K \cdot \gamma_A}} \left(\frac{g}{\nu^2} \right) \quad (158)$$

თუ ჰაერი იმოძრაავებს ქვემოდან ზემოთ სიჩქარით $\omega_1 \left(\frac{g}{\nu^2} \right)$, მაშინ მოძრაავი ჰაერის ნაკადში ნაწილაკის დაცემის სიჩქარე, ცხადია, ტოლი იქნება:

$$\omega_{\text{დაც}} = \omega_1 - \omega_B \left(\frac{g}{\nu^2} \right) \quad (159)$$

როდესაც $\omega_1 = \omega_B$, მაშინ $\omega_{\text{დაც}} = 0$, ე. ი. ნაწილაკი უძრავი დარჩება და ჰაერში იჭროლებს. ჰაერის იმ სიჩქარეს, რომლის დროსაც ნაწილაკი ჰაერში ქროლავს, ქროლვის სიჩქარე ეწოდება (ω_K).

ფორმულებიდან (158) და (159) გამომდინარეობს, რომ ქროლვის სიჩქარე ტოლია:

$$\omega_K = \omega_B = \sqrt{\frac{4g \cdot d \cdot \gamma_B}{3K \cdot \gamma_A}} \quad (160)$$

სინამდვილეში გადასაზიდი მასალის ნაწილაკებს აქვს არა სფერული, არამედ უსწორმასწორო ფორმა; ამიტომ შემოღებულია წინალობის კოეფიციენტი K , რომელსაც შესწორება შეაქვს თეორიულ ფორმულაში.

ვინაიდან ნაწილაკების ფაქტიური ფორმა ზოგი მასალისათვის უფრო მეტად და ზოგისათვის უფრო ნაკლებად განსხვავდება სფერული ფორმისაგან, ამიტომ K -ს მნიშვნელობაც სათანადოდ დიდ ფარგლებში მერყეობს. თუ ავიღებთ საშუალო მნიშვნელობას $K=0,6$, მაშინ ქროლვის სიჩქარე ტოლი იქნება:

$$\omega_K \cong 4,65 \sqrt{\frac{d \gamma_B}{\gamma_A}} \left(\frac{g}{\nu^2} \right) \quad (161)$$

იმისათვის, რომ ჰაერმა აიტაცოს მასალის ნაწილაკები, ცხადია, საჭიროა, რომ ჰაერის სამუშაო სიჩქარე მილსადენში ($\omega_{\text{სამ}}$) მეტი იყოს, ვიდრე ქროლვის სიჩქარე (ω_K), ე. ი.

$$\omega_{\text{სამ}} > \omega_K$$

პრაქტიკულად იღებენ:

$$\omega_{\text{სამ}} = \alpha \cdot \omega_K \quad (162)$$

სადაც

$$\alpha = 1,2 \div 2,0.$$

α -ს მნიშვნელობა შერჩეული უნდა იყოს გადასაზიდი მასალის ფიზიკური თვისებების, მილსადენის სიგრძისა და ადგილობრივ წინაღობათა სიმრავლის მიხედვით. პნევმატიკური ტრანსპორტის ეკონომიური მუშაობისათვის საჭიროა სწორად შევარჩიოთ ჰაერის რაოდენობა, რომელიც აუცილებელია მასალის განსაზღვრული რაოდენობის გადასაზიდად. მასალის წონის (G_3) შეფარდებას მის გადასაზიდად საჭირო ჰაერის წონისადმი (G_1) ნარევის კოეფიციენტი (μ_5) ეწოდება, ე. ი.

$$\mu_5 = \frac{G_3}{G_1} \tag{163}$$

ნარევის კოეფიციენტის მნიშვნელობა ზოგიერთი მასალისათვის მოყვანილია სპეციალურ ლიტერატურაში. იმისათვის, რომ ჰაერმა მილსადენში მასალა გადაადგილოს საჭიროა წნევათა სხვაობა იყოს მილსადენის თავსა და მილსადენის ბოლოში. ეს სხვაობა— $p - \left(\frac{\rho g}{g^2}\right)$ იხარჯება შემდეგი სამი დანაკარგის დასაფარავად:

- 1) $p_1 - \left(\frac{\rho g}{g^2}\right)$ —წნევის დანაკარგი გადასაზიდი მასალის გადაადგილებაზე;
 - 2) $p_2 - \left(\frac{\rho g}{g^2}\right)$ —წნევის დანაკარგი ჰაერისა და გადასაზიდი მასალის მოძრობის სიჩქარის შექმნაზე;
 - 3) $p_3 - \left(\frac{\rho g}{g^2}\right)$ —წნევის დანაკარგი ჰაერისა და გადასაზიდი მასალის აწევაზე ვერტიკალურ მილსადენებში.
- მაშასადამე:

$$p = p_1 + p_2 + p_3 \left(\frac{\rho g}{g^2}\right) \tag{164}$$

ამ დანაკარგების გაანგარიშება შემდეგი ფორმულებით შეიძლება:

$$p_1 = \Delta p_1 (1 + \mu \cdot m) \left(\frac{\rho g}{g^2}\right) \tag{165}$$

სადაც: $p_1 - \left(\frac{\rho g}{g^2}\right)$ არის წნევის დანაკარგი წმინდა ჰაერის გადაადგილებაზე;
 μ — ნარევის კოეფიციენტი;
 m — მასალაზე დამოკიდებული კოეფიციენტი, რომელიც მიღებული უნდა იყოს ცდების შედეგად.

$$p_2 = (c - \psi \cdot \mu) \frac{\gamma_1 \cdot \omega_{\text{ნარ}}^2}{2g} \left(\frac{\rho g}{g^2}\right) \tag{166}$$

სადაც: c არის კოეფიციენტი, რომელიც დამოკიდებულია მასალაზე და აგრეთვე მილსადენის სისტემაზე.

$\psi = 1$ — კოეფიციენტი, რომელიც დამოკიდებულია მასალის სიჩქარის და ჰაერის სამუშაო სიჩქარის შეფარდებაზე;

γ_2 — $\left(\frac{d_2}{d_1}\right)$ — ჰაერის ხვედრითი წონა

$$P_2 = (1 + \mu) \gamma_2 \cdot H \frac{d_2}{d_1}, \quad (167)$$

სადაც: H — (მ) არის მილსადენის ვერტიკალური უბნების სიმაღლე.

საანგარიშო საერთო წნევა, რომელიც უნდა განავითაროს ვენტილატორმა, ტოლი იქნება:

$$H_b = \frac{P}{\gamma_2} (3 \cdot \text{ს.ვ.მ}). \quad (168)$$

პნევმატიკური სატრანსპორტო დანადგარისათვის საჭირო სიმძლავრე განისაზღვრება შემდეგი ფორმულით:

$$N = \frac{L_2 \cdot \gamma_2 \cdot H_b}{3600 \cdot 75 \cdot \eta} \quad (\text{ც. დ.}) \quad (169)$$

სადაც: L_2 — $\left(\frac{\text{მ}^3}{\text{ს}}\right)$ არის საათობრივი ხარჯი

$\eta = 0,5 \div 0,7$ — დანადგარის მარგი ქმედების კოეფიციენტი.

პნევმატიკური ტრანსპორტის დანადგარის ერთ-ერთ მაჩვენებელს შეადგენს ე. წ. დატვირთვის სიმკვრივე (β), რომელიც წარმოადგენს დროის ერთეულში გადაზიდული მასალის წონას, რაც მოდის მილსადენის კვეთის ერთ კვადრატულ მეტრზე, ე. ი.

$$\beta = \frac{G_a}{F \cdot \tau} \left(\frac{\text{ტ}}{\text{მ}^2 \cdot \text{ს}} \right) \quad (170)$$

β -ს მნიშვნელობა უნდა იყოს მიღებული დანადგარის ექსპლოატაციის შესწავლის შედეგად. ასე, მაგალითად ხორბლისათვის მიღებულია

$$\beta = 350 \frac{\text{ტ}}{\text{მ}^2 \cdot \text{ს}},$$

ნაცრისათვის

$$\beta = 320 \div 350 \frac{\text{ტ}}{\text{მ}^2 \cdot \text{ს}},$$

წვრილი ქვანახშირისათვის

$$\beta = 460 \div 470 \frac{\text{ტ}}{\text{მ}^2 \cdot \text{ს}}.$$

პნევმატიკური ტრანსპორტის დანადგარის გაანგარიშება შემდეგი თანმიმდევრობით უნდა ჩავატაროთ:

1. უნდა განვსაზღვროთ ფორმულით (161) ქროლვის სიჩქარე — $w_{კვ}$, მისი მიხედვით კი ფორმულით (162) სამუშაო სიჩქარე — $w_{საშ}$:



2. მოცემული მწარმოებლობის G_a და აღებული β -ს მიხედვით ფორმული (170) უნდა გავიგოთ მილსადენის კვეთი— F ;
3. ნარევის კოეფიციენტის μ შერჩევის შემდეგ უნდა გავიგოთ გადამზიდი ჰაერის რაოდენობა.
4. უნდა შევადგინოთ დანადგარის სქემა და მისი მიხედვით ჰიდრაულიკის სათანადო ფორმულებით (იხ. § 6) უნდა გავიგოთ წნევის დანაკარგი წმინდა ჰაერისათვის p_a . ხახუნის კოეფიციენტი ამ შემთხვევასთვის ტოლია:

$$f = 0,0125 + \frac{0,0011}{D},$$

სადაც D —(მ) არის მილსადენის დიამეტრი:

5. ფორმულებით (165), (166) და (167) უნდა გავიგოთ წნევის საერთო დანაკარგი p და ფორმულის (168) საშუალებით გავიგოთ H_b ;
6. ფორმულით (169) უნდა გავიგოთ საჭირო სიმძლავრე.

§ 18. მაგალითები

მაგალითი 29.

გამწევი ძრავის სიმძლავრე კავზე შეადგენს 20 ც. ძ. რას უდრის მისი გამწევი ძალა, თუ სიჩქარე უდრის $18 \frac{კმ}{ს}$?

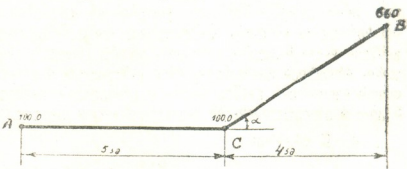
ამოხსნა: სიმძლავრის ფორმულის თანახმად გამწევი ძალა უდრის:

$$P = \frac{75 \cdot N}{\omega} = \frac{75 \cdot 20}{18 \cdot 1000} = 300 \text{ კგ.}$$

მაგალითი 30.

ნიადგავის გზაზე გადასატანია ორთქლის ქვაბი წონით 1,2 ტ. გზის პროფილი მოყვანილია ნახ. 134-ზე. შევარჩიოთ გამწევი საშუალება და განვსაზღვროთ დრო, რომელიც საჭიროა გადატანისათვის, ქვაბის მასალის გზის ზედაპირზე ხახუნის კოეფიციენტი უდრის $f_1 = 37$.

ამოხსნა: ნახაზის მიხედვით გზის პროფილი ორი ნაწილისაგან შედგება: ვაკე უბანი $A-C$ და აღმართიანი უბანი $C-B$. ვინაიდან მოძრაობის პირობები ამ უბნებისათვის სხვადასხვაა, განვარჩიოთ ყოველი უბნისათვის ცალკე უნდა ჩავატაროთ:



ნახ. 134. სქემა მაგ. № 30-სათვის.

1. გამწვევი ძალა P ტოლი უნდა იყოს მოძრაობის წინააღმდეგობის ძალისა. $A-C$ უბნისათვის განტოლების (96) თანახმად წინააღმდეგობის ძალა ხახუნის ძალას უდრის. ამიტომ ამ უბნისათვის გამწვევი ძალა ტოლი იქნება:

$$P_{A-C} = f_1 \cdot G = 0,37 \cdot 1200 = 445 \text{ კგ.}$$

$C-B$ უბნისათვის კი გამწვევი ძალა განტოლების (100) თანახმად ტოლი იქნება:

$$P_{C-B} = G(f_1 \cos \alpha + \sin \alpha).$$

ხახუნის მიხედვით გზის ქანობი ამ უბანზე ტოლია

$$i = \frac{660 - 100}{4000} = 0,14; \quad i = \operatorname{tg} \alpha = 0,14.$$

მაშასადამე, აღმართის კუთხე

$$\alpha = a \operatorname{rctg} 0,14 = 8^\circ,$$

აქედან:

$$P_{C-B} = 1200(0,37 \cdot \cos 8^\circ + \sin 8^\circ) \approx 600 \text{ კგ.}$$

2. თუ გამოვიყენებთ ცოცხალ გამწვევ ძალას (ხარის ან ცხენს) საპირო იქნება თეორიულად:

A-B უბანზე.

$$n_{\text{თ}} = \frac{P_{A-C}}{p} = \frac{445}{75} \approx 6 \text{ ცხენი ან ხარი.}$$

$p = 75$ კგ არის ერთი ხარის ან ცხენის გამწვევი ძალა მე-11 ცხრილიდან.

C-B უბანზე კი:

$$n_{\text{თ}} = \frac{P_{C-B}}{p} = \frac{600}{75} = 8 \text{ ცხენი ან ხარი.}$$

ერთ ქაპანში შეგებული ხარების ან ცხენების შეთანხმებული მუშაობა არ ხერხდება, ამიტომ, ფაქტიურად რამდენიმე ცხენის ან ხარის საერთო გამწვევი ძალა ნაკლები გამოდის, ვიდრე ცალკე ერთეულების გამწვევი ძალთა ჯამი. პრაქტიკა გვიჩვენებს, რომ საშუალოდ 4 ერთეული ერთად მუშაობის დროს ავითარებს გამწვევ ძალას 3 ერთეულის გამწვევ ძალთა ჯამის ტოლს, 5 კი—4 ერთეულისას. ამ მაგალითისათვის ფაქტიურად საპირო იქნება:

A-C უბანზე:

$$n_{A-C} = \frac{6 \cdot 4}{3} = 8 \text{ ცხენი ან ხარი.}$$

C-B უბანზე კი:

$$n_{C-B} = \frac{8 \cdot 5}{4} = 10 \text{ ცხენი ან ხარი.}$$



მაშასადამე, C წერტილში (აღმართის დასაწყისში) ქვებს დამატებით უნდა შეეგება ორი გამწევი ერთეული (ერთი უღელი ხარი ან ერთი წყვბლი ცხენი).

მოძრაობის სიჩქარე ორივე უბნისათვის მე-11 ცხრილის თანახმად ტოლი იქნება:

ცხენებისათვის $\omega_a = 1,1 \frac{\text{მ}}{\text{წმ}};$

ხარებისათვის $\omega_b = 0,8 \frac{\text{მ}}{\text{წმ}}.$

ახლა ქვების გადასატანად გამოვიყენოთ ტრაქტორი, რომელსაც იქვს სიმძლავრე ლილვზე $N_a = 20$ ც. დ. და სამი სიჩქარე:

$$I - \omega_1 = 1,8 \frac{\text{კმ}}{\text{ს}} = \frac{1,8 \cdot 1500}{3600} = 0,5 \frac{\text{მ}}{\text{წმ}};$$

$$II - \omega_2 = 4,75 \frac{\text{კმ}}{\text{ს}} = \frac{4,75 \cdot 1000}{3600} = 1,32 \frac{\text{მ}}{\text{წმ}};$$

$$III - \omega_3 = 7,0 \frac{\text{კმ}}{\text{ს}} = \frac{7,0 \cdot 1000}{3600} = 1,94 \frac{\text{მ}}{\text{წმ}}.$$

სიმძლავრე კავზე შეიძლება მივიღოთ:

$$N_3 = 0,6 N_a = 0,6 \cdot 20 = 12 \text{ ც. დ.}$$

მაშინ გამწევი ძალა ტრაქტორისა სხვადასხვა სიჩქარის დროს შესაბამისად ტოლი იქნება

$$I \text{ სიჩქარის დროს } P_1 = \frac{N_3 \cdot 75}{\omega_1} = \frac{12 \cdot 75}{0,5} = 1800 \text{ კგ};$$

$$II \text{ სიჩქარის დროს } P_2 = \frac{12 \cdot 75}{1,32} \approx 680 \text{ კგ};$$

$$III \text{ სიჩქარის დროს } P_3 = \frac{12 \cdot 75}{1,94} \approx 460 \text{ კგ}.$$

მაშასადამე, ტრაქტორი გასწევს ქვებს $A-C$ უბანზე მესამე სიჩქარით, $C-B$ უბანზე კი—მეორე სიჩქარით.

3. საერთო მანძილი, რომელიც უნდა გაიაროს ქვებმა უღრის

$$L = \overline{AC} + \frac{\overline{CB}}{\cos \alpha} = 5000 + \frac{4000}{0,99} = 9050 \text{ მ.}$$

გადატანის ხანგრძლიობა ტოლი იქნება:

$$\text{ცხენებისათვის—}\tau_a = \frac{L}{\omega_a} = \frac{9050}{1,1} \approx 8200 \text{ წმ} \approx 2 \text{ ს } 17 \text{ წთ.}$$

$$\text{ხარებისათვის} - \tau_6 = \frac{L}{\omega_6} = \frac{9050}{0,8} \cong 11300 \text{ წმ} \cong 3 \text{ ს } 8 \text{ წთ.}$$

ტრაქტორისათვის კი:

AC უბანს ტრაქტორი გაივლის

$$\tau'_6 = \frac{\overline{AC}}{\omega_2} = \frac{5000}{1,94} \cong 2580 \text{ წმ} \cong 43 \text{ წთ.}$$

C-B უბანს კი:

$$\tau''_6 = \frac{\overline{CB}}{\cos \alpha \cdot \omega_2} = \frac{4000}{0,99 \cdot 1,32} \cong 3070 \cong 51 \text{ წთ.}$$

საერთო ხანგრძლიობა ტრაქტორით ქვების გადატანისა ტოლი იქნება:

$$\tau_6 = \tau'_6 + \tau''_6 = 43 \text{ წთ} + 51 \text{ წთ} = 94 \text{ წთ} = 1 \text{ ს } 34 \text{ წთ.}$$

მაგალითი 21.

გადასაზიდია მარნიდან აუზებში ქაქა რაოდენობით 17 ტონა დღეში ვიწროლიანდაგიან რკინიგზაზე სვლით საგორებელი ურიკებით ტევადობით 0,75 მ³.

მარანი და აუზები მდებარეობენ ერთსა და იმავე დონეზე და დაშორებული არიან ერთიმეორისაგან მანძილით 800 მ. განესაზღვროთ ურიკებისა და მუშების საჭირო რაოდენობა.

ამოხსნა: 1. ურიკის ტევადობა წონით შეადგენს

$$G_1 = V_3 \cdot \gamma_6 = 0,75 \cdot 600 = 450 \text{ კგ.}$$

$\gamma_6 = 600 \frac{\text{კგ}}{\text{მ}^3}$ არის ქაქის ნაყარი წონა აჩენჩილ მდგომარეობაში.

2. ხელით საგორებელი ურიკისათვის მოძრაობის სიჩქარე დასაშვებია ზემოაღნიშნულის თანახმად $\omega = 0,75 \frac{\text{მ}}{\text{წმ}}$, ამიტომ ურიკის მოძრაობის ხანგრძლიობა პროგნოზირებული დატვირთულის, ისე დაცლილის, ტოლი იქნება:

$$\tau_2 = \tau_4 = \frac{L}{\omega} = \frac{600}{0,75} \cong 800 \text{ წმ} \cong 13 \text{ წთ.}$$

ურიკის დატვირთვა მივიღოთ ხელით ნიჩბების საშუალებით. მაშინ დატვირთვის ხანგრძლიობა შეგვიძლია მივიღოთ:

$$\tau_1 = 5 \text{ წთ.}$$

განტვირთვა მოხდება ურიკის აკენის გადმოყირავეებით. ამიტომ განტვირთვის ხანგრძლიობა შეგვიძლია მივიღოთ:

$$\tau_3 = 0,5 \text{ წთ.}$$

აქედან ურიკის ერთი მობრუნების ხანგრძლიობა ტოლი იქნება:

$$\tau = \tau_1 + \tau_2 + \tau_3 + \tau_4 = 5 + 13 + 0,5 + 13 = 31,5 \text{ წთ.}$$

ათსათიანი სამუშაო დღის (რთელის დროს) განმავლობაში ერთი ურთიერთობის კა გააკეთებს დღეში $\frac{10 \cdot 60}{31,5} \cong 19$ ბუნებას და გადაიტანს ქაქის რაოდენობით:

$$19 \cdot 450 = 8500 \text{ კგ} = 8,5 \text{ ტ.}$$

მაშასადამე, ურიკების რაოდენობა უნდა იყოს:

$$\frac{17}{8,5} = 2 \text{ ცალი.}$$

3. წევის ძალა ურიკისათვის განისაზღვრება ფორმულით (109):

$$P = W_{\text{საერთო}} = G_{\text{საერთო}} \left(\frac{d}{D} f_1 + \frac{f_2}{R} \right).$$

ცხრილიდან 10 ურიკის წონა არის $G_0 = 480$ კგ; $D = 30$ სმ; $d = 5$ სმ. ვინაიდან ურიკას აქვს მარტივი საკისარი, ამიტომ $f_1 = 0,3$ და $f_2 = 0,15$:

$$G_{\text{საერთო}} = G_1 + G_0 = 450 + 480 = 930 \text{ კგ.}$$

აქედან წევის ძალა ტოლი იქნება:

$$P = 930 \left(\frac{5}{30} \cdot 0,3 + \frac{0,15}{15} \right) \cong 56 \text{ კგ.}$$

ერთ მუშას შეუძლია განავითაროს ძალა $20 + 30$ კგ., ე. ი. საჭიროა $2 + 3$ მუშა.

მარტივი საკისრის მაგივრად რომ აგველო ბურთულებიანი საკისარი, რომლისთვისაც $f_1 = 0,02$, საჭირო წევის ძალა ტოლი გამოვიდოდა:

$$P = 930 \left(\frac{5}{30} \cdot 0,02 + \frac{0,15}{15} \right) \cong 12 \text{ კგ,}$$

ე. ი. სრულიად საკმარისი იქნებოდა ერთი მუშა.

მაგალითი 32.

ამოგხსნათ წინა მაგალითი იმ პირობით, რომ მარნისა და ქაქის აუზებს აქვთ მდებარეობა ნახ. 135-ის მიხედვით (ქაქა ასახილია აღმართში).

ამოხსნა: ვინაიდან აღმართის კუთხე მცირეა (იხ. ქვემოთ $\cos \alpha = 0,992$) გზის სიგრძეს ვიღებთ მისი ჰორიზონტალური პროექციის ტოლს და ამიტომ აქ შეიცვლება მხოლოდ საჭირო წევის ძალა.

1. საჭირო წევის ძალა განისაზღვრება განტოლებით (31):

$$P_a = G_{\text{საერთო}} (\mu_E \cos \alpha + \sin \alpha).$$

წევის კოეფიციენტი განტოლების (30) თანახმად ტოლია:

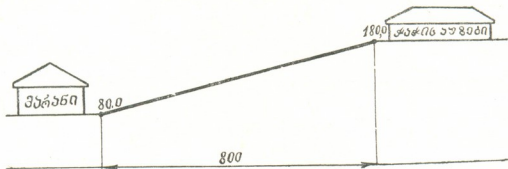
$$\mu_E = \frac{d}{D} f_1 + \frac{f_2}{R} = \frac{5}{30} \cdot 0,3 + \frac{0,15}{15} \cong 0,06.$$

გზის პროფილის ქანობი ნახაზის მიხედვით შეადგენს:

$$i = \frac{180 - 80}{800} = 0,125;$$

მაშასადამე,

$$\operatorname{tg} \alpha = 0,125,$$



ნახ. 135. სქემა მაგ. № 32-სათვის.

აქედან

$$\sin \alpha = \frac{\operatorname{tg} \alpha}{\sqrt{1 + \operatorname{tg}^2 \alpha}} = \frac{0,125}{\sqrt{1 + 0,125^2}} = 0,124;$$

$$\cos \alpha = \sqrt{1 - \sin^2 \alpha} = \sqrt{1 - 0,124^2} = 0,992.$$

31 განტოლებაში მიღებული სიდიდეების ჩასმით, გვექნება:

$$P_x = 930(0,06 \cdot 0,992 + 0,124) \cong 170 \text{ კვ.}$$

2. თუ ურიკას ხელით ავაგორებთ, ამისათვის საჭირო იქნება $\frac{170}{25} \cong 7$ მუშა. ვინაიდან ამდენი მუშა ერთ ურიკაზე ვერ იმუშავენ, მიზანშეწონილია ურიკის ასაგორებლად ვიხმართ მექანიკური ძალა, მაგ., ელექტროჯალამბარი: აღმართის ბოლოში დაედგამთ ჯალამბარს, რომლის ბაგირის ერთ ბოლოზე დამაგრებული იქნება დატვირთული, აღმართში ამომავალი, ურიკა, ხოლო მეორე ბოლოზე—დაღმართში ჩამავალი ცარიელი ურიკა.

3. ჯალამბარის ელექტრომობტორის სიმძლავრის გასაანგარიშებლად უნდა გავიგოთ წვევის ძალა, რომელიც საჭიროა ცარიელი ურიკის ჩასაგორებლად.

განტოლების (32) თანახმად საჭირო წვევის ძალა ტოლი იქნება:

$$P_g = G_{\text{საერთო}} (\mu_s \cos \alpha - \sin \alpha).$$

ვინაიდან ურიკა ცარიელია, ამიტომ $G_1 = 0$ და $G_{\text{საერთო}} = G_0 = 480$ კვ; აქედან

$$P_g = 480(0,06 \cdot 0,992 - 0,124) = -3,12 \text{ კვ}$$

ე. ი. ცარიელი ურიკა თავის ჩასაგორებლად არა თუ არ მოითხოვს ძალას, პირიქით, ავითარებს ძალას $-3,12$, რომელიც შეიძლება მოვიხმართ დატვირთული ურიკის ამოსაგორებლად. ვინაიდან ბავირი გაივლის გადამცემ



შექანიზმს, რომელშიაც ადგილი აქვს დანაკარგებს, ამიტომ ფაქტიურად შეგვიძლია მოვიხმაროთ ძალა მხოლოდ — $\frac{3,12}{0,95} = 3,03 \approx 30$ კგ, სადაც 0,95

არის ჯალამბარის გადაცემების ნაფარაუდები მარგი ქმედების კოეფიციენტი (უნდა დაზუსტდეს ჯალამბარის ანგარიშის შემდეგ). მაშასადამე, საანგარიშო წვეის ძალა საბოლოოდ ტოლი გამოდის

$$170 - 303 = 166,97 \text{ კგ,}$$

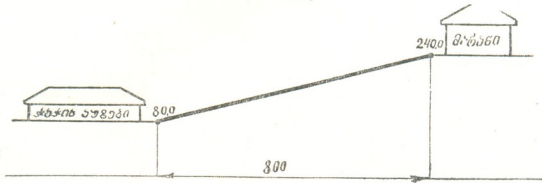
რომელზედაც უნდა ვიანგარიშოთ ჯალამბარი.

მაგალითი №3.

ძალიან ხშირად (განსაკუთრებით საქართველოს პირობებში) ჭაჭის აუზები მარნის ქვემოთ მდებარეობენ, ე. ი. დატვირთული ურიკა დაღმართში ჩამოდის, ცარიელი კი აღმართში ამოდის.

ამ შემთხვევაში შეიძლება გამოვიყენოთ წვეის საშუალება, რომელიც ფართოდაა გავრცელებული მალაროებში ბრემსბერგის სახელით. ზოგიერთ შემთხვევაში ბრემსბერგი სრულიად არ მოითხოვს ძალის ხარჯს.

ამოცხსნათ წინა მაგალითი იმ ცვლილებით, რომ ჭაჭის აუზებისა და მარნის მდებარეობა იქნება ნახ. 136-ის მიხედვით.



ნახ. 136. სქემა მაგ. № 3-სათვის.

ამოცხსნათ: 1. გზის პროფილის ქანობი ნახაზის მიხედვით შეადგენს.

$$i = \frac{240 - 80}{800} = 0,2; \text{ ე. ი. } \operatorname{tg} \alpha = 0,2$$

აქედან

$$\sin \alpha = 0,196 \text{ და } \cos \alpha = 0,98$$

$$\mu_F = 0,06 \text{ (წინა მაგალითიდან).}$$

2. წვეის ძალა, რომელიც საჭიროა დატვირთული ურიკის ჩასაგორებლად, ტოლია:

$$P_e = 960(0,06 \cdot 0,98 - 0,196) = -128 \text{ კგ,}$$

ე. ი. ურიკა თვით იძლევა ძალას.



3. წვეის ძალა, რომელიც საჭიროა ცარიელი ურიკის ამოსაგორებლად ტოლია:

$$P_0 = 480 (0,06 \cdot 0,98 + 0,196) \cong 122 \text{ კგ.}$$

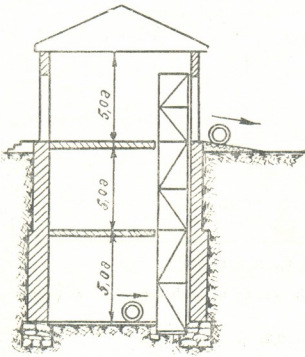
4. წინა მავალითისნაირად ავიღოთ გადაცემის მარგი ქმედების კოეფიციენტი=0,95, მაშინ დატვირთული ურიკა მოგვეცემს ძალას

$$\frac{-128}{0,95} \cong -122 \text{ კგ.}$$

სწორედ იმდენს, რამდენიც საჭიროა ცარიელი ურიკის ამოსაგორებლად. მაშასადამე, აქ საჭირო იქნება მხოლოდ საწყისი ბიძგის მიცემა, დამღვარი მოძრაობა კი მოხდება ყოველგვარი დამატებითი ძალის გარეშე.

მაგალითი 34.

გავიანგარიშოთ ლიფტი, რომელმაც სარდაფის მეორე სართულიდან მიწისზედა პირველ სართულში უნდა აიტანოს 50 დკლ ტევადობის კასრებით ღვინო რაოდენობით 3000 $\frac{\text{დკლ}}{\text{ს}}$ (ნახ. 137).



ამოხსნა: 1. ასატანი კასრების რაოდენობა შეადგენს

$$n = \frac{3000}{50} = 60 \text{ კასრი.}$$

2. დავუშვათ წინასწარი ვარაუდით, რომ ერთდროულად ბაქანმა უნდა აიტანოს 4 კასრი. მაშინ, თუ ცარიელი კასრის წონას ავიღებთ 100 კგ, ასაწვევი ტვირთის წონა ტოლი იქნება:

$$Q = 4 (500 + 100) = 2400 \text{ კგ.}$$

ბაქნის საკუთარი წონა ავიღოთ 20% ტვირთის წონისა:

$$P = 0,2 Q = 0,2 \cdot 2400 = 480 \text{ კგ.}$$

ნახ. 137. სქემა მაგ. № 34-სათვის.

აქედან ლიფტის საერთო ტვირთშიდაობა შეადგენს

$$P + Q = 480 + 2400 \cong 3000 \text{ კგ.}$$

ამ ტვირთშიდაობის მიხედვით ცხრ. 14-ის თანახმად ვირჩევთ ლიფტის მოძრაობის სიჩქარეს

$$\omega = 0,25 \frac{\text{მ}}{\text{წმ.}}$$

3. მივიღოთ ამწევი ბაქნის დატვირთვისათვის (კასრების შეგორებისათვის) საჭირო დრო: $\tau_1 = 80$ წმ. ტვირთის აწევისათვის საჭირო დრო ტოლი იქნება:

$$\tau_2 = \frac{H}{\omega} = \frac{10}{0,25} = 40 \text{ წმ.}$$

ამწევი ბაქნის განტვირთვისათვის (კასრების გამოგორებისათვის) საჭირო დრო: $\tau_3 = \tau_1 = 80$ წმ. დაკლილი ბაქნის ჩამოსვლისათვის საჭირო დრო: $\tau_4 = \tau_2 = 40$ წმ.

ამწევი ბაქნის ერთი შემობრუნებისათვის საჭირო დრო ტოლი იქნება:

$$\tau = \tau_1 + \tau_2 + \tau_3 + \tau_4 = 80 + 40 + 80 + 40 = 240 \text{ წმ} = 4 \text{ წთ.}$$

4. ამწევი ბაქანი გააკეთებს ერთ საათში

$$k = \frac{60}{\tau} = \frac{60}{4} = 15 \text{ გზობას.}$$

5. ერთდროულად ბაქანმა უნდა აიტანოს:

$$\frac{n}{k} = \frac{60}{15} = 4 \text{ კასრი.}$$

მაშასადამე, ვარაუდი სწორია (თუ განსხვავება გამოვიდა, ვარაუდი უნდა შეიცვალოს და ანგარიში თავიდან უნდა გაკეთდეს).

6. ბაქნის გაბარიტები გვემაში იქნება ნახ. 138-ის მიხედვით.

7. საპირწონეს წონა ფორმულის (126) თანახმად ტოლი უნდა იყოს ($C=0,4$):

$$G = 480 + 0,4 \cdot 2400 = 1440 \text{ კგ.}$$

8. ჯალამბარის გამწევი ძალა ფორმულის (27) მიხედვით ტოლი იქნება:

$$S = 480 + 2400 - 1440 = 1440 \text{ კგ.}$$

9. საჭირო სიმძლავრე ფორმულით (128) შეადგენს ($\eta=0,6$):

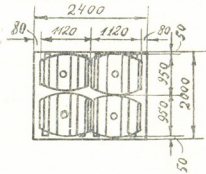
$$N = \frac{1440 \cdot 0,25}{75 \cdot 0,6} = 8 \text{ ტ. ძ.}$$

ანუ ფორმულის (7) თანახმად:

$$N = \frac{8}{1,36} \cong 6 \text{ კვ.}$$

მაგალითი 35.

გავიანგარიშოთ ლენტეხის ტრანსპორტიორი, რომელმაც უნდა გადაზიდოს 100 მ. მანძილზე და 5 მ სიმაღლეზე ჰაჰა რაოდენობით 20 ტ. დატვირ-



ნახ. 138. სქემა ბაგ. № 34-სათვის.



თვა ხდება ძაბრის საშუალებით (ნახ. 95), განტვირთვა კი ტრანსპორტიორის ბოლოში ღარზე (ნახ. 96).

ამოხსნა: 1. განვსაზღვროთ ლენტის სიგანე. ფორმულის (134) თანახმად ლენტის სიგანე ტოლია:

$$B = \sqrt{\frac{Q}{576 \cdot \gamma_E \cdot \omega \cdot \operatorname{tg} \frac{\rho_B}{\delta}}} \quad (მ).$$

აეილოთ:

$$\gamma_E = 0,6 \left(\frac{\delta}{\delta^2} \right);$$

$$\omega = 1,0 \left(\frac{\delta}{\delta^2} \right) \quad (\text{ცხრილი 19}).$$

$$\rho_B = 30^\circ \quad (\text{პირობით})$$

$$B = \sqrt{\frac{20}{576 \cdot 0,6 \cdot 1,0 \cdot 0,268}} \cong 0,47 \text{ მ.}$$

სტანდარტის მიხედვით ვიღებთ უახლოეს ზომის სიგანის ლენტს $B=500$ მმ. ქაქა უნდა დალაგდეს ლენტზე $b=0,8$ $B=0,8 \cdot 500=400$ მმ სიგანით.

2. მე-17 ცხრილის მიხედვით ვარაუდად ვიღებთ შუასადებების რაოდენობას $i=3$.

3. მე-14 ცხრილის მიხედვით, თუ ქაქას II-ე კატეგორიას მივაკუთვნებთ, ავიღებთ შემონაფენების სისქეს:

$$\text{გარშემონაფენის სისქე } a_3 = 1,5 \text{ მმ};$$

$$\text{შიგაშემონაფენის სისქე } a_3 = 0,75 \text{ მმ.}$$

4. ლენტის საერთო სისქე ფორმულის (131) თანახმად ტოლი იქნება:

$$a = 1,25 \cdot 3 + 1,5 + 0,75 = 6 \text{ მმ.}$$

5. დოლის დიამეტრი ფორმულის (132) თანახმად:

$$D = 125 \cdot 3 = 375 \text{ მმ.}$$

6. განვსაზღვროთ ტრანსპორტიორისათვის საჭირო სიმძლავრე: ფორმულის (138) თანახმად:

$$N_1 = 0,015 \cdot 100 \cdot 1 = 1,5 \text{ კვ,}$$

სადაც $k=0,015$ აღებულია 21-ე ცხრილიდან ფორმულის (138ა) თანახმად

$$N_2 \cong 0,00015 \cdot 20 \cdot 100 = 0,3 \text{ კვ.}$$

ფორმულის (138ბ) თანახმად:

$$N_3 \cong 0,0027 \cdot 20 \cdot 5 = 0,27 \text{ კვ.}$$

ფორმულის (138გ) თანახმად:

$$N'_0 = 1,5 + 0,3 + 0,27 \cong 2,1 \text{ კვ.}$$

ამ ფორმულაში, ვინაიდან $L > 40$ მ, ამიტომ $K_2 = 1$; რადგანაც $N_1 = 0$, ამიტომ $N_0 = N'_0 = 2,1$ კვ.

ძრავის სიმძლავრე ტრანსპორტიორისათვის ფორმულის (138ბ) თანახმად ტოლი იქნება:

$$N = 1,2 \frac{2,1}{0,8} \cong 3,2 \text{ კვ.}$$

ელმოტორების კატალოგის მიხედვით უახლოესი სიმძლავრის ელმოტორს აქვს შემდეგი მაჩვენებლები:

$$N = 3,6 \text{ კვ; } n = 1440 \frac{\text{ბრ}}{\text{წთ.}}$$

7. შევამოწმოთ ნავარაუდევ შუასაღებთა რაოდენობა ფორმულით (129):

$$i = 1,1 \frac{m \cdot S_{max}}{B \sigma_{გაგ}}$$

ფორმულის (130) თანახმად:

$$S_{max} = 102 \frac{2,1}{1} \cdot 0,97 \frac{2,72^{0,1 \cdot 3,14}}{2,72^{0,1 \cdot 3,14} - 1} \cong 850 \text{ კვ.}$$

მე-15 ცხრილით — $m = 9$;

მე-16 ცხრილით — $\sigma_{გაგ} = 55 \frac{\text{კვ}}{\text{სმ}}$.

აქედან

$$i = 1,1 \frac{9 \cdot 850}{50 \cdot 55} \cong 3,08,$$

მაშასადამე, ვარაუდი სწორია.

8. წამყვანი დოლის ღერძის ბრუნვათა რიცხვი ტოლია:

$$n = \frac{60 \cdot \omega}{\pi \cdot D} = \frac{60 \cdot 1}{3,14 \cdot 0,375} \cong 50 \frac{\text{ბრ}}{\text{წთ.}}$$

ელმოტორიდან წამყვანი ღერძისაკენ გადაცემის რიცხვი ტოლია:

$$\frac{50}{1440} \cong \frac{1}{2,9},$$

რაზედაც უნდა იყოს გაანგარიშებული გადაცემა.

მაგალითი 36.

ფირფიტებიანი ტრანსპორტიორი აწვდის ლიტრიან ბოთლებს ჩამომსხმელ მანქანას სიჩქარეთ $0,25 \frac{\text{მ}}{\text{წმ}}$ 100 მ მანძილზე და 5 მ სიმაღლეზე. რამ-

დენ ბოთლს მიაწვდის ტრანსპორტიორი ერთ საათში და რა სიმძლავრე დასჭირდება მას?

ამოხსნა: რაოდენობა ბოთლებისა, რასაც ტრანსპორტიორი ერთ საათში მიაწვდის განისაზღვრება ფორმულით (137):

$$m = \frac{3600 \cdot \omega}{a}$$

ბოთლები ჩამწკრივებულია ერთ რიგში, მკიდროდ ერთმანეთთან. ლიტრიანი ბოთლის ფუძის დიამეტრი უდრის 9 სმ. მაშასადამე, $a = 0,09$ მ.

აქედან:

$$m = \frac{3600 \cdot 0,25}{0,09} = 10000 \text{ ცალი.}$$

ბოთლი იწონის 0,5 კვ. მაშასადამე, ტრანსპორტიორის წონითი მწარმოებლობა ტოლი იქნება:

$$Q = 10000 \cdot 0,5 = 5000 \frac{\text{კვ}}{\text{ს}} = 5 \frac{\text{ტ}}{\text{ს}}.$$

2. ტრანსპორტიორისათვის საჭირო ძრავის სიმძლავრე განისაზღვრება ფორმულით (138ზ):

$$N = k \frac{N_0}{\eta}$$

სიმძლავრე N_0 განისაზღვრება ფორმულით (141)

$$N_0 = 0,0024 \cdot 87 \cdot 0,25 \cdot 100 + 0,003 \cdot 5 \cdot (0,11 \cdot 100 + 5) + 0,006 \cdot 5 \cdot 0,09 = 5,22 + 0,24 + 0,003 \cong 5,5 \text{ კვ.}$$

ამ ფორმულაში

$$q_0 = 80 B + 80 = 80 \cdot 0,09 + 80 = 87.$$

ძრავის სიმძლავრე:

$$N = 1,2 \frac{5,5}{0,8} \cong 8 \text{ კვ.}$$

მაგალითი 37.

ჯაჭვიანი ელევატორი სატაცების საშუალებით (ნახ. 124) ეზიდება 50 დკლ რაოდენობის ღვინით სავსე კასრებს 10 მ სიმაღლეზე სიჩქარით $0,1 \frac{\text{მ}}{\text{წმ}}$. რამდენ კასრს აიტანს საათში ელევატორი და რამდენი დასჭირდება მას სიმძლავრე, თუ მანძილი სატაცებს შორის შეადგენს 2,5 მ?

ამოხსნა: 1. ელევატორის ცალობითი მწარმოებლობა ფორმულის (149) თანახმად ტოლი იქნება:

$$m = \frac{3600 \cdot 0,1}{2,5} = 144 \frac{\text{ცალი}}{\text{ს}}.$$

წონითი მწარმოებლობა კი ტოლი იქნება:

$$Q = 144 \cdot 600 = 86400 \frac{\text{კგ}}{\text{ს}} = 86,4 \frac{\text{ტ}}{\text{ს}}$$

2. საჭირო სიმძლავრე ფორმულის (150) თანახმად შეადგენს

$$N = \frac{86,4 \cdot 10}{270 \cdot 0,7} \cong 4,6 \text{ ტ. ძ.}$$

მაგალითი 38.

გავიანგარიშოთ შნეკი, რომელიც 40 მ მანძილზე ეზიდება ჰორიზონტალური მიმართულებით ქაქას რაოდენობით $\frac{\text{ტ}}{\text{ს}}$.

ამოხსნა: 1. განვსაზღვროთ შნეკის დიამეტრი. ფორმულიდან (154) შნეკის დიამეტრი ტოლია:

$$D = \sqrt[3]{\frac{Q}{47 \cdot \gamma_r \cdot \psi \cdot \varphi \cdot n}} \text{ მ.}$$

ავილოთ:

$$\gamma_r = 0,6 \frac{\text{ტ}}{\text{მ}^3};$$

$$\psi = 0,3;$$

$$\varphi = 0,5;$$

$$n = 100 \frac{\text{ბრ}}{\text{წთ}}$$

$$D = \sqrt[3]{\frac{6}{47 \cdot 0,6 \cdot 0,3 \cdot 0,5 \cdot 100}} \cong 0,242 \text{ ვილებით } 0,25 \text{ მ.}$$

2. საჭირო სიმძლავრე ფორმულის თანახმად (155) შეადგენს

$$N = \frac{WQL}{270} + \frac{QH}{270}$$

ავილოთ $W=3$ (პირობით), ვინაიდან შნეკი ჰორიზონტალურია $H=0$,

$$N = \frac{3 \cdot 6 \cdot 40}{270} \cong 2,65 \text{ ტ. ძ.}$$

თავი მეოთხე

თხევადი მასალების გაღაზიღვა

§ 19. ღვუშიანი ტუმბოები

ღვუშიანი ტუმბოს მოქმედების პრინციპი. ღვუშიანი ტუმბო წარმოადგენს ცილინდრს, რომელშიაც სწორხაზოვნად მოძრაობს ღვუში. ღვუში მჭიდროდ ეკვრის ცილინდრის კედლებს, ამიტომ ცილინდრში ღვუშის ცვლადი-უკუქცევადი მოძრაობის მეოხებით ხდება როგორც სითხის შეწოვა ცილინდრში, ისე სითხის გამოდევნა ცილინდრიდან.

ღვუშიანი ტუმბოების კლასიფიკაცია. ღვუშიანი ტუმბოების კონსტრუქციები მრავალია. სხვადასხვა ნიშანთვისების მიხედვით ღვუშიანი ტუმბოები შემდეგ ჯგუფებად იყოფა:

ღვუშის მდებარეობის მიხედვით:

1. ვერტიკალური ტუმბოები;
2. ჰორიზონტალური ტუმბოები

ღვუშის ფორმის მიხედვით:

1. ღვუშიანი ტუმბოები (დისკოს ფორმის ღვუში);
2. პლუნჟერიანი ტუმბოები (პლუნჟერის ფორმის ღვუში).

ძრავადან ტუმბოსაკენ ამძრავი ძალის გადაცემის მიხედვით:

1. საძრავი ტუმბოები (ტუმბოს ამოძრავება ხდება ძრავადან ლეიღური ან სხვა რაიმე გადაცემის საშუალებით);
2. პირდაპირ მოქმედი ტუმბოები (ტუმბო უშუალოდ შეერთებულია ძრავასთან).

მრუდმხარა ლიღვის ბრუნვათა რიცხვის მიხედვით:

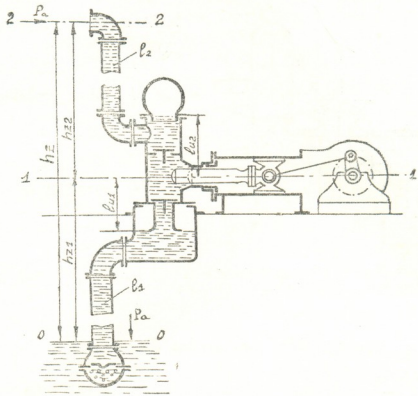
1. ნელმავალი ტუმბოები : $n = (40 \div 60) \frac{\text{ბრ}}{\text{წთ}}$;
2. ჩვეულებრივი ტუმბოები : $n = (60 \div 160) \frac{\text{ბრ}}{\text{წთ}}$;
3. სწრაფმავალი ტუმბოები : $n = (160 \div 250) \frac{\text{ბრ}}{\text{წთ}}$.

მოქმედების წესის მიხედვით:

1. ცალმაგქმედების, ანუ მარტივქმედების ტუმბოები;
2. ორმაგქმედების ტუმბოები;
3. ღიფერენციალური ტუმბოები.



ცალმაგქმედების ანუ მარტივქმედების ტუმბოები ეწოდება ისეთ ტუმბოებს, რომლებშიაც ლილვის ერთი ბრუნვის ანდა დგუშის ორი სვლის განმავლობაში სითხე ერთხელ შეიწოვება ტუმბოში და ერთხელ გამოიღვენება ტუმბოდან. ნახ. 139-ზე მოყვანილია ცალმაგქმედების ჰორიზონტალური პლუნ-
საქართველოს მეცნიერებათა აკადემია



ნახ. 139. ცალმაგქმედების ჰორიზონტალური პლუნქერიანი საძრავი ტუმბოს სქემა.

ქერიანი საძრავი ტუმბოს სქემა. როდესაც დგუში მარცხნიდან მარჯვნივსავე მოძრაობს ცილინდრში იქმნება გაუხშობება. სითხის ღია ზედაპირზე მოქმედი ატმოსფერული წნევის ძალის (p_a) გავლენით სითხე შედის ტუმბოს შემწოვ მილში; სითხე გააღებს შემწოვ სარქველს და გააყვებს ცილინდრს. ამ დროს ტუმბოს დამკირხნი სარქველი დახურულია. როდესაც დგუში უკან დაბრუნდება (დგუშის მოძრაობა მარცხნისაკენ), ის მიაწვება ცილინდრში შემწოვილ სითხეს, რის გამოც შემწოვი სარქველი დაიხურება, დამკირხნი კი გაიღება და სითხე ცილინდრიდან დამკირხნ მილსაღენში გადავა. ატმოსფერული წნევის საშუალებით ტუმბოში სითხის შედინებას შეწოვა ეწოდება. ტუმბოდან დგუშის საშუალებით სითხის გამოღვენას კი—დაჭირხნა.

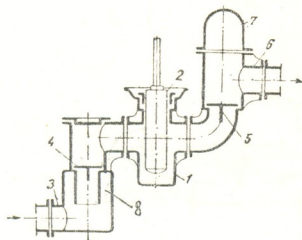
ნახ. 140-ზე მოყვანილია ცალმაგქმედების პლუნქერიანი ვერტიკალური საძრავი ტუმბოს სქემა.

ნახ. 140-ზე ციფრებით აღნიშნულია:

- 1—ტუმბოს ცილინდრი (კორპუსი); 2—პლუნქერი; 3—შემწოვი მილი;
- 4—შემწოვი სარქველი; 5—საჭირხნა სარქველი; 6—საჭირხნი მილი; 7—ჰაერის ხუფი დამკირხნ მხარეზე; 8—ჰაერის ხუფი შემწოვ მხარეზე.

ტუმბოს მწარმოებლობა ეწოდება სითხის იმ რაოდენობას, რომელსაც ტუმბო აწვდის დროის ერთეულში. მწარმოებლობა განიზომება

$$V_{\text{ეს}} = \left(\frac{\text{მ}^3}{\text{წმ}} \right) \text{ ანდა } Q = \left(\frac{\text{ლ}}{\text{წთ}} \right).$$



ტუმბოს მწარმოებლობის გამოსარკვევად აღვნიშნოთ:

D —(მ)—დგუშის დიამეტრი;

F —(მ²)—დგუშის ფართობი

$$\left(F = \frac{\pi D^2}{4} \right);$$

d —(მ)—დგუშის ჰოკის დიამეტრი;

f —(მ²)—დგუშის ჰოკის ფართობი

$$\left(f = \frac{\pi d^2}{4} \right);$$

ნახ. 140. ცალმაგქმედების ვერტიკალური პლუნჯერიანი სამრავი ტუმბოს სქემა.

S —(მ)—დგუშის სვლა;

n — $\left(\frac{\text{ბრ}}{\text{წთ}} \right)$ ლილვის ბრუნვათა რიცხვი ანუ დგუშის ორმაგსვლათა რაოდენობა წუთში;

$V_{\text{ეს}} = \left(\frac{\text{მ}^3}{\text{წმ}} \right)$ —სითხის ხარჯი;

$Q_{\text{თ}} = \left(\frac{\text{ლ}}{\text{წთ}} \right)$ —სითხის რაოდენობა, რომელსაც ტუმბო უნდა აწვდიდეს თეორიულად;

$Q_{\text{ფ}} = \left(\frac{\text{ლ}}{\text{წთ}} \right)$ —სითხის რაოდენობა, რომელსაც ტუმბო ფაქტიურად აწვდის;

მაშინ ცალმაგქმედების ტუმბოს მწარმოებლობა ტოლი იქნება:

$$V_{\text{ეს}} = \frac{F \cdot S \cdot n}{60} \left(\frac{\text{მ}^3}{\text{წმ}} \right).$$

სხვადასხვა მიზეზის გამო ტუმბო ფაქტიურად ნაკლებ სითხეს აწვდის, ვიდრე ეს თეორიულად არის გაანგარიშებული, ე. ი. $Q_{\text{ფ}} = \eta_1 Q_{\text{თ}}$, სადაც $\eta_1 = \frac{Q_{\text{ფ}}}{Q_{\text{თ}}}$ არის მიწოდების კოეფიციენტი.

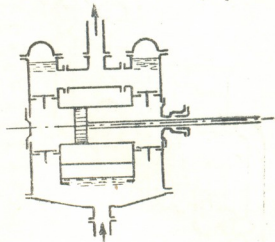
მაშასადამე, ტუმბო ფაქტიურად აწვდის სითხეს რაოდენობით:

$$Q_{\text{ფ}} = 1000 F \cdot S \cdot n \cdot \eta_1 \left(\frac{\text{ლ}}{\text{წთ}} \right) \quad (171)$$

ანუ

$$Q_{\text{თ}} = 1000 \frac{\pi D^2}{4} S \cdot n \cdot \eta_1 \cdot \left(\frac{L}{\psi_{\text{თ}}} \right) \quad (171a)$$

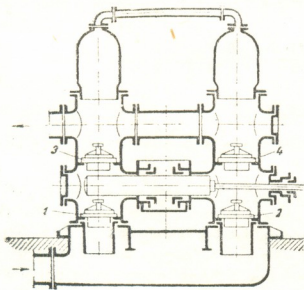
ორმაგვმედების ტუმბოები. ორმაგვმედების ტუმბოების სქემა მოყვანილია ნახ. 141, 142 და 143-ზე. ერთი მათგანი (ნახ. 141) არის დისკოიანი დგუშით ჰორიზონტალური, მეორე (ნახ. 142) პლუნჟერიანი ჰორიზონტალური და მესამე (ნახ. 143) პლუნჟერიანი ვერტიკალური. ნახ. 142-ზე ციფრებით 1, 2, 3 და 4 აღნიშნულია ტუმბოს სარქველები. ორმაგვმედების ტუმბოებში სითხის როგორც შეწოვა, ისე დაქირხნა დგუშის ყოველ სვლაზე ხდება. დგუშში ამ ტუმბოებში ორივე მხრით მუშაობს: როდესაც დგუში მარცხნიდან მარჯვნივსავე მოძრაობს (ნახ. ნახ. 141 და 142), სითხე ცილინდრის მარცხენა ნაწილში შეიწოვა, ცილინდრის მარჯვენა ნაწილიდან კი დაჰქირხნ მილში გადაიდევნება; როდესაც დგუში მარჯვნიდან მარცხნივსავე დაბრუნდება, ცილინდრის მარჯვენა ნაწილში სითხე შეიწოვება, ხოლო მარცხენა ნაწილიდან კი დაჰქირხნ მილში გადაიდევნება. მაშასადამე, ლილვის ერთი ბრუნვის განმავლობაში ტუმბო ორჯერ შეიწოვს და ორჯერ დაჰქირხნის სითხეს.



ნახ. 141. ორმაგვმედების დისკოიანი დგუშით ჰორიზონტალური ტუმბოს სქემა.

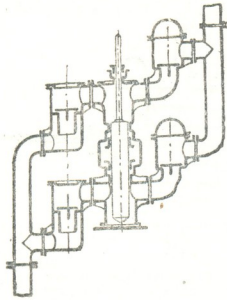
ცალმაგვმედების ტუმბოსთან შედარებით, ორმაგვმედების ტუმბო უფრო

თანაბრად აწევის სითხეს. დისკოიანი ტუმბოში (ნახ. 141) ცილინდრი უფრო მოკლე გამოდის, ვიდრე პლუნჟერიანში (ნახ. 142) და, მაშასადამე, დისკოიანი ტუმბო პლუნჟერიანი ტუმბოზე უფრო იაფი ჯდება. სამაგიეროდ დისკოიანი ტუმბოში დგუშისა და ცილინდრის შეშვადრეობა მთლიანად ცილინდრის შიგნით არის მოთავსებული; ეს აძნელებს თვალყურის დევნებას და, ხშირად, სითხე იპარება დგუშის ერთი მხრიდან მეორეში, რაც ამცირებს ტუმბოს მწარმოებლობას. სითხის ეს გაპარვა მით უფრო მეტია, რაც უფრო მეტია წნევა, რომელსაც ტუმბო ავითარებს. ვარდა ამისა, მუშაობის



ნახ. 142. ორმაგვმედების პლუნჟერიანი ჰორიზონტალური ტუმბოს სქემა.

დროს დგუში მუდამ სრიალებს ცილინდრის ზედაპირზე. ამიტომ აუცილებელია, რომ დგუში და ცილინდრი მუდამ იყენენ ურთიერთხუსტად მორგებულნი. შექვიდროების შესაკეთებლად ამ ტუმბოში აუცილებლად საჭიროა ცილინდრიდან დგუშის ამოღება. ყველა ამის გამო დისკოიან ტუმბოს უფრო დაბალ წნევაზე (არა უმეტეს 60 მ) იყენებენ.



ნახ. 143. ორმაგქმედების პლუნჟერიანი ვერტიკალური ტუმბოს სქემა.

პლუნჟერიან ტუმბოში პლუნჟერი ფედის ცილინდრში გარეგანი ჩოხალებით და არ ეხება ცილინდრის კედლებს; ჩოხალის დანატენის გამოცემა და ჩოხალის მოჭერა შეიძლება განხორციელდეს ტუმბოს დაუმუღვლად. ამიტომ როდესაც წნევა 60 მ აღემატება, პლუნჟერიანი ტუმბო უნდა დაიდგას, მიუხედავად მისი სიძვირისა. ორმაგქმედების ტუმბოში (ნახ. 142) დგუშის მარჯვნივ გადაადგილების დროს ცილინდრის მარცხენა მხარეში შეიწოვა სითხე რაოდენობით: $F \cdot S$ (მ³) და ამავე დროს ცილინდრის მარჯვენა მხრიდან საჭირხნ მილსადენში გადიდევნება სითხე რაოდენობით: $(F-f)S$ (მ³). როდესაც დგუში მარცხნისაკენ წამოვა, მაშინ ცილინდრის მარჯვენა მხარეში შეიწოვა სითხე რაოდენობით: $(F-f)S$ (მ³) და ამავე დროს ცილინდრის მარცხენა მხრიდან საჭირხნ მილსადენში გადიდევნება სითხე რაოდენობით $F \cdot S$ (მ³). მაშასადამე, ტუმბოს ლივრის ერთი ბრუნვის განმავლობაში, ტუმბო მიაწვდის საჭირხნ მილსადენში სითხეს რაოდენობით:

$$(F-f)S + FS = (2F-f)S \text{ (მ}^3\text{)},$$

ერთ წამში კი:

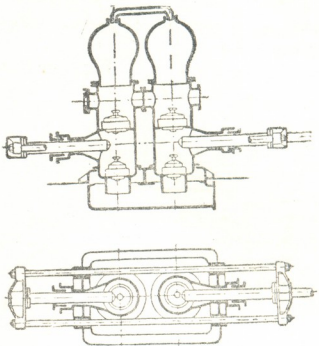
$$V_{\text{გ}} = \frac{(2F-f) \cdot S \cdot n}{60} \left(\frac{\text{მ}^3}{\text{წმ}} \right);$$

სითხის ფაქტიური მიწოდება კი შეადგენს:

$$Q_{\text{ფ}} = 1000 (2F-f) S \cdot n \cdot \eta_1 \left(\frac{\text{ლ}}{\text{წთ}} \right). \quad (172)$$

როგორც ზემოთ დავინახეთ, ორმაგქმედების ტუმბოს მოყვანილ კონსტრუქციებში სითხის მიწოდება არ არის თანაბარი: ცილინდრის ის მხარე, სადაც ჰოკი არ არის, ერთ სვლაზე იძლევა სითხეს რაოდენობით $F \cdot S$ (მ³), ცილინდრის ის მხარე კი, რომელშიაც ჰოკი არის, იძლევა სითხის რაოდენობას: $(F-f)S$ (მ³), რადგანაც მოცულობის ნაწილი თვით ჰოკს უჭირავს. სითხის მიწოდების სრული გათანაბრებისათვის შეგვიძლია დგუშს მეორე მხარეზე დაც ვაფუკეთოთ ჰოკი (კონტრჰოკი, ორთქლის მანქანების მსგავსად). მაშინ ცილინდრის თითოეული მხარე ერთ სვლაზე მიაწვდის სითხეს ერთი და

იმზე რაოდენობით: $(F-f)S$ (მ³). ასეთი წესით სითხის მიწოდების გათანაბრება მიუღებელია, რადგანაც მცირდება ტუმბოს მწარმოებლობა: ლილვის ერთი ბრუნვის განმავლობაში სითხის მიწოდება მოიკლებს რაოდენობით fS (მ³), გარდა ამისა, კონტრუქც დაპირდება საკუთარი ჩობალი, რაც აძვირებს როგორც ტუმბოს დამზადებას, ისე მის ექსპლუატაციას. ამიტომ უფრო მიზანშეწონილია სითხის მიწოდების გათანაბრება მოვანდინოთ ისეთი წესით, როგორც ეს განხორციელებულია ნახ. 144-ზე მოყვანილ ტუმბოში: ცილინდრში დადის ორი პლუნჯერი, რომლებიც შტანგებით არიან ერთმანეთთან დაკავშირებული. ორი პლუნჯერი სითხეს შეიწოვს და დაპირხნის თავისი იმ ნაწილით, რომელსაც ეკოც არა აქვს. ამიტომ თითოეული პლუნჯერი ყოველ ერთ სვლაზე შეიწოვს და დაპირხნის სითხეს ერთი და იმავე რაოდენობით: FS (მ³). ასეთი ტუმბოს მწარმოებლობა ტოლი იქნება:



ნახ. 144. ორმაკმედევის ჰორიზონტალური ტუმბო, რომლის პლუნჯერები შტანგით არიან შეერთებული.

$$V_{\text{შ}} = \frac{2F \cdot S \cdot n}{60} \left(\frac{\text{მ}^3}{\text{წთ}} \right).$$

სითხის ფაქტიური მიწოდება კი:

$$Q_{\text{ფ}} = 1000 \cdot 2F \cdot S \cdot n \cdot \eta_1 \left(\frac{\text{ლ}}{\text{წთ}} \right). \quad (173)$$

აღსანიშნავია, რომ ამ კონსტრუქციის ტუმბოში გარდა სითხის მიწოდების გათანაბრებისა, მწარმოებლობა გადიდებულია რაოდენობით fS (მ³) ლილვის თითოეულ ერთ ბრუნვაზე, ანუ $\frac{f \cdot S \cdot n}{60} \left(\frac{\text{მ}^3}{\text{წთ}} \right)$, რადგანაც ცილინდრი ორივე მხრიდან სითხით არის გავსებული.

დიფერენციალური ტუმბოები. დიფერენციალური ტუმბოს სქემა მოყვანილია ნახ. 145-ზე. ამ ტუმბოში, ცილინდრში სითხის შეწოვა ხდება ერთ სვლაზე, დაპირხნა კი ორ სვლაზე. როდესაც დგუში მარჯვნივსაა მოძრაობს, ცილინდრის მარცხენა მხარეში შეიწოვს სარქველის (1) საშუალებით შეიწოვა სითხე რაოდენობით: $F \cdot S$ (მ³), ამავე დროს ცილინდრის მარჯვენა მხრიდან საპირხნ მილსადენში გადიდვენება სითხე რაოდენობით $(F-f)S$ (მ³). როდესაც დგუში მარცხენისაა მოძრაობს, ცილინდრის მარცხენა მხრიდან საპირხნი სარქველის (2) საშუალებით გადიდვენება სითხე რაოდენობით: FS (მ³), მაგრამ ამავე დროს ცილინდრის მარჯვენა მხარეში თავისუფლდება მოცუ-

ლობა, $(F-f)S$ (მ^2), რომელსაც დიჰერის ცილინდრის მარცხენა მხრიდან განდევნილი სითხე. მაშასადამე, საჭირბნ მილს დგუშის მარცხნისაკენ მოძრაობის დროს მიეწოდება სითხე მხოლოდ:

$$FS - (F-f)S = fS \text{ (მ}^2\text{)}.$$

ამრიგად, ლილვის ერთი ბრუნვის განმავლობაში ტუმბო მიაწვდის სითხეს რაოდენობით

$$(F-f)S + fS = FS \text{ (მ}^2\text{)},$$

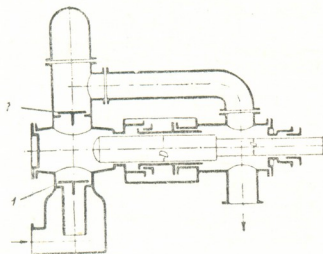
ერთ წუთში კი:

$$V_{\text{გვ}} = \frac{F \cdot S \cdot n}{60} \left(\frac{\text{მ}^3}{\text{წმ}} \right).$$

სითხის ფაქტიური მიწოდება ტოლია:

$$Q_{\text{გვ}} = 1000 F \cdot S \cdot n \cdot \eta \left(\frac{\text{ლ}}{\text{წთ}} \right), \quad (174)$$

ე. ი. დიფერენციალურ ტუმბოს ისეთივე მწარმოებლობა აქვს, როგორც ცალმაგქმედების ტუმბოს. მაგრამ დიფერენციალური ტუმბო სითხეს აწვდის ყოველ სვლაზე, ცალმაგქმედების ტუმბო კი



ნახ. 145. დიფერენციალური ტუმბოს სქემა.

მხოლოდ ერთხელ ორ სვლაზე, ე. ი. დიფერენციალური ტუმბო უფრო თანაბრად აწვდის სითხეს. თუ შევარჩევთ დგუშისა და ჭოკის ზომებს ისეთნაირად, რომ: $f = \frac{F}{2}$, მაშინ ცილინდრის მარცხენა მხარე მიაწვდის სითხეს რაოდენობით:

$$FS - \left(F - \frac{F}{2} \right) S = \frac{F}{2} S \text{ (მ}^2\text{)}$$

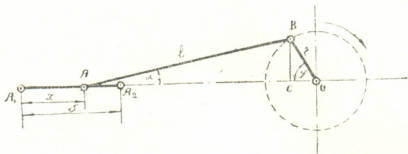
და მარჯვენა მხარე:

$$\left(F - \frac{F}{2} \right) S = \frac{F}{2} S \text{ (მ}^2\text{)},$$

ე. ი. ყოველ სვლაზე სითხის მიწოდება ზუსტად ერთი და იგივე იქნება. ამრიგად, დიფერენციალური ტუმბო სითხეს ისევე თანაბრად აწვდის, როგორც ორმაგქმედების ტუმბო და ამავე დროს თავისი კონსტრუქციით მარტივია ისე, როგორც ცალმაგქმედების ტუმბო, რადგანაც მასსავით მხოლოდ ორი სარკველი აქვს.

სითხის მიწოდების უთანაბრობა ხაძრავ დგუშიან ტუმბოებში. საძრავ დგუშიან ტუმბოებში დგუშის ამოძრავება ხდება მრუდმხარა მექანიზმის საშუალებით. ცალმაგქმედების დგუშიანი ტუმბო ერთი სვლის შედეგად აწვდის სითხეს მოცულობით FS (მ^3). მაგრამ სვლის განმავლობაში სითხის მიწოდე-

ბა არ არის თანაბარი, რადგანაც სითხე როგორც შეწოვის, ისე დაჰირხნება დროს განუშორებლად მისდევს დგუშს და, მაშასადამე, მისი სიჩქარე პირდაპირ დამოკიდებულია დგუშის სიჩქარეზე. დგუშის სიჩქარე კი სელის განმავლობაში ცვალებადია და ეს ცვალებადობა გამოწვეულია მრუდმხარა მექანიზმის მოძრაობის კანონით. წარმოვიდგინოთ მრუდმხარა მექანიზმის სქემა (ნახ. 146). მრუდმხარა OB ბრუნავს ლილევი O -ს გარშემო. ამ დროს ჯვართავე და მასთან დაკავშირებული დგუში მოძრაობს სწორხაზოვნად A_1 -დან A_2 -მდე. ავიღოთ რომელიმე შემთხვევითი მდგომარეობა მექანიზმის, როდესაც მრუდმხარას თავი მდებარეობს წერტილ B -ში და ჯვართავე კი წერტილ A -ში. მრუდმხარა დახრილია ტუმბოს ცილინდრის ლერძის მიმართ φ კუთხით, ბარბაცა კი α კუთხით. განვიხილოთ ჯვართავესა და დგუშის გადაადგილება:



ნახ. 146. მრუდმხარა მექანიზმის სქემა.

სქემიდან მივი-

ღებთ:

$$x = A_1A = A_1O - AO.$$

მაგრამ

$$A_1O = l + r; \quad AO = AC + CO = l \cos \alpha + r \cos \varphi;$$

ამიტომ

$$x = r(1 - \cos \varphi) + l(1 - \cos \alpha)$$

α კუთხე ცვალებადობს 0° -დან α_{max} -მდე; $\alpha = 0$ მაშინ, როდესაც მრუდმხარა და ბარბაცა ერთმანეთს ემთხვევიან, ამ შემთხვევისათვის

$$\cos \alpha = 1 \text{ და } l(1 - \cos \alpha) = 0.$$

$\alpha = \alpha_{max}$ მაშინ, როდესაც BO პერპენდიკულარულია ხაზი A_1O -სი. მიღებულია, რომ $\frac{r}{l} = \frac{1}{5}$; ამიტომ ამ შემთხვევაში $AO = \sqrt{5^2 - 1^2}$ და $\cos \alpha_{max} =$

$$\frac{\sqrt{5^2 - 1^2}}{5} = 0,98. \text{ მაშასადამე, } \cos \alpha \text{ მნიშვნელობას მერყეობს } 0 \text{-დან } 0,98 \text{-მდე}$$

და გამოხატულება $l(1 - \cos \varphi)$ -ს მნიშვნელობა კი 0 -დან $0,02$ l -მდე, რაც უფლებას გვაძლევს სიდიდე $l(1 - \cos \alpha)$ უკუვაგდოთ და დავეწროთ, რომ

$$x = r(1 - \cos \varphi); \tag{175}$$

აქედან შეგვიძლია გავიგოთ დგუშის მოძრაობის სიჩქარე, როგორც ვიცით, სიჩქარე უდრის გზის წარმოებულს დროის მიხედვით, ე. ი. სიჩქარე:

$$\dot{x} = \frac{dx}{dt}$$

$$\omega = \frac{dx}{d\varphi} \cdot \frac{d\varphi}{dt}$$

$$\frac{dx}{d\varphi} = \frac{d[r(1 - \cos \varphi)]}{d\varphi} = r \sin \varphi.$$

$\frac{d\varphi}{dt} = \varepsilon$ — ლილვის ბრუნვის კუთხურ სიჩქარეს. და, მაშასადამე:

$$\omega = \varepsilon \cdot r \cdot \sin \varphi;$$

მაგრამ $\varepsilon r = c_3$ მრუდმხარას პოპოკიკის წრიულ სიჩქარეს, ამიტომ:

$$\omega = c_3 \cdot \sin \varphi. \quad (176)$$

წრიული სიჩქარე c_3 შეგვიძლია პრაქტიკულად უცვლელად ჩავთვალოთ. მაშინ ფორმულის (176) თანახმად დგუშის მოძრაობის სიჩქარე პროპორციული გამოდის $\sin \varphi$ -სი. გრაფიკულად დგუშის მოძრაობის სიჩქარის ცვალებადობა sinus-ის მრუდით, ე. წ. სინუსოიდით გამოიხატება.

ფორმულის (176) თანახმად ლილვის ერთი ბრუნვის განმავლობაში დგუშის მოძრაობის სიჩქარე ორჯერ აღწევს მაქსიმუმს: როდესაც $\varphi = 90^\circ$ და $\varphi = 270^\circ$, $\sin \varphi = 1$; და $\omega = c_3$ და ორჯერ ეცემა 0-მდე: როდესაც $\varphi = 0$ და $\varphi = 360^\circ$, $\sin \varphi = 0$ და $\omega = 0$. ეს მოხდება მაშინ, როდესაც მრუდმხარა ბარბაცას დაემთხვევა, რისთვისაც მრუდმხარას ამ მდებარეობას „მკვლარი“ მდებარეობა უწოდეს. რადგანაც დგუშის მოძრაობის სიჩქარე ცვალებადია, ცხადია, ადგილი ექნება აჩქარებას, რომელიც ამ შემთხვევაში ტოლი იქნება:

$$\omega = \frac{d\omega}{dt} = c_3 \cos \varphi \frac{d\varphi}{dt} = c_3 \varepsilon \cos \varphi = \frac{c_3^2}{r} \cos \varphi.$$

ე. ი. აჩქარების ცვალებადობა პროპორციულია $\cos \varphi$ -ისა. გრაფიკულად აჩქარების ცვალებადობა გამოიხატება კოსინუსოიდით, რომელიც სინუსოიდის მიპირთ წაწეულია 90° -ით. ცხადია, რომ აჩქარება 0 ს აღწევს იმ დროს, როდესაც სიჩქარე *maximum*-ს აღწევს და პირიქით. მაშასადამე, აჩქარება 0-ს აღწევს მაშინ, როდესაც $\varphi = 90^\circ$ და $\varphi = 270^\circ$ და *maximum*-ს მაშინ, როდესაც $\varphi = 0^\circ$ და 360° , ე. ი. მკვლარ წერტილებში ეს მაქსიმალური აჩქარება ტოლია:

$$W_{max} = \pm \frac{c^2}{r} = \pm \frac{\varepsilon^2 r^2}{r} = \varepsilon^2 r.$$

თუ ანგარიშს გავუწევთ ბარბაცას სიგრძეს, აჩქარება ტოლი გამოვა

$$W_{max} = \frac{c_3^2}{r} \left(1 \pm \frac{r}{l}\right) = \varepsilon^2 r \left(1 \pm \frac{r}{l}\right). \quad (177)$$

როგორც წინათ მივიღეთ $\frac{r}{l} = \frac{1}{5}$, ამიტომ დგუშის მოძრაობის მაქსიმალურ

რი აჩქარებანი, რომელთა მიმართულებაც დგუშის მოძრაობის მიმართულე-
ბას ემთხვევა, ტოლი იქნებოდა.

დგუშისკენ უფრო ახლო მდებარე მკვდარ წერტილში

$$W'' = \frac{6}{5} \frac{c_3^2}{r} = \frac{6}{5} \varepsilon^2 r. \quad (178)$$

მოპირდაპირე მკვდარ წერტილში კი:

$$W''' = \frac{4}{5} \frac{c_3^2}{r} = \frac{4}{5} \varepsilon^2 r.$$

როგორც ზემოთ აღვნიშნეთ, სითხე განუყრელად მოსდევს დგუშს და, მაშასადამე, დგუში თავის აჩქარებას სითხეს გადასცემს. ყოველი აჩქარება მოძრაობისა იწვევს ინერციის ძალას, რომელიც ეწინააღმდეგება მოძრაობას. ამ ინერციის ძალის დაძლევა ტუმბოსათვის დანაკარგს წარმოადგენს; საჭიროა წნევის განსაზღვრის დროს ეს დანაკარგი აღრიცხული უნდა იყოს (იხ. ქვემოთ).

ტუმბოთი სითხის მიწოდების ხახიათი. როგორც ზემოთ დაეინახეთ, დგუშის და მასთან ერთად სითხის სიჩქარე ერთი სვლის განმავლობაში ცვა-
ლებადია: ის დამოკიდებულია $\sin \varphi$ -ის მნიშვნელობაზე. ფორმულის (176), თა-
ნახმად დგუშისა და სითხის მოძრაობის სიჩქარე ტოლია:

$$w = c_3 \cdot \sin \varphi.$$

ცხადია, რომ ტუმბოთი სითხის მიწოდებაც შესაბამისად ცვალებადია. სითხის მიწოდების გამოსარკვევად განვიხილოთ ეს მიწოდება დიფერენცია-
ლურ ფორმაში:

უსასრულო მცირე დროის $d\tau$ განმავლობაში ტუმბო მიაწვდის სითხეს
რაოდენობით dq , რომელიც ტოლია:

$$dq = F \cdot w \cdot d\tau = F \cdot c_3 \cdot \sin \varphi \cdot d\tau.$$

მაგარამ:

$$\frac{d\varphi}{d\tau} = \varepsilon = \frac{c_3}{r}$$

ამიტომ:

$$d\tau = \frac{r}{c_3} d\varphi$$

და, მაშასადამე:

$$dq = F \cdot r \cdot \sin \varphi \cdot d\varphi.$$

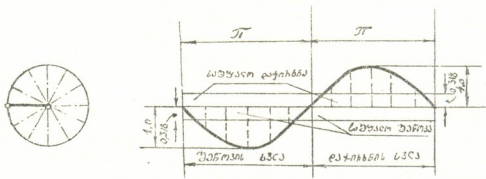
აქედან სითხის რაოდენობა, რომელსაც მიაწვდის ტუმბო, ვიდრე მრუდ-
მხარა φ კუთხით შემოტრიალდება, ტოლი იქნება:

$$q = F \cdot r \cdot \int_0^\varphi \sin \varphi \cdot d\varphi. \quad (179)$$

დღეშის ერთ სელაზე მრუდმხარა ნახევარწოით შეძორიალდება, ე. ი. სითხის მიწოდება ტოლი იქნება:

$$q = F \cdot r \int_0^{\pi} \sin \varphi d\varphi = 2 F \cdot r = FS, \text{ ე. ი. ცილინდრის ერთი მოცულება.}$$

ფორმულით (179) გამოსახული ინტეგრალი შეიძლება გრაფიკულად ავაგოთ. ამისათვის აბსცისთა ლერძზე უნდა გადავზომოთ φ კუთხის მნიშვნელობა, ორდინატთა ლერძზე კი სათანადო მნიშვნელობა $Fr \cdot \sin \varphi$. ინტეგრალის მნიშვნელობა იქნება ჯამი სწორკუთხედი ფართობებისა, რომლის ფუძეს შეადგენს $\Delta\varphi$ და სიმაღლეს კი $F \cdot r \cdot \sin \varphi$. ნახ. 147-ზე მოყვანილია სითხის მიწოდების გრაფიკი ცალმაკემდეების ტუმბოსათვის. როგორც ამას გრაფიკი



ნახ. 147. სითხის მიწოდების გრაფიკი ცალმაკემდეების ტუმბოსათვის.

გვიჩვენებს, მრუდმხარას ბრუნვის პირველი ნახევარში, როდესაც φ იცვლება 0-დან π -მდე ტუმბოში ხდება ნხოლოდ სითხის შეწოვა და მეორე ნახევარში კი, როდესაც φ იცვლება π -დან 2π -მდე, ხდება ტუმბოდან წყლის მხოლოდ გამოდევნა.

როგორც ტუმბოში შეწოვილის, ისე ტუმბოდან განდევნილი სითხის რაოდენობა განიზომება ფართობით, რომელიც მოთავსებულია სინუსოიდისა და აბსცისთა ლერძს შორის. შეწოვილი სითხის სრესოიდი მოთავსებულია აბსცისთა ლერძს ქვემოთ, განდევნილის კი—ლერძს ზემოთ. თითოეული ამ ფართობთაგანი ტოლია $2F \cdot r$. სითხის როგორც შეწოვა, ისე განდევნა ერთი ბრუნვის განმავლობაში რომ თანაბარი იყოს, სითხის მიწოდების გრაფიკი გამოისახებოდა სწორკუთხედიით, რომლის ფუძე ტოლია 2π , სიმაღლე კი

$$\frac{2Fr}{2\pi} = \frac{Fr}{\pi} = 0,318 F \cdot r.$$

ვინაიდან სითხის მიწოდების გრაფიკის უდიდესი ორდინატი უდრის

$$F \cdot r \cdot \sin \frac{\pi}{2} = F \cdot r,$$

ამიტომ სითხის მიწოდების უთანაბრობა ამ ტუმბოსათვის შეადგენს:

$$\frac{F \cdot r - 0,318 F \cdot r}{F r} = 0,682 \text{ ანუ } 68,2\%$$

ორმაგქმედების ტუმბოსათვის სითხის მიწოდების გრაფიკი წარმოდგენილია ნახ. 148-ზე. ამ ტუმბოში მრუდმხარას ბრუნვის თითოეულ ნახევარში ხდება სითხის როგორც შეწოვა. ისე განდევნა რაოდენობით $2Fr$. საერთო მიწოდება კი ერთი ბრუნვის განმავლობაში ტოლი იქნება:

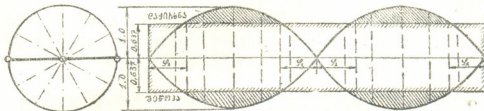
$$2 \cdot 2Fr = 4Fr.$$

სითხის მიწოდება თანაბარი რომ იყოს, ის შეადგენდა

$$\frac{4Fr}{2\pi} = \frac{2}{\pi} Fr = 0,637 Fr,$$

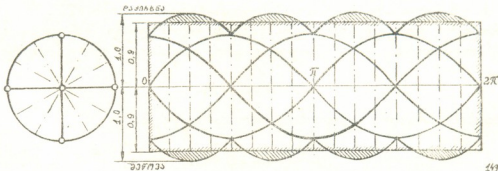
ამიტომ სითხის მიწოდების უთანაბრობა ორმაგქმედების ტუმბოსათვის ტოლია

$$\frac{F \cdot r - 0,637 F \cdot r}{F \cdot r} = 1 - 0,637 = 0,363 \text{ ანუ } 36,7\%$$



ნახ. 148. სითხის მიწოდების გრაფიკი ორმაგქმედების ტუმბოსათვის.

იმავე სურათს მივიღებთ, თუ ცალმაგქმედების ორ ტუმბოს ერთ ლილვზე დაყუყუნებთ ისე, რომ მათი მრუდმხარები ერთმანეთთან ჰქმნიდნენ კუთხეს π . ამ შემთხვევაში, როცა ერთი ტუმბო შეიწოვს სითხეს, მეორე ამ დროს განდევნის სითხეს და პირიქით. ნახ. 149-ზე მოყვანილია სითხის მიწოდების გრა-



ნახ. 149. სითხის მიწოდების გრაფიკი ორი ტუმბოსათვის.

ფიკი ორმაგქმედების ორი ტუმბოსათვის, რომლებზედაც მრუდმხარეები ერთ ლილვზე არიან დაყუყუნული ისე, რომ ისინი ერთმანეთთან ჰქმნიან კუთხეს

90°. მრუდმხარების ასეთი მდებარეობის გამო, ერთი ტუმბოს უდიდესი სიჩქარის დროს მეორეს უმცირესი სიჩქარე აქვს და პირიქით. ეს გარემოება აგრეთვე ხელს უწყობს სითხის მიწოდების გათანაბრებას. გრაფიკი გვიჩვენებს, რომ სითხის მიწოდება მაქსიმალურია მაშინ, როდესაც $\varphi = n \cdot 45^\circ$, სადაც n არის ნებისმიერი კენტი რიცხვი, და შეადგენს:

$$2F \cdot r \cdot \sin 45^\circ = 1,414 F \cdot r.$$

თანაბარი მიწოდების ორდინატი ტოლი იქნება:

$$\frac{2Fr \cdot 4}{2\pi} = 1,274 F \cdot r.$$

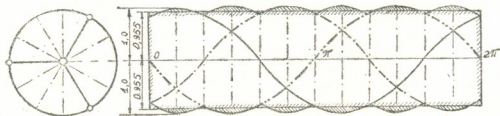
თუ მაქსიმალურ მიწოდებას 1-ად მივიჩნევთ, მაშინ თანაბარი მიწოდების ორდინატი შეადგენს:

$$\frac{1,274}{1,414} = 0,9 \text{ (იხ. გრაფიკი).}$$

სითხის მიწოდების უთანაბრობა კი ტოლი გამოდის:

$$\frac{1,414 - 1,274}{1,414} \cong 0,10, \text{ ე. ი. } 10\%.$$

მაშასადამე, რამდენიმე ტუმბოს ერთ ლილვზე დაყენება ათანაბრებს სითხის მიწოდებას. ნახ. 150-ზე მოყვანილია სითხის მიწოდების გრაფიკი, ცალმაგკმედეების სამი ტუმბოსათვის, რომელთა მრუდმხარები ერთ ლილვზე



ნახ. 150. სითხის მიწოდების გრაფიკი ცალმაგკმედეების სამი ტუმბოსათვის.

არიან დაყენებული ისე, რომ ერთმანეთთან ჰქონიან კუთხეს 120° .

როგორც გრაფიკი გვიჩვენებს, სითხის მაქსიმალური მიწოდება იქნება მაშინ, როდესაც $\varphi = n \cdot 30^\circ$ (სადაც n არის ნებისმიერი კენტი რიცხვი), და ტოლია

$$2Fr \sin 30 = Fr.$$

სითხის თანაბარი მიწოდების ორდინატი ტოლია:

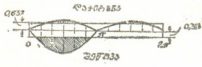
$$\frac{2Fr \cdot 3}{2\pi} = 0,955.$$

ე. ი. სითხის მიწოდების უთანაბრობა ტოლი იქნება:

$$1 - 0,955 = 0,045 \text{ ანუ } 4,5\%.$$



ნახ. 151-ზე მოყვანილია სითხის მიწოდების გრაფიკი დიფერენციალური ტუმბოსათვის, რომელშიაც დგუშის ფართი (F) და ჯოკის ფართი (f) შერჩეულია შეფარდებით: $\frac{F}{f} = 2$. როგორც გრაფიკი გვიჩვენებს შეწოვა ამ ტუმბოში ხდება ისე, როგორც ცალმაგკმედების ტუმბოში (ნახ. 147), ხოლო დაქირხნა ისე, როგორც ორმაგკმედების ტუმბოში (ნახ. 148).



ნახ. 151. სითხის მიწოდების გრაფიკი დიფერენციალური ტუმბოსათვის.

საპირო წნევის განსაზღვრა.

იმის გასაანგარიშებლად, თუ რა წნევა უნდა განავითაროს ტუმბომ მიემართოთ ნახ. 139-ს და აღენიშნოთ:

- p_1 — $\left(\frac{\rho b}{g^2}\right)$ — დგუშზე მოქმედი წნევა შეწოვის დროს;
- p_2 — $\left(\frac{\rho b}{g^2}\right)$ — დგუშზე მოქმედი წნევა დაქირხნის დროს;
- $c_{საშ}$ — $\left(\frac{g}{\rho \omega}\right)$ — დგუშის მოძრაობის საშუალო სიჩქარე;
- ω_1 — $\left(\frac{g}{\rho \omega}\right)$ — სიჩქარე, რომელიც აქვს სითხეს შემწოვ მილში შესვლისას;
- ω_2 — $\left(\frac{g}{\rho \omega}\right)$ — სიჩქარე, რომელიც აქვს სითხეს დამქირხნი მილიდან გამოსვლისას;
- $h_{ს1} - (მ)$ — წნევის დანაკარგი შემწოვის მილში ინერციის ძალის დაძლევაზე;
- $h_{ს2} - (მ)$ — წნევის დანაკარგი დამქირხნი მილში ინერციის ძალის დაძლევაზე;
- $h_{რ1} - (მ)$ — წნევის დანაკარგი შემწოვ მილში ჰიდრავლიკურ წინაღობათა დაძლევაზე;
- $h_{რ2} - (მ)$ — წნევის დანაკარგი დამქირხნი მილში ჰიდრავლიკურ წინააღობათა დაძლევაზე;
- $h_{ს1} - (მ)$ — შეწოვის სიმაღლე;
- $h_{ს2} - (მ)$ — დაქირხნის სიმაღლე;
- p_a — $\left(\frac{\rho b}{g^2}\right)$ — ატმოსფერული წნევა;
- γ — $\left(\frac{\rho b}{g^2}\right)$ — სითხის ზვედრითი წნევა.

ბერნულის განტოლების თანახმად, თუ შევადარებთ ტუმბოში ორ დონეს $O-O$ და $1-1$ (ნახ. 139) შეწოვის დროს ადგილი ექნება ტოლობას:

$$\frac{p_a}{\gamma} + \frac{\omega_1^2}{2g} = \frac{p_1}{\gamma} + \frac{c_{საშ}^2}{2g} + h_{ს1} + h_{რ1} + h_{ს1}$$

საიდანაც

$$\frac{p_1}{\gamma} = \frac{p_a}{\gamma} - h_{ს1} - h_{რ1} - h_{ს1} + \frac{\omega_1^2 - c_{საშ}^2}{2g} \tag{180}$$

დაქირხნის დროს კი თუ შევიდარებთ ორ დონეს 1—1 და 2—2, ადგილი იქნება შემდეგ ტოლობას:

$$\frac{p_2}{\gamma} + \frac{c_{სა2}^2}{2g} = \frac{p_1}{\gamma} + h_{z1} + h_{z2} + h_{u2} + \frac{\omega_2^2}{2g}$$

აქედან:

$$\frac{p_2}{\gamma} = \frac{p_1}{\gamma} + h_{z1} + h_{z2} + h_{u2} + \frac{\omega_2^2 - c_{სა2}^2}{2g}$$

დგუშე მოქმედი წნევა, სითხის სვეტის სიმალით გამოხატული, ტოლი იქნება სხვაობისა შეწოვის წნევისა და დაქირხნის წნევის შორის, ე. ი.

$$\frac{p}{\gamma} = \frac{p_2 - p_1}{\gamma} = (h_{z1} + h_{z2}) + (h_{z1} + h_{z2}) + (h_{u1} + h_{u2}) + \frac{\omega_2^2 - \omega_1^2}{2g}$$

ვინაიდან $\omega_1 \geq \omega_2$; ამიტომ $\frac{\omega_2^2 - \omega_1^2}{2g} \leq 0$,

გარდა ამისა, $h_{z1} + h_{z2} = h_z$, ე. ი. წარმოადგენს სითხის საერთო აწევის სიმაღლეს.

$$h_{r1} + h_{r2} = h_r = \Sigma h_r$$

არის ყველა ჰიდრაულიკური წინაღობის დაძლევისათვის საჭირო წნევა, ე. ი. (თავი II),

$$h_{r1} + h_{r2} = \Sigma \zeta \frac{\omega^2}{2g}$$

აგრეთვე $h_{u1} + h_{u2} = h_u$ არის საერთო დანაკარგი წნევისა ინერციის ძალთა დაძლევაზე. მაშასადამე, საბოლოოდ დგუშის მოქმედი წნევა ტოლი იქნება:

$$\frac{p}{\gamma} = h = h_z + \Sigma \zeta \frac{\omega^2}{2g} + h_u \tag{181}$$

ეს უკანასკნელი განტოლება გეჩვენებს, რომ ჰიდრაულიკური წნევა, რომელიც მოდის დგუშის ფართის ერთეულზე უდრის სითხის აწევის სიმაღლეს პლუს შემწოვ და დამქირხნ მილებში არსებული ყველა ჰიდრაულიკური და ინერციული წინაღობის ჯამი. ამ წნევას, რომელიც სითხის სვეტის სიმაღლის მეტრობით გამოიხატება, სითხის სრული აწევა ეწოდება. ჰიდრაულიკურ წინაღობათა ჯამში შედის ყველა ის წინაღობა, რომლებიც განხილულია II თავში. გარდა ამისა, დგუშიან ტუმბოსათვის უნდა გავითვალისწინოთ წინაღობა, რომელიც არსებობს სარქველებში. სარქველების წინაღობა ტოლია:

$$h_{03} = \zeta \left(\frac{\omega_1^2}{2g} a_1 + \frac{\omega_2^2}{2g} a_2 \right) \tag{182}$$

სადაც ζ არის სარქველის წინაღობის კოეფიციენტი,

$w_1 - \left(\frac{m}{V_1^2}\right)$ — სითხის მოძრაობის სიჩქარე შემწვოვ მილში,

$w_2 - \left(\frac{m}{V_2^2}\right)$ — სითხის მოძრაობის სიჩქარე დამპირხნ მილში,

a_1 — შემწვოვ სარქველთა რაოდენობა;

a_2 — დამპირხნ სარქველთა რაოდენობა.

თეფშისებრი სარქველის წინაღობის კოეფიციენტი ტოლია:

$$\zeta = 0,3 + 0,18 \left(\frac{d_b}{0,0005 + l} \right)^2, \quad (183)$$

სადაც d_b — (მ) არის სარქველის დიამეტრი;

l — (მ) — სარქველის აწევის სიმაღლე.

წნევის დანაკარგი ინერციის ძალთა დაძლევაზე. ფორმულის (181) მიხედვით საერთო წნევის გაანგარიშებისათვის საჭიროა განვსაზღვროთ წნევის დანაკარგი ინერციის ძალთა დაძლევაზე (h_u).

აღვნიშნოთ:

l_1 — (მ) — შემწვოვი მილის სიგრძე;

l_2 — (მ) — დამპირხნი მილის სიგრძე;

F_1 — (მ²) — შემწვოვი მილის კვეთი;

F_2 — (მ²) — დამპირხნი მილის კვეთი;

$w_1 - \left(\frac{m}{V_1^2}\right)$ — მოძრაობის მაქსიმალური აჩქარება შემწვოვ მილში;

$w_2 - \left(\frac{m}{V_2^2}\right)$ — მოძრაობის მაქსიმალური აჩქარება დამპირხნ მილში.

ინერციის ძალა შემწვოვ მილში ნიუტონის კანონის თანახმად ტოლი იქნება:

$$p_1 = m_1 w_1 \quad (\text{კგ}).$$

შემწვოვ მილში მოთავსებული სითხის მასა ტოლია:

$$m_1 = \frac{G_1}{g} = \frac{F_1 \cdot l_1 \cdot \gamma}{g}.$$

მაშასადამე, ინერციის ძალა ტოლი იქნება:

$$p_1 = \frac{F_1 l_1 \gamma}{g} w_1. \quad (184)$$

შეორე მხრივ, წნევის დანაკარგი ინერციის დაძლევაზე ტოლია:

$$h_{u1} = \frac{p_1}{\gamma} = \frac{P}{F_1 \cdot \gamma},$$

სადაც $p_1 - \left(\frac{\rho g}{\sigma}\right)$ არის ხვედრითი წნევა, რომელსაც სითხეში იწვევს ინერციის ძალა. აქედან ინერციის ძალა უდრის:

$$P = F_1 \cdot \gamma \cdot h_{u1} \quad (185)$$

განტოლებებიდან (184) და (185) გამომდინარეობს:

$$\frac{F_1 \cdot l_1 \gamma}{g} w_1 = F_1 \cdot \gamma \cdot h_{u1}$$

აქედან

$$h_{u1} = \frac{l_1}{g} w_1 \quad (186)$$

დამატებით აღვნიშნოთ:

c — $\left(\frac{\rho}{\sigma}\right)$ დგუშის მყისი სიჩქარე;

a_0 — $\left(\frac{\rho}{\sigma}\right)$ — დგუშის მყისი აჩქარება;

F — (ρ^2) დგუშის ფართი.

ვინაიდან სითხის დინება განუწყვეტელია, ამიტომ

$$F_1 \cdot w_1 = F \cdot c_1 \text{ ანუ } F_1 w_1 = F \cdot w$$

აქედან სითხის აჩქარება შემწოვ მილში უდრის

$$w_1 = \frac{F}{F_1} w \left(\frac{\rho}{\sigma}\right)$$

მაშინ განტოლება (186) მიიღებს შემდეგ სახეს:

$$h_{u1} = \frac{l_1}{g} \cdot \frac{F}{F_1} \cdot w \quad (187)$$

როგორც ფორმულა (173) გვიჩვენებს, დგუშის მაქსიმალური აჩქარება ტოლია

$$w = \frac{6}{5} \cdot \frac{c_3^2}{r}$$

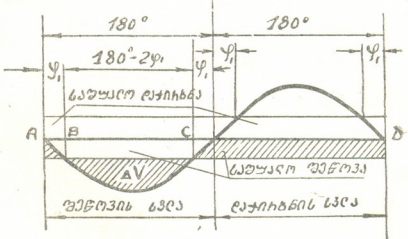
რომ ჩავსვათ w -ს ეს მნიშვნელობა ფორმულაში (187), საბოლოოდ მივიღებთ, რომ წნევის დანაკარგი ინერციის ძალის დაძლევაზე შემწოვ მილში ტოლი იქნება:

$$h_{u1} = \frac{l_1}{g} \cdot \frac{F}{F_1} \cdot \frac{6}{5} \cdot \frac{c_3^2}{r} \quad (188)$$

ასეთივე მსჯელობით შეგვიძლია მივიღოთ, რომ წნევის დანაკარგი ინერციის ძალის დასაძლევად დამჭირბნ მიღში ტოლი იქნება:

$$h_{u2} = \frac{l_2}{g} \cdot \frac{F}{F_2} \cdot \frac{6}{5} \cdot \frac{c_3^2}{r} \quad (189)$$

ჰაერის ხუფები. ფორმულები (188) და (189) გვიჩვენებენ, რომ ძირითადი წნევის დანაკარგი ინერციის ძალთა დაძლევაზე პირდაპირ პროპორციულია მილსადენების სიგრძეებისა (l_1 და l_2). გრძელი მილსადენების დროს ეს დანაკარგი მნიშვნელოვნად დიდი იქნება. ამიტომ საჭიროა წნევის დანაკარგის შემცირების მიზნით რაიმე საშუალებით შევამციროთ მილსადენების სიგრძის ნაწილი, რომელზედაც ინერციის ძალები მოქმედებენ. ასეთ საშუალებას წარმოადგენს ჰაერის კამერები, ე. წ. ჰაერის ხუფები, რომლებიც იღვებმა როგორც შემწოვ მილზე, ისე დამჭირბნ მილზე. თუ მილსადენს აქვს ჰაერის ხუფი, მაშინ ინერციის ძალა იმოქმედებს მხოლოდ სიგრძეზე l_{u1} შემწოვ მილში და l_{u2} დამჭირბნ მილში. მილსადენების დანარჩენ სიგრძეზე კი სითხის მოძრაობა პრაქტიკულად თანაბარი იქნება, ამიტომ ჰაერის ხუფები უნდა დაიდგას რაც შეიძლება ტუმბოსთან ახლო. მაშინ ფორმულებში (188) და (189) l_1 და l_2 მავივრად ჩაისმება სიდიდეები l_{u1} და l_{u2} , რომლებიც მოქმედ ტუმბოსათვის მუდმივნი არიან და თავისი სიდიდით გაცილებით უფრო მცირენი არიან, ვიდრე l_1 და l_2 . ჰაერის ხუფი უნდა შეიტყავდეს ჰაერის ისეთ მოცულობას, რომელიც უზრუნველყოფს ტუმბოს მშვიდ მუშაობას. ჰაერის ეს მოცულობა გაანგარიშებით უნდა იყოს დასაბუთებული. ამ გაანგარიშებისათვის უნდა მივმართოთ სითხის მიწოდების გრაფიკს, მაგალითისათვის განვიხილოთ ცალმაგქმედების ტუმბო. ავავოთ ამ ტუმბოსათვის სითხის მიწოდების გრა-



ნახ. 152. სითხის მიწოდების გრაფიკ ხუფის მოცულობის განსაზღვრისათვის.

ფიკი (ნახ. 152) და გავიყვანოთ მასზე სითხის საშუალო მიწოდება სწორკუთხედის სახით, ისე როგორც ეს ზემოთ ნახ. 147-ე იყო გაკეთებული. თანაბარ აწუ საშუალო მიწოდების ხაზები გადაკვეთავენ შეწოვის სინუსოიდს ორ წერტილში, რომლებიც შეესაბამებიან კუთხეებს φ_1 და $180 - \varphi_1$ და დაჭირბნის სინუსოიდს აგრეთვე ორ წერტილში, რომლებიც შეესაბამებიან კუთხეებს $180 + \varphi_1$ და $360 - \varphi_1$. ეტყვათ, რომ ხუფების შემდეგ, როგორც შემწოვ, ისე დამჭირბნ მილსადენებში სითხის მიწოდება თანაბარია, გრაფიკზე გაყვანილი სწორკუთხედის მიხედვით, ხოლო ხუფებს შორის არათანაბარია

სინუსოიდის მიხედვით. მაშინ, სანამ შრულმხარას მობრუნების კუთხე φ_1 კუთხეს გაუტოლდება (მონაკვეთი AB) ჰაერის ხუფში უფრო მეტი სითხე შემოვა, ვიდრე მისგან გავა, რის გამო სითხის დონე ხუფში აიწევს და ჰაერო შეიკუმშება. კუთხე φ -დან ($180^\circ - \varphi_1$) კუთხემდე, პირიქით, ხუფიდან უფრო მეტი სითხე გავა, ვიდრე მასში შევა (მონაკვეთი BC), რის გამოც სითხის დონე ხუფში დაიწევს და ჰაერი გაფართოვდება. ამ პერიოდის ბოლოს (წერტ. C) ხუფი შეიცავს ჰაერის მოცულობის მაქსიმუმს (V_{max}) დაწყებული კუთხიდან $180^\circ - \varphi_1$, ვიდრე კუთხემდე $360^\circ + \varphi$ (მონაკვეთი $CD + AB$) ხუფში სითხე უფრო მეტი, ვიდრე მისგან გადის, ჰაერი თანდათან იკუმშება და ამ პერიოდის ბოლოს (წერტილი D) მისი მოცულობა ეცემა მინიმუმამდე (V_{min}). კუთხე ($360^\circ + \varphi_1$)-ის შემდეგ ეს ციკლი ხელახლა დაიწყება. წერტილებში B და C ხუფში სითხის შემოსავალი და გასავალი ტოლნი არიან. მაშასადამე, ჰაერის მოცულობის ცვლა იბადება ხუფში, შეადგენს: $(V_{max} - V_{min})$. უსასრულოდ მცირე დროის $d\tau$ -ს განმავლობაში შენწოვი ხუფიდან ტუმბოს ცილინდრში გადავა სითხე რაოდენობით $Fr \cdot \sin \varphi \cdot a\varphi$. ერთდროულად ხუფში შევა სითხე რაოდენობით $V_{\text{შა}} \cdot d\tau$.

სხვაობა სითხის შემოსავალსა და გასავალს შორის შეადგენს:

$$dV = Fr \cdot \sin \varphi \, d\varphi - V_{\text{შა}} \, d\tau,$$

ზაერამ

$$V_{\text{შა}} = \frac{F \cdot S \cdot n}{60} = \frac{F \cdot 2r \cdot n}{60} = \frac{F \cdot r \cdot n}{30}.$$

როგორც ვიცით კუთხური სიჩქარე:

$$\varepsilon = \frac{d\varphi}{d\tau} = \frac{\pi n}{30}; \text{ აქედან } d\tau = \frac{30}{\pi n} \cdot d\varphi.$$

მაშასადამე:

$$V_{\text{შა}} \cdot d\tau = \frac{F \cdot r \cdot n}{30} \cdot \frac{30}{\pi n} \, d\varphi = \frac{F \cdot r}{\pi} \, d\varphi$$

და

$$dV = F \cdot r \cdot \sin \varphi \, d\varphi - \frac{F \cdot r}{\pi} \, d\varphi,$$

ანუ

$$dV = F \cdot r \left(\sin \varphi - \frac{1}{\pi} \right) \, d\varphi$$

B და C წერტილებისათვის $dV=0$; ამიტომ

$$\sin \varphi - \frac{1}{\pi} = 0 \text{ და } \sin \varphi = \frac{1}{\pi}.$$

მაშასადამე, მრულმხარას მოტრიალების კუთხე ტოლი იქნება B წერტილში

$$\varphi_1 = 18,34^\circ,$$

წერტილში კი

$$180 - \varphi_1 = 161,26^\circ.$$

გაინტეგრირების შემდეგ მივიღებთ:

$$V = \int_{\varphi_1}^{\pi - \varphi_1} F \cdot r \cdot \left(\sin \alpha - \frac{1}{\pi} \right) d\varphi = V_{max} - V_{min},$$

ანუ

$$V_{max} - V_{min} = Fr \left[\cos \alpha - \frac{\alpha}{\pi} \right]_{18.340}^{161,260} = 1,1 Fr = 0,55 FS \quad (190)$$

ანალოგიურად მივიღებთ ორმაგქმედების ტუმბოსათვის (ნახ. 148)

$$V_{max} - V_{min} = 0,21 FS. \quad (191)$$

სამტოლმაგქმედების ტუმბოებისათვის (ნახ. 150)

$$V_{max} - V_{min} = 0,009 FS \quad (192)$$

თუ აღვნიშნავთ ხუფის ჰაერის საშუალო მოცულობას $V_{საშ}$, მაშინ

$$\frac{V_{max} - V_{min}}{V_{საშ}} = \delta \quad (192a)$$

δ — არის ჰაერის ხუფის უთანაბრობის კოეფიციენტი.

ცალმაგქმედების ტუმბოებისათვის

$$\delta = 0,01 + 0,05;$$

პრაქტიკულად $V_{საშ}$ სიდიდეს იღებენ FS მოცულობის ჯერადს: შემწოვი მილის ხუფისათვის

$$V_{საშ} = (5 + 10) F \cdot S$$

და დამჭირხნი მილის ხუფისათვის $8 FS$ -მდე.

შეწოვის სიმაღლე. ტუმბოში სითხის შეწოვა ხდება ატმოსფერული წნევის მეოხებით, რომელიც, როგორც ვიცით, ზღვის დონეზე უდრის ერთ ატმოსფეროს ანუ წყლის სვეტის სიმაღლეს 10,336 მ. მაშასადამე, ზღვის დონეზე თეორიულადაც (დანაკარგებს თუ არ მივიღებთ მხედველობაში) ტუმბოვერ შეიწოვს წყალს 10,336 მ უფრო მაღლა. პრაქტიკულად კი შეწოვის სიმაღლე უფრო ნაკლებია. შეწოვის შესაძლებელი სიმაღლის გამოსარკვევად მივმართოთ განტოლებას (180), რომლიდანაც შეწოვის სიმაღლე ტოლი გამოდის:

$$h_{ს1} = \frac{p_2}{\gamma} - \frac{p_1}{\gamma} - h_{ს2} - h_{ს1} + \frac{\omega_1^2 - c_{საშ}^2}{2g},$$

ფინალიდან

$$h_1 \leq c_{საშ}, \text{ ამიტომ } \frac{\omega_1^2 - c_{საშ}^2}{2g} \leq 0.$$

$$h_{s1} = \frac{p_0}{\gamma} - \frac{p_1}{\gamma} = h_{s1} - h_{s1}$$

ეს ფორმულა გვიჩვენებს, რომ სითხის შეწოვის შესაძლებელ სიმაღლეს ამცირებენ ჰიდრაულიკური წინაღობანი (h_{s1}) და ინერციის წინაღობანი (h_{s1}), აგრეთვე წნევა, რომელსაც განიცდის ღღუში შეწოვის დროს ($\frac{p_1}{\gamma}$). ეს უკანასკნელი წარმოადგენს გადასაქაჩი სითხის ორთქლის დრეკადობას, რომელიც დამოკიდებულია სითხის ტემპერატურაზე (იზრდება სითხის ტემპერატურის ზრდასთან ერთად) და, მაშასადამე, რაც უფრო მაღალია სითხის ტემპერატურა, მით უფრო მეტია მისი ორთქლის დრეკადობა და მით უფრო ნაკლები იქნება შეწოვის შესაძლებელი სიმაღლე. გარდა ამისა, შეწოვის შესაძლებელი სიმაღლე დამოკიდებულია ატმოსფერულ წნევაზე, რომელიც როგორც ვიცით, ცვალებადია: რაც უფრო მაღლა მდებარეობს ზღვის დონესთან შედარებით, ტუმბოს მუშაობის ადგილი მით უფრო მცირეა ატმოსფერული წნევა, როგორც ეს ჩანს ქვემოთოყვანილ მე-19 ცხრილიდან:

ცხრილი 19

ადგილის სიმაღლე ზღვის დონესთან შედარებით (მ)	0	100	200	300	400	500
ატმოსფერული წნევა (კგრცხ. წყლ. სვეტ. მმ)	760	751	742	733	724	716

600	700	800	900	1000	1200	1500	2000
707	699	690	682	674	658	635	595

ღღუშიანი ტუმბოსათვის საჭირო სიმძლავრე. საჭირო სიმძლავრის განსაზღვრისათვის აღენიშნათ;

$$p = h \gamma - \left(\frac{v^2}{2g} \right) - \text{წნევა, რომელსაც ტუმბოს ღღუში განიცდის;}$$

$$F - (m^2) - \text{ღღუშის ფართი;}$$

$$S - (m) - \text{ღღუშის სელა;}$$

$$\gamma - \left(\frac{kg}{m^3} \right) - \text{სითხის ხეცდრითი წონა.}$$

მუშაობა, რომელსაც ეწევა ღღუში ლილვის ერთ ბრუნვაზე, ტოლია

$$T = p \cdot F \cdot S \text{ (კგმ),}$$

$$T = h \cdot \gamma \cdot F \cdot S \text{ (კგმ);}$$



მაშასადამე, თეორიულად საჭირო სიმძლავრე (ც. ძ.) თუ ლილვი აკეთდება
 $n \frac{ბრ}{წთ}$, ტოლი იქნება:

$$N_{\sigma} = \frac{T \cdot n}{75 \cdot 60} = \frac{h \cdot \gamma \cdot F \cdot S \cdot n}{75 \cdot 60} \quad (\text{ც. ძ.}),$$

მაგრამ ზემოთქმულის თანახმად:

$$FSn = \frac{Q_{\sigma}}{1000},$$

ამიტომ

$$N_{\sigma} = \frac{Q_{\sigma} \cdot H \cdot \gamma}{1000 \cdot 75 \cdot 60} \quad (\text{ც. ძ.}),$$

სადაც Q_{σ} — $\left(\frac{ლ}{წთ}\right)$ არის ტუმბოს თეორიული მწარმოებლობა. ფაქტიურად საჭირო სიმძლავრე მეტი გამოდის. როგორც ზემოთ ვთქვი, ფაქტიური მწარმოებლობა ტუმბოსი თეორიულზე ნაკლებია, მაშასადამე:

$$Q_{\sigma} = \eta_1 Q_{\sigma}.$$

აგრეთვე თვით ტუმბოში ჰიდრავლიკური დანაკარგების გამო სითხის, საერთო აწევის ფაქტიური სიმაღლე (h_{σ}) თეორიულზე ნაკლებია, ე. ი.

$$h_{\sigma} = \eta_2 h_{\sigma},$$

სადაც η_2 არის ტუმბოს ჰიდრავლიკური მარგი ქმედების კოეფიციენტი.

$$\eta_2 = \frac{h_{\sigma}}{h_{\sigma}} = \frac{h_{\sigma}}{h_{\sigma} + h_{\delta}},$$

სადაც h_{δ} არის წნევის დანაკარგი თვით ტუმბოში.

გარდა ამისა, ტუმბოში არის წმინდა მექანიკური ხასიათის დანაკარგებიც (ხახუნი ჩობალებში, საკისრებში და სხვ.); ამიტომ ფაქტიურად საჭირო სიმძლავრე კიდევ მეტია საჭირო:

$$N_{\sigma} = \frac{N_{\sigma}}{\eta_3} \quad (\text{ც. ძ.}),$$

სადაც η_3 არის მექანიკური მარგი ქმედების კოეფიციენტი. ყველა დანაკარგის გათვალისწინებით ტუმბოს საერთო მარგი ქმედების კოეფიციენტი ტოლი იქნება:

$$\eta = \eta_1 \cdot \eta_2 \cdot \eta_3.$$

დღეისათვის ტუმბოებისათვის

$$\eta = 0,072 \div 0,98.$$

საბოლოოდ ფაქტიურად საჭირო სიმძლავრე განისაზღვრება ფორმულით

$$N_{\sigma} = \frac{Q_{\sigma} \cdot h_{\sigma} \cdot \gamma}{4500 \cdot 600 \cdot \eta} \quad (\text{ც. ძ.}) \quad (194)$$



დგუშიანი ტუმბოების ზოგიერთი მაჩვენებელი. დგუშიანი ტუმბოს რითადი ზომების განსაზღვრის დროს უნდა ვისარგებლოთ ზოგიერთი ნებლით, რომლებიც პრაქტიკამ შეიმუშავა ტუმბოების ექსპლოატაციის შედეგად.

ბრუნვათა რიცხვის შერჩევა უნდა მოვახდინოთ შემდეგ ფარგლებში:

ნელმავალი ტუმბოებისათვის $n = (40 \div 60) \frac{\text{ბრ}}{\text{წთ}}$;

ჩვეულებრივი ტუმბოებისათვის $n = (60 \div 160) \frac{\text{ბრ}}{\text{წთ}}$;

სწრაფმავალი ტუმბოებისათვის $n = (160 \div 250) \frac{\text{ბრ}}{\text{წთ}}$;

დგუშის საშუალო სიჩქარე $v_{\text{შ}} \text{ უნდა შევარჩიოთ შემდეგ ფარგლებში:}$

ნელმავალი ტუმბოებისათვის $(0,3 \div 0,6) \frac{\text{მ}}{\text{წმ}}$;

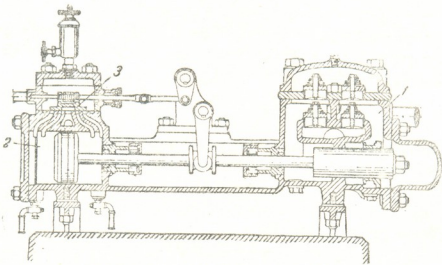
ჩვეულებრივი ტუმბოებისათვის $(0,6 \div 1,2) \frac{\text{მ}}{\text{წმ}}$;

სწრაფმავალი ტუმბოებისათვის $(1,2 \div 2) \frac{\text{მ}}{\text{წმ}}$.

ამ მონაცემების შესაბამისად ფარდობა $\frac{S}{D}$ უნდა შევარჩიოთ შემდეგ ფარგლებში:

ნელმავალი და ჩვეულებრივი ტუმბოებისათვის $3 \div 6$,
სწრაფმავალი ტუმბოებისათვის $1 \div 2$.

პირდაპირ მოქმედი ტუმბოები. პირდაპირ მოქმედი ტუმბო წარმოადგენს დგუშიან ტუმბოს, უშუალოდ შეერთებულს ორთქლის მანქანასთან, ისეთ-



ნახ. 153. პირდაპირ მოქმედი ტუმბოს სქემა.

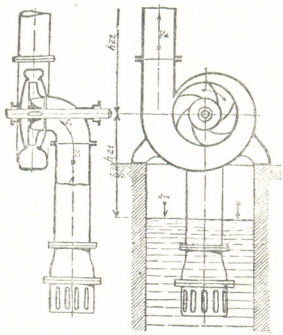
ნაირად, რომ წყლისა და ორთქლის დგუში ერთ საერთო კოკზე არიან დაყენებული. ვინაიდან ამ ტუმბოში არ არის მბრუნავი ნაწილები, სითხის მი-



წოდება თითქმის სავსებით თანაბარია. ნახ. 153-ზე მოყვანილია პირდაპირი მოქმედი ტუმბოს სქემა. ამ სქემაზე ციფრებით აღნიშნულია: 1—ტუმბო; 2—ორთქლის მანქანა; 3—კვეთართ ორთქლის განაწილება. ასეთი ტიპის ტუმბოები ფართოდ გავრცელებულია ადგილობრივ წყლით მომარაგებისათვის და, განსაკუთრებით, ორთქლის ქვაბებში საკვები წყლის მიწოდებისათვის. მოსკოვის ქარხანა „Вырез“ უშვებს ასეთ ტუმბოებს მწარმოებლობით $(65 \div 2000)$ $\frac{\text{წ}}{\text{თ}}$ და საერთო წნევით 25 ატმოსფერომდე.

§ 20. ცენტრიდანული ტუმბოები

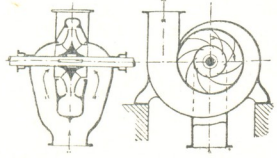
ცენტრიდანული ტუმბოების მოქმედების პრინციპი და კლასიფიკაცია. ცენტრიდანული ტუმბო (ნახ. 154) შედგება გარსაცმისაგან (ტუმბოს კორპუსი), რომელშიაც ბრუნავს სამუშაო თვალი. ამ თვალზე დამაგრებულია სპეციალური მოყვანილობის ფრთები. სამუშაო თვლის ბრუნებას ახდენს რომელიმე ძრავა (უფრო ხშირად ელექტრომობილი, ზოგჯერ გადაცემის საშუალებით და უფრო ხშირად კი უშუალოდ (ძრავის ღერძი ქუროთი უერთდება ტუმბოს ღერძს). თუ ტუმბო გუყვებულა სითხით, მაშინ ბრუნვის დროს, ბორბალი წარიტაცებს სითხის იმ ნაწილს, რომელიც მის ფრთებს ეხება და სითხის ეს ნაწილი აგრეთვე ბრუნვით მოძრაობას დაიწყებს. ამ ბრუნვითი მოძრაობის შედეგად შეიქმნება ცენტრიდანული ძალა, რომელიც სითხეს ცენტრიდან პერიფერიისაკენ გადაადგილებს და ბოლოს, თვლიდან გარსაცმში განდევნის. თვალზე სითხის გადაადგილება გამოიწვევს თვალთან გაუხშობას, რის გამოც შემწოვი მილიდან ატმოსფეროს წნევის მეოხებით შევა სითხე. ამრიგად, ვიდრე თვალი ბრუნავს, სითხე განუწყვეტლად შედის შემწოვი მილიდან თვალზე და, აგრეთვე, განუწყვეტლად გავა თვლიდან გარსაცმში, ხოლო იქიდან—საქირბნ მილში, ე. ი. სითხე განუწყვეტლად იდენს ტუმბოში სულ ერთსადაიმავე მიმართულებით და თანაბრად. ამიტომ ცენტრიდანულ ტუმბოს სარქველები არ ესაჭიროება. ეს გარემოება დიდ უპირატესობას ანიჭებს ცენტრიდანულ ტუმბოს დღეშიანი ტუმბოს წინაშე.



ნახ. 154. ცენტრიდანული ტუმბოს სქემა.

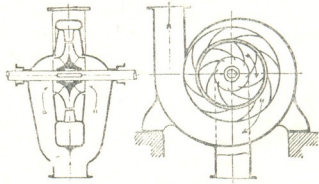
სამუშაო თვალი შედგება ორი დისკოსაგან, რომელთა შორის დამაგრებულია ფრთები. ეს ფრთები დისკოებს შორის მოთავსებულ სივრცეს განცალკევებულ არხებად ტიხრავენ. ამის გამო სითხე შემწოვის მხრიდან სამუშაო თვალზე შესვლისას ცალ-ცალკე ნაკადებად იყოფა, თვლიდან გარსაცმში

გამოსვლისას კი სითხის ცალკე ნაკადები ისევე ერთ მთლიან ნაკადს ჰქმნიან, მაშასადამე, სითხე თვალზე გადაადგილებისას არხებში მოძრაობს. როგორც ეს ტუმბოს სქემიდან ჩანს (ნახ. 154), არხის კვეთი არ არის მუდმივი: ის სითხის მოძრაობის გზადაგზა ფართოვდება. ამიტომ სითხის თვლის არხებში მოძრაობის სიჩქარე თანდათან კლებულობს, რის გამოც, ბერნულის განტოლების თანახმად, იზრდება წნევა. მაშასადამე, სამუშაო თვალზე ხდება სითხის მოძრაობის კინეტიკური ენერჯის წნევის პოტენციურ ენერჯიად გარდაქმნა. ამ გარდაქმნის პროცესი ტუმბოს გარსაცმშიც გრძელდება, რადგანაც გარსაცმშიც სითხის გასასვლელი კვეთი საჭირონ მილამდე გზადაგზა მატულობს. ამიტომაც გარსაცმს ხვეულის მოყვანილობა აქვს. სითხე შედის ტუმბოში ღერძის გასწვრივ. ამიტომ შემწოვი მილი ტუმბოსთან მუხლით არის შეერთებული. საჭირონი მილი კი უერთდება გარსაცმს მხები მიმართულებით. ზემოაღწერილი ტუმბო (ნახ. 154) შედარებით დაბალ წნევის ავითარებს. ამის შესაბამისად ასეთ ტუმბოებს დაბალი წნევის ტუმბოები ეწოდება. უფრო მაღალი წნევის მისაღებად სამუშაო თვალსა და გარსაცმს შორის იდგმება მეორე უძრავი თვალი, რომელსაც მიმართველი აპარატი ანუ დიფუზორი ეწოდება. დიფუზორზედაც დამაგრებულია ფრთები, რომლებიც იმავე მოყვანილობისაა, როგორც სამუშაო თვლის ფრთები, მხოლოდ დაყენებული არიან შებრუნებით. დიფუზორიან ტუმბოებში სიჩქარის წნევად გარდაქმნა ხდება სამუშაო თვალზედაც დიფუზორშიც და გარსაცმშიც, რის შედეგად შესაძლებელი ხდება საბოლოოდ უფრო მაღალი წნევა მივიღოთ, ვიდრე უდიფუზორო ტუმბოებში. ამიტომაც დიფუზორიან ტუმბოებს მაღალი წნევის



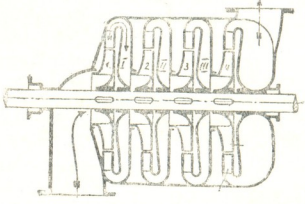
ნახ. 154. დიფუზორიანი ცენტრიდანული ტუმბო, რომელიც სითხეს ორი მხრიდან შეიწოვს.

ტუმბოები ეწოდება. დიფუზორიანი ტუმბოს სქემა მოყვანილია ნახ. 155-ზე. ზოგიერთ შემთხვევაში სითხის თვალზე შესასვლელი სიჩქარის შემცირების მიზნით სითხის შეწოვას ტუმბოში ორივე მხრიდან ანხორციელებენ. სამუშაო თვალსა სათანადო მოყვანილობა ეძლევა. ასეთი ორმხრივი შეწოვა შეიძლება განხორციელდეს როგორც დაბალი წნევის (უდიფუზორო) ტუმბოში (ნახ. 156), ისე მაღალი წნევის (დიფუზორიანი) ტუმბოში (ნახ. 155). აღწერილი ტუმბოები ერთთვლიანი ტუმბოებია. არსებობს აგრეთვე მრავალთვლიანი ტუმბოებიც. იმისდა მიხედვით, თუ რა პირობებში ვამუშავეთ ამ თვლებს მრავალთვლიანი ტუმბოს ერთთვლიან ტუმბოსთან შედარებით შეუძლია სხვა-



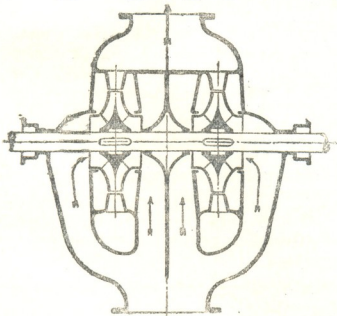
ნახ. 155. უდიფუზორო ცენტრიდანული ტუმბო, რომელიც სითხეს ორი მხრიდან შეიწოვს.

დასხვა ეფექტი მოგვცეს: თუ თვლებს ვამუშავებთ ისე, რომ სითხე ერთი ნაკადის სახით თანმიმდევრულად, გაივლის ყველა თვალს, მაშინ თითოეული თვალი მიანიჭებს სითხეს წნევას და, მაშასადამე, ტუმბოდან სითხე გამოვა წნევით, რომელიც თეორიულად ტოლი იქნება $p \cdot n$, სადაც p არის თითოეულ თვალზე მიღებული წნევა n კი—სამუშაო თვლების რიცხვი (პრაქტიკულად დანაკარგების გამო საბოლოო წნევა pn -ზე ნაკლები გამოდის). ასეთი ტუმბოს სქემა მოყვანილია ნახ. 157-ზე. ამ ნახაზზე არაბული ციფრებით აღნიშნულია სამუშაო თვლები, რომაული ციფრებით კი—დიფუზორები. ასეთ ტუმბოებს მრავალსაფეხურიანი ტუმბოები ეწოდება. შეიძლება მრავალთვლიანი ტუმბო ვამუშაოთ ისე, რომ სითხე გაიყოს იმდენ ნაკადად, რამდენი თვალიც აქვს ტუმბოს. ეს ნაკადები პარალელურად გაივლიან თითოეული თავის სამუშაო თვალს და, ცხადია, თითოეული მიიღებს თვალზე ერთსა და იმავე წნევას.



ნახ. 157. მრავალთვლიანი ცენტრიდანული ტუმბო (მრავალსაფეხურიანი).

საჭიროებთ კამერაში ეს ნაკადები ისევ შეერთდებიან და საჭიროებთ მილისაკენ მიიმართებიან. ამ ტუმბოს მრავალქავლიანი ტუმბო ეწოდება. ასეთი ტიპის ორთვლიანი ტუმბოს სქემა მოყვანილია ნახ. 158-ზე. ადვილად გასაგებია, რომ



ნახ. 158. მრავალთვლიანი ცენტრიდანული ტუმბო (მრავალქავლიანი)

მრავალსაფეხურიანი ტუმბო უნდა ვიხმაროთ მაშინ, როდესაც სითხის მცირე რაოდენობა მისაწოდებელია დიდი წნევით, ხოლო მრავალქავლიანი ტუმბო მაშინ, როდესაც სითხის დიდი რაოდენობა უნდა მივაწოდოთ მცირე წნევით. თეორიულად შესაძლებელია დავაპროექტოთ ისეთი ტუმბო, რომელიც ერთი თვლის საშუალებით განავითარებს დიდ წნევას, მაგრამ ტუმბო ვამოვა ისეთი მძიმე კონსტრუქციის, რომ მისი ექსპლუატაცია არაეკონომიური იქნება. ამიტომ ჩვეულებრივად

ერთ თვალს გაიანგარიშებენ წნევაზე არა უმეტეს 100 მმ. წყ. სვ. უფრო დიდი წნევისათვის უნდა მივმართოთ მრავალსაფეხურიან ტუმბოს და თვლების რაოდენობაც უნდა განვსაზღვროთ იმ ვარაუდით, რომ



დეს წნევა არა უმეტეს 100 მმ. წყ. სვ. აგრეთვე თუ მისაწოდებელია რაოდენობა სითხისა, შემწოვი მილი ძალიან დიდი კვეთისა გამოვეს. ბესია ვიხმართ მრავალქველიანი ტუმბო და თვლების რაოდენობა განვს. ზღვრით იმ ვარაუდით, რომ ტუმბოს შემწოვ მხარეზე სითხის სიჩქარე არ აღემატებოდეს $2\frac{m}{\sqrt{d}}$; თვლების რაოდენობა ზოგჯერ 10-ს აღწევს.

ცენტრიდანული ტუმბოს მუშაობა. როგორც ზემოთ აღვნიშნეთ, სითხე შედის ტუმბოში ღერძის გასწვრივ, შემდეგ კი რადიუსის მიმართულებით სამუშაო თვლის არხში. ამ მომენტიდან სითხე თვალთან ერთად ბრუნავს ღერძის ირგვლივ მანამდე, ვიდრე ცენტრიდანული ძალა მას არ განდევნის სამუშაო თვლიდან დიფუზორში ან უშუალოდ გარსაცმში. მაშასადამე, სამუშაო თვლის არხებში გასვლისას სითხეს რთული მოძრაობა აქვს: შეფარდებითი მოძრაობა თვლის მიმართ და გადატანითი მოძრაობის თვალთან ერთად. ამ ორი მოძრაობის შედეგად მივიღებთ სითხის აბსოლუტურ მოძრაობას. ტუმბოს მუშაობის გასარკვევად აღვნიშნოთ:

- $\omega_1 - \left(\frac{m}{\sqrt{d}}\right)$ — სითხის მოძრაობის სიჩქარე შემწოვ მილში;
- $\omega_2 - \left(\frac{m}{\sqrt{d}}\right)$ — სითხის მოძრაობის სიჩქარე საკირხნ მილში;
- $\omega_3 - \left(\frac{m}{\sqrt{d}}\right)$ — სითხის მოძრაობის შეფარდებითი სიჩქარე სამუშაო თვლის არხის შესავალში;
- $\omega_4 - \left(\frac{m}{\sqrt{d}}\right)$ — სითხის მოძრაობის შეფარდებითი სიჩქარე სამუშაო თვლის არხიდან გასასვლელში;
- $n - \left(\frac{br}{\sqrt{t}}\right)$ — თვლის ბრუნვათა რიცხვი წუთში;
- E — თვლის ბრუნვის კუთხური სიჩქარე;
- $D_0 - (m)$ — შემწოვი მუხლის კვეთის დიამეტრი;
- $D_1 - (m)$ — სამუშაო თვლის შინაგანი მოხაზულობის დიამეტრი;
- $D_2 - (m)$ — სამუშაო თვლის გარე მოხაზულობის დიამეტრი;
- $F_1 - (m^2)$ — ფრთებს შორის არხის შესასვლელი კვეთი;
- $F_2 - (m^2)$ — ფრთებს შორის არხის გასასვლელი კვეთი;
- R_1 — ბორბლის შიგა შემოწერილობის რადიუსი;
- R_2 — ბორბლის გარეშემოწერილობის რადიუსი;

$c_1 - \left(\frac{m}{\sqrt{d}}\right)$ — სითხის მოძრაობის აბსოლუტური სიჩქარე სამუშაო თვლის არხის შესასვლელში;

$c_2 - \left(\frac{m}{\sqrt{d}}\right)$ — სითხის მოძრაობის აბსოლუტური სიჩქარე სამუშაო თვლის არხიდან გასასვლელში.

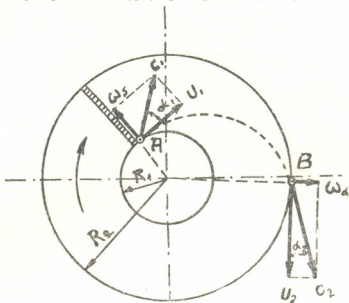
როგორც ზემოთ აღვნიშნეთ, სითხე მოძრაობს თვლის მიმართ სიჩქარით ω_3 შესასვლელში და სიჩქარით ω_4 გასასვლელში. ამავე დროს ის ბრუნავს თვალთან ერთად სიჩქარით: თვლის შინაგან წრეზე:

$$U_1 = \frac{2\pi \cdot R_1 \cdot n}{60} \left(\frac{m}{\sqrt{d}}\right),$$

თვლის გარე წრეზე:

$$U_2 = \frac{2\pi \cdot R_2 \cdot n}{60} \left(\frac{\partial}{\partial \varphi} \right).$$

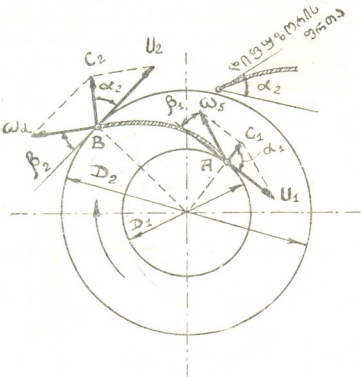
სითხის მოძრაობის აბსოლუტური სიჩქარეები c_1 და c_2 ტოლი იქნებიან ამ სიჩქარეთა გეომეტრიული ჯამისა (სიჩქარეთა შეკრება პარალელოგრამის წესით). ვთქვათ, რომ სამუშაო თვლის ფრთას სწორხაზოვანი მოხაზულობა აქვს (როგორც ყველაზე უფრო მარტივი) და დაყენებულია რადიუსის მიმართულეებით (ნახ. 159). ავარგოთ სიჩქარეთა პარალელოგრამები როგორც შესასვლელში (წერტილი A), ისე გასასვლელში (წერტილი B). თვალი რომ არ ბრუნავდეს, სითხე შევიდოდა თვალზე სიჩქარით w_3 და გამოვიდოდა თვლიდან სიჩქარით w_4 , მაგრამ, ვინაიდან თვალი ბრუნავს თავისი ღერძის ირგვლივ, ამიტომ თვალთან ერთად სითხეც დატრიალდება და თვლიდან მიიღებს სიჩქარეს U_1 -ს. აბსოლუტური სიჩქარე სითხის მოძრაობისა c_1 იქნება დიაგონალი სწორკუთხედისა, რომელსაც გვორდებდალ აქვს w_3 და U_1 სიჩქარეები. c_1 იქნება კუთ-



ნახ. 159. სქემა ცენტრიდანული ტუმბოს განაგარი-შეებისათვის.

ხე აბსოლუტურ სიჩქარე c_1 -სა და წრიულ სიჩქარე U_1 -ს შორის. მსგავსი სურათი გვექნება თვლიდან გასასვლელში (წერტილი B). როგორც სიჩქარეთა პარალელოგრამი გვიჩვენებს, აბსოლუტური სიჩქარის მიმართულებას შუალედი ადგილი უჭირავს რადიალურ და მხებ მიმართულებათა შორის. შემწოვი მილიდან კი სითხე შედის რადიუსის მიმართულეებით და, მაშასადამე, ადგილი ექნება სიჩქარის მიმართულების შეცვლას, რაც გამოიწვევს პილრაული კურ დარტყმას, ე. ი. დანაკარგს. ამ დარტყმის თავიდან ასაცილებლად საჭიროა, რომ სითხეს თვლის გასვლის დროს ჰქონდეს აბსოლუტური სიჩქარე ისეთივე მიმართულებისა, რაც აქვს შემწოვ არეში, ე. ი. რადიუსის მიმართულეებით: როგორც ეს სიჩქარეთა პარალელოგრამიდან ჩანს, აბსოლუტური სიჩქარის c_1 -ს მიმართულება დამოკიდებულია მდგენელ სიჩქარეთა w_3 და U_1 -ს მიმართულებაზე. მაშასადამე, აბსოლუტური სიჩქარის სასურველი მიმართულების მისაღებად საჭიროა სათანადოდ შეეცვალოთ მდგენელ სიჩქარეთა მიმართულება. U_1 სიჩქარე, როგორც წრიული სიჩქარე, მუდამ მიმართულია ბრუნვის ტრაექტორიის მხები მიმართულებით და მისი შეცვლა შეუძლებელია. ამიტომ უნდა შეიცვალოს w_3 სიჩქარის მიმართულებით. როგორც ეს ჩანს სიჩქარეთა პარალელოგრამიდან (ნახ. 160), სიჩქარე w_3 მიმართული უნდა იყოს

ბრუნვის მიმართულების საწინააღმდეგოდ. ცხადია, რომ $\alpha_1 = 90^\circ$. ამიტომ უნდა ჰქონდეს მრუდი მოყვანილობა, რომელიც ამოხსნილია ბრუნვის მიმართულებისაკენ. სითხის აბსოლუტური მოძრაობის ტრაექტორია გამოსახულია მრუდით AB . თვლიდან გასასვლელში (წერტილი B) კუთხეს α_2 -ს იღებენ $8 \div 15^\circ$ -მდე. იმისათვის, რომ სამუშაო თვლიდან დიფუზორის ფრთაზე გადასვლისას დარტყმა არ მოხდეს, დიფუზორის ფრთის ისეთ მოყვანილობას აძლევენ, რომ სითხე კუთხით α_2 შევიდეს დიფუზორის ფრთაზე (ნახ. 160). როგორც ზემოთ აღვნიშნეთ, სამუშაო თვალი რომ არ ბრუნავდეს, სითხე შევიდოდა თვალზე სიჩქარით w , და გადმოვიდოდა თვლიდან სიჩქარით w_d . ამ შემთხვევაში ბერნულის განტოლების თანახმად თეორიულად (დანაკარგების გარეშე):



ნახ. 160. სიჩქარეთა პარალელურობა ტუმბოს თვალზე.

$$\frac{p_1}{\gamma} + \frac{w_s^2}{2g} = \frac{p_2}{\gamma} + \frac{w_d^2}{2g}$$

სადაც $p_1 - \left(\frac{\rho g}{g^2}\right)$ არის სითხის წნევა სამუშაო თვალზე შესვლისას;

$p_2 - \left(\frac{\rho g}{g^2}\right)$ - სითხის წნევა სამუშაო თვლიდან გამოსვლისას.

მაგრამ, ვიდრე სითხე სამუშაო თვალზე მოძრაობს, მასზე იმავე მიმართულებით მოქმედებს ცენტრიდანული ძალა, რომელიც სითხეს დამატებით ენერჯიას შემატებას. თუ ტუმბოს ღერძის ბრუნვის კუთხურ სიჩქარეს აღვნიშნავთ ε , მაშინ ცენტრიდანული ძალა ტოლი იქნება:

$$Z = m \varepsilon^2 R \quad (კვ.)$$

ეს ძალა მოქმედებს რადიუსის მიმართულებით, მისი ელემენტარული მუშაობა g -ის ელემენტზე dR -ზე იქნება:

$$dT = m \varepsilon^2 R dR \quad (კვ. მ),$$

ხოლო მისი სრული მუშაობა ტოლი იქნება:

$$T = \int m \varepsilon^2 \cdot R dR.$$



ჩვენს შემთხვევაში ეს ძალა მოქმედებს გზის ნაკვეთზე ზომით $R_2 - R_1$, მაშინვე დასადასტურებელია, რომელსაც სითხე ცენტრიდანული ძალისაგან მიიღებს, უღრის:

$$T = \int_{R_1}^{R_2} m \varepsilon^2 R dR = m \varepsilon^2 \left(R \cdot dR = m \varepsilon^2 \left| \frac{R^2}{2} \right|_{R_1}^{R_2} = m \varepsilon^2 \left(\frac{R_2^2}{2} - \frac{R_1^2}{2} \right) = \frac{m}{2} (\varepsilon^2 R_2^2 - \varepsilon^2 R_1^2) = \frac{m}{2} [(\varepsilon R_2)^2 - (\varepsilon R_1)^2].$$

მაგრამ

$$R_2 \varepsilon = U_2 \text{ და } R_1 \varepsilon = U_1,$$

ამიტომ

$$T = \frac{m}{2} (U_2^2 - U_1^2) \text{ (კვ. მ.)}$$

1 კგ სითხისათვის $m = \frac{1}{g}$ და, მაშასადამე, რაოდენობა ენერჯისა, რასაც 1 კგ სითხე შეიძენს სამუშაო თვლიდან გასვლისას შეადგენს:

$$T = \frac{U_2^2 - U_1^2}{2g} \text{ (კვ. მ.)}$$

აქედან შეგვიძლია დავწეროთ, რომ:

$$\frac{p_1}{\gamma} + \frac{\omega_s^2}{2g} + \frac{U_1^2 - U_2^2}{2g} = \frac{p_2}{\gamma} + \frac{\omega_d^2}{2g},$$

წნევა სამუშაო თვლის არხში უღრის წნევათა სხვაობას არხის თავსა და ბოლოში, ე. ი.

$$\frac{p}{\gamma} = \frac{p_2 - p_1}{\gamma} = \frac{U_2^2 - U_1^2}{2g} + \frac{\omega_s^2 - \omega_d^2}{2g}. \quad (195)$$

სითხის შეწოვა, როგორც ვიცით, ხდება ატმოსფერული წნევის $|p_a|$ მეოხებით. ნაწილი ამ წნევისა დაიხარჯება შეწოვის სიმაღლის (h_{Σ}) დასაძლევად, ნაწილი კი ჰიდრაულიკურ წინაღობათა ($h_{\Sigma 1}$) დასაძლევად. მაშასადამე, სითხეს სამუშაო თვალზე მისვლისას ექნება ენერჯია:

$$\frac{p_a}{\gamma} - h_{\Sigma 1} - \varepsilon h_{\Sigma 1}$$

ეს ენერჯია წარმოდგენილი იქნება ორი სახით: სტატიკური წნევით $\frac{p_1}{\gamma}$ და დინამიკური წნევით $\frac{c_1^2}{2g}$.

მაშასადამე, შეგვიძლია დავწეროთ, რომ:

$$\frac{p_1}{\gamma} + \frac{c_1^2}{2g} = \frac{p_a}{\gamma} - h_{\Sigma 1} - \varepsilon h_{\Sigma 1}. \quad (196)$$

ანალოგიურად შეგვიძლია დავწეროთ, რომ:

$$\frac{p_2}{\gamma} + \frac{c_2^2}{2g} = \frac{p_1}{\gamma} + h_{s2} + \varepsilon h_{s2}. \quad (197)$$

განტოლებას (197) რომ გამოვაკლოთ განტოლებას (196), მივიღებთ:

$$\left(\frac{p_2}{\gamma} + \frac{c_2^2}{2g} \right) - \left(\frac{p_1}{\gamma} + \frac{c_1^2}{2g} \right) = \left(h_{s2} + \frac{p_1}{\gamma} + \varepsilon h_{s2} \right) - \left(\frac{p_1}{\gamma} - h_{s1} - \varepsilon h_{s1} \right),$$

საიდანაც:

$$\frac{p_2}{\gamma} - \frac{p_1}{\gamma} = (h_{s1} + h_{s2}) + (\varepsilon h_{s1} + \varepsilon h_{s2}) - \frac{c_2^2 - c_1^2}{2g},$$

ვინაიდან

$$\varepsilon h_{s1} + \varepsilon h_{s2} = \varepsilon h_s; \quad h_{s1} + h_{s2} = h_s$$

და აგრეთვე განტოლების (195) თანახმად

$$\frac{p_2}{\gamma} - \frac{p_1}{\gamma} = \frac{U_2^2 - U_1^2}{2g} + \frac{\omega_s^2 + \omega_d^2}{2g}$$

$$h_s + \varepsilon h_s = \frac{c_2^2 - c_1^2}{2g} + \frac{U_2^2 - U_1^2}{2g} + \frac{\omega_s^2 + \omega_d^2}{2g}.$$

$h_s + \varepsilon h_s = h$ (სრული მანომეტრული წნევა) და, მაშასადამე:

$$h = \frac{c_2^2 - c_1^2}{2g} + \frac{U_2^2 - U_1^2}{2g} + \frac{\omega_s^2 + \omega_d^2}{2g}. \quad (197a)$$

შეფარდებითი სიჩქარეები ω_s და ω_d გამოვსახოთ c და U სიჩქარეებით. ამისათვის მივმართოთ სიჩქარეთა პარალელოგრამს (ნახ. 160).

ირიბკუთხა სამკუთხედების ფორმულის თანახმად: თვალზე შესვლისას (წერტილი A):

$$\omega_s^2 = c_1^2 + U_1^2 - 2 U_1 c_1 \cos \alpha_1$$

თვლიდან გამოსვლისას (წერტილი B):

$$\omega_d^2 = c_2^2 + U_2^2 - 2 U_2 c_2 \cos \alpha_2,$$

ეს მნიშვნელობანი ფორმულაში (197a) რომ ჩავსვათ, მივიღებთ:

$$\begin{aligned} h &= \frac{c_2^2 - c_1^2}{2g} + \frac{U_2^2 - U_1^2}{2g} + \frac{c_1^2 + U_1^2 - 2 U_1 c_1 \cos \alpha_1 - c_2^2 - U_2^2 + 2 U_2 c_2 \cos \alpha_2}{2g} = \\ &= \frac{U_2 c_2 \cos \alpha_2 - U_1 c_1 \cos \alpha_1}{g}. \end{aligned}$$

როგორც ზემოთ აღვნიშნეთ,

$$\alpha_1 = 90^\circ \text{ და } \cos \alpha_1 = 0.$$

ამიტომ

$$h = \frac{U_2 c_2 \cos \alpha_2}{g}. \quad (198)$$

ამ ფორმულაში h წარმოადგენს თეორიულ წნევას, ფაქტიურად, როგორც ყველა ტუმბოს, ცენტრიდანულ ტუმბოსაც, როგორც ჰიდრავლიკურ მანქანას, აქვს თავისი მარგი ქმედების კოეფიციენტი η_2 , რომელიც წარმოადგენს ფაქტიურ წნევის თეორიული წნევისადმი შეფარდებას, ე. ი.

$$\eta_2 = \frac{h_{\text{ფ}}}{h},$$

აქედან:

$$h_{\text{ფ}} = h \cdot \eta_2,$$

და, მაშასადამე, ფორმულა (198) მიიღებს შემდეგ სახეს:

$$h_{\text{ფ}} = \eta_2 \frac{U_2 c_2 \cos \alpha_2}{g}. \quad (199)$$

განტოლებას (199) ცენტრიდანული ტუმბოს ძირითადი განტოლება ეწოდება.

ცენტრიდანული ტუმბოების ჰიდრავლიკური მარგი ქმედების კოეფიციენტი η_2 მერყეობს შემდეგ ფარგლებში:

$\eta_2 = 0,55 + 0,65$ — ჩვეულებრივი უდიფუზორო ცენტრიდანული ტუმბოებისათვის;

$\eta_2 = 0,65 + 75$ — დიფუზორიანი ერთბორბლიანი ცენტრიდანული ტუმბოებისათვის;

$\eta_2 = 0,75 + 0,85$ — მრავალსაფეხურიანი ცენტრიდანული ტუმბოებისათვის.

ცენტრიდანული ტუმბოს ძირითადი განტოლების ფორმულა (199) გვიჩვენებს, რომ:

როდესაც

$$\alpha_2 = 90^\circ; \cos \alpha_2 = 0, \text{ მაშინ } h_{\text{ფ}} = 0,$$

როდესაც

$$\alpha_2 = 90 + 180; \cos \alpha_2 < 0, \text{ მაშინ } h_{\text{ფ}} < 0,$$

ე. ი. წნევა უარყოფითი ხდება.

როდესაც

$$\alpha_2 = 0; \cos \alpha_2 = 1,$$

მაშინ

$$h_{\text{ფ}} = \eta_2 \frac{U_2 c_2}{g},$$

ე. ი. მაქსიმალურ წნევას მივიღებთ მაშინ, როდესაც $\alpha_2 = 0$. ვინაიდან ასეთი კუთხის შექმნა კონსტრუქციული მოსაზრების გამო შეუძლებელია, ამიტომ,



როგორც ზემოთ აღენიშნეთ, $\alpha_2 = 8 + 15$. ფრთების დახრის კუთხეების (β_1 და β_2) მნიშვნელობის გასარკვევად ისევ მივმართოთ სიჩქარეთა პარალელოგრამს (ნახ. 160):

თვალში შესასვლელთან (წერტილი γ) გვექნება:

$$\frac{c_1}{U_1} = \frac{\sin \beta_1}{\sin [180 - (\alpha_1 + \beta_1)]} = \frac{\sin \beta_1}{\sin (\alpha_1 + \beta_1)},$$

მაგრამ, რადგანაც, $\alpha_1 = 90^\circ$,

ამიტომ
$$\frac{c_1}{U_1} = \frac{\sin \beta_1}{\sin (90 + \beta_1)} = \frac{\sin \beta_1}{\cos \beta_1} = \operatorname{tg} \beta_1, \quad (200)$$

თვლიდან გამოსასვლელში გვექნება:

$$\frac{c_2}{U_2} = \frac{\sin \beta_2}{\sin [180 - (\alpha_2 + \beta_2)]} = \frac{\sin \beta_2}{\sin (\alpha_2 + \beta_2)};$$

აქედან

$$c_2 = U_2 \frac{\sin \beta_2}{\sin (\alpha_2 + \beta_2)}. \quad (201)$$

ძირითად განტოლებაში (199) რომ ჩავსვათ c_2 -ის მნიშვნელობა ფორმულის (201) თანახმად, მივიღებთ:

$$h_{\text{ფ}} = \eta_2 \frac{U_2^2}{g} \frac{\sin \beta_2 \cos \alpha_2}{\sin (\alpha_2 + \beta_2)}.$$

მაგრამ

$$\begin{aligned} \frac{\sin \beta_2 \cos \alpha_2}{\sin (\alpha_2 + \beta_2)} &= \frac{\sin \beta_2 \cos \alpha_2}{\sin \alpha_2 \cos \beta_2 + \sin \beta_2 \cos \alpha_2} = \\ &= \frac{\frac{\sin \beta_2 \cdot \cos \alpha_2}{\sin \beta_2 \cdot \cos \alpha_2}}{\frac{\sin \alpha_2 \cdot \cos \beta_2}{\sin \beta_2 \cdot \cos \alpha_2} + \frac{\sin \beta_2 \cdot \cos \alpha_2}{\sin \beta_2 \cdot \cos \alpha_2}} = \frac{1}{1 + \operatorname{tg} \alpha_2 \operatorname{ctg} \beta_2}, \end{aligned}$$

ღა, მაშასადამე:

$$h_{\text{ფ}} = \eta_2 \frac{U_2^2}{g} \frac{1}{1 + \operatorname{tg} \alpha_2 \cdot \operatorname{ctg} \beta_2}$$

აქედან კი

$$\eta_2 = \frac{h_{\text{ფ}} \cdot g}{U_2^2} (1 + \operatorname{tg} \alpha_2 \operatorname{ctg} \beta_2). \quad (202)$$

ამ ფორმულიდან ჩანს, რომ ცენტრიდანული ტუმბოს ჰიდრაულიკური მარჯი ქმედების კოეფიციენტის სიდიდე დამოკიდებულია ნამრავლის $\operatorname{tg} \alpha_2 \operatorname{ctg} \beta_2$ ნიშანზე (ე. ი. მიმატება ეს ნამრავლი 1-ს, თუ გამოაკლდება); რადგანაც $\alpha_2 < 90^\circ$, ამიტომ $\operatorname{tg} \alpha_2 > 0$. მაშასადამე, $\operatorname{tg} \alpha_2 \cdot \operatorname{ctg} \beta_2$ ნამრავლის ნიშანი დამოკიდებულია $\operatorname{ctg} \beta_2$ -ს ნიშანზე. ამიტომ:

$$\text{როდესაც } \beta_2 < 90^\circ, \text{ მაშინ } \eta_2^* > \frac{h_{\text{ფ}} \cdot g}{U_2^2};$$

$$\text{როდესაც } \beta_2 = 90^\circ, \text{ მაშინ } \eta_2 = \frac{h_{\text{ფ}} \cdot g}{U_2^2};$$

$$\text{როდესაც } \beta_2 > 90^\circ, \text{ მაშინ } \eta_2 < \frac{h_{\text{ფ}} \cdot g}{U_2^2}.$$

მაშასადამე, η_1 ყველაზე დიდი გამოდის მაშინ, როდესაც $\beta_2 < 90^\circ$ -ზე, ე. ი. როდესაც ფრთა მოღუნულია უკანისაკენ. ეს გარემოება, ზემონათქვამთან დამატებით. ამტკიცებს იმის საჭიროებას, რომ ფრთას ჰქონდეს მრული მოყვანილობა, უკანისაკენ გაღმობუნული. საერთოდ

$$\beta_2 = 20^\circ + 50^\circ.$$

ცენტრიდანული ტუმბოს მწარმოებლობა. ცენტრიდანული ტუმბოს მწარმოებლობა დამოკიდებულია სამუშაო თვლის სიგანეზე და აგრეთვე სითხის მოძრაობის სიჩქარეზე. როგორც ვიცით, სითხის მოძრაობის აბსოლუტური სიჩქარე თვალზე შესვლისას არის c_1 და თვლიდან გამოსვლისას — c_2 . დამატებით აღვნიშნოთ (ნახ. 160): h_1 (მ) სამუშაო თვლის სიგანე შინაგან წრეზე, h_2 (მ) სამუშაო თვლის საგანე გარე წრეზე, $V_{\text{ფ}} \left(\frac{\text{მ}^3}{\text{წმ}} \right)$ სითხის რაოდენობა, რომელიც გადის ტუმბოში ერთ წამში; ტუმბოს მწარმოებლობა ტოლი იქნება:

$$V_{\text{ფ}} = 2\pi \cdot R_1 \cdot h_1 \cdot c_1 \cdot \sin \alpha_1 = 2\pi R_2 h_2 c_2 \sin \alpha_2.$$

ვინაიდან

$$\alpha_1 = 90^\circ \text{ და } \sin \alpha_1 = 1,$$

ამიტომ

$$V_{\text{ფ}} = 2\pi R_1 h_1 c_1 = 2\pi R_2 h_2 c_2 \sin \alpha_2. \quad (203)$$

ცენტრიდანული ტუმბოსათვის საჭირო სიმძლავრე. საჭირო სიმძლავრე განისაზღვრება ზემომოყვანილი ფორმულის თანახმად

$$N_{\text{ფ}} = \frac{Q_{\text{ფ}} \cdot H_{\text{ფ}} \cdot \gamma}{4500000 \cdot \eta} \text{ (ტ. ძ.),}$$

სადაც η არის ტუმბოს საერთო მარგი ქმედების კოეფიციენტი.

$$\eta = \eta_1 \cdot \eta_2 \cdot \eta_3,$$

სადაც η_1 არის მიწოდების კოეფიციენტი;

η_2 — ჰიდრავლიკური მარგი ქმედების კუთხე, ზემოთ უკვე ხსენებული;

η_3 — მექანიკური მარგი ქმედების კოეფიციენტი, რომლის მნიშვნელობა მერყეობს შემდეგ ფარგლებში;

$\eta_3 = 0,5 + 0,7$ ზვეულებრივ უდიფუზორო ცენტრიდანული ტუმბოები-სათვის;

$\eta_3 = 0,6 \div 0,7$ ერთთვლიანი დიფუზორიანი ცენტრიდანული ტუმბოებისათვის;

$\eta_4 = 0,7 \div 0,8$ მრავალსაფეხურიანი ცენტრიდანული ტუმბოებისათვის. საერთო მარგი ქმედების კოეფიციენტის სიდიდე მერყეობს: $\eta = 0,5 \div 0,75$.

შეწოვის სიმაღლე. ფორმულის 11 თანახმად წნევა სამუშაო თვალზე შესვლისას ტოლია:

$$\frac{p_1}{\gamma} = \frac{p_0}{\gamma} - h z_1 - \frac{c_1^2}{2g} - \sum h v_1,$$

სქელან შეწოვის შესაძლებელი სიმაღლე ტოლია:

$$h z_1 = \frac{p_0}{\gamma} - \frac{c_1^2}{2g} - \frac{p_1}{\gamma} - \sum h v_1.$$

დგუშიან ტუმბოსთან შედარებით ცენტრიდანულ ტუმბოში შეწოვის სიმაღლე უფრო დიდი გამოდის, რადგანაც მასში არ არის წნევის დანაკარგი ინერციაზე ($\sum h v_1$).

შეფარდებანი ცენტრიდანული ტუმბოს მაჩვენებელთა შორის. როგორც სიჩქარეთა პარალელოგრამიდან ჩანს (ნახ. 160):

$$\frac{c_1}{v_2} = \frac{\sin \beta_2}{\sin [180 - (\alpha_2 + \beta_2)]} = \frac{\sin \beta_2}{\sin (\alpha_2 + \beta_2)},$$

საიდანაც

$$c_1 = v_2 \frac{\sin \beta_2}{\sin (\alpha_2 + \beta_2)},$$

მწარმოებლობა კი ტოლი იქნება:

$$V_{\text{შ}} = 2 \pi R_2 b_2 v_2 \frac{\sin \beta_2 \cdot \sin \alpha_2}{\sin (\alpha_2 + \beta_2)},$$

ვინაიდან

$$v_2 = \frac{2 \pi R_2 \cdot n}{60},$$

ამიტომ:

$$V_{\text{შ}} = 2 \pi R_2 b_2 \frac{2 \pi R_2 n}{60} \frac{\sin \beta_2 \cdot \sin \alpha_2}{\sin (\alpha_2 + \beta_2)} = (2 \pi R_2)^2 \cdot \frac{b_2}{60} \cdot \frac{\sin \beta_2 \cdot \sin \alpha_2}{\sin (\alpha_2 + \beta_2)} n. \quad (204)$$

ამ ფორმულიდან ჩანს, რომ ტუმბო ზომების შეუცვლელად მწარმოებლობის შეცვლა შეიძლება მხოლოდ ბრუნვათა რიცხვის n -ის შეცვლით. ფორმულაში შემავალი ყველა სიდიდე, გარდა n -სა, მუდმივი დარჩება; ამიტომ შეგვიძლია აღვნიშნოთ

$$(2 \pi R)^2 \cdot \frac{b_2}{60} \cdot \frac{\sin \beta_2 \cdot \cos \alpha_2}{\sin (\alpha_2 + \beta_2)} = k,$$

მაშინ

$$V_{\text{შ}} = k \cdot n, \quad (205)$$



თუ ტუმბო n_1 ბრუნვათა რიცხვის დროს გვაწვდიდა სითხეს რაოდენობა $V'_{\text{გვ}}$, ხოლო ჩვენ კი გვინდა, რომ ტუმბომ ზომების შეუცვლელად მოგვცეს $V''_{\text{გვ}}$ რაოდენობა, მაშინ ფორმულის (205) თანახმად გვექნება:

$$V'_{\text{გვ}} = k \cdot h_1 \quad V''_{\text{გვ}} = k n_2$$

აქედან

$$\frac{V'_{\text{გვ}}}{V''_{\text{გვ}}} = \frac{k n_1}{k n_2} = \frac{n_1}{n_2}$$

ე. ი. ცენტრიდანული ტუმბოს მწარმოებლობა პირდაპირ პროპორციულია ბრუნვათა რიცხვისა.

ფორმულის (201) თანახმად

$$c_2 = u_2 \frac{\sin \beta_2}{\sin(\alpha_2 + \beta_2)}$$

c_2 -ის მნიშვნელობა რომ ჩავსვათ ცენტრიდანული ტუმბოს ძირითად თეორიულ განტოლებაში (198) მივიღებთ

$$h = \frac{u_2^2 \sin \beta_2 \cos \alpha_2}{g \sin(\alpha_2 + \beta_2)}$$

და ვინაიდან

$$u_2 = \frac{2\pi R_2 n}{60}$$

ამიტომ

$$h = \left(\frac{2\pi R_2}{60}\right)^2 \cdot \frac{\sin \beta_2 \cdot \cos \alpha_2}{g \cdot \sin(\alpha_2 + \beta_2)} \cdot n^2$$

თუ ტუმბოს ზომებს არ შევუცვლით, მაშინ ყველა სიდიდე, გარდა n -სა, ამ უკანასკნელ ფორმულაში მუდმივი იქნება და ამიტომ შეგვიძლია აღვნიშნოთ:

$$\left(\frac{R - R_2}{60}\right)^2 \cdot \frac{\sin \beta_2 \cos \alpha_2}{g \cdot \sin(\alpha_2 + \beta_2)} = i$$

მაშინ

$$h = i n^2, \tag{207}$$

ე. ი. ტუმბოს წნევა პირდაპირ პროპორციულია ბრუნვათა რიცხვის კვადრატისა. ორ წნევას შორის შეფარდება ერთსა და იმავე ტუმბოში იქნება:

$$h_1 = i n_1^2; \quad h_2 = i n_2^2; \quad \frac{h_1}{h_2} = \frac{i n_1^2}{i n_2^2} \quad \frac{h_1}{h_2} = \left(\frac{n_1}{n_2}\right)^2 \tag{208}$$

სიმძლავრის ფორმულა გვაძლევს:

$$N_{\text{გვ}} = \frac{Q_{\text{გვ}} \cdot h_{\text{გვ}} \cdot \gamma}{4500000 \cdot \eta} = \frac{\gamma}{4500000 \cdot \eta} = Q_{\text{გვ}} h_{\text{გვ}}$$

შაგრამ (205) ფორმულის თანახმად

$$V_{\text{გვ}} = k \cdot n \quad \text{და ვინაიდან} \quad Q_{\text{გვ}} = 60000 V_{\text{გვ}}$$

ამიტომ

$$Q_{\text{გვ}} = 60000 k \cdot n$$

აგრეთვე ფორმულის (207) თანახმად

$$h_{\text{ფ}} = tn^2,$$

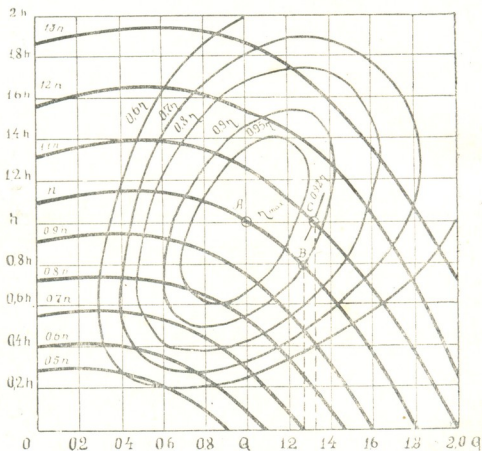
მაშასადამე,

$$h_{\text{ფ}} = \frac{\gamma}{450000 \cdot \eta} \cdot 60000 k \cdot n \cdot tn^2 = \frac{\gamma}{75} k \cdot t \cdot n^3 = ktn^3,$$

ე. ი. ტუმბოს სიმძლავრე პირდაპირ პროპორციულია ბრუნვათა რიცხვის კუბისა. ერთსა და იმავე ტუმბოში ორ სიმძლავრეს შორის შემდეგი შეფარდება იქნება:

$$N_1 = k \cdot tn_1^3; N_2 = ktn_2^3 \quad \frac{N_1}{N_2} = \frac{ktn_1^3}{ktn_2^3} \quad \frac{N_1}{N_2} = \left(\frac{h_1}{h_2}\right)^3. \quad (209)$$

სინამდვილეში შეფარდებანი, გამოსახული ფორმულებით (200) და (209), ზუსტად არ არიან დაცული, რადგანაც ტუმბოს მაჩვენებელთა ყოველ ცვლილებას თან სდევს მარგი ქმედების კოეფიციენტის ცვლილება. ამი-



ნახ. 161. ცენტრიდანული ტუმბოს დახასიათება.

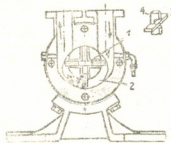
ტომ თითოეული ტიპის ტუმბოსათვის ფაქტიური შეფარდებანი უნდა მოიძებნოს ცდის საშუალებით. ტუმბოს გამომშვები ქარხნები ამ შეფარდებებს იძლევიან სპეციალური დიაგრამის სახით, რომელსაც ტუმბოს დახასიათება ჰქვია. ასეთი დახასიათების მაგალითს წარმოადგენს დიაგრამა, რომელიც მოყვანილია ნახ. 161-ზე.

ამ დიაგრამაზე მოყვანილია მრუდები, რომლებიც ერთმანეთთან აკავშირებენ ტუმბოს სხვადასხვა მაჩვენებელს. წერტილი A გვაძლევს ამ ტუმბოს მაჩვენებლებს ნორმალური მუშაობისათვის (ძიწოდება— Q , საერთო წნევა— h , ბრუნვათა რიცხვი— n , მარგი ქმედების კოეფიციენტი η_{max}). თუ რაიმე მიზეზის გამო წნევა შემცირდა და საჭირო შეიქნა მხოლოდ $0,8 h$ იმავე ბრუნვათა რიცხვის დროს, მაშინ $0,8 h$ წნევა ხაზისა და h მრუდის გადაკვეთაზე მივიღებთ წერტილ B -ს, რომლის აბსცისის მოგვეცემს ახალ მიწოდებას (დიაგრამაზე $1,25 Q$) და ტუმბოს მარგი ქმედების კოეფიციენტი კი ტოლი იქნება $0,9 \eta_{max}$. თუ იმავე წნევის h -ს დროს ტუმბოს მივემატებთ ბრუნვათა რიცხვს (n -ის მაგივრად მოგვეცემს $1,1 n$ ბრუნვას), მაშინ h -ის ხაზის და $1,1 n$ -ის მრუდის გადაკვეთაზე მივიღებთ წერტილ C -ს, რომლის აბსცისის მოგვეცემს ახალ მიწოდებას (დიაგრამაზე $1,3 Q$) და ახალი მარგი ქმედების კოეფიციენტს (დიაგრამაზე $\eta = 0,92 \eta_{max}$).

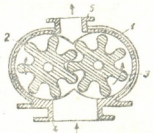
§ 21. საროტაციო ტუმბოები

საროტაციო ტუმბო წარმოადგენს ცილინდრს, რომელშიაც ერთი, ან უფრო ხშირად, ორი დგუში ბრუნავს თავის ღერძის გარშემო. დგუში სიგრძით მთლიანად ავსებს ცილინდრს, დგუშის კვეთის მოყვანილობა კი აღებულია ისეთი, რომ ცილინდრსა და დგუშს შორის რჩება განსაზღვრული მოცულობის სივრცე, რომელიც ივსება გადასაქაჩი სითხით. დგუში, თავისი ბრუნვის დროს დევნის სითხეს, ამიტომ მოძრაობის მოპირდაპირე მიმართულებით იქმნება გაუსწოება, რის გამოც ტუმბოს ცილინდრში შემწოვი მილიდან შეაწოვება სითხე.

საროტაციო ტუმბოების კონსტრუქცია მრავალია. განსხვავება მათ შორის ძირითადად იმაში მდგომარეობს, თუ როგორ არის შექმნილი სივრცე ტუმბოს ცილინდრსა და დგუშს შორის. ნახ. 162-ზე მოყვანილია სქემატური განივი კრილი საროტაციო ტუმბოსი, რომელშიაც ღერძი (1) ტუმბოს ცილინდრის (2) მიმართ ექსცენტრიულად არის დაყენებული. ღერძს ჯვარედინად გაკეთებული აქვს გასწვრივი ღარები, რომლებშიაც თავისუფლად ჩადგმულია ფირფიტები (3 და 4). ღერძის ბრუნვის დროს ცენტრიდანული ძალის მეოხებით ფირფიტა თავის მუდრიდან ამოდის და ეკვრის ცილინდრის კედლებს. ამის გამო ფირფიტა ჰკაფს დგუშის ცილინდრს ორ არედ: შემწოვ და საჭირბნ არედ. სითხის მოძრაობა ტუმბოში ისრებით არის ნაჩვენები. ნახ. 163-ზე მოყვანილია სქემატური განივი კრილი საროტაციო ტუმბოსი, რომლის გარსაცმში (1) ბრუნავს ორი დგუში (2 და 3). ამ დგუშებს აქვთ კბილანა განივი კვეთი. დგუშები თავისი თავის ღერძზე ბრუნავენ ერთმანეთის მოპირდა-



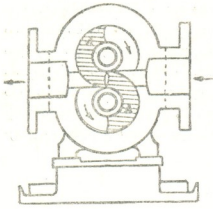
ნახ. 162. საროტაციო ექსცენტრიული ტუმბო.



ნახ. 163. საროტაციო ტუმბო ვასკვლევა დგუშებით.



პირღ. დგუშების კბილანები მოდებული არიან ერთმანეთთან უღრიკოდ, უზრუნველყოფს ტუმბოს შემწოვი არეს (4) საჭირხნ არესთან (5) გათიშვას. შეწოვილი სითხე ტუმბოში ორად იყოფა. ერთ ნახევარს კბილებით გადაადგილებს ერთი დგუში, მეორე ნახევარს—მეორე დგუში. საჭირხნ არეში ორი ნაკადი ისევ ერთმანეთს უერთდება. ნახ. 164-ზე მოყვანილია სქემატური განივი ჭრილი საროტაციო ტუმბოსი, რომელშიაც აგრეთვე ორი ღერძია და ორი დგუში (A); განსხვავება არის მხოლოდ დგუშის განივი კვეთის მოყვანილობაში.



ნახ. 164. საროტაციო ტუმბო ნახევარწილელი დგუშებით.

საროტაციო ტუმბოს განგარიშება. წინათ მიღებული აღნიშვნების დამატებით აღვნიშნოთ:
 F_0 — (მ²)—ტუმბოს ცილინდრის, ანუ საშუალო სივრცის განივი კვეთი;
 F_e — ტუმბოს დგუშის განივი კვეთი;
 l — (მ)—ტუმბოს ცილინდრის და დგუშის სიგრძე;
 n — $\left(\frac{ბრ}{წთ}\right)$ —ტუმბოს ღერძის ბრუნვათა რიცხვი.

საროტაციო ტუმბოს მწარმოებლობა ტოლი იქნება:

$$V_{გა} = \frac{(F_0 - F_e) l \cdot n}{60} \left(\frac{მ^3}{წთ}\right) \quad (210)$$

ანუ

$$Q_{გა} = 1000 (F_0 - F_e) l \cdot n \eta_1 \left(\frac{ლ}{წთ}\right), \quad (211)$$

სადაც η_1 არის მიწოდების კოეფიციენტი.

ხშირად ხმარობენ ე. წ. აესების კოეფიციენტს (ψ), რომელიც ტოლია:

$$\psi = \frac{(F_0 - F_e) l}{F_0 l} = \frac{F_0 - F_e}{F_0}$$

აქედან

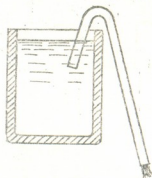
$$F_0 - F_e = \psi F_0,$$

მაშინ ფორმულა (211) შემდეგნაირად გადაიწერება:

$$Q_{გა} = 1000 \cdot \psi F_0 l \cdot n \cdot \eta_1 \left(\frac{ლ}{წთ}\right). \quad (212)$$

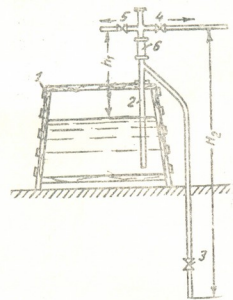
დანარჩენი განგარიშებები საროტაციო ტუმბოსათვის (მათ შორის სიმძლავრის განსაზღვრა) ხდება იმავე წესით და ფორმულებით, როგორც დგუშიანი ტუმბოსათვის. განსხვავება იქნება მხოლოდ იმაში, რომ საროტაციო ტუმბოს არა აქვს სარქველები და აგრეთვე ის თანაბრად მოძრაობს, საროტაციო ტუმბოსათვის, როგორც ცენტრიდანულ ტუმბოს, არ ექნება წნეის დანაკარგები სარქველების წინაღობასა და აგრეთვე ინერციის ძალის წინააღობის დასაძლევად.

სიფონის მოქმედების პრინციპი. სიფონი წარმოადგენს უმარტივეს საშუალებას ჭურჭლიდან სითხის ჩამოსასხმელად. სიფონში სითხის როგორც შეწოვა, ისე მიწოდება ხდება ატმოსფერული წნევის მეოხებით. სიფონის სქემა მოყვანილია ნახ. 165-ზე. მოღუნული მილი წინასწარ ძაბრის საშუალებით ივსება სითხით. თუ ამ მილის ერთ ბოლოს ჩაყოფთ სითხეში და მეორე ბოლოს კი (რომელიც პირველ ბოლოზე უფრო დაბლა უნდა მდებარეობდეს) გავაღებთ—სითხე სიმძიმის ძალის მეოხებით მილიდან გადმოიღვრება; ამის გამო მილში შეიქმნება ვაკუუმი და სითხის ზედაპირზე მოქმედი ატმოსფერული წნევა შერეკავს სიფონში სითხეს, რომელიც იღენს სიფონში განუწყვეტლად მანამდე, ვიდრე ღონეთა სიმაღლეების სხვაობა $h_1 - h_2$ საკმარისი იქნება მოძრაობის ყველა წინაღობის დასაძლევად. სიფონის წინასწარ სითხით ავსება შეიძლება მოვასხმით სპეციალური მოწყობილობის საშუალებით, რომლის სქემა მოყვანილია ნახ. 166-ზე.



ნახ. 165. მარტივი სიფონის სქემა.

სიფონის მოქმედების პრინციპი. სიფონი წარმოადგენს უმარტივეს საშუალებას ჭურჭლიდან სითხის ჩამოსასხმელად. სიფონში სითხის როგორც შეწოვა, ისე მიწოდება ხდება ატმოსფერული წნევის მეოხებით. სიფონის სქემა მოყვანილია ნახ. 165-ზე. მოღუნული მილი წინასწარ ძაბრის საშუალებით ივსება სითხით. თუ ამ მილის ერთ ბოლოს ჩაყოფთ სითხეში და მეორე ბოლოს კი (რომელიც პირველ ბოლოზე უფრო დაბლა უნდა მდებარეობდეს) გავაღებთ—სითხე სიმძიმის ძალის მეოხებით მილიდან გადმოიღვრება; ამის გამო მილში შეიქმნება ვაკუუმი და სითხის ზედაპირზე მოქმედი ატმოსფერული წნევა შერეკავს სიფონში სითხეს, რომელიც იღენს სიფონში განუწყვეტლად მანამდე, ვიდრე ღონეთა სიმაღლეების სხვაობა $h_1 - h_2$ საკმარისი იქნება მოძრაობის ყველა წინაღობის დასაძლევად. სიფონის წინასწარ სითხით ავსება შეიძლება მოვასხმით სპეციალური მოწყობილობის საშუალებით, რომლის სქემა მოყვანილია ნახ. 166-ზე.



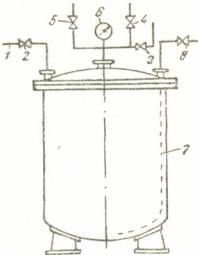
ნახ. 166 სიფონი, რომელშიაც გამოყენებულია შეკუმშული ჰაერი.

კოდში (1) ჩასმულია სითხე; სიფონის მილის (2) ერთი ბოლო ჩაყოფილია სითხეში, მეორე ბოლო კი ჭურჭლის გარეთაა და მისზე დაყენებულია საკეტი (3). სიფონის მილის უმაღლეს წერტილში დაყენებულია ჩასახედი ფარანი (6). ფარანი ერთი მილის (4) საშუალებით შეერთებულია ვაკუუმტუმბოსთან, მეორე მილის (5) საშუალებით კი ატმოსფეროსთან. სიფონის ასამუშაებლად უნდა გაიღოს ონკანი (4). ვაკუუმტუმბო შეიწოვს ჰაერს, სიფონში შეიქმნება ვაკუუმი, რის გამოც სიფონის მილში (2) სითხე აიწევს. როდესაც სითხე უკვე ჩასახედ ფარანში გამოჩნდება, ონკანი (4) იკეტება და ონკანი (3) იღება. სითხე სიმძიმის ძალის მეოხებით გარეთ გადმოიღვრება და, მასასადავს, მოხდება ჭურჭლიდან გარეთ სითხის განუწყვეტელი დენა. სიფონის მოქმედების შეწყვეტა ხდება ონკანის (5) გაღებით. ეს ონკანი აერთებს სიფონის მილს ატმოსფეროსთან. სიფონი იხმარება უფრო ხშირად იმ შემთხვევაში, როდესაც რაიმე მოსაზრებით არ არის სასურველი ჭურჭელში ონკანის დაყენება და აგრეთვე იმ შემთხვევაში, როდესაც საჭიროა ჭურჭლიდან სითხის მხოლოდ ზემო ნაწილის გადმოსხმა.

§ 23. მ ო ნ ე თ ე თ

მონტეჟიუ წარმოადგენს მოწყობილობას სითხის გადაადგილებისათვის ჰაერის ან სხვა რაიმე ინერტული გაზის საშუალებით. მონტეჟიუს სქემა მო-

ყვანილია ნახ. 167-ზე. მონტეჟიუს ძირითადი ნაწილი—კორპუსი წარმოადგენს ცილინდრულ კოდს სფერული ფსკერითა და ხუფით. მონტეჟიუს ხუფში შედის რამდენიმე მილი: სითხის მიმღები მილი (1) ონკანით (2),



ნახ. 167. მონტეჟიუს სქემა.

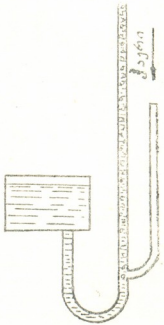
სითხის მიმწოდებელი მილი ონკანით (8), შეკუმშული ჰაერის მილსადენი ონკანით (4), ვახუშობული ჰაერის მილსადენი ონკანით (5), ატმოსფეროსთან შემაერთებული მილი ონკანით (3). მონტეჟიუ შემდეგნაირად მუშაობს: თუ გადასაჭაჩი სითხე მოთავსებულია ჭურჭელში, რომელიც მონტეჟიუს კორპუსის ზემოთ მდებარეობს, მაშინ მონტეჟიუში სითხე შეიძლება თვითღინებით ჩაისხას. ამისათვის უნდა გაილოს ონკანი (2). ამავე დროს უნდა გაილოს ონკანი (3) იმისათვის, რომ კორპუსში მოთავსებული ჰაერი ატმოსფეროში გამოვიდეს. თუ თვითღინებით სითხის კორპუსში ჩასხმა შეუძლებელია, მაშინ სითხე უნდა შეიწოვოს კორპუსში ვაკუუმტუმბოს საშუალებით. ამისათვის უნდა გაილოს ონკანი (2) და ამავე დროს ონკანი

(5), ყველა დანარჩენი ონკანი გადაკეტილი უნდა იყოს. მონტეჟიუდან სითხის მიწოდებისათვის უნდა გაილოს საკეტები (4) და (8), დანარჩენი ონკანები კი დაიკეტოს. შეკუმშული ჰაერი განდენის სითხეს სითხის მიმწოდებელ მილში (7). შეკუმშული ჰაერის წნევას მილსადენში გვიჩვენებს მონომეტრი (6). სითხის მიწოდების შეწყვეტისათვის უნდა დაიკეტოს ყველა ონკანი და გაილოს ონკანი (3), კოდი ატმოსფეროს შეუერთდება და სითხის მოძრაობა შეწყდება. ხუფზე იდგმება დამცველი სარქველი (სქემაზე ნაჩვენებია არ არის), რომელიც სცემს ჰარბ წნევას და ამით იცავს კოდს გახეთქვისაგან. მონტეჟიუ ფართოდაა გავრცელებული ქიმიურ მრეწველობაში, იხმარება აგრეთვე ლუდის წარმოებაშიაც.

§ 24. მ ა ლ ი ფ ტ ი

ერლიფტის მოქმედების პრინციპი ნათლად ჩანს ნახ. 168-ზე მოყვანილი სქემიდან.

სითხით სავსე მილში შედის ცალკე მილის საშუალებით ჰაერი ან რომელიმე გაზი. თუ ჰაერის წნევა მეტია, ვიდრე სითხის ჰიდროსტატიკური წნევა ჰაერის შესვლის წერტილში, ჰაერი შეერევა სითხეს. ჰაერით გაჯღენთილ სითხეს უფრო ნაკლები ხვედრითი წონა ექნება, ვიდრე წმინდა სითხეს. ამიტომ სითხისა და ჰაერის ნარევი ზიარი ჭურჭლების კანონის თანახმად უფრო მალე აიწევს, ვიდრე წმინდა სითხე. თუ სითხის ჰაერით გაჯღენთვის პროცესი განუწყვეტლავ მიმდინა-

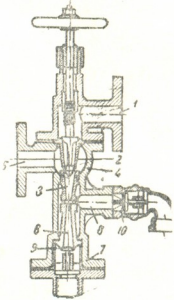


ნახ. 168. ერლიფტის სქემა.

რობს, აგრეთვე განუწყვეტლივ იდენს სითხე მილის ზემო კვეთიდან. ერლიფტი ძალიან მარტივია თავისი კონსტრუქციით; მას არა აქვს არავითარი მოძრავი მექანიზმი. ერლიფტის დიდ ღირსებას წარმოადგენს აგრეთვე ის, რომ მისი მუშაობა არ არის დამოკიდებული გადასაქაჩი სითხის ტემპერატურაზე. ერლიფტი მხოლოდ მოითხოვს საკომპრესიო დანადგარს შეკუმშული ჰერის მისაწოდებლად.

§ 25. ჰაველური ტუმბოები

ჰაველური ტუმბოებში სითხის გადაადგილება ხდება ორთქლის ან წყლის ჰაველის ენერჯის მეოხებით. ამის შესაბამისად ტუმბოები არის ორთქლჰაველური და წყალჰაველური. ორთქლჰაველური ტუმბოს კრილის სქემა მოყვანილია ნახ. 169-ზე. ორთქლი შედის ტუმბოში მილის (1) საშუალებით, გადის ორთქლის საქშენში (2), სადაც ის გასასვლელი კვეთის შევიწროების გამო დიდ სიჩქარეს ღებულობს. ამ სიჩქარით ის შედის შემრევ საქშენში (3). ამ ორ საქშენს შორის არის ღრიჭო, რის გამოც შემწვოვ კამერაში (4) გაუხშობა შეიქმნება და მილის (5) საშუალებით ტუმბოში გადასაქაჩი სითხე შეიწვობა: შეწოვილი სითხე შევა ღრიჭოში და ორთქლს შეერევა. ორთქლი კონდენსატად იქცევა და, მასადაბე, გადასცენს სითხეს თავისი კინეტიკური ენერჯის ნაწილს. გარდა ამისა, საქშენის (3) კვეთი თანდათან ვიწროვდება. ამიტომ ამრევ საქშენიდან სითხე დიდი სიჩქარით გამოდის და შედის დიფუზორში (6), რომელსაც კვეთი თანდათან უფართოვდება, რის გამოც ხდება სითხის სიჩქარის წნევად გარდაქმნა. ამ წნევით სითხე შედის საპირხნ მილში (7). გაშვების დროს ზედმეტი კონდენსატი და ორთქლი ღრიჭოდან მილის (8) საშუალებით საკონდენსაციო ქსელში გადადის.

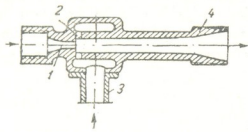


ნახ. 169. ორთქლჰაველური ტუმბო.

დიფუზორს (6) და კონდენსაციის გამყვან მილს (8) დაყენებული აქვს შეკცული სარქველები (9) და (10). ვინაიდან გადასაქაჩი სითხეს ერევა ორთქლი, ამიტომ სითხე თბება ($70 \div 90^\circ$). ორთქლჰაველური ტუმბოს გამოყენება მიზანშეწონილია იქ, სადაც სითხის მიერ ტუმბოში შექმნილი სითბო გამოუყენებლად არ დაიკარგება. გარდა ამისა, ამ ტუმბოს გამოყენება შეიძლება მხოლოდ მაშინ, როდესაც დასაშვებია გადასაქაჩი სითხის კონდენსაციით განზავება. ყველა ამის გამო, ორთქლჰაველურმა ტუმბოებმა ინჟექტორების სახელწოდებით ფართო გამოყენება ჰპოვეს ორთქლის ქვაბების (უმთავრესად ორთქლმზავლზე) საკვები წყლით მომარაგების საქმეში.

წყალჰაველური ტუმბოს სქემა მოყვანილია ნახ. 170-ზე. წყალსადენიდან წნევით შედის წყალი ტუმბოში. მან უნდა გაიაროს საქშენი (1), რომლის კვეთი გზადაგზა ვიწროვდება, რის გამო წყლის სიჩქარე თანდათან მატუ-

ლობს. საქმენიდან გამომავალი წყალი ნახვრეტებიდან (2), რომლებიც შეიწოვს გადასაქან სითხეს და წარიტაცებს მას საჭირბნ მილში (4). წყალქველურ ტუმბოში მოქმედებს მხოლოდ წყლის ქველის ცოცხალი ძალა. წყალქველური ტუმბო იხმარება როგორც დროებითი დანადგარი ორმოებიდან, სარდაფებიდან წყლის ამოსაქაჩად, როდესაც ადელი მისაწვდომია წყალსადენის წყლის მიღება.



ნახ. 170. წყალქველური ტუმბო.

§ 26. მ ა ზ ა ლ ი თ ე ბ ი

მაგალითი 39. განვსაზღვროთ ცალმაგქმედების დგუშისანი ტუმბოს ძირითადი ზომები მუშაობის შემდეგი პირობებისათვის: ტუმბომ უნდა მიაწოდოს წყალი რაოდენობით $Q=1200 \frac{\text{მ}^3}{\text{წთ}}$ და განავითაროს წნევა $h=50 \text{ მ}$.

ამოხსნა: 1. ავიღოთ მიცემის კოეფიციენტი $\eta_1=0,9$ (მცირე მწარმოებლობის გამო ვიღებთ მცირე η_1 -ს).

2. ტუმბო ნელმავალად უნდა მივიჩნიოთ, ამიტომ ვიღებთ

$$\text{ბრუნებათა რიცხვი } n=45 \frac{\text{ბრ}}{\text{წთ}}$$

$$\text{დგუშის საშუალო სიჩქარე } C_{საშ}=0,5 \frac{\text{მ}}{\text{წმ}}$$

3. დგუშის სელა ტოლი იქნება:

$$S = \frac{30 \cdot C_{საშ}}{n} = \frac{30 \cdot 0,5}{45} = 0,33 \text{ მ.}$$

4. დგუშის ფართი ტოლი უნდა იყოს:

$$F = \frac{Q_{\text{ტ}}}{\eta_1 \cdot s \cdot n \cdot 1000} = \frac{1200}{0,9 \cdot 0,33 \cdot 45 \cdot 1000} \approx 0,09 \text{ მ}^2.$$

დგუშის დიამეტრი:

$$D = \sqrt{\frac{4F}{\pi}} = \sqrt{\frac{4 \cdot 0,09}{3,14}} \approx 0,105 \text{ მ.}$$

5. შევამოწმოთ შეფარდება $\varphi = \frac{S}{D}$

$$\varphi = \frac{S}{D} = \frac{0,33}{0,105} \approx 3,2, \text{ რაც მისაღებია.}$$

6. განვსაზღვროთ მრუდმხარა (იხ. გვ.) მექანიზმის ზომები. მრუდმხარას რადიუსი:

$$r = \frac{s}{2} = \frac{0,33}{2} = 0,165 \text{ მ.}$$

ბარბაცას სიგრძე:

$$l = 5r = 5 \cdot 0,165 = 0,285 \text{ მ.}$$

7. ტუმბოსათვის საჭირო სიმძლავრე ფორმულის (194) თანახმად ტოლი იქნება:

$$N = \frac{Q_{\text{ფ}} \cdot h_{\text{ფ}} \cdot \gamma}{45\,000\,000 \cdot \eta}$$

$$\eta = \eta_1 \cdot \eta_2 \cdot \eta_3$$

$\eta_1 = 0,9$, ჰიდრაულიკური მარგი ქმედების კოეფიციენტი ავილოთ $\eta_2 = 0,42$ და მექანიკური მარგი ქმედების კოეფიციენტი $\eta_3 = 0,94$. აქედან ტუმბოს საერთო მარგი ქმედების კოეფიციენტი ტოლი იქნება

$$\eta = 0,9 \cdot 0,42 \cdot 0,94 \approx 0,77$$

და საჭირო სიმძლავრე:

$$N = \frac{1200 \cdot 50 \cdot 1000}{4\,500\,000 \cdot 0,77} \approx 17,4 \text{ ც. ძ.}$$

ანუ

$$N = \frac{17,4}{1,36} \approx 12,8 \text{ კვ.}$$

ელმოტორთა კატალოგის მიხედვით ვირჩევთ ელმოტორს, რომელსაც აქვს მაჩვენებლები:

$$N = 13,8 \text{ კვ; } n = 940 \frac{\text{ბრ}}{\text{წთ.}}$$

მაშასადამე, ელმოტორიდან ტუმბოზე უნდა მოეწყოს გადაცემა. გადაცემის საერთო რიცხვით:

$$i = \frac{940}{45} \approx 21.$$

8. ჰაერის ხუფის მოცულობა განვსაზღვროთ იმ ვარაუდით, რომ ხუფის უთანაბრობის კოეფიციენტი ტოლი იყოს $\delta = 0,05$. ფორმულის (192a) თანახმად:

$$\frac{V_{\text{max}} - V_{\text{min}}}{V_{\text{საშ}}} = \delta$$

და ფორმულის (190) თანახმად:

$$V_{max} - V_{min} = 0,55 F \cdot S$$

აქედან ხუფის მოცულობა ტოლი უნდა იყოს:

$$V_{საგ} = \frac{V_{max} - V_{min}}{\delta} = \frac{0,55 F \cdot s}{\delta} = \frac{0,55 \cdot 0,09 \cdot 0,33}{0,05} = 0,667 \text{ მ}^3.$$

მაგალითი 40. განვსაზღვროთ ცენტრიდანული ტუმბოს ძირითადი ზომები მუშაობის შემდეგი პირობებისათვის: ტუმბომ უნდა მიაწოდოს წყალი რაოდენობით $15000 \frac{\text{მ}^3}{\text{წთ}}$ წნევით 12 მ.

ამოხსნა: 1. მივიღოთ, რომ ტუმბო უშუალოდ შეერთებულია ელმოტორის ღერძთან:

$$h_a = h_b = 500 \frac{\text{ბრ}}{\text{წთ}}$$

2. მივიღოთ, რომ წყლის მოძრაობის სიჩქარე შემწოვ მილში და წყლის მოძრაობის აბსოლუტური სიჩქარე ბორბალზე შესვლისას ტოლი არიან:

$$c_0 = c_1 = 2 \frac{\text{მ}}{\text{წმ}}$$

3. ავიღოთ მიცემის კოეფიციენტი $\eta_1 = 0,95$, მაშინ წყლის საანგარიშო ხარჯი ტოლი იქნება:

$$Q = \frac{Q_{\text{მ}}}{\eta_1} = \frac{15000}{1000 \cdot 60 \cdot 0,95} = 0,262 \frac{\text{მ}^3}{\text{წმ}}$$

4. შემწოვი მილის კვეთი ტოლი უნდა იყოს:

$$F_0 = \frac{Q}{c_0} = \frac{0,262}{2} = 0,131 \text{ მ}^2.$$

ვინაიდან შემწოვი მილის კვეთის ნაწილი ღერძს უჭირავს, F_0 ამ მილის ცოცხალ კვეთად უნდა ჩაეთვალოს. თუ მივიღებთ, რომ ღერძს უჭირავს შემწოვი მილის კვეთის 15%, მაშინ ადგილი უნდა ჰქონდეს ტოლობას:

$$F_0 = 0,85 \frac{\pi d_0^2}{4},$$

საიდანაც შემწოვი მილის დიამეტრი ტოლი უნდა იყოს:

$$d_0 = \sqrt{\frac{4 F_0}{0,85 \cdot \pi}} = \sqrt{\frac{4 \cdot 0,131}{0,85 \cdot 3,14}} = 0,445 \text{ მ} = 445 \text{ მმ}.$$

5. სამუშაო ბორბლის შესასვლელი დიამეტრი:

$$D_1 \approx 1,05 d_0 = 1,05 \cdot 445 \approx 467 \text{ მმ.}$$

6. სამუშაო ბორბლის გამოსასვლელი დიამეტრი:

$$D_2 = (1,5 \div 3) D_1 = 1,5 \cdot 465 \approx 700 \text{ მმ.}$$

7. წრიული სიჩქარე ბორბლის შესასვლელში:

$$U_1 = \frac{\pi D_1 n}{60} = \frac{3,14 \cdot 0,465 \cdot 500}{60} = 12,2 \frac{\text{მ}}{\text{წმ}}.$$

ნიჩბის დახრის კუთხე ბორბლის შესასვლელში:

$$\operatorname{tg} \beta_1 = \frac{c_1}{U_1} = \frac{2}{n_1 \cdot 2} = 0,64; \beta_1 \approx 33^\circ.$$

8. წრიული სიჩქარე ბორბლიდან გასასვლელში:

$$U_2 = \frac{\pi D_2 n}{60} = \frac{3,14 \cdot 0,7 \cdot 500}{60} = 17,4 \frac{\text{მ}}{\text{წმ}}.$$

მივიღოთ ტუმბოს პიდრავლიკური მარგი ქმედების კოეფიციენტი $\eta_2 = 0,6$, ავიღოთ აგრეთვე

$$\alpha_2 = 11^\circ, \operatorname{tg} \alpha_2 = 0,176$$

მაშინ

$$\operatorname{tg} \alpha_2 \operatorname{ctg} \beta_2 = \frac{\eta_2 \cdot U_2^2}{h_{\text{შ}} \cdot g} - 1,$$

საიდანაც

$$0,176 \cdot \operatorname{ctg} \beta_2 = \frac{0,6 \cdot 17,6^2}{12 \cdot 9,81} - 1,$$

აქედან

$$\operatorname{ctg} \beta_2 = 2,8;$$

მაშასადამე, ფრთის დახრის კუთხე ბორბლიდან გასასვლელში ტოლი უნდა იყოს:

$$\beta_2 = 20^\circ.$$

9. წყლის აბსოლუტური სიჩქარე ბორბლიდან გამოსვლისას ტოლი იქნება:

$$c_2 = U_2 \frac{\sin \beta_2}{\sin (\alpha_2 + \beta_2)} = 17,4 \frac{0,342}{0,5} = 12 \frac{\text{მ}}{\text{წმ}}.$$

10. სამუშაო ბორბლის სიგანეებს განესაზღვრავთ ტოლობიდან:

$$V_{\text{შ}} = 2 \pi \cdot R_1 \cdot b_1 \cdot c_1 = 2 \pi R_2 \cdot b_2 \cdot c_2 \cdot \sin \alpha_2;$$

აქედან ბორბლის სიგანე შესასვლელში ტოლი იქნება:

$$b_1 = \frac{V_{\text{გზ}}}{2\pi \cdot R_1 \cdot c_1} = \frac{0,262}{2 \cdot 3,14 \cdot 0,232 \cdot 2} = 0,09 \text{ მ} = 90 \text{ მმ.}$$

ბორბლიდან გასასვლელში კი:

$$b_2 = \frac{V_{\text{გზ}}}{2\pi R_2 \cdot c_2 \cdot \sin \alpha_2} = \frac{0,262}{2 \cdot 3,14 \cdot 0,35 \cdot 12 \cdot 0,174} = 0,06 \text{ მ} = 60 \text{ მმ.}$$

11. ტუმბოსათვის საჭირო სიმძლავრე ტოლია:

$$N = \frac{Q \cdot h \cdot \gamma}{4500 \text{ 000 } \eta}$$

$$\eta = \eta_1 \cdot \eta_2 \cdot \eta_3 = 0,95 \cdot 0,610,99 = 0,513$$

$$N = \frac{15000 \cdot 12 \cdot 1000}{4500 \text{ 000} \cdot 0,573} \approx 70 \text{ ც. ძ.}$$

ანუ

$$N = \frac{70}{1,36} = 51 \text{ კვ.}$$

მაგალითი 41. ცენტრიდანული ტუმბო აკეთებს 1000 $\frac{\text{ბრ}}{\text{წთ}}$, აწვდის 500 $\frac{\text{ლ}}{\text{წთ}}$ წყალს წნევით 20 მმ. წყ. სვ. და სჭირდება სიმძლავრე 6 ც. ძ. როგორ შეიცვლება ტუმბოს მუშაობის მაჩვენებლები, თუ ტუმბოს მივცემთ 1200 $\frac{\text{ბრ}}{\text{წთ}}$?

ამოხსნა 1. მწარმოებლობა ტუმბოსი ტოლი იქნება:

$$Q_2 = Q_1 \frac{h_2}{h_1} = 500 \frac{1200}{1000} = 600 \frac{\text{ლ}}{\text{წთ.}}$$

2. ტუმბო განავითარებს წნევას

$$h_2 = h_1 \left(\frac{n_2}{n_1} \right)^2 = 20 \left(\frac{1200}{1000} \right)^2 = 20 \cdot 1,44 = 28,8 \text{ მმ. წყ. სვ.}$$

3. ტუმბოს დასჭირდება სიმძლავრე:

$$N_2 = N_1 \left(\frac{n_2}{n_1} \right)^3 = 6 \left(\frac{1200}{1000} \right)^3 = 6 \cdot 1,73 = 10,4 \text{ ც. ძ.}$$

თავი მესამე

გაზოგრივ მასალათა გადაზიდვა

§ 27. გაზის მოძრაობისა და შეკუმშვის პირობები

გაზის მოძრაობის პირობები. როგორც ეს ზემოთ გვექონდა აღნიშნული (§ 3), გაზების გადაადგილება აუცილებლად დახურულ მილსადენებში უნდა ხდებოდეს. გაზების გადაადგილებისათვის საჭიროა, რომ მილსადენის თავსა და ბოლოში არსებობდეს წნევათა სხვაობა. ამ წნევათა სხვაობას, შეგვიძლია შემდეგი საში წესის საშუალებით მივაღწიოთ:

1) გაზის ხვედრით წონათა სხვაობა, რაც გამოწვეულია გაზის ტემპერატურათა სხვაობით,

2) ინჟექცია და

3) გაზის შეკუმშვა ან გაუხშობა.

პირველი წესი ფართოდ იხმარება საცეცხლე დანადგარებში, კერძოდ, საქვამე დანადგარებში, სადაც ხდება ნამწვი გაზების ატმოსფეროში განდევნა (ბუნებრივი წვევა). ამ შემთხვევაში ცივი ჰაერი, რომელიც საცეცხლეში შედის, როგორც უფრო მძიმე, ატმოსფეროში დევნის საკვამლე მილში მოთავსებულ ნამწვი გაზებს. გაზის ამამოძრავებელი ძალა ამ შემთხვევაში პროპორციულია ხვედრითი წონების სხვაობისა ანუ საბოლოო ანგარიშში ტემპერატურათა სხვაობისა და აგრეთვე საკვამლე მილის სიმაღლისა. ასეთივე წესით ხდება სათავსებში ჰაერის გამოცვლა ანუ ე. წ. ბუნებრივი ვენტილაცია.

მეორე წესის (ინჟექციის) პრინციპი შემდეგში მდგომარეობს: მილსადენში გაზის მოძრაობის მიმართულებით მაღალი წნევის ორთქლი ან ჰაერი აპეციალური ნაცმიდან შეიშვება მილსადენში. ეს ქავლი აწვევა გარემოცულ კაზს, დევნის მას წინ, ჰქმნის უკან გაუხშობას და ამით უზრუნველყოფს მილსადენში გაზის მუდმივ დინებას.

მესამე წესი წარმოადგენს სპეციალური მანქანებით გაზის შეკუმშვას ან გაუხშობას, რის შედეგად იქმნება წნევათა სხვაობა მილსადენის ბოლოს და თავს შორის, რაც უზრუნველყოფს გაზის გადაადგილებას მაღალი წნევის მხრიდან მცირე წნევის მხრისაკენ.

გაზის შეკუმშვის პირობები. როდესაც წნევა ძალიან მცირეა (არა უმეტეს წყლის სვეტის 1000 მმ-სა), დიდი შეცდომა არ იქნება, თუ გაზს შეუკუმშავად ჩაეთვლით. უფრო დიდი წნევის დროს გაზის ხვედრითი წონა იმდენად იცვლება, რომ ეს უკვე საგრძნობლად მოქმედებს მანქანის მუშაობა-



ზე, რასაც ანგარიში უნდა გავუწიოთ. გაზის შეკუმშვის, როგორც ცნობილია, თან მოჰყვება სითბოს გამოყოფა. დიდი მნიშვნელობა აქვს იმას—ეს სითბო შორდება თუ არა გაზს მისი შეკუმშვის პროცესში. ამის მიხედვით შეკუმშვის პროცესი ორნაირია:

1. შეკუმშვა მუდმივი ტემპერატურის დროს, ე. ი. როდესაც კუმშვის შედეგად გამოყოფილი სითბო განუწყვეტლად და მთლიანად შორდება გაზს. ასეთ პროცესს ეწოდება იზოთერმული შეკუმშვა.

2. შეკუმშვა ისეთ პირობებში, როდესაც გამოყოფილი სითბო მთლიანად რჩება გაზში და აღიღებს მის ტემპერატურას. ასეთ შეკუმშვას ადიაბატური შეკუმშვა ეწოდება.

თერმოდინამიკიდან ცნობილია, რომ მუშაობა, რომელიც საჭიროა გაზის იზოთერმული შეკუმშვისათვის, ტოლია:

$$L_{იზ} = 10\,000 \cdot V_1 \cdot p_1 \ln \frac{p_2}{p_1} \quad (\text{კგ} \cdot \text{მ}), \quad (213)$$

სადაც: V_1 —(მ³) არის გაზის საწყისი მოცულობა;

p_1 — $\left(\frac{\text{კგ}}{\text{სმ}^2}\right)$ —გაზის წნევა შეკუმშვამდე;

p_2 — $\left(\frac{\text{კგ}}{\text{სმ}^2}\right)$ —გაზის წნევა შეკუმშვის შემდეგ.

თუ იკუმშება ჩვეულებრივი ატმოსფერული ჰაერი, მაშინ $p_1 = 1 \text{ atm}$ და, მაშასადამე, მუშაობა ტოლი იქნება:

$$L_{იზ} = 10\,000 \cdot V_1 \ln p_2. \quad (213a)$$

ადიაბატური შეკუმშვის დროს კი მუშაობა ტოლია:

$$L_{ად} = 10\,000 \cdot V \cdot p_1 \frac{k}{k-1} \left[\left(\frac{p_2}{p_1} \right)^{\frac{k-1}{k}} - 1 \right] \text{კგ} \cdot \text{მ}, \quad (214)$$

სადაც $k = \frac{c_p}{c_v}$ არის ადიაბატის მაჩვენებელი, რომელიც წარმოადგენს შეფარდებას გაზის სითბოტევადობისა მუდმივი წნევის დროს მისი სითბოტევადობისადმი მუდმივი მოცულობის დროს.

თუ გაზი არ იკუმშება (ან უფრო სწორად რომ ვთქვათ, ისე მცირედ იკუმშება, რომ ეს შეკუმშვა შეიძლება ნულად ჩავთვალოთ), მაშინ $V_1 = V_2 = V$ და მუშაობა ტოლი იქნება:

$$L = V(p_2 - p_1) 10\,000 \quad (\text{კგ} \cdot \text{მ}). \quad (215)$$

თუ $p_1 = 1$ ატმ, მაშინ მუშაობა ტოლი იქნება:

$$L = V(p_2 - 1) 10\,000 \quad (\text{კგ} \cdot \text{მ}) \quad (215a)$$

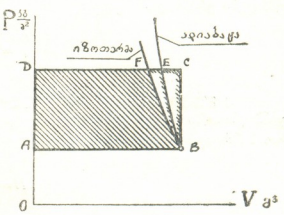
ანუ

$$L = V \cdot h \quad (\text{კგ} \cdot \text{მ}), \quad (216)$$



სადაც: h —(წყ. სვ. მმ) არის წნევათა სხვაობა. გაზის შეკუმშვის პროცესზე გრაფიკულად გამოსახულია pV დიაგრამაზე (ნახ. 171), სადაც ორდინატთა ღერძზე გადაზომილია წნევები— p — $\left(\frac{კმ}{სმ^2}\right)$ და აბსცისთა ღერძზე კი—მოცულობანი— V — $(მ^3)$.

ამ დიაგრამაზე იზოთერმული შეკუმშვა p_1 -დან p_2 -მდე, ე. ი. მოცულობის შემცირება ხდება მრუდის BF -ის მიხედვით და ამიტომ ამ მრუდს იზოთერმა ეწოდება. შეკუმშვის მუშაობა კი, ანალიზურად გამოსახული განტოლებით (213) ამ დიაგრამაზე გრაფიკულად გამოისახება $ADFBA$ ფიგურის ფართობით. ადიაბატური შეკუმშვა იმავე წნევების (p_1 -დან p_2 -მდე) ფარგლებში ხდება მრუდის BE -ს მიხედვით, რომელსაც ადიაბატა ეწოდება. მუშაობა კი ანალიზურად გამოსახული განტოლებით (214) ამ დიაგრამაზე გრაფიკულად გამოისახება $ADEBA$ ფიგურის ფართობით. თუ გაზი არ იკუმშება (ე. ი. $V = const$), მაშინ მუშაობა ანალიზურად გამოსახული განტოლებით (215) ამ დიაგრამაზე გამოისახება სწორკუთხედ $ADCBA$ ფართობით. როგორც იზოთერმა, ისე ადიაბატა შეიძლება ერთი რიგით განესაზღვროთ:



ნახ. 171. გაზის შეკუმშვის მრუდები.

$$pV^k = const. \tag{217}$$

იზოთერმა წარმოადგენს ცალგვერდა ჰიპერბოლას, რომლისთვისაც $k=1$. ადიაბატა კი წარმოადგენს ზოგად ჰიპერბოლას, რომლისთვისაც ჰაერის შემთხვევაში $k=1,41$. სინამდვილეში გაზის შეკუმშვა არ ხდება არც იზოთერმით და არც ადიაბატით. რეალურ პირობებში გაზის შეკუმშვა ხდება ისეთი მრუდების მიხედვით, რომლებიც pV დიაგრამაზე იზოთერმასა და ადიაბატას შორის მდებარეობენ, სახელდობრ პოლიტროპით. ამ მრუდებისათვის k მერყეობს $1 \div 1,41$ ჰაერისათვის. მაშასადამე, იზოთერმა და ადიაბატა წარმოადგენენ ამ მრუდთა ჯგუფის ორ განაპირა შემთხვევას. იმისდა მიხედვით, თუ როგორ მიმდინარეობს სითბოს გამოყოფა გაზიდან, მისი შეკუმშვის პროცესის მრუდი რეალურ პირობებში მეტად ან ნაკლებად უახლოვდება ან ადიაბატას ან იზოთერმას მხოლოდ არასდროს მათ არ დემთხვევა. ამ მრუდებს საერთოდ პოლიტროპა ეწოდება. ისინი განისაზღვრებიან განტოლებით (217). მაშასადამე, ადიაბატა და იზოთერმაც პოლიტროპის ზღვრულ კერძო შემთხვევებს წარმოადგენენ.

თუ შევადარებთ ერთმანეთს განტოლებებს (213) და (214), დავრწმუნდებით, რომ ერთი და იმავე შეკუმშვის ეფექტის მისაღებად იზოთერმულ პროცესში უფრო ნაკლები მუშაობაა საჭირო, ვიდრე ადიაბატურ პროცესში. ეს ნათლად ჩანს აგრეთვე დიაგრამიდან (ნახ. 171), სადაც $ADFBA$ ფიგურის ფართი $ADEBA$ ფიგურის ფართზე ნაკლებია. ეს განსხვავება მუშაობის სიდიდეში მით უფრო



მეტია, რაც მეტია შეკუმშვის ხარისხი, ე. ი. რაც უფრო მეტია შეფარდება $\frac{p_2}{p_1}$

თუ კომპრესორი გაზების გაუხშობებაზე მუშაობს (ვაკუუმტუმბო), მუშაობა, რომელიც საჭიროა გაზის გაუხშობისათვის, განისაზღვრება იმავე წესით. თუ, მაგალითად, ვაკუუმტუმბო შეიწოვს გაზს წნევით $p_1=0,1 \text{ at}$ და გარეთ განდევნის მას წნევით $p_2=1 \text{ at}$, მაშინ მუშაობა, რომელიც დაიხარჯება ვაკუუმტუმბოში გაზის გაუხშობაზე, ტოლი იქნება იმ მუშაობის, რომელიც იხარჯება კომპრესორში გაზის შეკუმშვაზე წნევიდან $p_1=1 \text{ at}$ წნევამდე $p_2=10 \text{ at}$, რადგან ორივე შემთხვევაში მანქანაში საბოლოო და საწყის წნევათა შეფარდება ერთი და იგივეა:

$$\frac{p_2}{p_1} = \frac{10}{1} = \frac{1}{0,1} = 10.$$

თუ გვეცოდინება ის თეორიული მუშაობა, რომელიც საჭიროა გაზის კომპრესორში შეკუმშვისათვის, ან ვაკუუმტუმბოში გაუხშობისათვის, საჭირო სიმძლავრეს განვსაზღვრავთ ფორმულით:

$$N = \frac{L}{75 \cdot \eta}, \quad (218)$$

სადაც L —(კგ. მ) არის თეორიული მუშაობა, რომელიც საჭიროა გაზის შეკუმშვისათვის ან გაუხშობისათვის, გაანგარიშებული ზემომოყვანილი ფორმულების თანახმად;

η —მანქანის მარგი ქმედების კოეფიციენტი.

§ 28. საშუალებანი გაზის შეკუმშვისათვის

§ 3-ში მოყვანილი იყო კლასიფიკაცია იმ მანქანებისა, რომელთა საშუალებითაც შესაძლებელია გაზობრივი მასალების გადაზიდვა. ყველა ეს მანქანა კუმშავს გადასაზიდ გაზს და ამით ჰქმნის მოძრაობისათვის საჭირო წნევათა სხვაობას. წინა პარაგრაფში ჩვენ დავრწმუნდით, რომ მუშაობა, რომელიც საჭიროა გაზის შეკუმშვის პროცესისათვის, პირდაპირ პროპორციულია წნევათა შეფარდებისა, ანუ შეკუმშვის ხარისხისა: $\frac{p_2}{p_1}$. ეს უკანასკნელი კი უნდა

ავიღოთ იმისდა მიხედვით, თუ რა წნევა არის საჭირო, რომ გაზის განსაზღვრული რაოდენობა მივაწოდოთ მილსადენის საშუალებით დროის ერთეულში (მსგავსად იმისა, როგორც მილსადენებში სითხეებისათვის). ზემოთ (§ 3) მოყვანილი იყო გაზის შემკუმშავი მანქანების კლასიფიკაცია შეკუმშვის კოეფიციენტის მიხედვით, რომლის თანახმად ეს მანქანები სამ ჯგუფად იყოფა:

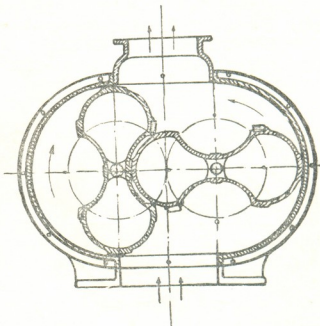
1) კომპრესორები და ვაკუუმტუმბოები, 2) ჰაერსაბერები და ექსპაუნსტერები და 3) ვენტრილატორები და ექსპაუნსტერები. გაზის მხოლოდ გადაადგილებისათვის ძალიან იშვიათად არის საჭირო ისეთი დიდი წნევები, რომლებსაც კომპრესორები და ვაკუუმტუმბოები ავითარებენ. ამიტომ ეს მანქა-

ნები იხმარება უფრო ხშირად მაშინ, როდესაც გაზის შეკუმშვა ან გაუხშობა საჭიროა რაიმე სხვა მიზნებისათვის და არა გაზის გადაადგილებისათვის. მეღვინეობაში, მაგალითად, კომპრესორი გამოიყენება სამაცივრო დანადგარში მაცივარი აგენტის შეკუმშვისათვის, ვაკუუმტუმბო კი ღვინის ტკბილის ბადავად ხარშვის დროს ვაკუუმაპარატში გაუხშობის შესაქმნელად. ამიტომ კომპრესორებს და ვაკუუმტუმბოებს ჩვენ განვიხილავთ ამ წიგნის შემდგომ ნაწილებში, სადაც განხილული იქნება მაცივრები და ვაკუუმაპარატები. აქ ჩვენ განვიხილავთ მხოლოდ ჰაერსაბერებსა და ვენტილატორებს, რომელთა დანიშნულებას მეტწილად გაზების გადაადგილება შეადგენს.

§ 29. ს ა რ ტ ა ც ი ა

ჰაერსაბერები არის ორი ტიპის: 1) საროტაციო და 2) ცენტრიდანული. ცენტრიდანულ ჰაერსაბერს ხშირად ტურბოჰაერსაბერს უწოდებენ. ჰაერსაბერები მუშაობენ იმავე პრინციპზე, როგორც საროტაციო ტუმბოები და ცენტრიდანული ტუმბოები სითხეები—

სათვის, იმ განსხვავებით, რომ ტუმბოებში ჩვენ სითხეებს შეუკუმშავად ვთვლით, ჰაერსაბერებში კი ანგარიშს ვუწევთ გაზის ხვედრითი წონის გადიდებას გაზის შეკუმშვასთან დაკავშირებით. ამის გამო ჰაერსაბერის მოცულობითი მწარმოებლობა დამოკიდებული ხდება საბოლოო წნევაზე, რომელსაც გაზი მიიღებს ჰაერსაბერში. ამიტომ მიღებულია ჰაერსაბერის მოცულობითი მწარმოებლობის განსაზღვრა შეწოვილი ჰაერის მოცულობით.



ნახ. 172. საროტაციო ჰაერსაბერი.

საროტაციო ჰაერსაბერები. ჰაერსაბერების განივი კვეთების სქემები მოყვანილია ნახ. ნახ. 172 და 173. ყოველივე, რაც ითქვა საროტაციო ტუმბოებზე (§ 21), ვრცელდება საროტაციო ჰაერსაბერებზედაც. კერძოდ, ჰაერსაბერის მწარმოებლობა შეიძლება განესაზღვროთ ფორმულით (210):

$$V_{\text{გა}} = \frac{F_{\text{ვ}} - F_{\text{ე}}}{60} \cdot l \cdot n \left(\frac{p_{\text{გ}}}{p_{\text{ე}}} \right),$$

აქაც შეგვიძლია შემოვიღოთ ავსების კოეფიციენტი ψ , რომელიც ტოლია:

$$\psi = \frac{F_{\text{ვ}} \cdot l - F_{\text{ე}} \cdot l}{F_{\text{ვ}} \cdot l} = \frac{F_{\text{ვ}} - F_{\text{ე}}}{F_{\text{ვ}}};$$

აქედან

$$F_{\text{ვ}} - F_{\text{ე}} = \psi \cdot F_{\text{ვ}},$$

და, მაშასადამე, საბოლოოდ მწარმოებლობა ტოლი იქნება:

$$V_{\text{ვვ}} = \frac{\psi \cdot F_{\text{ვ}} \cdot l \cdot n \cdot \eta_1}{60} \left(\frac{\text{მ}^3}{\text{წმ}} \right). \quad (219)$$

სადაც η_1 არის მიწოდების კოეფიციენტი, რომელიც ჰაერსაბერებში მერყეობს $0,4 \div 0,9$.

საჭირო სიმძლავრე დამოკიდებულია საბოლოო წნევაზე და აგრეთვე იმაზე, თუ როგორ მიდის შეკუმშვის პროცესი. ის განისაზღვრება ზოგადი ფორმულით (218):

$$N = \frac{L}{75 \cdot \eta}.$$

თუ ჰაერსაბერს აქვს გაცივება, შეკუმშვა შეგვიძლია მივიჩნიოთ იზოთერმულად, წინააღმდეგ შემთხვევაში—ადიაბატურად. ამის შესაბამისად სიმძლავრის ფორმულებიც იქნება შემდეგი:

1) როდესაც $b_1 < 0,1 \text{ atm}$, გაზს შეუკუმშავად ვთვლით და იხმარება ფორმულა:

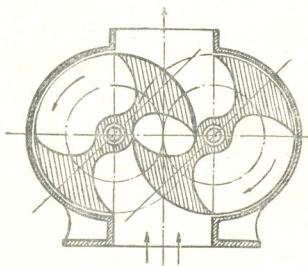
$$N = \frac{V \cdot h}{75 \cdot \eta}, \quad (220)$$

სადაც $L = V \cdot h$ ფორმულის (216) თანახმად.

2) ადიაბატური შეკუმშვის დროს

$$N = \frac{L_{\text{ად}} \cdot G}{75 \cdot \eta}, \quad (221)$$

სადაც: $L_{\text{ად}}$ —(კგ.მ) არის მუშაობა, რომელიც საჭიროა ერთი კგ გაზის შეკუმშვისათვის; G —(კგ) — წონითი რაოდენობა გაზისა, რომელიც იკუმშება ერთ წამში.



ნახ. 173. საროტაციო ჰაერსაბერი.

η —ჰაერსაბერის საერთო მარგი ქმედების კოეფიციენტი.

$L_{\text{ად}}$ უნდა გავიანგარიშოთ ფორმულის (214) მიხედვით.

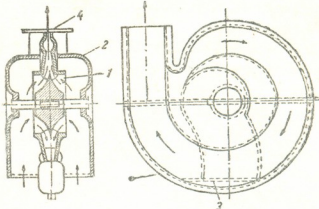
3) იზოთერმული შეკუმშვის დროს:

$$N = \frac{L_{\text{იზ}} \cdot G}{75 \cdot \eta}, \quad (222)$$

სადაც $L_{\text{იზ}}$ —(კგ. მ) არის მუშაობა, რომელიც საჭიროა ერთი კგ გაზის იზოთერმული შეკუმშვისათვის ფორმულის (217) თანახმად.

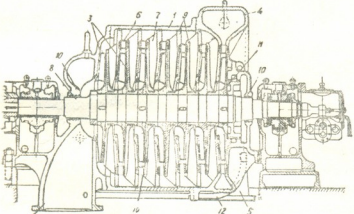
დანარჩენ ასოებს აქვთ იგივე მნიშვნელობა, რაც ფორმულაში (221).

ცენტრიდანული ჰაერსაბერები ანუ ტურბოჰაერსაბერები. თავისი მუშაობის პრინციპით ტურბოჰაერსაბერები ისე ემსგავსებიან ცენტრიდანულ ტუმბოებს, როგორც საროტაციო ჰაერსაბერები საროტაციო ტუმბოებს. მათ შორის განსხვავებას სწორედ იმა- შივე მდგომარეობს: ტუმბოებში ჩვენ სითხეებს შეუკუმშავად ვთვლით, ჰაერსაბერებში კი იძუ- ლებული ვართ ანგარიში გავუ- წიოთ ჰაერის შეკუმშვას. ცენ- ტრიდანული ტუმბოების მსგავ- სად, ცენტრიდანული ჰაერსაბე- რები არიან როგორც ერთსაფე- ხურიანი, ისე მრავალსაფეხური- ანიც. ერთსაფეხურიანი ტურბო- ჰაერსაბერის სქემა მოყვანილია ნახ. 174-ზე. ფრთებიანი სამუშაო



ნახ. 174. ერთსაფეხურიანი ტურბოჰაერსაბერი.

თვალი (1) დაყენებულია ღერძზე, რომელიც ტრიალებს გარსაცმში (2). სამუ- შაო თვლის ბრუნვის შედეგად შეიქმნება ცენტრიდანული ძალა, რომელიც



ნახ. 175. მრავალსაფეხურიანი ტურბოჰაერსაბერი,

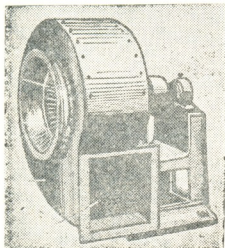
პერიფერიისაკენ გადაად- გილებს ჰაერს. ამის გამო მილაკში (3) შეიქმნება გაუხ- შილება (შემწოვი მილი). ბორ- ბლიდან გადასვლის შემ- დევ ჰაერი დიდუზორის გვე- ლით შვეა დამჭირხნ მილში (4), სიდანაც გადაეა ჰე- რის ქსელში. ზოგიერთ მან- ქანაში დიდუზორი თამა- შობს აგრეთვე მომმართველი აპარატის როლსაც (ნახ. 175 —მრავალსაფეხურიანი ტურ- ბოჰაერსაბერი).

§ 30. ვ ე ნ ტ ი ლ ა ტ ო რ ე ბ ი

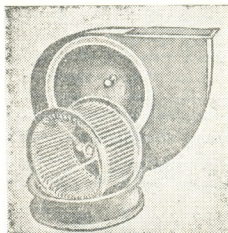
როგორც ზემოთ აღვნიშნეთ, მანქანას, რომელიც გადაადგილებს გა- ზებს და ავითარებს წნევას არა უმეტეს 1000 მმ. წყ. სვ, ანუ 0,1 atm, ვენ- ტილატორი ეწოდება. ვენტილატორებს შორის ყველაზე უფრო გავრცელე- ბულია ცენტრიდანული ვენტილატორები (ნახ. 176). ვინაიდან წნევა, რომელ- საც ვენტილატორი ავითარებს, მცირეა, ამიტომ ჰაერი ვენტილატორში შეგ- ვიძლია შეუკუმშავად ჩავთვალოთ. ამ შემთხვევაში ცენტრიდანული ვენტილა- ტორების მუშაობა ზუსტად ემსგავსება ცენტრიდანული ტუმბოების მუშაო- ბას. განსხვავება იქნება მხოლოდ გადასაადგილებელი მასალების (სითხისა და

გაზის) ხვედრითს წონებში. წნევის მიხედვით ცენტრიდანული ტუმბოები სამუშაოდ იყოფა:

- 1) დაბალი წნევის ვენტილატორები (წნევა წყლის სვეტის 100 მმ-მდე);
- 2) საშუალო წნევის ვენტილატორები (წნევა წყლის სვეტის 150 ÷ 200 მმ-მდე);
- 3) მაღალი წნევის ვენტილატორები (წნევა წყლის სვეტის 200 ÷ 1000 მმ-მდე).



ნახ. 176. ცენტრიდანული ვენტილატორი.



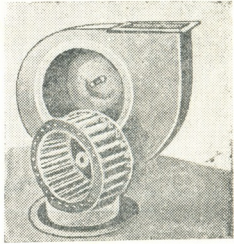
ნახ. 177. დაბალი წნევის ცენტრიდანული ვენტილატორი.

სხვადასხვა ჯგუფის ვენტილატორებს თავ-თავისი განმასხვავებელი ნიშნები აქვს, ასე რომ თუ რა წნევის (დაბალი, საშუალო ან მაღალი) არის ვენტილატორი, ამის გამოცნობა გარეგნულადაც შეიძლება: დაბალი წნევის ცენტრიდანული ვენტილატორები (ნახ. 177) იხმარება უფრო ხშირად ვენტილაციისა და გათბობისათვის, სადაც საჭიროა დიდი რაოდენობის ჰაერის მიწოდება შედარებით მცირე წნევით. ამ ვენტილატორს აქვს განიერი სამუშაო თვალი. თვალზე დამაგრებულ ფრთათა რაოდენობა შეადგენს მცირე (300 მმ-მდე) დიამეტრის თვლებისათვის 48 ცალს და უფრო დიდი დიამეტრის თვლებისათვის—64 ცალს. მწარმოებლობის მიხედვით, ვენტილატორები სხვადასხვა ზომის მზადდება. მათი სიდიდე ნომრით აღინიშნება (2-დან 20-მდე). მიღებულია, რომ დაბალი წნევის ვენტილატორის ნომერი უდრის სამუშაო თვლის გარე დიამეტრის ზომას (მილიმეტრებით) შემაჯავლი ასეულების რაოდენობას. მაგალითად, თუ დაბალი წნევის ცენტრიდანულ ვენტილატორში სამუშაო თვლის გარე დიამეტრი უდრის 950, მაშინ ამ ვენტილატორის ნომერი იქნება 91/2.

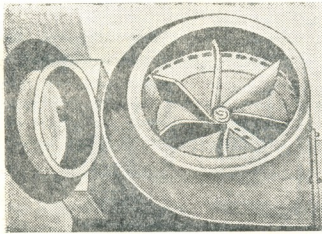
საშუალო წნევის (ნახ. 179) ვენტილატორებში, დაბალი წნევის ვენტილატორებთან შედარებით, სამუშაო თვლის დიამეტრი უფრო დიდია, შესასვლელი კვეთი უფრო მცირეა და თვლის სიგანე აგრეთვე უფრო მცირეა. გარდა ამისა, საშუალო წნევის ვენტილატორებში სამუშაო თვალზე დამაგრებულია სულ 24 ფრთა, ე. ი. მანძილი ფრთებს შორის საშუალო წნევის ვენტი-

ლატორებში უფრო დიდია, ვიდრე დაბალი წნევის ვენტილატორებში. შუალო წნევის ვენტილატორებში მისი ნომრის თითოეულ ერთეულზე მოდის ვენტილატორის სამუშაო თვლის გარე დიამეტრის 110 მმ., ე. ი. № 5 საშუალო წნევის ვენტილატორში სამუშაო თვლის გარე დიამეტრი ტოლი იქნება:

$5 \cdot 110 = 550$ მმ, ხოლო იმავე ნომრის დაბალი წნევის ვენტილატორში, ზემოთქმულის თანახმად, ტოლი იქნება $5 \cdot 100 = 500$ მმ. საშუალო წნევის ცენტრიდანული ვენტილატორის ერთ-ერთ სახესხვაობას წარმოადგენს ე. წ. მტერის ვენტილატორი (ნახ. 179). ამ ვენტილატორში სამუშაო თვალზე დაყენებულია მხოლოდ ექვსი ფრთა. ამ ტიპის ვენტილატორები იხმარება პნევმატიკურ ტრანსპორტში (იხ. § 17) და აგრეთვე მტერის შემწოვ დანადგარებში; მაღალი წნევის ვენტილატორებში, როგორც წესი, ჰაერის მიმწოდებელი არხი არის წრიული კვეთისა და არა სწორკუთხოვანი, როგორც ეს არის დაბალ და საშუალო წნევის ვენტილატორებში.



ნახ. 178. საშუალო წნევის ცენტრიდანული ვენტილატორი.



ნახ. 179. მტერის ვენტილატორი.

ჩვენი მანქანამშენებელი ქარხნები სერიულად უშვებენ ვენტილატორების შემდეგ ნომრებს: 2, 3, 4, 5, $6\frac{1}{2}$, 8, $9\frac{1}{2}$, 11, $12\frac{1}{2}$, 14, $15\frac{1}{2}$, 17, $18\frac{1}{2}$ და 20.

ვენტილატორები განსხვავდებიან ერთიმეორისაგან აგრეთვე ლერძის ბრუნვის მიმართულებითა და ვენტილატორიდან ჰაერის ბერვის მიმართულებით. ლერძის ბრუნვის მიმართულების მიხედვით ვენტილატორები ორ ჯგუფად იყოფა:

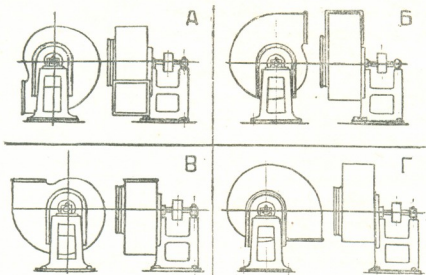
1) ვენტილატორები მარცხენა ბრუნვისა და

2) ვენტილატორები მარჯვენა ბრუნვის.

თუ ვენტილატორის ლერძი, როდესაც მას შევხვდავთ დგარის მხრიდან, ბრუნავს საათის ისრის ბრუნვის მიმართულებით, ასეთ ვენტილატორს მარჯვენა ბრუნვის ვენტილატორი ეწოდება (ნახ. 180 ყველა ფიგურა), ხოლო თუ იგი საათის ისრის მიმართულების წინააღმდეგ ბრუნავს, — მარცხენა ბრუნვის ვენტილატორი (ნახ. 181 ყველა ფიგურა).

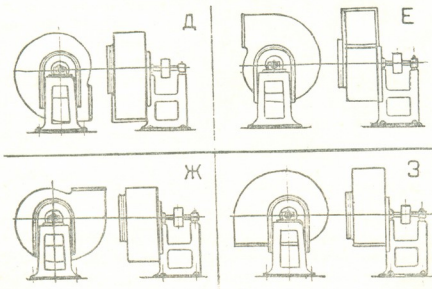
ჰაერის ბერვის მიმართულების მიხედვით ვენტილატორები შემდეგ ოთხ ჯგუფად იყოფა (ნახ. 180 და 181):

- 1) ჰაერი უბერავს ჰორიზონტალური ქვემო მხების მიმართულებით (ფიგურები A და D).
- 2) ჰაერი უბერავს ჰორიზონტალურად ზემო მხების მიმართულებით (ფიგურები B და E).
- 3) ჰაერი უბერავს ვერტიკალურად ზემოთკენ (ფიგურები B და Ж).
- 4) ჰაერი უბერავს ვერტიკალურად ქვემოთკენ (ფიგურები Г და З).



ნახ. 180. მარჯვენა ბრუნვის ცენტრიდანული ვენტილატორების სქემები.

ჰაერის ბერვის მიმართულება, ცხადია, დამოკიდებულია დგარის მიმართ ვენტილატორის გარსაცმის მდებარეობაზე. მცირე ნომრის ვენტილატორ-



ნახ. 181. მარცხენა ბრუნვის ცენტრიდანული ვენტილატორების სქემები.

რებში (2-დან 5-მდე) გარსაცმი დგარზე არის დამაგრებული, ამიტომ დგარის მიმართ გარსაცმის შებრუნება ადვილია. მაშასადამე, A ფიგურა ჩვენ ადვი-



ლად შეგვიძლია გადავაკეთოთ როგორც B, ისე B და Γ ფიგურად (ინტეგრირება როგორც Δ ფიგურა E, Ж და Z ფიგურად); № 6^{1/2}-დან კი გარსაცმს საძირკველზე ცალკე საყრდენი უკეთდება და ფიგურების შეცვლა შეუძლებელი ხდება.

ცენტრიდანულ ვენტილატორებში ადგილი აქვს ისეთივე შეფარდებებს, რაც ცენტრიდანულ ტუმბოებში, რომელიც განისაზღვრება იმავე ფორმულეებით—(206), (208) და (209). ვენტილატორისათვის საჭირო სიმძლავრე ზემოთქმულის თანახმად განისაზღვრება ფორმულით (220):

$$N = \frac{V \cdot h}{75 \cdot \eta} \quad (\text{ც. ძ.}),$$

სადაც h —(მმ. წყ. სვ.) არის სრული წნევა, რომელიც უნდა განავითაროს ვენტილატორმა;

V — $\left(\frac{m^3}{s}\right)$ —ვენტილატორით ჰაერის მიწოდება;

η —ვენტილატორის მარგი ქმედების კოეფიციენტი;

უფრო ხშირად ვენტილატორის მწარმოებლობა განიზომება Q — $\left(\frac{m^3}{s}\right)$.

მაშინ სიმძლავრის ფორმულა შემდეგ სახეს ღებულობს:

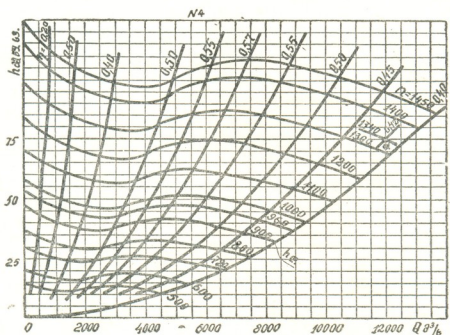
$$N = \frac{Q \cdot h \cdot \gamma}{3600 \cdot 75 \cdot \eta} \quad (\text{ც. ძ.}). \quad (223)$$

ვენტილატორის შერჩევის დროს საჭიროა ვისარგებლოთ ე. წ. მახასიათებლებით. ვენტილატორის მახასიათებელი წარმოადგენს დიაგრამას, რომელზედაც სწორკუთხოვან კოორდინატთა სისტემაში აგებული არიან ტოლბრუნვათა რიცხვებისა და ტოლი მარგი ქმედების კოეფიციენტების მრუდები. ორდინატთა ღერძებზე გადადებულია ვენტილატორის სრული წნევა— h (მმ. წყ. სვ.), აბსცისთა ღერძზე კი ვენტილატორის მწარმოებლობა— Q $\left(\frac{m^3}{s}\right)$.

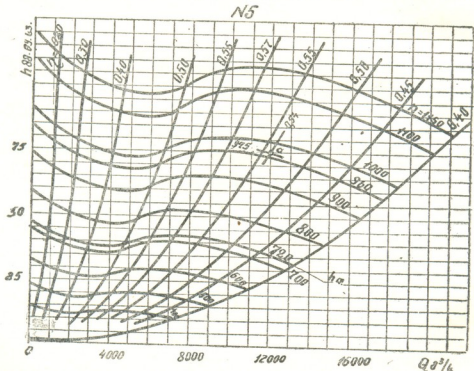
ტოლი მარგი ქმედების მრუდები წარმოადგენენ პარაბოლების ოჯახს, რომლებიც კოორდინატთა საწყისიდან იწყებიან. ყველაზე ქვემოთ მდებარე მრუდი შეესაბამება ვენტილატორის ისეთ მუშაობას, როდესაც წინალობას ადგილი არა აქვს და, მაშასადამე, $h = h$ -დინ. ტოლბრუნვათა რიცხვის მრუდები მიმართული არიან მარცხნიდან მარჯვნივ. ყველა მაღლა მდებარე მრუდი ასახავს ვენტილატორის ისეთ მუშაობას, როდესაც ვენტილატორს აქვს ბრუნვათა უდიდესი რიცხვი, რომელიც კი დასაშვებია ვენტილატორისათვის მისი გამძლეობის თვალსაზრისით (ნახ. 182, 183 და 184).

ვენტილატორების შერჩევა დიაგრამების მიხედვით შემდეგნაირად ხდება: დავუშვათ, რომ უნდა შევარჩიოთ ვენტილატორი, რომელმაც უნდა მოგვაწოდოს $Q = 12000 \frac{m^3}{s}$ ჰაერი წნევით $h = 75$ მმ. წყ. სვ. ვინაიდან $h < 100$

მმ. წყ. სვ., ამიტომ ვენტილატორი დაბალი წნევის იქნება. დაბალი წნევის ვენტილატორებში მწარმოებლობა $Q=12000 \frac{მ^3}{ს}$ აქვს სამ ვენტილატორს:



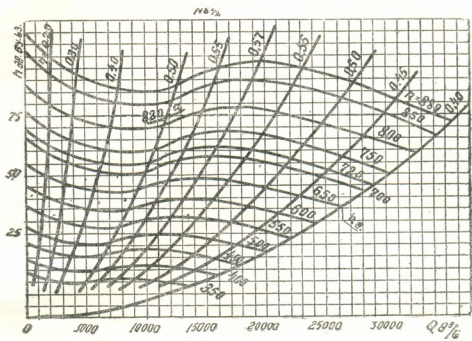
ნახ. 182. დაბალი წნევის № 4 ცენტრიდანული ვენტილატორის მახასიათებელი.



ნახ. 183. დაბალი წნევის № 5 ცენტრიდანული ვენტილატორის მახასიათებელი.

№ 4, № 5 და № 6 $\frac{1}{2}$, (ნახ. 182, 183 და 184). ავიღოთ $Q=12000 \frac{მ^3}{ს}$ და $h=45$ მმ. წყ. სვ. როგორც კოორდინატები და მათი მიხედვით მოვნახოთ

სითოეულ დიაგრამაზე წერტილი a . № 4 ვენტილატორის დიაგრამაზე (ნახ. 182) a წერტილი გვაძლევს: $\eta=0,42$, $n=1340 \frac{\text{ბრ}}{\text{წთ}}$, № 5 ვენტილატორის დიაგრამაზე (ნახ. 183) a წერტილი გვაძლევს: $\eta=0,54$, $n=975 \frac{\text{ბრ}}{\text{წთ}}$; № 6 $\frac{1}{2}$ ვენტილატორის დიაგრამაზე (ნახ. 184) a წერტილი გვაძლევს: $\eta=0,5$; $h=820 \frac{\text{ბრ}}{\text{წთ}}$. უნდა ავირჩიოთ ისეთი ვენტილატორი, რომელიც უფრო დიდ მარგი ქმედ-



ნახ. 184. დაბალი წნევის № 6 $\frac{1}{2}$ ცენტრიდანული ვენტილატორის მახასიათებელი.

ბის კოეფიციენტს იძლევა, ე. ი. ვენტილატორი № 5. წნევა, რომელიც უნდა განავითაროს ვენტილატორმა, განისაზღვრება იმავე წესით, როგორც ეს ხდება ჰიდროქსელებისათვის (იხ. თავი II), ე. ი. ფორმულით:

$$h = h_2 + (1 + \Sigma \xi) \frac{\omega^2}{2g},$$

მაგრამ, ვინაიდან ჰაერის ხვედრითი წონა ძალიან მცირეა, ამიტომ წნევა, რაც საჭიროა ჰაერის სიმაღლეზე ასაწევად, მცირე გამოდის. ამიტომ შეგვიძლია მივიღოთ, რომ $h_2 \approx 0$ და მაშინ სრული საჭირო წნევა ტოლი იქნება:

$$h = (1 + \Sigma \xi) \frac{\omega^2}{2g}. \tag{224}$$

გამოქვეყნებული ლიტერატურა

1. А. Г. Касаткин—Основные процессы и аппараты химической технологии, изд. 1948 г.
2. А. Г. Касаткин—Основные процессы и аппараты химической технологии, часть II, тепловые и диффузионные процессы изд. 1937 г.
3. П. С. Козьмин—Машины непрерывного транспорта часть I, изд. 4-е, изд. 1938 г.
4. П. С. Козьмин—Машины непрерывного транспорта часть II, изд. 3-е, изд. 1935 г.
5. П. С. Козьмин—Машины непрерывного транспорта часть III, изд. 2-е изд. 1936 г.
6. М. Т. Райтман, М. Я. Дикис, А. Н. Мальский—Технологическое оборудование консервных заводов, изд. 1938 г.
7. М. П. Калинушкин—Вентиляторные установки, изд. 1938 г.
8. Проф. А. П. Шишкин и инж. У. Л. Лерер—Вентиляционные установки предприятий, изд. 1931 г.
9. Б. М. Аще и Г. Н. Максимов—Отопление и вентиляция том II, изд. 1940 г.
10. Г. Бетман—Грузоподъемные машины, изд. 4-е, изд. 1934 г.

ს ა რ ჩ ე ვ ი

თავი პირველი

ზოგადი ცნებანი

1.	განზომილებანი	3
2.	გადასაზიდ მასალათა ზოგადი დახასიათება	8
3.	სატრანსპორტო საშუალებათა დანიშნულება და კლასიფიკაცია	12
4.	მაგალითები	16

თავი მეორე

ზოგიერთი ცნობები ჰიდრაულიკიდან

5.	ჰიდრაულიკის საგანი	18
6.	ჰიდროსტატიკა	18
7.	ჰიდროდინამიკა	26
8.	სითხის დინების სიჩქარისა და წნევის გაზომვა	51
9.	მაგალითები	57

თავი მესამე

მაგარი მახალების გადაზიდვა

10.	მიწისზედა გზები	75
11.	ამწეები	88
12.	კიდული გზები	97
13.	ტრანსპორტიორები	99
14.	ელევატორები	115
15.	ხრანნიანი ტრანსპორტიორები	122
16.	ჰიდრაულიკური ტრანსპორტიორი	124
17.	პნევმატიკური ტრანსპორტი	126
18.	მაგალითები	133

თავი მეოთხე

თხევადი მახალების გადაზიდვა

19.	დგუშიანი ტუმბოები	146
20.	ცენტრიდანული ტუმბოები	169
21.	საროტაციო ტუმბოები	183



22.	სიფონი	185
23.	მონტეჟიუ	185
24.	ერლიფტი	186
25.	ჰაელური ტუმბოები	187
26.	მაგალითები	188

თავი მხუთე

გაზობრივ მასალათა გადაზიდვა

27.	გაზის მოძრაობისა და შეკუმშვის პირობები	193
28.	საშუალებანი გაზის შეკუმშვისათვის	196
29.	ჰაერსაბერები	197
30.	ვენტილატორები	199
	გამოყენებული ლიტერატურა	206

რედაქტორი შ. იოსელიანი
 ტექ. რედაქტორი დ. შვიციქ
 კორექტორი დ. დგებუაძე
 გამომშვეები შ. ხელაძე

უცნ6228. შუკვ. № 1195. ტირაჟი 2000.

ბელმოწერილია დასაბეჭდად 28/XI-50. ანაწყობის ზომა 7×11. ქალაღდის ზომა 70×105. სასტამბო ფორმათა რაოდენობა 13. საავტორო ფორმათა რაოდენობა 11,96. საგ.-საადრიცხვო ფორმათა რაოდენობა 12,24.

ფასი 6 მან. 60 კაბა.

საქართველოს სსრ მინისტრთა საბჭოსთან არსებული პოლიგრაფიურწველობის, გამომცემლობებისა და წიგნით ვაჭრობის საქმეთა სამმართველოს სტამბა № 2, თბილისი, ფურცელაძის ქ. № 5.

Типография № 2 Управления по делам полиграфической промышленности, издательства и книжной торговли при Совете Министров Грузинской ССР. Тбилиси, ул. Пурцеладзе № 5.

ფანო 6-006. 60 333. 4-30



Н. Е. МЕТОНИДЗЕ

Технологическое оборудование
винодельческой промышленности

(На грузинском языке)

Гостехиздат Грузинской ССР

„Техნიკა და შრომა“

Тбилиси

1950